МИНИСТЕРСТВО КУЛЬТУРЫ РЕСПУБЛИКИ БАШКОРТОСТАН
ГОСУДАРСТВЕННОЕ БЮДЖЕТНОЕ УЧРЕЖДЕНИЕ
РЕСПУБЛИКАНСКИЙ ИСТОРИКО-КУЛЬТУРНЫЙ
МУЗЕЙ-ЗАПОВЕДНИК «ДРЕВНЯЯ УФА»

Е. В. Русланов
М. Р. Шамсутдинов
А. А. Романов

Раннесредневековые древности Уфимского полуострова.

Городище Уфа-II.

Материалы археологических раскопок 2015 года.

Уфа-2016

УДК 902/904
ББК 63.4
У88

Печатается по решению учёного совета государственного бюджетного учреждения Республиканский историко-культурный музей-заповедник «Древняя Уфа»

Ответственный редактор
И. О. Гавритухин
Институт археологии Российской академии наук

Рецензент:
кандидат исторических наук **Р. Р. Русланова**
Башкирский государственный университет

Русланов Е. В., Шамсутдинов М. Р., Романов А. А.

У88 **Раннесредневековые древности Уфимского полуострова.** Городище Уфа-II. Материалы археологических раскопок 2015 года. Уфа: ГБУ Республиканский историко-культурный музей-заповедник «Древняя Уфа», 2016. — 266 с.
ISBN 978-5-906165-78-7

Коллективная монография посвящена публикации археологического материала, полученного в 2015 году в ходе изучения объекта культурного наследия (памятник археологии) федерального значения «Городище Уфа-II» расположенного в историческом центре г. Уфы. В книге представлены история изучения, характеристика и методы исследования памятника, собран и систематизирован вещевой инвентарь, приведены результаты палеозоологических, палеоихтиологических исследований, технико-технологического анализа керамики, петрографического анализа каменных орудий, морфолого-технологического анализа бус и результаты изотопного анализа стронция.

Книга адресована археологам, историкам, специалистам естественных наук и всем интересующимся археологией и древней историей лесостепного Приуралья.

ISBN 978-5-906165-78-7

© Е. В. Русланов, М. Р. Шамсутдинов, А. А. Романов, 2016.

Содержание

Введение 4

Глава I. Местоположение памятника археологии и история его изучения 5

Глава II. Характеристика культурного слоя и методика изучения 12
Раздел 1. Планиграфия раскопа 14
Раздел 2. Стратиграфия раскопа 23
Раздел 3. Характеристика столбовых ям 33
Раздел 4. Характеристика хозяйственной ямы № 1 39

Глава III. Индивидуальные находки 40

Глава IV. Керамический комплекс 45

Глава V. К дискуссии о хронологии Городища Уфа-II 56

Заключение 58

Приложения 59
1. Морфолого-технологический и хронологический анализ бус (*Р. Р. Русланова*) 59
2. Результаты петрографического анализа каменных орудий (*В. В. Русланов*) 64
3. Технико-технологические данные о керамике ОКН (памятник археологии) «Городище Уфа-II» (*А. К. Бахшиева*) 68
4. Результаты изучения археозоологической коллекции (*А. А. Романов*) 80
5. Результаты исследования костных остатков рыб (*Д. О. Гимранов, А. М. Шевченко*) 96
6. Результаты изотопного анализа стронция (Sr) (*М. Б. Медникова*) 109

Список сокращений 110

Литература и архивные материалы 111

Сведения об авторах и редакторе 122

Иллюстрации 123

Введение

Лесостепная территория Уфимско-Бельского междуречья была особым локальным регионом обширного евразийского пространства, куда в случае серьезных военных или политических конфликтов из степных зон происходила миграция населения, ведущего кочевой или полукочевой образ жизни. Здесь оно вступало в контакты с местными земледельческими племенами. В середине I тыс., в период постгуннских и тюркских миграций, происходит трансформация этнической карты региона и формирование нового поликультурного населения (Русланова, 2016. С. 3). На протяжении всего периода раннего Средневековья мы наблюдаем ассимиляционные процессы, в которые было вовлечено и население, занимавшее территорию Уфимского полуострова, нашедшее свое отражение в археологическом материале найденном на ярком памятнике этого периода средневековом Городище Уфа-II.

В 2015 г. постоянно действующая археологическая экспедиция на базе музея-заповедника «Древняя Уфа» под руководством Евгения Владимировича Русланова, продолжая начатые с 2012 г. научные изыскания на территории объекта культурного наследия федерального значения (памятника археологии) «Городище Уфа-II» (далее Городище Уфа-II), провела изучение северной оконечности памятника на участке, вплотную примыкающем к строящемуся многоэтажному жилому дому по ул. Пушкина (533 квартал Кировского района г. Уфы). Раскоп, состоящий из 5 квадратов 2×2 м, общей площадью 20 кв. м, ориентированный по линии север-юг, был заложен на невысокой 2-метровой надпойменной террасе небольшого ручья (левый приток р. Белая). Перед проведением работ была разбита сетка раскопа, получившая буквенно-цифровую номенклатуру, основанную на латинском алфавите и арабской цифровой графике (кв. А1-А2, В1-В2 и С1). Для детального изучения стратиграфической ситуации по длинной оси раскопа была оставлена бровка. В ходе работ использовалась методика просеивания грунта, для чего были обустроены специальные лотки (просмотровые площадки), через которые пропускалась земля. Благодаря этому удалось зафиксировать большое количество мелких находок (бусы, костяные изделия, кости рыб и т. д.).

Глава I.
Местоположение памятника археологии и история его изучения

Городище Уфа-II находится в историческом центре города Уфы, на участке улиц Заки Валиди, Новомостовая и проспекта Салавата Юлаева (рис. 1–3). По центру мыса, на котором находится памятник, проходит улица Пушкина, с двух ее сторон расположены жилые и хозяйственные постройки. Территория памятника располагается на возвышенном и широком мысу коренного правого берега р. Белая. По краям мыса фиксируются сложные формы рельефа — разветвленная овражная система, образованная двумя небольшими безымянными притоками р. Белой, спадающими с северо-запада на юго-восток. В геоморфологическом отношении территория находится в зоне развития карстовых, суффозионных, склоновых (оползневых и эрозионных), овражных (донная и боковая эрозия) процессов. Литологический разрез: четвертичные делювиальные, общесыртовые, неогеновые и пермские отложения. В эпоху раннего Средневековья, в период освоения площадки городища, территория памятника представляла собой опушку широколиственного леса из липы, дуба, вяза. На открытых участках формировались разнотравные луга с участием полыни, марей и злаков (Курманов, Ишбирдин, 2011. С. 97–102; Курманов, Ишбирдин, 2014. С. 36–37; Курманов, Ишбирдин, 2015. С. 101–109; Курманов, 2015. С. 175–184).

Первые научные сведения о городище связаны с деятельностью уфимского краеведа Петра Федоровича Ищерикова. Им в сентябре 1953 г. проведено наблюдение за ходом строительных работ по укладке водопровода длиной 400 м по четной стороне ул. Пушкина (д.116–136) (Ищериков, 1953). В ходе осмотра траншеи глубиной 2,2 м и отвалов из нее им было обнаружено большое количество фрагментов лепных сосудов и костей. О своей находке П. Ф. Ищериков сообщил своему научному руководителю Гаруну Валеевичу Юсупову, который произвел зачистку стенок траншеи и обнаружил сгнившие колья и плотно слежавшиеся древесные остатки (Ищериков, 1953).

В 1954 г. территория памятника подверглась одной из самых масштабных перепланировок. В ходе строительства автогужевого моста через р. Белая прилегающая к нему территория (в том числе и участок пересечения ул. Воровского

и Пушкина) была выровнена, овраги засыпаны, а протекающие по их дну ручьи упрятаны в бетонные трубы. С ул. Воровского скреперами был срезан культурный слой на глубину более 1 м, вдоль ул. Пушкина в западном направлении — на глубину 2 м. Также разной глубины слой снят с тротуаров для их асфальтирования. Прорытая в 1953 г. водопроводная траншея оказалась засыпанной, вплотную к ней была вырыта еще одна траншея глубиной 2,2 м. После зачистки этой траншеи П. Ф. Ищериковым был снят профиль ее южной стенки, собран подъемный материал (Ищериков, 1953).

До 1957 г. П. Ф. Ищериковым проводился ежегодный осмотр обнажений по ул. Пушкина и Фрунзе (ныне З. Валиди) и сбор подъемного материала, на основе которого им было выдвинуто предположение о существовании еще одного городища (Уфа-III) (Археологическая карта…, 1976. С. 124. № 1014), расположенного через глубокий овраг к югу от площадки Городища Уфа-II (квартал между ул. З. Валиди и ул. Г. Тукая). По южному склону ул. З. Валиди были зафиксированы остатки укреплений из сосновых бревен, около них в шурфе найдены наконечники стрел из кости и железа (Ищериков, 1953).

П. Ф. Ищериков так описывает открытое им Городище Уфа-II: «Образованное двумя оврагами городище занимает площадь около 15 га разведанной территории двух кварталов *(имеется* в виду ул. Пушкина и Фрунзе — здесь и далее курсивом прим. авт.). Оно находится в километре восточнее административного центра Уфы (Советская площадь). Отсюда ул. Пушкина продолжается по уклону и подчиненная конфигурации оврагов, выходящих устьями в долину р. Белой, заканчивается городищем. Овраги начинаются с перекрёстка с ул. С. Кудаш *(ныне ул. Новомостовая)* в 150 м от мыса городища. Во дворах домов №№ 30 и 31 *(ныне дома №№ 130* и *131 по ул. Пушкина)* имеется некоторая приподнятость. По-видимому, здесь находился вал и ров городища. Вне этого предполагаемого места вала культурный слой продолжается на запад на расстоянии 75–100 м, начинаясь в своих верховьях ложбинками, овраги в районе городища достигают: южный ширины — 30 м, глубины — 30 м; северный ширины 90 м и глубины 30–40 м. Мощность культурного слоя на ул. Пушкина равна 2,5 м» (Ищериков, 1953. С. 10–15).

В 1957 г. П. Ф. Ищериковым был заложен раскоп площадью 15 кв. м и несколько шурфов на территории усадьбы № 134 по ул. Пушкина (Иванова, 2007. С. 16–23; Иванов, 2007. С. 63–70). В результате раскопок была получена богатая коллекция керамики бахмутинской, турбаслинской и кушнаренковской археологических культур, биконические пряслица, костяные изделия, бусы, бронзовый браслет, рыболовный крючок, три грузила, костяные накладки на лук, литейные формы. Из шурфа, заложенного юго-восточнее раскопа, были выявлены человеческие кости от правой и левой стоп, являющиеся останками погребения, от-

крытого школьниками в 1950 г. В погребении найдено 2 костяных наконечника стрел. Самой яркой находкой в ходе раскопок 1957 г. стала парфянская гемма, выточенная в виде «ложного» кольца. На гемме изображен крылатый гений с тремя змеями в руке. П. Ф. Ищериков датировал находку концом I тыс. до н. э. — началом I тыс. (Ищериков, 1957). Гемма хранится в фондах Музея археологии и этнографии УНЦ РАН в коллекции № 1116 (Каталог…, 2009. С. 83). Основываясь на комплексе полученных данных, П. Ф. Ищериков датировал памятник в пределах I в. до н. э. — VII в. (Ищериков, 1959. С. 97–99).

В 1958 г. совместно с Петром Федоровичем раскопки на городище начал проводить Нияз Абдулхакович Мажитов, заложивший раскоп площадью 20 кв. м. Итоги работ были опубликованы в ряде статей (Ищериков, 1959; Ищериков, Мажитов, 1962. С. 140–150). Полученная коллекция керамических сосудов была разделена на 7 типов. Основная масса керамики относится к типам 1–3. 1 тип — неорнаментированные плоскодонные сосуды ручной лепки, примесь в тесте — песок и дресва; поверхность — неровная, грубо обработанная. Сосуды имеют горшковидную форму с низким или высоким горлом. 2 тип — сосуды с высокой прямой шейкой, шарообразным туловом и плоским дном. Глина сосудов тщательно отмучена, имеет примесь песка. Наружная поверхность хорошо сглажена водой. На внутренней поверхности имеются следы штампа. Орнамент располагается по шейке и верхней части тулова сосудов и состоит из горизонтальных резных поясков, чередующихся с полосами из мелких косых крестиков, ромбиков, ямок, треугольников, «ёлочек», зигзагов. 3 тип — сосуды с невысоким слабо отогнутым венчиком, низким шарообразным туловом, округлым дном. Все они украшены мелкими круглыми ямками, располагающимися хаотично по всей поверхности сосуда. 4 тип — от третьего типа эти сосуды отличаются лощёной поверхностью и орнаментацией в виде треугольных ямок, которые располагаются в один или несколько горизонтальных рядов по плечику. Сосудов этого типа найдено на памятнике 22 экз. 5 тип — небольшая группа сосудов, сделанных на гончарном круге. Сосуды неорнаментированные, чёрного цвета с короткими шейками и очень раздутым туловом. Найдены сосуды в верхних слоях культурных остатков. 6 тип — выделен по подъёмному материалу. К этому типу относятся более 10 сосудов, имеющих высокие шейки и шарообразное тулово. Орнамент отсутствует. 7 тип представлен одним фрагментом сосуда, который также найден в подъёмном материале. Вероятно, этот сосуд имел форму большого кувшина с сильно раздутым туловом. Орнамент состоит из круглых ямок, расположенных горизонтально в один ряд по шейке, и ёлочного узора по верхней части тулова. Кроме того, были найдены многочисленные костяные изделия: наконечники стрел с короткими плоскими черешками, пластинчатые накладки, полированная трубочка, служившая рукояткой

ножа, подвески из костей медведя. Из металлических предметов на городище найдены бронзовые пластинчатые бляшки, браслет с утолщенными концами, бляха-подвеска треугольной формы. Предметы из камня представлены обломками зернотёрок, жерновами, оселком (Иванов, 2007. С. 63–70).

Исследуя материал, Н. А. Мажитов подтвердил датировку памятника, предложенную П. Ф. Ищериковым. Керамику четвертого типа и бронзовую бляху исследователь относит к пьяноборской культуре (I–II вв.). Верхняя дата городища устанавливается по сосудам третьего типа, которые, по мнению Н. А. Мажитова, характерны для памятников бахмутинской культуры (III–VII вв.) (Иванов, 2007. С. 63–70).

В 1968 г. раскопки на памятнике провела Махмуда Хисаевна Садыкова, отчетные материалы о раскопках не сохранились, керамический материал хранится в Музее археологии и этнографии УНЦ РАН. С этого момента и до начала 90-х гг. XX века стационарных исследований на памятнике не проводилось.

В 70-х гг. XX века в ходе разведочных работ территория городища была обследована Натальей Георгиевной Рутто — был снят план памятника и собрана коллекция керамики, составляющая 250 фрагментов, отнесенных к бахмутинской культуре, романовскому типу и круговой посуде XVII–XVIII вв. (Рутто, 1974. С. 2–3, рис. 4–5).

В 1990 г. в связи с планируемыми земляными работами по расширению автомобильной дороги на южном въезде в г. Уфу, археологической экспедицией Национального музея Республики Башкортостан под руководством Владимира Владиславовича Овсянникова были проведены раскопки на восточной стрелке городища (на пересечении улиц Воровского и Пушкина, на территории усадьбы Тушнова), впоследствии уничтоженной в ходе расширения въезда в г. Уфу со стороны аэропорта. Площадь раскопа — 92 кв. м, мощность культурного слоя — 1,5 м. Во время раскопок было обнаружено шесть хозяйственных ям, относящихся ко времени функционирования поселения. Основную массу находок составили фрагменты керамических сосудов эпохи раннего Средневековья, разделенные В. В. Овсянниковым на 6 типов. 1 тип — лепные низкогорлые горшки с отогнутым наружу венчиком и плоским дном. Тесто с примесью шамота, поверхность неровная. Относятся автором раскопок к романовскому типу (V–VII вв.). 2 тип — лепные сосуды с низким и широким горлом, венчик отогнут наружу, дно круглое. В тесте примесь песка и мелких камушков. Орнамент состоит из круглых или треугольных насечек по всему сосуду. Относятся к бахмутинской культуре (V–VII вв.). 3 тип — лепные чаши, с широким низким горлом, отогнутым наружу или прямым венчиком. Приплюснутое тулово, дно — округлое. В тесте примесь просеянного песка, поверхность хорошо заглажена. Орнамент состоит из одного или двух рядов треугольных вдавлений по шейке сосуда. Эта

посуда отнесена к имендяшевскому типу керамики (III–V вв.). 4 тип — лепные сосуды с низким и широким горлом, венчик отогнут наружу, дно круглое. По плечику идёт уступчик. В тесте примесь мелкого песка. Орнамент полностью отсутствует. К этому типу близки сосуды турбаслинской культуры (V–VII вв.). 5 тип — лепные горшки с высоким и узким горлом, венчик отогнут наружу, дно круглое. В хорошо отмученном тесте — примесь просеянного песка. Стенки очень тонкие, 3–4 мм. Богатый орнамент расположен по всей шейке и состоит из сочетания тонких резных линий с лунницевидными вдавлениями гребенчатого штампа и косыми насечками в различных комбинациях. Горшки относятся к кушнаренковской культуре (VI–VII вв.). 6 тип — лепные низкогорлые горшки, с отогнутым наружу венчиком и круглым дном. Орнамент расположен в верхней части сосудов и состоит из резных линий, косых насечек, лунницевидных вдавлений, сделанных гладким штампом, а также насечек по венчику и «жемчужин». Керамика относится к караякуповскому типу (VIII–IX вв.) (Овсянников, 1991. С. 67–68, рис. 1–5). Изделия из керамики представлены также пряслицами и тиглями, изделия из камня — оселками и каменной чашечкой. Костяные изделия представлены наконечниками стрел, парными накладками на лук, рукоятками орудий труда. В раскопе найдены две бусины, бронзовое колечко, рамка от пряжки. В. В. Овсянников весь комплекс городища датирует V–VII вв. Автор не исключает, что поселение продолжало существовать и в VIII в., о чём свидетельствует присутствие керамики караякуповской культуры (Овсянников, 1990. С. 65–80). Вся археологическая коллекция, полученная в ходе раскопок 1991 г., хранится в фондах Национального музея Республики Башкортостан.

Таким образом, с 1953 по 1991 гг. на городище было изучено 127 кв. м. культурного слоя. Обследованию подверглась центральная площадка и восточная оконечность памятника.

Новейший период в исследовании городища связан с масштабной деятельностью д. и. н., профессора, вице-президента Академии наук Республики Башкортостан Н. А. Мажитова и руководимой им археологической экспедицией БашГУ. Его срочные действия по спасению памятника были обусловлены тем, что в 2004 г., в результате проведения строительных работ по ул. Пушкина, была разрушена часть площадки памятника. На месте разрушения сотрудниками экспедиции был зачищен участок склона, срезанный строительной техникой; собраны фрагменты керамики бахмутинской, турбаслинской, кушнаренковской культур, серебряная пряжка, две ременные накладки X–XI вв. и несколько железных наконечников стрел.

Проведение строительных работ вблизи городища и регулярное обрушение культурного слоя памятника с 2006 г. побудило Н. А. Мажитова проводить стационарные спасательные раскопки. В 2006–2008 гг. охранные раскопки на па-

мятнике велись силами ФГБОУ ВПО «Башкирский государственный университет» и ГУК Научно-производственный центр при Министерстве культуры Республики Башкортостан. За два полевых сезона на площади около 700 кв. м был исследован культурный слой памятника мощностью более 3 м. В ходе широкомасштабных раскопок был получен богатый и разнообразный археологический материал. Впервые были получены материалы, позволившие охарактеризовать внутреннюю планировку южной части площадки городища, конструктивную особенность жилых, хозяйственных и иных построек (Сунгатов, 2007; Мажитов, Сунгатов, Иванов и др., 2007). В ходе раскопок 2007 г. на разных участках раскопа были выявлены остатки деревянных настилов, которые были интерпретированы как остатки уличных мостовых (Сунгатов, 2008; Мажитов, Сунгатов, Саттаров и др., 2009). В 2008 г. в ходе раскопок выявлены остатки деревянных настилов (мостовых) общей протяжённостью более 70 м (Исмагилов, 2009; Мажитов, Сунгатов, Исмагилов и др., 2009).

В ходе раскопок 2009 г. археологической экспедицией под руководством Фларида Абдулхаевича Сунгатова был исследован культурный слой мощностью около 2,5 м на площади в 240 кв. м. На отдельных участках раскопа впервые были обнаружены остатки стен жилищ в виде дощатых настилов и плетенки из тонких жердей с глиняной обмазкой. Были зафиксированы следы 5 построек (Сунгатов, 2010; Мажитов, Сунгатов, Султанова и др., 2011).

Исследованиями 2010 г. под руководством Рамиля Бакировича Исмагилова на площади раскопа в 160 кв. м. были выявлены контуры еще двух хозяйственно-жилищных комплексов (Исмагилов Р. Б., 2011). Археологическими исследованиями 2011 г. под руководством Вадима Ильдаровича Мухаметдинова был охвачен участок общей площадью 352 кв. м, примыкающий к раскопам 2006, 2007 и 2010 гг. (Мухаметдинов, 2012).

В 2012 г. под руководством Риды Раисовны Руслановой были проведены археологические раскопки в южной и центральной частях памятника. В южной части памятника площадь раскопа составила 125 кв. м, в центральной части — 130 кв. м. Часть раскопа в центральной части была законсервирована. В 2014 г. изучение данного участка завершил Марсель Расилевич Шамсутдинов (Русланов, Шамсутдинов, Сахипов, 2014. С. 82–86; Шамсутдинов, Русланов, Романов и др., 2015). В 2013 г. археологические раскопки проводились под руководством Ии Александровны Шутелевой и Николая Борисовича Щербакова на участке площадью 152 кв. м., примыкающем к раскопкам 2008 г. (Шутелева, Щербаков, Леонова и др., 2013).

За весь период исследований были установлены хронологические границы существования поселения, изучена планировка городища и система его укреплений, получен огромный материал, который, наряду с керамикой бахмутинской,

турбаслинской, романовско-именьковской, кушнаренковско-караякуповской культур, включает золотые и серебряные ювелирные изделия, костяные и керамические орудия труда, пряжки, наконечники ремней, в том числе с золотой фольгой, бусы, стеклянные кольца, металлические перстень и браслет. С 1953 г. на площади памятника вскрыто 2790 кв. м, археологическая коллекция из раскопок 2006–2015 гг. насчитывает более 171 тыс. ед. хранения. Вся коллекция хранится в фондах Республиканского музея-заповедника «Древняя Уфа».

Глава II.
Характеристика культурного слоя и методика изучения

В 2015 г. для исследования был выбран участок памятника на северной оконечности городища, примыкающий к дому № 135 и строящемуся многоэтажному жилому дому № 62/1 по ул. Пушкина (рис. 3–6). Перед началом работ со всей площади раскопа и в осыпающихся обнажениях оврага был собран подъемный материал (рис. 7–9). Раскоп был заложен на месте предполагаемого поворота в той части городища, которая в процессе строительства ливневой канализации могла пострадать больше всего, так как на данном участке ливневая канализация совершала поворот под углом 35–40 градусов, вклиниваясь в сохранившуюся часть городища, конфигурация раскопа была обусловлена необходимостью изучения большей площади, которая могла пострадать в ходе строительных работ.

В ходе работ использовалась методика просеивания грунта, для чего были оборудованы специальные лотки (просмотровые площадки), через которые пропускалась земля. Благодаря этому удалось зафиксировать большое количество мелких находок (бусы, костяные изделия, кости рыб и т. д.).

С началом раскопок был установлен условный «0» — была взята геодезическая отметка 134,30 м, расположенная в 3,12 м к востоку от северного угла раскопа. В процессе раскопок производилась нивелировка поверхности и всех объектов, а также важнейших находок от единой нулевой точки (-138), связанной с репером памятника.

Раскопки велись послойно, условными пластами мощностью по 0,15–0,2 м и поквадратно, с тщательным выявлением всех особенностей, присущих каждому слою. На послойных (пластовых) планах документировались все остатки построек, кострищ, очагов, хозяйственных и столбовых ям, а также расположение находок. Глубины залегания выявляемых объектов и находок фиксировались с помощью нивелира. Исследование культурного слоя велось только ручным инструментом. Последовательное углубление в нижние слои происходило лишь после детального изучения верхних слоев и исчерпывающей их фиксации. Регистрация процесса раскопок велась путем ежедневного учета событий в полевом дневнике, в который записывались все особенности строения культурных напластований и другие наблюдения.

Помимо дневниковых записей, все результаты раскопочных работ фиксировались чертежной и фотографической документацией. Все чертежи (планы и разрезы раскопа, стратиграфические профили) составлялись непосредственно на месте работ и в максимальной степени воспроизводили все детали, в том числе взаимное расположение слоев и сооружений и их отношение к высотным отметкам, состав, структуру и окрас слоев, наличие грунтовых, золистых, угольных и иных пятен, распределение находок на плане раскопа, условия и глубину их залегания. Планы, разрезы и профили раскопа выполнялись в едином масштабе не менее 1:20. Велась фотофиксация всего процесса раскопок, начиная с общего вида памятника и его участка, избранного для изучения; раскопа на разных уровнях снятия слоя, а также культурных напластований, сооружений и их деталей, стратиграфических профилей и пр. Все полученные при раскопках вещевые находки, остеологические, палеоботанические и другие остатки фиксировались дневниковыми записями и соответствующими чертежами и фотографиями.

Все поступающие в коллекцию материалы внесены в полевую опись и снабжены паспортами с указанием года исследования и точного места происхождения каждого предмета или фрагмента (памятник, раскоп, квадрат, слой или пласт, глубина залегания и т. п.). Исследование культурных отложений в 2015 г. было доведено до материка. По окончании раскопок исследованная площадь была рекультивирована, засыпан сделанный на памятнике котлован, удалены отвалы грунта, воссоздан почвенный слой и существовавший до начала раскопок ландшафт.

Раздел 1.
Планиграфия раскопа

Планиграфические наблюдения при археологических раскопках в 2015 г. показали сложную картину чередования культурных напластований, формировавшихся в условиях длительного функционирования здесь поселения. Все графические работы по прорисовке слоев, а также нивелировка уровня их залегания производились после тщательной зачистки вскрытого условного пласта (в среднем на глубину 10 или 20 см) и максимального выявления на нем археологизированных объектов, находящихся на каждом пласте (столбовых ямок, очагов, каменных выкладок, конструкций из дерева и т. д.). Описание напластований велось по объектам там, где есть возможность их четкого выделения, либо поквадратно там, где выявление объектов затруднено. При характеристике и описании слоев за основу были приняты основные морфологические признаки почвы, её цвет, структура, плотность, наличие включений.

Планиграфическая ситуация на уровне пласта 1 (рис. 10–13).

Снятие 1 пласта проходило не на всей площади раскопа, т. к. дневная поверхность кв. А2 и А1 находилась ниже поверхности остальных квадратов, было принято решение выровнять общую горизонтальную поверхность раскопа снятием напластований в кв. В2, В1 и С1, срединная и северо-восточная часть кв. В2 также находилась ниже общего уровня раскопа, ввиду чего она также не прокапывалась. После снятия 1 пласта выявилась следующая планиграфическая картина: в северо-западном углу и по центру кв. В2 проявился слой рыхлого тёмного гумуса, к которому с юго-западного края примыкал слой рыхлого темного гумуса с примесью битого кирпича и строительного мусора. Южнее зафиксирован слой темного плотного гумуса. В соседних кв. В1 и С1 наблюдается похожая ситуация, большую часть квадратов занимает слой рыхлого темного гумуса. По центру и на северо-западе кв. С1 прослежен слой темного плотного гумуса. Это слой выявлен и в юго-восточной части кв. В1. Небольшие по размерам угольные пятна вскрыты по границе кв. В1 и С1 и южнее. Данная ситуация отражает использование этого участка памятника в качестве стихийной свалки бытовых отходов и строительного мусора в XX веке, угольные пятна предположительно образовались в процессе выброса местным населением золы и угля после топки печей.

Планиграфическая ситуация на уровне пласта 2 (рис. 16–17, 19–20)

На этом уровне была вскрыта практически вся площадь раскопа за исключением кв. А1, дневная поверхность которого и небольшие примыкающие к нему участки находились ниже поверхности раскопа. Планиграфия линии С1-В1 выглядит следующим образом: почти всю площадь квадрата С1 занимает слой темного плотного гумуса, этот слой выявлен и в кв. В2, где он занимает часть юго-западного угла. Кроме этого слоя в кв. С1 ближе к западной стенке выявлено аморфное вытянутое зольное пятно размером 0,3×1,3 м. В том же квадрате у северной стенки прослежено пятно светло-коричневого рыхлого суглинка размером 0,35×0,28 м. В соседнем квадрате В1 выявлен слой рыхлого темного гумуса, этот слой является доминирующим и в кв. А2 и В2, также отмеченный в юго-восточном углу кв. С1. Кроме этого слоя в центральной части западного сектора квадрата В2 выявлена небольшая по размерам прослойка рыхлого темного гумуса с примесью битого кирпича и строительного мусора. Южнее отмечен темный плотный гумус. В северо-западном углу квадрата А2 отмечен темный плотный гумус с примесью бытового мусора и кирпичной крошки.

Характер напластований изменился незначительно, гумус стал плотнее и темнее, фиксируется большое количество строительного мусора.

Планиграфическая ситуация на уровне пласта 3 (рис. 22–25)

При исследовании этого пласта кв. А1 и небольшой примыкающий участок также не изучались. Вместе с тем по всему раскопу планиграфическая ситуация значительно изменилась. По линии квадратов С1-В1 и на юге кв. В2 большую часть площади занимает слой плотного тёмного гумуса, в юго-восточной части квадрата С1 обнаружены небольшие пятна темно-коричневого суглинка. Вблизи от них несколько севернее выявлено небольшое зольное пятно размером 0,2×0,15 м.

В кв. В1 у северной стенки зафиксированы несколько полос угля. В северо-западном углу этого квадрата выявлено пятно рыхлого темного гумуса, уходящего в квадрат В2 и чуть севернее. В северо-восточном углу этого же квадрата прослежен слой рыхлого темного гумуса. Этот слой занимает центральную часть на юге кв. В2. Севернее прослежен упомянутый выше слой рыхлого темного гумуса, идущего полосой по линии юго-запад — северо-восток. В северной части кв. В2 и в соседнем квадрате А2 большую часть площади занимает слой рыхлого темного гумуса, в котором зафиксирована железная водосточная труба. На северо-западе этот слой прорезает слой темного плотного гумуса с примесью бытового мусора и кирпичной крошки.

В целом, культурные наслоения значительно перемешаны — совместно со средневековой керамикой встречаются находки этнографического и недавнего

времени. Наличие большого количества кирпича, как в целом виде, так и в качестве кирпичной крошки, говорит о попадании в границы раскопа какой-то части поздней постройки, видимо, связанной с функционировавшей здесь баней, однако какие-либо чёткие ее следы не выявлены. Со слов местных жителей, железная труба является водостоком от бани, ранее стоявшей вблизи от участка раскопа.

Планиграфическая ситуация на уровне пласта 4 (рис. 29–32)

При изучении этого пласта культурный слой был изучен практически по всей площади раскопа, за исключением северо-восточного сектора квадрата А1 и примыкающей к нему небольшой части квадрата А2.

Большую часть квадратов С1 и В1, а также юга В2 занимает слой темного плотного гумуса, в южной части квадрата С1 выявлены небольшие угольные полосы и остатки археологизированного дерева. Прослойки и пятна угля, золы, плотного темно-коричневого гумуса с включением угля, золы, органики прослежены также по центральной части квадрата В1. Также на его площади выявлено небольшое пятно прокаленного грунта, размером 0,4×0,3 м, и более крупное пятно светло-коричневого рыхлого суглинка, размером 0,9×0,4 м. В изученной части кв. А1 выявлен слой рыхлого темного гумуса, с примесью битого кирпича и строительного мусора, этот слой занимает также небольшую часть квадрата А2 и центральный сектор квадрата В2. В квадрате А1 в этом слое выявлены также небольшие угольные пятна, далее к северу отмечен слой рыхлого темного гумуса, уходящий в северо-западном направлении и выявленный на большей части квадрата В2.

Кроме этих наслоений, в кв. В2 выявлен слой светло-коричневого рыхлого суглинка, размером 0,35×0,4 м, уходящий на юг за пределы раскопа. По границе квадратов В2 и А2, ближе к восточной части, выделено продолговатое угольное пятно размером 0,8×0,25 м. Еще одно угольное пятно округлой формы выделено в юго-восточном углу квадрата В2. Также в этом квадрате и в квадрате А2 прослежены водосточные трубы и зоны траншей для них, связанные с верхними слоями. К северу от них зафиксированы слои темного плотного гумуса с примесью мусора и кирпичной крошки, светло-коричневого рыхлого суглинка и прокала.

Таким образом, стало понятно, что после снятия 4 пласта продолжают фиксироваться проявления недавней человеческой деятельности: трубы, бытовые строительные отходы, культурный слой значительно потревожен.

Планиграфическая ситуация на уровне пласта 5 (рис. 37–39, 41–43)

При изучении этого пласта культурный слой был изучен практически по всей площади раскопа, за исключением северо-восточного сектора квадрата А1.

В квадрате С1 большую часть площади занимает слой золы, севернее он соседствует со слоем темно-коричневого плотного гумуса с включением угля, золы и органики светло-коричневого цвета, а также со слоем рыхлого серо-бежевого гумуса, занимающего западный сектор квадрата. Рядом — остатки древесины и пятно угля. Также в северо-западном углу выявлена небольшая прослойка рыхлого темного гумуса с примесью битого кирпича и строительного мусора, наиболее мощно этот слой представлен в кв. В2, где он занимает основную площадь. В квадрате В1 выявлен слой темного плотного гумуса, севернее — слой рыхлой темной супеси, западнее — слой плотного серого гумуса, уходящий в кв. В2. В соседнем квадрате А1 прослежены слой рыхлого темного гумуса с примесью битого кирпича и строительного мусора, с пятнами золы со значительным содержанием угля; севернее — слой рыхлого темного гумуса, западнее — слой темного плотного гумуса, продолжающиеся на востоке кв. А2. По границе квадратов В2 и А2 прослежена сложная планиграфическая ситуация, здесь выявлен слой рыхлого темного гумуса, подтреугольной формы, который огибает слой рыхлой слоистой органики с включением золы и угля. Также в кв. В2 выявлены пятна угля, плотного светло-зеленого суглинка, древесины. Большая часть квадрата А2 занята слоем светло-коричневого суглинка с примесью битого кирпича и строительного мусора. Западнее от этого слоя выделено небольшое пятно темного плотного гумуса с примесью бытового мусора и кирпичной крошки.

По опыту раскопок городища прошлых лет, некоторые из напластований в юго-восточной части раскопа могут быть связаны со слоями, содержащими «чистый» раннесредневековый материал.

Планиграфическая ситуация на уровне пласта 6 (рис. 46–49, 51, 54–56)

На этом пласте выявлен непотревоженный слой эпохи раннего Средневековья по всей площади раскопа, кроме северо-восточного угла квадрата А1. Сложная картина культурных напластований была по линии А1-С1. В кв. С1 большую часть площади занимает слой темного плотного гумуса, заходящий и на юг кв. В1. Также в кв. С1 в юго-восточном секторе и в центральной части квадрата выявлены небольшие угольные и зольные пятна. В западной части выявлен слой археологизированного дерева, полуовалом его окаймляют последовательно прослойки плотного светло-зеленого суглинка, золы и угля. Слой рыхлого серо-бежевого гумуса выделен в западном секторе этого квадрата и на юге линии квадратов В2–В1. Квадраты С1 и В1 по центру разделяет прослойка рыхлой слоистой органики с включением золы и угля, размеры ее 1×0,34 м, а восточнее — рыхлого светло-серого гумуса с включением угля, золы, органики. Далее к северу выявлен слой плотного серого гумуса с зольными пятнами. Западную часть квадрата частично занимает пятно темно-серого плотного гумуса с вклю-

чением угля, золы и органики, продолжающийся и чуть западнее. По его краям отмечена прослойка рыхлой слоистой органики с включением золы и угля, а также следы дерева. Большая часть квадрата А1 занята слоем плотного серого гумуса. С запада к нему примыкает мощное пятно рыхлого светло-серого гумуса с включением угля, золы и органики коричневого цвета. Этот слой является доминирующим в кв. А2 и В2.

В кв. А2 в западном секторе выявлено 8 деревянных плах (предположительно остатки деревянного настила), вытянутых с востока на юго-запад. Северная часть квадрата А1 занята слоем рыхлого темного гумуса, уходящего полосой в северо-западном направлении, что зафиксировано в кв. А2. По границе квадратов В2 и А2 прослежена цепочка небольших зольных пятен. Южную часть квадрата В2 занимает упомянутое пятно рыхлого серо-бежевого гумуса. Западнее к ним примыкает слой темно-серого плотного гумуса с включением угля, золы и органики, этот слой уходит в стенку раскопа.

Наличие деревянного настила в предыдущие годы раскопок связывалось с выделением самостоятельных строительных горизонтов, этому не противоречат и развалы сосудов, *in situ* днищами, углубленными в культурный слой (рис. 49, 51, 56).

Планиграфическая ситуация на уровне пласта 7 (рис. 62–63, 65–67)

Изучению подверглась вся площадь раскопа. На уровне этого пласта планиграфическая ситуация существенно изменилась, особенно в кв. С1-А1. В кв. С1 большая часть площади занята слоем плотного серого гумуса, уходящего в квадраты В1 и В2, в южном секторе прослежены пятна темно-серого плотного гумуса с включением угля, золы и органики, а также светло-серого гумуса с включением золы, угля и органики коричневого цвета. В границах квадрата встречены также тонкие полосы угля и золы, уходящие в соседний квадрат В1. По центру квадрата С1 прослежен слой рыхлой слоистой органики с включением золы и угля. В кв. В1 большую часть площади занимает слой рыхлого серо-бежевого гумуса с зольными пятнами, этот слой прослежен и в соседнем квадрате А1. В кв. В1 выявлено несколько камней средних размеров, расположенных по линии юг-север. Также в кв. А1 прослежено пятно угля, вытянутое по линии юго-восток — северо-запад. В северо-восточном углу квадрата А1 выделено небольшое пятно рыхлого темного гумуса, размером 0,35×0,3 м, связанное с поздними напластованиями. В кв. В2 и А2 большую часть занимает слой рыхлого светло-серого гумуса с включением угля, золы и органики коричневого цвета. В этом слое встречены зольные пятна, содержащие уголь, которые расположены в кв. А2. Восточнее, на границе квадратов А2-В2 и А1-В1, находится слой рыхлой органики с включениями золы и угля.

Однородность напластований, а также отсутствие развалов сосудов, дает основание связать этот пласт с отложениями одного периода.

Планиграфическая ситуация на уровне пласта 8 (рис. 70–72, 74–82)

При исследовании этого пласта проявилась довольно интересная планиграфическая ситуация. В кв. В1, В2, А1 и А2 выделен слой рыхлой слоистой органики с включением золы и угля. Условно в центральной части раскопа (кв. В1 и В2) выделен слой плотного серого гумуса. Совместно два этих слоя являются доминирующими на этом пласте. С ними связаны пятна и прослойки золы, угля, различного по оттенкам и плотности гумуса с включениями золы, угля, органики.

Кроме них в кв. С1 выделен слой темно-серого плотного гумуса с включением угля, золы и органики, с запада он граничит с пятном золы и угля. В северо-западном углу квадрата отмечено небольшое пятнышко темно-коричневого плотного гумуса с включением угля, золы и органики светло-коричневого цвета. С востока напластования кв. С1 представлены слоем светло-серого гумуса с включением золы, угля и органики коричневого цвета, этот слой прослежен и в соседнем квадрате В1. Западнее от него выявлен вытянувшийся полосой с юга на север зольный слой со значительным содержанием угля. В квадрате А1 северо-восточный сектор занят слоем плотного светло-зеленого суглинка, окаймленного угольными и зольными пятнами. Они связаны с более ранними напластованиями. В северо-восточном углу прослежены полосы темно-коричневого плотного гумуса с включением угля, золы и органики светло-коричневого цвета, а также рыхлого темного гумуса, относящиеся к поздним напластованиям.

Интересным объектом, выявленным на этом пласте, является очажное пятно округлой формы, обнаруженное в центральной части кв. А2. Пятно представляет собой мощный прокал, который окаймляет слой плотной темно-коричневой органики, с востока в это пятно прокала вклинивается слой рыхлого светло-серого гумуса с включением угля, золы и органики коричневого цвета. Значительную часть квадрата занимает слой рыхлого светло-серого гумуса с включением угля, золы и органики коричневого цвета, продолжающийся и южнее. В северо-западной части квадрата А2 проявилось пятно светло-коричневого рыхлого суглинка. На юге кв. В2 отмечен слой плотного серого гумуса.

Ввиду того, что на этом пласте выявились очажное устройство и несколько развалов сосуда, данный пласт стоит связывать с отдельным строительным горизонтом.

Планиграфическая ситуация на уровне пласта 9 (рис. 88–91, 93, 96–98)

На этом пласте планиграфическая ситуация продолжает оставаться довольно сложной. В квадратах С1-А1 центральную часть занимает слой рыхлого свет-

ло-серого гумуса с включением угля, золы и органики коричневого цвета. Западнее расположен более ранний слой рыхлой слоистой органики с включением золы и угля. В квадратах В1 и А1 в него вклиниваются прослойки зольника и темно-коричневой органики. На юге с ним соседствуют и частично перекрывают многочисленные чередующиеся прослойки рыхлого серого, темно-серого плотного, коричневого плотного, светло-серого гумуса, все — с включением угля, золы и органики. На юге кв. В2 отмечены также включения угля, органики, плотного серого гумуса. В восточной части квадратов С1-А1 проявилось пятно плотного светло-зеленого суглинка, в нем выявлены включения угля, золы и рыхлой слоистой органики. На северо-востоке кв. А1 отмечен небольшой участок рыхлого темного гумуса, связанный с верхними слоями.

Пятно светло-серого гумуса с включением золы, угля и органики коричневого цвета выявлено на большей части квадратов В2-А2, в его центре на севере — остатки очага, исследованного на уровне пласта 8. В квадратах В2-А2 по западной части прослежен зольный слой, в восточной части обоих квадратов выявлены следы плотного серого гумуса, пятна плотной темно-коричневой органики, зольника, темно-серого плотного гумуса с включениями угля, золы, органики.

Планиграфическая ситуация на уровне пласта 10 (рис. 104–110, 116–118)

Большую часть площади раскопа на этом уровне занимает слой рыхлой слоистой органики с включением золы и угля. В нем фиксируются небольшие угольные и зольные пятна, разбросанные хаотично. В северо-восточной части кв. А1 очищена группа из трех небольших камней, включенных в слой, состоящий из рыхлого темного гумуса с примесью битого кирпича и строительного мусора. Он явно связан с отложениями, значительно более поздними, чем большинство на этом уровне. Этот слой южнее и западнее соседствует со слоем рыхлого светло-серого гумуса с включением угля, золы и органики коричневого цвета, который частично перекрывает господствующие слои.

В южной части квадрата С1 у стенки зачищено зольное пятно. Золистый слой присутствует также на юге кв. В2 и примыкающих к нему участках квадратов В1 и С1. Между ними расположена пачка прослоек темно-коричневого плотного гумуса с включением угля, золы и органики светло-коричневого цвета, рыхлого светло-серого гумуса с включением угля, золы и органики коричневого цвета, в ряде случаев их разделяет угольная прослойка.

В квадрате А2 слой плотной темно-коричневой органики и рыхлой слоистой органики с включением золы и угля соседствует со слоем темно-серого плотного гумуса с включением угля, золы и органики, который окаймляет пятно плотного темно-серого гумуса с включением угля, золы, органики, которая окружает группу из трех небольших камней в слое органики. Камни также обнаружены

и в западной части квадрата А2, в этом месте они соседствуют с частью кирпичной кладки от какого-то позднего строения и расположены в слое плотного серого гумуса.

Большинство напластований этого уровня связаны с зафиксированными выше слоями.

Планиграфическая ситуация на уровне пласта 11 (рис. 122–126)

На этом пласте преобладающим слоем почти во всех вскрытых квадратах является рыхлый светло-серый гумус с включением угля, золы и органики коричневого цвета. Кроме того в кв. С1, В1 и В2 выявлено большое количество пятен золы, в т. ч. с включением угля, пятна органики. В восточном секторе кв. С1-А1 выделены прослойки светло-серого гумуса с включением золы, угля и органики коричневого цвета. На стыке кв. А2 и А1 находится пятно темно-серого плотного гумуса с включением угля, золы и органики, и соседствующие с ним небольшие прослойки рыхлой слоистой органики с включением золы и угля и плотной темно-коричневой органики. По-видимому, это пятно образовалось при проседании слоев над хозяйственной ямой № 1 (см. о ней ниже). В северо-западной части кв. А2 отмечена линза темного плотного гумуса, также связанная со слоями, расположенными выше рассматриваемого среза.

В кв. В2 в западном секторе выделено пятно светло-коричневого рыхлого суглинка размером 0,8×0,7 м. Оно соседствует со слоем темно-коричневого плотного гумуса с включением угля, золы и органики светло-коричневого цвета, продолжающимся в кв. А2. В этом слое отмечены пятна концентрации угля, золы, органики. Сложная планиграфическая ситуация отмечена в квадрате С1, западный сектор этого квадрата занят наслоениями, состоящими из чередующихся прослоек золы, темно-коричневого плотного гумуса, темно-серого плотного гумуса, рыхлого светло-серого гумуса; все — с включениями золы, угля, органики.

Планиграфическая ситуация на уровне пласта 12 (рис. 134–135, 137–139)

Превалирующим слоем практически по всей площади раскопа является рыхлый светло-серый гумус с включением угля, золы и органики коричневого цвета. Кроме того в кв. С1 в западном секторе выявлено крупное зольное пятно с включением угля, уходящее в кв. В1 и В2. Схожие пятна, а также цепочка камней по линии север — юг, отмечены по всей линии кв. С1-А1. По границе квадратов А2-В2 и А1-В1, как и на предшествующем пласте, фиксируется проседание слоев и прослоек над заполнением хозяйственной ямы № 1. В северной части квадрата А1 отмечен слой темного плотного гумуса.

В западной части квадрата В2 выявлены слои плотного светло-коричневого гумуса с небольшими включениями золы и угля, этот слой соседствует со сло-

ем темно-коричневого плотного гумуса с включением угля, золы и органики светло-коричневого цвета. Все описанные наслоения уходят в стенку раскопа.

На этом пласте найдено значительное количество шлака. Шлаковые лепешки и небольшие кусочки шлака тянулись с юга-запада на северо-восток через кв. В2, В1 и А1. Т. к. шлак в основном выявлен на границе погребенного аллювия и культурных напластований, можно предположить, что этот участок памятника первоначально использовался для плавки металла.

Планиграфическая ситуация на уровне пласта 13 (рис. 142–144)

Практически на площади всего раскопа культурные напластования, содержащие археологический материал, больше не фиксировались. Исключением стали кв. А2 и А1, в которых на фоне погребенного аллювия выделяются хозяйственная яма № 1 и пятно «углежогной» ямы (?) в восточном секторе кв. А1, уходящее в стенку раскопа. Эти два объекта являются наиболее ранними.

При зачистке поверхности хозяйственной ямы выявлены следующие напластования: внешнюю границу ямы окаймляет слой темно-коричневого плотного гумуса с включением угля, золы и органики светло-коричневого цвета. Далее выделен слой золы с содержанием угля, полукругом огибающий внутренний слой, состоящий из плотной темно-коричневой органики.

Объект, названный нами «углежогной» ямой в кв. А1, проявился зольным пятном, окружавшим слой прокала с примыкающим к нему слоем угля, содержащим шлак.

Планиграфическая ситуация на уровне пласта 14 (рис. 146)

При изучении этого пласта культурные напластования выделены в кв. А2 и А1, в границах хозяйственной ямы № 1, где зафиксирован слой темно-коричневого плотного гумуса с включением угля, золы и органики светло-коричневого цвета.

Планиграфическая ситуация на уровне пласта 15 (рис. 158–159)

При снятии этого пласта заполнение хозяйственной ямы не изменило своей структуры: по-прежнему фиксируется слой плотного гумуса с включением угля, золы и органики светло-коричневого цвета. В кв. А1 была найдена глиняная льячка, вероятно, попавшая в стерильный слой в ходе деятельности землеройных животных из соседних объектов и нижней части культурного слоя. В любом случае эта находка подтверждает вывод о том, что на этом месте велась активная металлургическая деятельность.

Раздел 2.
Стратиграфия раскопа

В ходе исследования было выделено большое количество напластований, различающихся по цвету, плотности и структуре. Часть слоев имеет одинаковую составляющую с вкраплениями других компонентов, фиксируемых в той или иной степени. Следует отметить, что на всех стенках наблюдается чередование слоев с органической составляющей и более плотных, в основе которых лежит серозем или темно-серый суглинок. Данное наблюдение позволяет выдвинуть предположение о сохранении традиций в использовании строительных материалов, а также способствует выделению хронологических этапов освоения территории памятника.

Профиль бровки по линии А2-В2. Вид с запада (рис. 171, 166)

Стенка имеет длину 4,5 метра и высоту в среднем 2,6 метра. Слои залегают в основном горизонтально, перекопов, нарушающих слои, не зафиксировано. Мощность верхнего слоя, состоящего из рыхлого темного гумуса, составляет 0,1–0,35 м. Слой плавно понижается от вершины в квадрате В2 до квадрата А1. Ниже в кв. В2 выявлен слой темного плотного гумуса мощностью 0,1–0,4 м, увеличивающейся к югу. Этот слой перекрывает наслоения рыхлого темного гумуса с примесью битого кирпича и строительного мусора, его толщина на некоторых участках в месте стыковки кв. А2 и В2 достигает толщины 0,4 м. В средней части кв. А2 этот слой прерывается, что связано с более поздней строительной деятельностью на этом участке памятника (по словам местных жителей, здесь стояла баня).

Ниже описанного рыхлого слоя гумуса зафиксированы две небольшие прослойки золы и темного плотного гумуса с примесью бытового мусора и кирпичной крошки, мощность обоих слоев не превышает 0,1–0,15 м.

Под ними прослежен слой плотного серого гумуса мощностью до 0,25 м. Ниже него в кв. А2 выявлен слой темного плотного гумуса мощностью 0,1–0,2 м. Далее вниз через оба квадрата проходит прослойка угля, толщиной до 0,05 м. Ее подстилает тонкая прослойка темно-коричневого плотного гумуса с включением угля, золы и органики светло-коричневого цвета, мощность которой не превышает 0,1 м.

Ниже выделен слой рыхлого темного гумуса с примесью битого кирпича и строительного мусора, мощностью 0,15–0,08 м. Под ним лежит тонкий слой рыхлой слоистой органики с включением золы и угля, мощностью 0,02 м. Ниже него находится прослойка темно-серого плотного гумуса с включением угля, золы и органики, толщиной 0,1–0,18 м. В южной части кв. В2 прослежены следы серо-бежевого грунта, ниже и выше которого отмечены слои золы и угля; общая мощность этих наслоений — до 0,2 м. Ниже выявлен слой темно-серого плотного гумуса с включением угля, золы и органики, мощностью 0,1–0,15 м. Все описанные выше слои подстилает тонкая прослойка золы, толщиной до 0,05 м. Ниже нее на юге кв. В2 выделен тонкий слой темно-коричневого плотного гумуса с включением угля, золы и органики светло-коричневого цвета, толщиной 0,01–0,03 м. Ниже прослежен слой плотного серого гумуса, толщиной 0,08–0,1 м. От этого участка на север идет слой рыхлой слоистой органики с включением золы и угля, мощностью 0,1–0,2 м. Их подстилает прослойка темно-коричневого плотного гумуса с включением угля, золы и органики светло-коричневого цвета, толщиной до 0,03 м, проходящая через всю бровку. Над ней в кв. В2 прослежен слой золы толщиной 0,1 м.

Ниже этих наслоений прослежены слои золы и угля, проходящие практически через всю бровку, общей мощностью 0,03–0,04 м. Далее вниз степень сложности литологических наслоений усиливается в южной части кв. В2. Здесь прослежены слой плотного серого и темно-коричневого гумуса, который подстилает слой рыхлого светло-серого гумуса с включением угля, золы и органики, ниже цвет и плотность гумуса меняются. Цвет слоя становится темно-серым, плотность увеличивается. Ниже гумусных отложений прослежен слой золы. Эта пачка слоев в совокупности имеет мощность 0,3 м, в отдельности толщина каждого слоя не превышает 0,1 м. Ниже этих слоев, смыкаясь по нижнему уровню со слоем золы, выявлен слой рыхлой слоистой органики с включением золы и угля. На большей части бровки он на этом уровне является господствующим, его мощность в некоторых местах превышает 0,3 м.

Ниже него выявлена угольная прослойка мощностью 0,03 м, имеющая западение в северной части, а в южной перекрытая очень тонким слоем темного гумуса с включениями угля, золы, органики. В кв. В2 ее подстилают тонкие слои золы и плотного серого гумуса. Мощность этих слоев не превышает 0,03–0,05 м. В кв. А2 и далее вплоть до конца бровки ситуация иная, здесь выявлен слой темно-серого плотного гумуса с включением угля, золы и органики, мощностью до 0,2 м. Ниже него выявлены смыкающиеся по границе кв. А2 слои прокала и плотной темно-коричневой органики толщиной 0,05 и 0,1 м соответственно. Их подстилает слой золы мощностью до 0,12–0,15 м. Все эти слои имеют западение в месте начала устья хозяйственной ямы. Описанные слои в обоих ква-

дратах подстилает слой рыхлого светло-серого гумуса с включением угля, золы и органики коричневого цвета, мощностью от 0,38 в кв. В2 до 0,07 м в кв. А1. В ряде мест он прерывается прослойками гумуса разных цветов, с включениями, зольниками, органикой.

Ниже него расположены прослойки угля, в кв. В2 слои органики и темно-коричневого гумуса с включениями угля, золы, органики перекрыты слоями золы и органики. Мощность этих прослоек — не более 0,05 м каждая. В кв. А2 ниже угля зафиксирован тонкий слой светло-серого гумуса с включениями золы, угля, органики. На границе с кв. А1 он прерывается хозяйственной ямой № 1 (см. ее описание в разделе 3).

Слой погребенной почвы, состоящий из плотного аллювия, имеет мощность до 0,5–0,6 метра.

Профиль южной стенки квадрата С1. Вид с севера (рис. 167, 172).

Стенка имеет длину 2 метра и среднюю высоту 2,6 м. Слои залегают в основном горизонтально. Верхний слой представлен рыхлым темным гумусом, мощностью до 0,2 м. С ним связан котлован, фиксируемый в восточной части профиля. Здесь мощность описываемого слоя достигает 0,32 м. Ниже него залегает слой темного плотного гумуса, мощностью от 0,35 до 0,6 м. В нем зафиксированы небольшие зольные включения мощностью до 0,05 м. Ниже этого слоя прослежен зольный слой, имеющий мощность до 0,26 м. В нем зафиксированы тонкие линзы рыхлого светло-серого гумуса с включением угля, золы и органики коричневого цвета, мощностью до 0,03 м. Этот слой подстилает прослойка темного плотного гумуса, мощностью до 0,2 м. Ниже прослежена прослойка рыхлого светло-серого гумуса с включением угля, золы и органики коричневого цвета, толщиной до 0,03 м. Она имеет в восточной части понижение.

Этот слой подстилает тонкая прослойка угля мощностью 0,08 м. Ниже нее зафиксирован слой светло-серого гумуса с включением золы, угля и органики коричневого цвета, мощностью до 0,15 м. В западной части квадрата он частично покрывает слой плотного серого гумуса мощностью до 0,08 м. Ниже вновь выявлен тонкий слой угля, лежащий на темно-сером гумусе с включением угля, золы и органики, мощностью 0,1–0,12 м.

Ниже этого слоя проходит полоса угля, плавно понижающаяся к восточному краю раскопа. Ниже выделен слой темно-серого плотного гумуса с включением угля, золы и органики, мощностью до 0,08 м, с зольной прослойкой в восточной части, мощностью до 0,04. Ниже этого слоя вновь фиксируется угольная прослойка, покрывающая слой темно-серого плотного гумуса с включением угля, золы и органики, толщиной до 0,12 м. На него заходят слои гумуса (темно-коричневого цвета с запада и светло-серого цвета с востока) с включениями

угля, золы, органики. Ниже выявлена прослойка рыхлого светло-серого гумуса с включением угля, золы и органики коричневого цвета мощностью до 0,03 м. На востоке его подстилает слой угля мощностью до 0,02 м, включенного в слой плотного светло-зеленого суглинка мощностью 0,1–0,12 м. Западнее этих наслоений выявлен слой темно-серого плотного гумуса с включением угля, золы и органики мощностью до 0,1 м.

Все эти слои подстилает прослойка угля мощностью 0,02–0,03 м. Ниже нее зафиксированы тонкие прослойки темно-серого плотного и светло-серого рыхлого гумуса с включением угля, золы и органики; мощность этих слоев в совокупности составляет 0,06 м. Ниже выделена прослойка светло-серого гумуса с включением угля, золы и органики, мощностью 0,07–0,012 м. На западе она частично перекрыта и соседствует со слоем темно-серого плотного гумуса с включением угля, золы и органики; мощность этого слоя — 0,07–0,018 м.

Эти наслоения подстилают лежащие горизонтально слои золы (0,03 м), плотной темно-коричневой органики (0,02 м) и более мощный слой рыхлого светло-серого гумуса с включением угля, золы и органики коричневого цвета (0,06–0,09 м). Ниже залегает слой темно-серого плотного гумуса с включением угля, золы и органики (0,07 м). Он подстилается слоем золы мощностью 0,03 м. Ниже выделен очень мощный слой рыхлого светло-серого гумуса с включением угля, золы и органики коричневого цвета, достигающий толщины 0,3 м. В него включена прослойка золы мощностью 0,02 м, доходящая до 1/3 квадрата. В западной части схожий слой с прослойками выклинивается и выше — над упомянутым слоем золы. На востоке этот слой золы перекрывают прослойки темно-коричневого гумуса с включениями угля, золы, органики, а также зольника.

Все это лежит на слое золы мощностью около 0,02 м, его подстилает прослойка плотной темно-коричневой органики (0,01–0,02 м). Ниже снова выявлен слой золы мощностью до 0,02 м, его в свою очередь подстилает слой темно-коричневого плотного гумуса с включением угля, золы и органики светло-коричневого цвета мощностью 0,02 м.

Ниже этих наслоений зафиксирован слой погребенной почвы толщиной от 0,38 до 0,43 м.

Профиль западной стенки квадрата С1 вид с востока и южной стенки квадрата В2 вид с севера. Общая развёртка (рис. 162, 173)

В этой развернутой стратиграфии объединены профили стенок двух квадратов, культурные напластования которых создают цельную картину залегания слоев. Описание слоев приводится по обеим стенкам начиная с кв. С1. Общая длина этого профиля 4 м, средняя высота 3,3–3,5 м.

Верхний слой мощностью от 0,35 до 0,45 м представлен рыхлым темным гумусом мощностью от 0,25 до 0,37 м, ниже залегает мощный слой темного плотного гумуса толщиной до 1 м. В кв. В2 в этом слое отмечены небольшие включения рыхлого серо-бежевого гумуса мощностью до 0,1 м. По центру кв. В2 прослежено углубление, появившееся в результате укладки водоотводной трубы, глубина углубления — до 0,65 м, заполнение представлено рыхлым темным гумусом.

Ниже в кв. В2 прослежен слой рыхлого темного гумуса с примесью битого кирпича и строительного мусора, мощность слоя 0,28–0,3 м. В этот слой включены прослойки угля и золы различной мощности от 0,02 до 0,04 м. По границе квадратов его перекрывают мощные линзы плотного серого гумуса и угля. По всей видимости все эти наслоения отложились в процессе функционирования на этом участке бани.

Ниже этих слоев зафиксирован слой рыхлого серо-бежевого гумуса, мощность этого слоя более 0,4 м, с включением прослоек угля и золы. Ниже прослежена тонкая (0,02 м) прослойка темно-коричневого плотного гумуса с включением угля, золы и органики светло-коричневого цвета. В кв. С1 несколько выше этого слоя прослежена прослойка плотного светло-зеленого суглинка, мощность до 0,15 м. В северной части этого квадрата она связана со слоем плотного серого гумуса, мощностью до 0,2 м. Выше него отмечены (сверху вниз) прослойки золы, темно-коричневого плотного гумуса, рыхлого светло-серого гумуса с включением угля, золы и органики коричневого цвета, совокупная толщина этих наслоений — чуть более 0,1 м.

Ниже этих слоев через оба квадрата проходит слой плотного серого гумуса мощностью 0,1–0,18 м. Ниже него отмечена тонкая (0,02 м) прослойка темно-коричневого плотного гумуса с включением угля, золы и органики светло-коричневого цвета. Ниже — довольно мощный слой темно-серого плотного гумуса с включением угля, золы и органики, толщиной до 0,12 м.

Этот слой подстилают тонкие прослойки угля, золы, плотного («заливка») и темно-коричневого плотного гумуса с включением угля, золы и органики светло-коричневого цвета; мощность прослоек (кроме «заливки») не превышает 0,05 м. Ниже них залегает слой рыхлого светло-серого гумуса с включением прослоек угля, золы и органики коричневого цвета, местами в этом слое отмечены линзы рыхлой слоистой органики с включением угля и золы; мощность слоя достигает 0,25 м.

Ниже вновь зафиксирована тонкая прослойка темно-коричневого плотного гумуса с включением угля, золы и органики коричневого цвета, толщиной 0,02 м, ниже — слой темно-серого плотного гумуса с аналогичными включениями, который подстилают прослойки золы и угля мощностью до 0,1 м. Ниже и выше их отмечены две тонкие прослойки, состоящие из темно-коричневого плотного

гумуса с включением угля, золы и органики и угольная прослойка. Мощность прослоек — не более 0,08 м.

Еще ниже зафиксирован слой угля, подстилаемого зольной прослойкой; толщина этой пачки наслоений достигает 0,18 м. Эти слои подстилает тонкий слой рыхлого светло-серого гумуса с включением угля, золы и органики коричневого цвета, мощностью до 0,12 м. В этом слое в кв. В2 отмечена вертикальная «кротовина», глубиной до 0,15 м. Кротовина прорезает пачку наслоений, состоящих из темно-коричневого и темно-серого плотного гумуса с включением угля, золы и органики, зольную прослойку, над которой в кв. В2 отмечена прослойка угля. Мощность этих наслоений достигает 0,15 м.

Ниже отмечены слои золы со значительным содержанием угля (мощность 0,15–0,18 м), локализованные в основном в кв. В2. Ниже него и в кв. С1 находятся слои рыхлого светло-серого гумуса с включением угля, золы и органики коричневого цвета; мощность этого слоя составляет 0,35–0,45 м. В этом слое в кв. С1 отмечены тонкие прослойки золы, темно-коричневого плотного гумуса с включением угля, золы и органики светло-коричневого цвета и светло-желтой супеси; мощность этих прослоек невелика, в основном она не превышает 0,05 м. В кв. В2 на этом уровне прослежен слой угля мощностью до 0,1 м.

Ниже этого слоя в кв. В2 выделена прослойка рыхлой слоистой органики с включением золы и угля, толщиной до 0,04 м. На одном уровне с этим слоем в кв. С1 отмечен слой темного плотного гумуса, толщиной до 0,02 м. Ниже этих наслоений отмечены тонкие прослойки плотной темно-коричневой органики, светло-коричневого рыхлого суглинка, темно-коричневого плотного гумуса с включением угля, золы и органики светло-коричневого цвета, прорезаемые линзами угля; мощность каждого слоя не превышает 0,02 м. В кв. В2 в профиль попал след от столбовой ямы № 74, связанной с самой нижней прослойкой. Дно этой столбовой ямы конусовидное, заостренное, глубина — 0,37 м, ширина не превышает 0,03 м.

Профиль восточной стенки по линии квадратов А1-С1.
Вид с запада (рис. 169–170, 174)

Длина стенки 6 м, высота от 2,5 до 1,2 м. Верхний слой мощностью от 0,2 до 0,38 м (углубление на границе кв. С1 и В1) представлен, как и на всей площади раскопа, рыхлым темным гумусом. Ниже залегает слой темного плотного гумуса мощностью до 0,35 м. В кв. С1 в этом слое на уровне нивелировочной отметки –244 отмечен слой светло-желтой супеси, подстилаемой угольной прослойкой, мощность этих наслоений 0,12 м.

Ниже слоя темного плотного гумуса отмечены прослойки золы и темно-коричневого плотного гумуса с включением угля, золы и органики светло-корич-

невого цвета; толщина слоев не превышает 0,1 и 0,04 м; они плавно поднимаются вверх начиная с границы квадратов С1 и В1. Ниже этих слоев тоже выявлен слой темного плотного гумуса толщиной до 0,15 м, в северной части кв. В1 он достигает 0,4 м и в нижней части имеет линзу (длина 0,8, толщина до 0,15 м) темной рыхлой супеси на прослойке из плотной темно-коричневой органики. На границе кв. В1 и А1 этот слой прорезается слоем рыхлого темного гумуса с примесью битого кирпича и строительного мусора. Перекоп с подобным заполнением зафиксирован и у северного края кв. А1.

Ниже в кв. В1 и С1 отмечена прослойка, включающая участки золы, темного и светлого гумуса с включениями угля, золы, органики, мощностью до 0,15 м, плавно поднимающаяся с юга на север. Ниже этой прослойки по всей линии квадратов расположен слой плотного серого гумуса мощностью до 0,35 м, прерываемый линзами, содержащими уголь или гумус с включениями угля, золы, органики. В кв. В1 и А1 под ним — слой рыхлого серо-бежевого темного гумуса, толщиной до 0,2 м, с включениями плотного светло-зеленого суглинка в северной части.

Эти слои находятся на расположенной горизонтально прослойке, включающей участки золы, светло-коричневого и плотного темно-серого гумуса с включениями угля, золы, органики. Ниже в кв. В1 и С1 отмечен слой рыхлого темного гумуса, толщиной до 0,05 м, в южном секторе кв. С1 — угля. Их подстилает прослойка светло-серого гумуса с включением золы, угля и органики коричневого цвета. Под ним залегает слой плотного светло-коричневого гумуса с небольшим включением золы и угля мощностью до 0,05 м.

Ниже через все квадраты, повышаясь в кв. А1, проходит слой угля, покрывающий плотный светло-зеленый суглинок, мощностью до 0,1 м на юге и до 0,2 м на севере. Он подстилается лежащими горизонтально линзой золы (в центре кв. В1), прослойкой рыхлого светло-серого гумуса с включениями угля, золы, органики, лежащей на прослойке угля.

Далее вниз характер слоев меняется в каждом квадрате. В кв. А1 зафиксирован слой рыхлого светло-серого гумуса с включениями (мощность до 0,2 м), в северной части он покрывает выклинивающийся слой прокала, в соседнем кв. В1 он сходит на нет, покрывая слой рыхлой слоистой органики с включением золы и угля (мощность до 0,15 м), который, становясь намного тоньше, продолжается в кв. С1, где переходит в слой золы и покрыт прослойками зольника с углем, светло- и темно-серого гумуса с включениями угля, золы, органики. Видимо, эта разница связана с различной антропогенной нагрузкой на разные изучаемые участки в древности.

Ниже этих напластований отмечена прослойка темно-коричневой органики, понижающаяся в кв. А1, покрывающая в кв. В1 и А1 прослойку темно-серого

гумуса с включением угля, золы и органики, которая покрывает в кв. А1 линзу золы и схожий, но более светлый слой, в кв. В1 — рыхлый светло-серый гумус с включением угля, золы и органики коричневого цвета, продолжающийся в кв. С1, где его мощность увеличивается до 0,12 м.

Эти слои на протяжении почти всего участка подстилает слой угля, на юге — темно-серого плотного гумуса с включением угля, золы и органики. Ниже находятся слои светло-серого гумуса, переходящего в темно-коричневый, оба с включением угля, золы и органики. В кв. А1 они покрывают прослойку органики, вклинивающуюся в кв. В1 в слой светло-серого гумуса с включением угля, золы и органики. На севере кв. С1 они покрывают вклинившийся пакет слоев гумуса разной окраски, с включением угля, золы и органики, включающий прослойку золы и, внизу, зольник с углем.

Ниже находится рыхлый светло-серый гумус с включением угля, золы и органики, с линзой угля; мощность этого слоя — от 0,08 м на севере, а южнее на некоторых участках доходит до 0,2 м. В кв. А1 и В1 он покрывает прослойку органики. В самом низу отмечены тонкие слои золы (с ним связана зафиксированная профилем в кв. С1 столбовая яма № 90, заполненная золой) и темно-коричневого плотного гумуса с включением угля, золы, органики.

В кв. А1 зафиксированы напластования, связанные с углежогной ямой. Яма углублена в предматериковый суглинок на 0,1–0,15 м. Верхний тонкий слой, мощностью 0,05 м, состоит из темно-коричневого плотного гумуса с большим количеством угля и золы. Ниже отмечен мощный слой прокала, толщиной 0,15 м, по краям которого отмечены линзы золы и угля.

Профиль западной стенки по линии квадратов А2-В2. Вид с востока (рис. 163–166, 175)

Длина стенки в верхней части — 4,8 м, высота до 2,5 м.

Верхний слой в кв. В2 и частично А2 представлен слоем рыхлого темного гумуса, с которым связана канава под трубу на границе кв. В2 и А2 (толщина слоя от 0,1 до 1,2 м). В юго-западном углу кв. В2 выявлено недавнее углубление с заполнением из битого кирпича и бытового мусора, глубина — до 0,3 м. Ниже него зафиксирована прослойка рыхлого темного гумуса мощностью 0,13 м. Ниже этого слоя в кв. В2 отмечен слой темного плотного гумуса, мощностью до 0,5 м. Он частично перекрывает слой рыхлого темного гумуса с примесью битого кирпича и строительного мусора, мощностью до 1 м. Такой же слой зафиксирован и в кв. А2, но там он имеет меньшую толщину — до 0,3 м. Ниже выделен слой темного плотного гумуса с примесью бытового мусора и кирпичной крошки, мощность этого слоя достигает 0,4 м. В северной части кв. А2 его подстилает слой светло-коричневого суглинка с примесью битого кирпича, толщиной до

0,2 м. Такая прослойка есть и в нижней части упомянутого слоя гумуса с мусором, где отмечены также включения темной рыхлой супеси и рыхлого серо-бежевого гумуса с прослойкой угля.

К северу от кв. А2 на уровне нивелировочной отметки —205 начинается очень мощный слой светло-коричневого суглинка с примесью битого кирпича, этот слой прорезает все прослойки, описанные выше, и часть расположенных еще ниже; на уровне нив. отметки —338 прослежен уступ, на краю которого выявлена кирпичная кладка, уступ также заполнен светло-коричневым суглинком и битым кирпичом. Мощность этого слоя — 1,2 м до уступа, 0,4 м — ниже уступа. Еще севернее прослежен слой рыхлого темного гумуса с примесью битого кирпича и строительного мусора, мощностью 0,6 м, прорезающий лежащие ниже слои.

Иная картина культурных напластований отмечена в границах кв. В2 и А2. Описанные выше слои, содержащие следы сравнительно недавней строительной деятельности, от «чистых» напластований эпохи раннего Средневековья отделяют прослойки угля (мощность 0,02 м). Ниже угля отмечены слои, содержащие золу (0,04 м), темно-коричневый плотный и рыхлый серо-бежевый гумус (совокупная мощность наслоений 0,09 м), а также тонкие линзы плотного серого и рыхлого темного гумуса. В среднем толщина этого напластования, немного поднимающегося в северной части, не превышает 0,05–0,07 м.

Ниже в кв. В2 после прослойки угля (мощность 0,02 м) залегает слой светло-серого гумуса с включением угля, золы и органики коричневого цвета. Покрытое им углубление (не более 0,15 м) заполнено прослойками угля, темно-серого плотного гумуса с включением угля, золы и органики коричневого цвета, рыхлым серо-бежевого гумуса, подстилаемых прослойкой угля. Ниже расположен слой рыхлого светло-серого гумуса с включением угля, золы и органики коричневого цвета, мощностью около 0,2–0,25 м, идущий и в кв. А2, где достигает 0,3–0,4 м и в нижней части имеет прослойку светло-коричневого рыхлого суглинка. Ниже отмечен зольный слой мощностью до 0,25 м. В южной части кв. В2 в два последних слоя небольшими «хвостами» вклиниваются слои, уходящие в южную стенку этот квадрата (они охарактеризованы при ее описании).

На севере золистый слой покрывает линзу светло-желтой супеси и слой плотного серого гумуса (заливки), ассоциируемой со строительным горизонтом. Заливка продолжается и севернее, ограничивая золистый слой. Ниже заливки отмечен слой плотного темного гумуса, толщиной 0,15–0,2 м, и тонкая прослойка светло-коричневого рыхлого суглинка. К сожалению, эти слои нарушены котлованом с уступом, описанным выше.

В кв. В2 на этом же уровне отмечены 12 прослоек, содержащих рыхлую слоистую органику (в профиль попала идущая от нее кротовина), темно-серый и темно-коричневый плотный, а также светло-серый рыхлый гумус с включениями

органики, золы и угля, образующих и линзы. Их совместная толщина не превышает 0,2 м на юге кв. А2, но у южной стенки кв. В2, где слоев особенно много, доходит до 0,35 м. Ниже проходит угольная прослойка, которая покрывает прослойки темно-коричневого плотного гумуса и золы.

Ниже описанного уровня зольный слой со значительным содержанием угля, покрытый линзой рыхлого темно-серого гумуса, обнаружен к югу от середины кв. А2, их толщина не превышает 0,2 м. Еще ниже находится слой рыхлого светло-серого гумуса с включением угля, золы и органики коричневого цвета, его мощность не превышает 0,2 м, но увеличивается в северной части раскопа и особенно — в южной. Он прерывается прослойками рыхлой супеси (только в северной части), угля, темно-коричневого плотного гумуса (в профиле зафиксирована идущая от него столбовая яма, а на юге — также зольными и линзой светло-коричневого суглинка, толщиной до 0,18 м. По границе квадратов В2 и А2 профиль зафиксировал идущую от этого слоя столбовую яму № 82.

Ниже этих наслоений в кв. В2 отмечены тонкие прослойки плотной темно-коричневой органики, светло-коричневого рыхлого суглинка, темно-коричневого плотного гумуса с включением угля, золы и органики светло-коричневого цвета, прорезаемые линзами угля; мощность каждого слоя не превышает 0,02 м. В кв. А2 и севернее — расположенный чуть выше слой светло-желтой супеси, мощностью до 0,05 м, подстилаемый угольной прослойкой, мощностью до 0,02 м.

Раздел 3.
Характеристика столбовых ям

На площади раскопа зафиксировано 138 столбовых ямок, некоторые из них фиксировались на протяжении нескольких пластов (в данном случае порядковый номер столбовой ямки остается прежним) (рис. 42, 55, 66, 81, 97, 117, 125, 135, 138, 143). Они фиксировались с 5 пласта до уровня материкового слоя, имели различную глубину и диаметр, а также заполнение. Выявление столбовых ямок происходило на основании характерных пятен, в абсолютном большинстве, имеющих округлую форму и визуально отличающихся составом заполнения. Следует отметить, что диаметр столбовых ямок на верхних пластах имеет гораздо больший диаметр, нежели на нижних пластах, где столбовых ямок выявлено в несколько раз больше. Данный факт, возможно, связан с активной хозяйственной деятельностью, а также особенностью свойств почв на различных пластах.

Заполнение столбовых ям в большинстве случаев было представлено гумусом различной плотности и оттенков, древесным тленом и сероземом. Различное заполнение столбовых ям можно интерпретировать как показатель функционирования их на разном хронологическом отрезке времени и, как представляется, связано с работами по перестройке жилищ и других хозяйственных сооружений наземного каркасно-столбового типа. Заполнение ямок почвой происходило, надо полагать, сразу же после выемки столба в ходе проведения новых строительных работ или же его разрушения. Наличие в составе заполнения тлена дерева или остатков древесной трухи, угля, фрагментов керамики и костей животных отмечается в ниже приведенной таблице.

Таблица 1. **Наличие и состав заполнения столбовых ям**

№ п/п	№ столбовой ямы	Пласт	Диаметр, см	Глубина, см	Заполнение
1	1	5	16×8	10	Светло-серая супесь (зеленоватого оттенка)
2	2	5	5×7	10	Темная рыхлая супесь и камень
3	3	5	23×6	7	Светло-серый гумус и зола
4	4	5	5×5	7	Темный гумус

№ п/п	№ столбовой ямы	Пласт	Диаметр, см	Глубина, см	Заполнение
5	5	5	4×4	7	Темный гумус
6	6	5	26×26	8	Темный гумус, дерево, уголь
7	7	5	16×15	6	Темный гумус, дерево
8	8	5	16×16	10	Темный гумус, дерево, уголь
9	9	5	26×21	8	Органика, дерево, уголь, кость
10	10	5	20×15	6	Светло-серая супесь, кость, светло-серый гумус
11	1	6	25×13	7	Органика, дерево, уголь, кость, фрагмент керамики бахмутинской культуры
12	2	6	5×6	4	Серая супесь, уголь
13	3	6	13×18	7	Серая супесь, уголь, дерево
14	4	6	13×17	6	Серая супесь, уголь, камень
15	11	6	23×14	9	Серая супесь, фрагмент керамики бахмутинской культуры
16	1	7	15×12	8	Серая супесь, уголь
17	12	7	16×21	6	Серая супесь, уголь, дерево
18	13	7	8×8	8	Серая супесь, уголь, дерево, кость
19	14	7	7×7	7	Серая супесь, уголь, дерево
20	1	8	10	9	Серозем, дерево, уголь
21	6	8	10	9	Серозем, органика, уголь, зола
22	10	8	12×9	9	Серая супесь, дерево, уголь
23	15	8	10	10	Светло-серая супесь, органика, зола
24	16	8	8	5	Светлая супесь, органика, зола
25	17	8	8	6	Темный плотный гумус, бурая органика
26	18	8	5×6	4	Темный плотный гумус, бурая органика
27	19	8	23×18	9	Серая супесь, уголь, зола, бурая органика, керамика турбаслинской культуры
28	20	8	24	30	Серая супесь, дерево
29	21	8	5	4	Светлая супесь, прокаленный грунт
30	22	8	5	3	Бурая супесь, прокал
31	23	8	4	4	Бурая супесь, прокал
32	24	8	7	7	Светлая супесь, прокаленный грунт

№ п/п	№ столбовой ямы	Пласт	Диаметр, см	Глубина, см	Заполнение
33	25	8	17×12	11	Серозем, органика, уголь, дерево
34	10	9	17×14	6	Бурая органика, зола, светлая супесь
35	15	9	21×19	8	Серая супесь, уголь, бурая органика, кость
36	16	9	10	8	Бурая органика, зола, кость
37	19	9	13	7	Бурая органика, зола, кость, светлая супесь
38	25	9	7×4	4	Бурая органика, зола, кость, светлая супесь
39	26	9	6×6	6	Серая супесь, уголь, бурая органика
40	27	9	10	24	Бурая органика, дерево, уголь
41	28	9	10	25	Супесь, дерево, уголь
42	29	9	12×13	9	Темно-серая органика, уголь, кость
43	30	9	6×7	8	Гумус темно-серого цвета, уголь, органика, кость
44	1	10	12×11	15	Перемес органики, золы и угля
45	10	10	12	40	Дерево, органика
46	15	10	9	15	Органика, дерево
47	19	10	19×21	8	Зола, уголь, кость
48	20	10	27×18	7	Светлая супесь, органика
49	25	10	8×7	5	Светлая супесь, органика
50	26	10	11×4	12	Суглинок, органика, серая супесь
51	29	10	9	10	Суглинок, серозем, уголь
52	30	10	10	14	Суглинок, серозем, уголь, дерево
53	31	10	9	7	Перемес органики, золы, угля и кости
54	32	10	7	7	Светлая супесь, уголь, органика
55	33	10	8	11	Серая супесь, бурая органика
56	34	10	8	8	Суглинок, серозем, уголь
57	35	10	10	11	Суглинок, серозем, уголь
58	36	10	12	30	Серая супесь, бурая органика, уголь
59	1	11	11	9	Серозем, уголь, зола, кость
60	10	11	12	20	Серозем, дерево
61	25	11	9	27	Серозем, уголь, дерево

№ п/п	№ столбовой ямы	Пласт	Диаметр, см	Глубина, см	Заполнение
62	36	11	9	12	Супесь, уголь, дерево
63	37	11	8	30	Серозем, дерево, уголь
64	38	11	9	30	Серозем, дерево
65	39	11	7	30	Серозем, дерево
66	40	11	9	8	Серозем, уголь, дерево
67	41	11	29	7	Серозем, органика, уголь, зола, светлая супесь
68	42	11	10	12	Серозем, дерево
69	43	12	7	4	Серая супесь, дерево, уголь, органика
70	44	12	10	8	Зеленовато-серая супесь, зола, уголь
71	45	12	11	9	Серозем, уголь, дерево
72	46	12	8	6	Дерево, серозем, кость
73	47	12	5	27	Полая
74	48	12	7	13	Серозем, уголь, дерево
75	49	12	8	15	Серозем, уголь, дерево
76	50	12	10	26	Серозем, дерево
77	51	12	10	6	Дерево, уголь, зола
78	52	12	10	7	Серозем, уголь, зола
79	53	12	9	11	Серозем, уголь, дерево, зола
80	54	12	8	30	Бурая органика, серозем, уголь
81	55	12	6	18	Аллювий, дерево
82	56	12	9	19	Аллювий, дерево
83	57	12	10	28	Аллювий, дерево
84	58	12	3	18	Полая
85	59	12	6	20	Аллювий, дерево
86	60	12	6	15	Аллювий, дерево, дерево, серозем
87	61	12	6	24	Аллювий, дерево, дерево, серозем, кусочек бронзы
88	62	12	10	17	Серозем, уголь, светлая супесь, дерево
89	63	12	8	11	Серозем, уголь, супесь
90	64	12	9	36	Аллювий, дерево, дерево, уголь

№ п/п	№ столбовой ямы	Пласт	Диаметр, см	Глубина, см	Заполнение
91	65	12	9	10	Аллювий, дерево, дерево, уголь
92	66	12	5	9	Аллювий, дерево, дерево, уголь
93	67	12	7	16	Полая
94	68	12	8	25	Аллювий, дерево, дерево, уголь
95	69	12	9	18	Аллювий, дерево, дерево, уголь
96	70	12	7	16	Аллювий, дерево, дерево, уголь
97	71	12	5	9	Аллювий, дерево
98	72	12	18×14	10	Супесь, уголь, зола, дерево
99	73	12	13	33	Супесь, уголь, зола, дерево
100	43	13	6	5	Аллювий
101	44	13	13×16	7	Аллювий
102	45	13	6	20	Аллювий, уголь
103	47	13	5	16	Полая
104	48	13	11×8	22	Бурая органика, уголь
105	49	13	6	15	Органика, уголь, дерево
106	50	13	8	14	Органика, уголь, дерево
107	52	13	7	12	Органика, уголь, дерево
108	53	13	6	7	Аллювий
109	54	13	6	14	Полая
110	74	13	7	10	Аллювий, дерево
111	75	13	10	8	Аллювий, дерево, зола, уголь
112	76	13	8	3	Аллювий, дерево
113	77	13	6	6	Аллювий
114	78	13	7	8	Аллювий, дерево, зола, уголь
115	79	13	5	2	Аллювий, дерево, зола, уголь
116	80	13	11	20	Аллювий, дерево, зола, уголь
117	81	13	15	18	Аллювий, дерево, зола, уголь
118	82	13	7	4	Аллювий, дерево, зола, уголь
119	83	13	5	3	Аллювий, дерево

№ п/п	№ столбовой ямы	Пласт	Диаметр, см	Глубина, см	Заполнение
120	84	13	10	11	Аллювий, камень
121	85	13	9	8	Аллювий, дерево, зола, уголь
122	86	13	11	18	Аллювий, дерево, зола, уголь
123	87	13	10	10	Аллювий, дерево, зола, уголь
124	88	13	8	5	Аллювий, дерево, зола, уголь
125	89	13	6	8	Аллювий
126	90	13	5	9	Аллювий
127	91	13	5	12	Аллювий
128	92	13	13	29	Аллювий, уголь, зола
129	93	13	4	3	Аллювий
130	94	13	6	9	Аллювий
131	95	13	12×7	3	Уголь, органика, зола
132	96	13	6	9	Аллювий
133	97	13	6	18	Полая
134	98	13	8	15	Серозем, дерево
135	99	13	5	15	Аллювий
136	100	13	8	3	Уголь, органика, дерево
137	101	13	5	6	Аллювий
138	102	13	7	7	Аллювий, органика, уголь

Раздел 4.
Характеристика хозяйственной ямы № 1

В раскопе была выявлена и исследована 1 хозяйственная яма, вероятнее всего, предназначенная для хранения скоропортящихся продуктов питания. Детальному изучению хозяйственной ямы и связанных с ней напластований способствовало ее расположение под бровкой. Удалось проследить заполнение ямы от самого устья, чего зачастую не удавалось сделать в предыдущие годы исследования памятника, т. к. большинство хозяйственных ям выявлялось на уровне погребенной почвы.

Хозяйственная яма № 1 (рис. 142, 146–155) выявлена в квадратах А1 и А2 на уровне 11 и 12 пластов в виде проседания на этом участке слоев и прослоек. Выборка ямы производилась частями по слоям в 5–10 см, с зачисткой и фотографированием поверхности. На уровне 13 пласта границы хозяйственной ямы проявились отчетливо.

С западной и северной стороны ямы была выявлена система из двух крупных и одной маленькой ступеней. Можно предположить, что и спуск в нее осуществлялся с северной и западной стороны. Верхнее заполнение ямы образует слой плотной темно-коричневой органики, в котором прослежена прослойка угля мощностью до 0,08 м, которая покрывает тонкую прослойку золы со значительным содержанием угля. Ниже этих слоев выявлено небольшое пятно светло-коричневого рыхлого суглинка, залегающего в верхней части мощного слоя темно-коричневого плотного гумуса с включением угля, золы и органики светло-коричневого цвета. Из этого слоя в основном происходит весь археологический материал, найденный в хозяйственной яме № 1. Этот слой прерывает небольшая прослойка светло-коричневого рыхлого суглинка, мощностью до 0,07 м. Далее вниз снова фиксируется слой темно-коричневого плотного гумуса с включением золы, угля и органики светло-коричневого цвета. На самом дне ямы выявлено несколько сменяющих друг друга прослоек угля, золы и светло-желтой супеси. Мощность каждой из них не превышает 0,08 м.

В слоях хозяйственной ямы зафиксировано большое количество керамики, костей крупного и мелкого рогатого скота, свиньи и позвонков рыб, найдены также кусочки шлака. Обнаруженная керамика связана с бахмутинской культурой.

Глава III.
Индивидуальные находки

Набор индивидуальных находок с Городища Уфа-II представлен изделиями из глины, камня, кости, стекла и раковин каури, а так же шлаками и крицей (описаны после глиняных льячек). На планиграфических планах обозначения находок соответствуют номерам в рисунках индивидуальных находок с пластов.

Изделия из глины

Прясла (52 экз.)

Из них целых 31, во фрагментах 21 экз. По форме выделяются несколько типов прясел.

Биконические (47 экз.). Встречены в пластах 2, 3, 4, 6, 7, 9, 10, 11, 12, 15, подъемном материале. Диаметр варьируется от 1,5 см до 4,4 см, высота 0,8–2,6 см, диаметр канала 0,3–0,9 см; иногда имеют прогнутые боковые грани, сглаженное или спрямленное ребро (рис. 18, *1–2*; 26, *3–4*; 33, *2–4, 8*; 53, *4–6*; 57, *12–17*; 64, *3–4*, *6–9*; 95, *1–7*; 99, *16–17*; 114, *5–9*; 115, *17, 21*; 127, *1–3, 5–6*; 136, *3*; 155, *2–4*; 8, *23–24*).

Овальные в сечении (3 экз.). Встречены в пластах 4, 7, 11. Диаметр варьирует от 1,2 см до 2,3 см, высота 0,7–2 см, диаметр канала 0,3–0,5 см (рис. 33, *1*; 64, *2*; 127, *4*).

Низкие цилиндрические (2 экз.). Встречены в пластах 6 и 7. Диаметр варьирует от 1,2 см до 2,5 см, высота 0,8–2,1 см, диаметр канала 0,4–0,6 см (рис. 57, *11*; 64, *8*).

Грузило (1 экз., фрагмент) (рис. 40, *1*), местонахождение — кв. С1, пласт 5. Грузило имеет биконическую форму, изготовлено из хорошо отмученной глины. Диаметр 7 см, толщина сохранившейся части 4,2 см. Диаметр канала 2 см.

Мелкая глиняная пластика (1 экз., фрагмент) (рис. 115, *13*), местонахождение — кв. С1, пласт 10. Изделие имеет форму лапки с четырьмя заостренными пальцами. Лапка предположительно могла принадлежать фигурке земноводного (ящерице?). Длина изделия — 2,3 см, ширина — 2,4 см, толщина — 0,4 см.

Орудия металлообработки.

Сопла представлены 2 фрагментами со следами пребывания в огне, найдены в пластах 9 и 10 (рис. 95, *12*; 115, *14*).

Льячки (3 экз.) найдены в пластах 6, 10, 15 (53, *10*; рис. 115, *22*; 155, *1*). Представлены фрагментом емкости чашевидной формы и двумя втулками.

Шлак — всего на раскопе было найдено 47 экз. Единичные находки происходят с пластов 5, 9–12 (рис. 43; 98; 118; 139), крупное скопление встречено в восточной части кв. А1 на уровне 13 пласта (рис. 144). Большая часть шлаков относится к числу отходов плавки железа, меньшая — цветных металлов, судя по наличию характерного зеленоватого цвета от окислов меди.

Железная крица — трапециевидной формы, весом около 250 г, найдена в кв. А1 на уровне 11 пласта (рис. 126).

Изделия из кости

Наконечники стрел (11 экз.).

Из них целых 7, фрагментарно сохранилось 4 экз. В нашей работе использована классификация, предложенная Л. И. Ашихминой, Е. М. Черных и В. А. Шаталовым для костяного инвентаря ананьинской эпохи (Ашихмина, Черных, Шаталов, 2006. С. 26–42) (выделенные этими авторами типы ниже приведены в скобках, после ссылки на рисунок). Данная классификация основывается на распространенной схеме, предполагающей разделение наконечников на отделы по способу насада на древко, на группы по сечению пера, на типы по форме пера в плане, на подтипы по конструкции черешка, на варианты по размерам и пропорции пера. Все наконечники, полученные нами в ходе раскопок 2015 г. — черешковые. По выбранной нами классификации, они отнесены к отделу А (черешковые). К группе I — четырехгранные — принадлежат 4 экз., к группе II — трехгранные или с сечением в виде сектора — 3 экз., к группе IV — с дугообразным сечением — 2 экз., к группе V — многогранные — 2 экз.

Наконечники с вытянутым узким и длинным пером, с плавным переходом от пера к черешку. Черешок у всех уплощенный или уплощенно-овальный. Найдено 3 экз.: в пластах 6 (рис. 57, *18*; группа I, тип 1, вариант а; длина 17,2 см, ширина 2,7 см) и 12 (рис. 136, *1–2*; группа I, тип 1, вариант б; длина 8–10,2 см, ширина 1,7–2 см).

Наконечники с узким игловидным пером, не оформленным переходом от пера к черешку. Черешок обломан, граненный или уплощенный. Найден 1 экз. в пласте 6 (рис. 53, 7; группа I, тип 3; длина 11,1 см, ширина 0,7 см).

Наконечники с вытянутым узким и длинным пером, плавным переходом от пера к черешку. Найдено 2 экз. в пластах 4 и 9 (рис. 33, *7*; 95, *9*; группа II, тип 1, вариант а; длина 7,5–8,5 см, ширина 0,6–0,8 см).

Наконечники с вытянуто-треугольным пером и хорошо оформленным переходом от пера к черешку. Найден 1 экз. в пласте 10 (рис. 115, *15*; группа II, тип 6, подтип 1; длина 10,1 см, ширина 0,8 см).

Наконечники с коротким пером дугообразного сечения, имеющим наибольшее расширение в нижней части. Найдено 2 экз. в пластах 7 и 9 (рис. 64, *15*; 95, *11*; группа IV, тип II; длина от 6,3 до 12 см, ширина от 0,5 до 0,8 см).

Наконечники многогранной (ромбовидной или листовидной) формы, со слабовыраженным граненым черешком. Найдено 2 экз. в пласте 10 (рис. 114, *4*; группа V, тип I; рис. 115, *16*; группа V, тип II). Длина изделий от 12 до 14,2 см, ширина от 1 до 2 см.

Заготовка наконечника стрелы (1 экз.). Найдена в пласте 7 (рис. 64, *13*). Длина 14,2 см, ширина 1,8 см.

Проколки (10 экз.). Найдены в пластах 4, 6, 8, 9, 10, 11 (рис. 33, *5*; 53¸ *1–3*; 83, *9*; 99, *15*; 114, *12*; 115, *20*; 127, *8–9*). Сделаны из грифельной кости лошади. Длина варьирует от 7 до 13 см, 2 экз. и после поломки.

Амулеты (6 экз.).

Подвески из когтей медведя (3 экз.). Имеют сквозное отверстие для подвешивания у основания когтя. К этой группе изделий можно отнести и коготь без отверстия. Найдены в пластах 2 и 6 (рис. 18, *3*; 53, *8*; 57, *19*).

Подвески из заячьих костей (2 экз.). Имеют сквозное отверстие в наиболее широкой верхней части, одна подвеска сохранилась полностью, от второй — только верхняя часть. Найдены в пластах 7 и 11 (рис. 64, *12*; 127, *7*).

Подвески, изготовленные из фаланг пальцев небольших млекопитающих (2 экз.) Имеют сквозные отверстия для подвешивания. Найдены в пластах 3 и 8 (рис. 26, *5*; 83, *4*).

Игральные кости (2 экз.). Найдены в пласте 8 (рис. 83, *5–6*). Сделаны из таранных костей надкопытного сустава домашних животных. По всей видимости, эти изделия использовались для игры в бабки. Одно из них имеет сквозное отверстие для подвешивания, у другого просверлено почти сквозное отверстие.

Игольница (атрибуция условна; 1 экз.). Найдена в пласте 9 (рис. 95, *8*). Изготовлена из спила берцовой кости животного.

Псалий (фрагмент; 1 экз.). Найден в пласте 9 (рис. 99, *14*). Изделие представлено фрагментом кости слегка изогнутой форм, округлое в сечении, с двумя сквозными параллельными отверстиями в самом широком месте.

Изделия из камня

Данная категория находок представлена точильными брусками (оселки), скребком, нуклеусом. Всего в пластах 7, 8, 10, 11 найдено 10 экз., 2 из них имеют отверстие для подвешивания (рис. 64, *7, 10, 14*; 83, *3, 7–8*; 114, *10–11*; 128, *10*; 26, *1*)[1].

[1] Более подробно каменные изделия будут описаны ниже, в приложении № 2.

Изделия из железа

Наконечники стрел (2 экз.). Найдены в пластах 8 и 9 (рис. 83, *2*; 99, *13*). Оба относятся к типу черешковых трехгранных. Ф. А. Сунгатов, при рассмотрении материалов турбаслинской культуры, подобные наконечники стрел относит к КСП-3 (комплекс сопряженных вещей) и датирует их 2-ой половиной VI — VII веком (Сунгатов, 1998. С. 86. Рис. 15). Аналогии данным наконечникам можно встретить в материалах Бирского могильника (погребения 156, 99, 165) (Амброз, 1980. Рис. 5, *4*; Мажитов, 1967. С. 153. Табл. 31, *9*. Табл. 29, *14*). Длина публикуемых изделий 7,5 и 4 см.

Прямоугольнорамчатая пряжка. Найдена в пласте 1 (рис. 14, *2*). Она сделана из прямоугольного в сечении дрота, имеет прогнутый подвижный язычок, не выходящий за внешний край рамки. Длина 2,2 см, ширина 2,8 см, длина язычка 2,1 см, толщина 0,3 см. По типологии Г. В. Кубарева, подобные пряжки относятся к типу 1 варианта 1б подпружных пряжек с прямоугольной рамкой, автор датирует их в широком хронологическом диапазоне второй половиной I тыс. (Кубарев, 2005. С. 135. Рис. 38, *23*). Б. Б. Овчинникова датирует аналогичные изделия в пределах VII–IX вв. (Овчинникова, 1990. С. 119–120. Рис. 49, *1, 2*). Похожие пряжки встречаются в погребальных комплексах могильников Юстыд I, курган 8; Ак-Кобы III, курган 2; Талдуаир I, курган 7. (Кубарев, 2005. С. 135, 197, 276–277, 283–284. Табл. 15, 16, 94, 95, 101, 102).

Изделия из бронзы

Овальнорамчатая пряжка. Найдена в пласте 8 (рис. 83, *1*). Сделана из круглого в сечении дрота; имеет прогнутый язычок, заходящий за внешний край рамки; обойму подпрямоугольной формы из согнутой пополам пластины; обе стороны обоймы крепились к ремню при помощи шпеньков. Общая длина 5,3 см, ширина 3,2 см, толщина 0,5 см. Схожая пряжка была найдена при исследования Городища Уфа-II в 2014 г. (Русланов, Шамсутдинов, Сахипов, 2014. С. 82–86; Шамсутдинов, Русланов, Романов, Тагирова, 2015. С. 257. Рис. 255, *1*).

Пронизка. Найдена в пласте 7 (рис. 64, *1*). Длина 4,2 см, ширина 0,6 см. Изготовлена из свернутой пластины, украшена двумя параллельными прорезанными полосами в верхней широкой части. По типологии Р. Д. Голдиной и В. А. Кананина, данная пронизка относится к отделу А, типу 1 (прямые), подтипу а (средних и крупных размеров с поперечными утолщениями на одном или обоих концах, иногда украшенных поперечными насечками). Аналогии представлены в погребениях 135, 264, 2, 76 Аверинского могильника и датируются VI в. (Голдина, Кананин, 1989. Рис. 67, *17*, Рис. 54, *1–2*; Голдина, 1985. Табл. XXII, *1–2*).

Коньковидная подвеска. Найдена в пласте 1 (рис. 14, *1*). Размеры изделия: длина 3,7 см, высота 2,3, толщина 0,5 см. Ушко обломано. Подвеска датируется

VII в. по аналогии в погребении 112 Бирского могильника (Мажитов, 1981. С. 23–28. Рис. 13, *40–41*; 1967. С. 126. Табл. 7, *20*).

Игла. Найдена в пласте 10 (рис. 114, *2*). Изделие согнуто, имеет в верхней части ушко; длина 5,2 см, толщина 0,2 см.

Слиток. Найден в пласте 10 (рис. 114, *1*). Длина 10 см, ширина 4 см, толщина 0,5 см.

Изделия из золота

Фрагмент цепочки простейшего плетения, кольцо в кольцо (рис. 99, *19а*). Найден в кв. С1 на уровне 9 пласта, рядом с керамикой кушнаренковской культуры. Размеры изделия в свернутом состоянии 2,3×3,3 см. Толщина золотой проволоки 0,15 см.

Бусы и изделия из створок раковин каури

Всего в пластах 5, 7, 9–11 найдено 16 изделий (рис. 157), три из которых изготовлены из створок раковин[2].

[2] Более подробно бусы описаны ниже, в приложении № 1.

Глава IV.
Керамический комплекс

Фрагменты сосудов с городища составляют, после костей животных, наиболее многочисленную категорию находок. Всего на исследованной площади найдено 7809 фрагментов глиняной посуды. Из этого числа было выделено 2492 фрагмента, пригодных для культурной атрибуции. Полученные результаты сведены в таблицы 2 и 3, из которых понятно, что превалирующей культурной группой является бахмутинская, на втором месте романовско-именьковская, на третьем — турбаслинская. К имендяшевскому типу относится 1,2 %, к кушнаренковской, мазунинской и караякуповской культурам — менее 2 % от общего количества керамики. Прочие группы керамики представлены единичными образцами.

Для культурного слоя памятника характерна очень высокая насыщенность фрагментами керамики. Планиграфический анализ распределения керамики по пластам в пределах раскопа не выявил какой-либо закономерности ее залегания: высокая плотность наблюдалась на всех участках и на всех условных горизонтах.

Вся керамическая серия поселения рассматривается по единой схеме. Разработанная морфологическая классификация керамики носит вспомогательный характер и используется в качестве средства описания. Керамика Городища Уфа-II весьма неоднородна в типологическом и культурном отношении, что и обусловило решение проводить её анализ по различным классификационным единицам — культурным группам и типам. За основу, с некоторыми изменениями, взята схема типологии, предложенная авторами раскопок городища в 2008 г. (Мажитов, Сунгатов, Султанова и др., 2008. С. 110–126).

Культурная группа (КГ) объединяет совокупность сосудов, составляющих керамический комплекс одной археологической культуры.

Основные морфологические признаки КГ керамики, полученной в ходе раскопок 2015 г., близки тем, что выделялись ранее по материалами с Городища Уфа-II (Мажитов и др., 2007; 2008).

Мазунинская КГ *(М-кг)* (рис. 15, *22*; 133, *5*; 141, *13*; 156, *1–3*) представлена в нашей выборке лепными миниатюрными тонкостенными чашевидными сосудами, с округлым дном, изредка с пояском круглых ямок по шейке. В глине —

примесь песка и редко мелкотолчёной раковины. Поверхность шероховатая, серого цвета.

Находок мазунинской керамики очень мало, из общего массива вычленяется менее 1 %, что указывает на малочисленность мазунинского компонента.

Памятники мазунинской культуры датируются III-V вв. (Сунгатов, Гарустович, Юсупов, 2004. С. 4).

Бахмутинская КГ (Б-кг), (рис. 21, *22–23*; 45, *17*; 44, *10, 15–16*; 35, *16–21*; 86; 87; 69, *6–7*; 101, *10–13, 15–17*) представлена лепными горшками с примесью песка, раковины и шамота в тесте. Обработка поверхности грубая. На значительном количестве фрагментов фиксируются разносторонние расчесы, следы грубой обработки поверхности. Основным индикатором для выделения бахмутинской керамики послужила специфическая орнаментальная композиция — ряды наколов по шейке, или беспорядочное их размещение по тулову.

Бахмутинская, как и турбаслинская, керамика встречается на всех условных горизонтах культурного слоя Городища Уфа-II.

Хронологическая позиция керамики Б-кг опирается на общую хронологию бахмутинской культуры в рамках III-VIII вв. (Останина, 1997. С. 181; Голдина, 2004. С. 299–301; Сунгатов, Гарустович, Юсупов, 2004. С. 4; Иванов, 1984. С. 22).

Турбаслинская КГ (Т-кг) (рис. 36, *6*, *12, 22*; 85, *3*; 61, *3*; 68, *8–9*, 121, *9*; 101, *6*) представлена лепными сосудами с грубой обработкой поверхности либо сравнительно тонкостенными, с залощенной поверхностью; в формовочную массу добавлялся шамот, дресва, в редких случаях — мелкий камень. Все сосуды Т-кг не имели орнамента.

Т-кг — одна из наиболее многочисленных на городище; она встречается чаще на уровне верхних горизонтов и на уровне погребенной почвы.

По мнению С. М. Васюткина, самые ранние погребения турбаслинской культуры датируются рубежом IV-V или первой половиной V в., самые поздние — VII или первой половиной VIII в. (Васюткин, 1970. С. 174). Ф. А. Сунгатов датирует культуру V-VIII вв. (Сунгатов, 1998. С. 19).

Романовско-именьковская КГ (РоИм кг) (рис. 69, *1–2*; 141, *1, 7*; 130, *1–6*; 119, *1–15*) — это толстостенные, плоскодонные горшки, с насечками по срезу устья, значительная доля сосудов РоИм-кг выделяется крупными размерами. Поверхность основной массы керамики обработана грубо, хотя выделяются и фрагменты с хорошо заглаженной поверхностью. Признаков лощения не зафиксировано. Отощители — дресва, песок. Керамика РоИм-кг наиболее многочисленна в культурном слое памятника. Ближайшие аналогии эта керамика имеет в материалах куста селищ, исследованных у д. Романовка. На этих материал выделен романовский тип керамики, который связывается с культурными стереотипами именьковских древностей (Матвеева, Никитина, 2015. С. 52–77).

Фрагменты керамики развитого этапа ***кушнаренковской КГ*** (Ку-кг) (рис. 7, *22–23*; 8, *1*; 27, *1–2*; 28, *4;* 68*, 11;* 100*, 11*) выделяются тщательностью исполнения. Они изготовлены вручную, из хорошо отмученной формовочной массы; основные отощители — просеянный песок, редко дресва. Поверхность хорошо обработана, на некоторых фрагментах фиксируются следы лощения. Преобладают тонкостенные фрагменты. Специфической чертой керамики этой КГ является декор, представленный тонкими горизонтальными резными линиями, перемежающимися зонами пересекающих коротких линий и серповидными отпечатками гребенчатого штампа. На части фрагментов по нижнему краю орнаментального поля располагаются треугольные насечки. Популярны ряды треугольных вдавливаний, выполнявших роль разделителей основных орнаментальных зон и композиций. Срез устья нередко украшен резьбой и штампом. Встречаются сосуды как узкогорлые, так и широкогорлые.

Позднекушнаренковская керамика отличается упрощением орнаментальных композиций, толщина стенок увеличивается. Основные виды орнамента — горизонтальные линии, косые овальные насечки, исполненные в технике резьбы, или вертикальные оттиски среднегребенчатого штампа, многорядный горизонтальный зигзаг на верхней части тулова.

На исследованном участке городища сосуды кушнаренковской КГ залегают совместно с сосудами Т-кг, РоИм-кг и Б-кг.

Кушнаренковская культура датируется в рамках VI–VIII или IX вв. (Генинг 1972; Генинг, 1977; Казаков, 1973. С. 130–131; Казаков, 1981. С. 136–140; Казаков, 1998. С. 97–150; Казаков, 2004. С. 76–85; Мажитов, 1977; Матвеева, 2007).

Караякуповская КГ (Ка-кг) (рис. 60, *14*; 85, *1*; 100, *8–10*) включает лепные тонкостенные сосуды, их внешняя поверхность тщательно заглажена мягким предметом, а внутренняя часто обработана мелкозубчатым штампом; орнамент состоит из наклонных отпечатков короткого гладкого или зубчатого штампа на венчиках, горизонтальных линий на шейке и плечике. Количество этой керамики в слоях невелико, в основном она встречена в 6, 8 и 9 пластах.

Памятники караякуповской культуры датируются серединой VIII–IX вв. (Белавин, Иванов, Крыласова, 2009. С. 81; Матвеева, 1975; она же, 2007; Акбулатов, 1988; Иванов, 1999).

Имендяшевский тип керамики (И-кг) (рис. 84, *4*; 120, *12–13*; 140, *18*) — лепные горшки небольших размеров, с выделенным в месте перехода от шейки к тулову сглаженным уступом. По верхней части тулова зачастую наносился орнамент в виде горизонтальных рядов треугольных вдавливаний или вертикальных линзовидных насечек.

Таких фрагментов найдено очень мало, встречены они в пластах 8, 10 и 12. Этот тип керамики датируется III—V вв. (Матвеева, 1973; Овсянников, 2009. С. 144–156).

Керамика раннеболгарского и/или хазаро-булгарского облика (рис. 9, *6*) выделяется орнаментом, состоящим из пролощенных вертикальных линий. Единственный найденный фрагмент происходит из сборов на поверхности памятника. Сосуд был изготовлен с применением гончарного круга, имеет сходство с посудой Северного Кавказа VI–VIII вв. например, из могильника Мокрая Балка (Степи Евразии…, 1981. С. 180. Рис. 63) и ранних болгар Поволжья (например, из Танкеевского могильника) IX–X вв. (Казаков, 2007. С. 156, 196. Рис. 37; VII). По мнению В. С. Флёрова, орнамент на сосудах в виде лощеных полос, составляющих сетку, более характерен в целом для VIII в., чем для более позднего времени (Флеров, 1990. С. 56–57).

Импортная круговая керамика (рис. 145, *1–2*) представлена фрагментами двух сосудов кувшинообразной формы из хорошо отмученной глины, с примесью мелкого песка. Обжиг ровный, черепок оранжевого цвета. Фрагменты происходят с 13 пласта. Предположительно, эта керамика может иметь среднеазиатское происхождение. Подобная посуда встречена в ходе раскопок городища Усть-Утяк 1 в Курганской области; памятник датируется IV–VI вв. (Кайдалов, Сечко, Колмогоров, 2010. С. 68–74).

Также выделяются **отдельные виды глиняной посуды.**

Кувшины представлены фрагментами посуды с узкими высокими горловинами; к ним же отнесены все найденные керамические ручки (рис. 9, *14*; 95, *10*). Находки происходят из сборов на поверхности и пласта 9.

Диск-сковорода (рис. 129). Развал открытого сосуда блюдообразной формы с невысокими бортами и уплощенным дном найден в 11 пласте. Размеры этого сосуда по верхнему краю — 32×40 см, глубина 2,5 см, толщина стенок 2 см. В тесте — большое количество шамота. На наш взгляд, ближайшие аналогии сковородам с Городища Уфа-II имеются в материалах именьковских памятников IV–VII вв. (Матвеева, 2003. С. 107–117. Рис. 2, *2, 4*; Сташенков, 2010. С 111–124. Рис. 4, *6*).

Керамические сосуды малых форм (рис. 114, *3*; 136, *4, 6*; 115, *18–19;* 99*, 19*) повторяют форму больших сосудов. Среди них представлены как горшковидные, так и баночные формы. Днища бывают плоские, уплощенные, округлые. На тулово некоторых сосудов нанесены ногтевидные насечки. Сосуды найдены в пластах 9, 10 и 12. Данная группа сосудов, скорее всего, не связана с ритуалами, например, она могла быть разновидностью детской игрушки.

Из общей массы керамики удалось выделить несколько фрагментов, характерных для ***неволинской культуры*** (рис. 60, 13; 68, 11). Фрагменты найдены

в 6 и 7 пластах. Подобную посуду И. Ю. Пастушенко относит к «неволинской, подобной кушнаренковской», представленной в материалах Верх-Саинского I могильника, городищ Лобач и Антоновское, поселения Морозково IV; этот тип посуды появляется во второй половине VII — начале VIII вв. (Пастушенко, 2008. С. 142–146. Рис. 2, *10, 12*).

В материалах памятника присутствует также фрагмент сосуда, схожий с посудой ***бакальской культуры*** (рис. 100, *7*). Керамика происходит с 9 пласта. Ближайшие аналогии этому фрагменту происходят из основного комплекса Большого Бакальского городища (Боталов, Тидеман, Лукиных, Вохменцев, 2008. С. 6–41. Рис. 5, *8*). Хронологическая позиция бакальской культуры определена в рамках IV–XIII вв. (Морозов, Боталов, 2001. С. 135–137; Рафикова, 2011; Епимахов, 2008. С. 41–44).

Ниже приведены таблицы 2 и 3, отражающие количественные и процентные характеристики встречаемости керамики различных КГ в пластах памятника.

Таблица 2. **Распределение культурных групп (КГ) керамики по пластам и квадратам**

Пласт 1

КГ	Квадраты					Всего	%
	A1	A2	B1	B2	C1		
Б-кг	5	-	7	3	16	31	26,96
РоИм-кг	3	6	3	4	2	18	15,65
Т-кг	23	8	7	13	12	63	54,78
И-кг	1		2			3	2,61
М-кг							
Ку-г							
Ка-кг							
Всего	32	14	19	20	30	115	100
%	27,8	12,2	16,5	17,4	26,1		

Пласт 2

КГ	Квадраты					Всего	%
	A1	A2	B1	B2	C1		
Б-кг	5	5	5	4	5	24	32,87
РоИм-кг	-	1	6	6	-	13	17,83
Т-кг	-	5	4	21	5	35	47,94

КГ	Квадраты					Всего	%
	А1	А2	В1	В2	С1		
И-кг		1				1	1,36
М-кг							
Ку-г							
Ка-кг							
Всего	5	12	15	31	10	73	100
%	6,8	16,5	20,5	42,5	13,7		

Пласт 3

КГ	Квадраты					Всего	%
	А1	А2	В1	В2	С1		
Б-кг	2	3	5	11	3	24	34,3
РоИм-кг	4	-	3	3	-	10	14,3
Т-кг	1	5	6	6	12	30	42,8
И-кг	1		1	1		3	4,3
М-кг							
Ку-г		1	2			3	4,3
Ка-кг							
Всего	8	9	17	21	15	70	100
%	11,4	12,8	24,4	30	21,4		

Пласт 4

КГ	Квадраты					Всего	%
	А1	А2	В1	В2	С1		
Б-кг	5	34	1	28	11	79	56,4
РоИм-кг	2	2	10	15	5	34	24,3
Т-кг	4	4	4	9	3	24	17,2
И-кг		1				1	0,7
М-кг		1				1	0,7
Ку-г			1			1	0,7
Ка-кг							
Всего	11	42	16	52	19	140	100
%	7,8	30	11,4	37,2	13,6		

Пласт 5

КГ	Квадраты					Всего	%
	A1	A2	B1	B2	C1		
Б-кг	4	24	33	27	5	93	52,2
РоИм-кг	2	5	13	6	5	31	17,4
Т-кг	9	15	13	8	3	48	26,9
И-кг		1	2		1	4	2,3
М-кг			1			1	0,6
Ку-г				1		1	0,6
Ка-кг							
Всего	15	45	62	41	14	178	100
%	8,5	25,4	34,9	23,3	7,9		

Пласт 6

КГ	Квадраты					Всего	%
	A1	A2	B1	B2	C1		
Б-кг	2	70	14	40	1	127	72
РоИм-кг	3	4	2	9	1	19	11,8
Т-кг	3	10	7	4	1	25	14,4
И-кг	-			1		1	0,6
М-кг	-	2				2	1,2
Ку-г	-						
Ка-кг	-						
Всего	8	86	23	54	3	174	100
%	4,6	49,4	13,2	31,1	1,7		

Пласт 7

КГ	Квадраты					Всего	%
	A1	A2	B1	B2	C1		
Б-кг	20	21	26	81	27	175	85,4
РоИм-кг	1	4	3	3	6	17	8,3
Т-кг				2		2	0,98
И-кг		1			1	2	0,98
М-кг		1		1		2	0,97

КГ	Квадраты					Всего	%
	A1	A2	B1	B2	C1		
Ку-г		2		1	2	5	2,4
Ка-кг		1			1	2	0,97
Всего	21	30	29	88	37	205	100
%	10,2	14,6	14,1	42,9	18,2		

Пласт 8

КГ	Квадраты					Всего	%
	A1	A2	B1	B2	C1		
Б-кг	16	74	40	87	24	241	76,7
РоИм-кг	10	17	4	19	3	53	16,8
Т-кг		1		3	2	6	1,9
И-кг		1	1	3		5	1,6
М-кг							
Ку-г	1	2	2	2	1	8	2,5
Ка-кг	1					1	
Всего	28	95	47	114	30	314	100
%	8,91	30,25	14,97	36,31	9,56		

Пласт 9

КГ	Квадраты					Всего	%
	A1	A2	B1	B2	C1		
Б-кг	56	60	51	31	27	225	76,79
РоИм-кг	5	13	8	13	6	45	15,35
Т-кг	6	2	2		3	13	4,43
И-кг					2	2	0,68
М-кг		1				1	0,34
Ку-г	1		1			2	0,68
Ка-кг					5	5	1,73
Всего	68	76	62	44	43	293	100
%	23,23	25,93	21,16	15,01	14,67		

Пласт 10

КГ	Квадраты					Всего	%
	А1	А2	В1	В2	С1		
Б-кг	52	54	36	73	27	242	72,5
РоИм-кг	13	10	21	22	11	77	23
Т-кг	1	4	3	1		9	2,7
И-кг	2		1		1	4	1,2
М-кг		1				1	0,3
Ку-г			1			1	0,3
Ка-кг							
Всего	68	69	62	96	39	334	100
%	20,4	20,6	18,6	28,7	11,7		

Пласт 11

КГ	Квадраты					Всего	%
	А1	А2	В1	В2	С1		
Б-кг	84	53	31	72	37	277	84,2
РоИм-кг	8	13	5	7	11	44	13,4
Т-кг	1				1	2	0,6
И-кг							
М-кг	3			3		6	1,8
Ку-г							
Ка-кг							
Всего	96	66	36	82	49	329	100
%	29,2	20,1	10,9	24,9	14,9		

Пласт 12

КГ	Квадраты					Всего	%
	А1	А2	В1	В2	С1		
Б-кг	20	54	11	50	38	173	89,1
РоИм-кг	2	5	3	4	2	16	8,23
Т-кг		1			2	3	1,54
И-кг					1	1	0,52
М-кг				1		1	0,52

КГ	Квадраты					Всего	%
	А1	А2	В1	В2	С1		
Ку-г							
Ка-кг							
Всего	22	60	14	55	43	194	100
%	11,3	30,9	7,2	28,4	22,2		

Пласт 13

КГ	Квадраты					Всего	%
	А1	А2	В1	В2	С1		
Б-кг	21	13	6	2	17	59	80,82
РоИм-кг	5	1	3	1	1	11	15,07
Т-кг	1				1	2	2,74
И-кг							
М-кг	1					1	1,37
Ку-г							
Ка-кг							
Всего	28	14	9	3	19	73	100
%	38,35	19,17	12,32	4,14	26,02		

Таблица 3. **Общее число керамики по пластам**

Пласты	КГ							Всего	%
	Б-кг	РоИм-кг	Т-кг	И-кг	М-кг	Ку-кг	Ка-кг		
1	31	18	63	3				115	4,6
2	24	13	35	1				73	2,9
3	24	10	30	3		3		70	2,8
4	79	34	24	1	1	1		140	5,6
5	93	31	48	4	1	1		178	7,2
6	127	19	25	1	2			174	6,9
7	175	17	2	2	2	5	2	205	8,3
8	241	53	6	5		8	1	314	12,6
9	225	45	13	2	1	2	5	293	11,7
10	242	77	9	4	1	1		334	13,4

Пласты	КГ							Всего	%
	Б-кг	РоИм-кг	Т-кг	И-кг	М-кг	Ку-кг	Ка-кг		
11	277	44	2		6			329	13,3
12	173	16	3	1	1			194	7,8
13	59	11	2		1			73	2,9
Всего	1770	388	262	27	16	21	8	2492	100
%	71,1	15,5	10,5	1,2	0,6	0,8	0,3		

Глава V.
К дискуссии о хронологии Городища Уфа-II

С момента обнаружения памятника и первых публикаций материалов городища, каких-либо серьезных споров относительно его датировки у исследователей не возникало, нижняя граница устанавливалась в рамках I–II вв., верхняя дата, с опорой на керамику бахмутинской культуры, — в пределах III–VII вв. (Ищериков, Мажитов, 1962. С. 145). Естественное накопление новых археологических данных скорректировало диапазон дат в границах I тыс. н. э. (Археологическая карта…, 1976. С. 124, № 1015).

Предложенная В. В. Овсянниковым хронология памятника в рамках V–VIII вв. также не выходит за пределы описанных выше дат (Овсянников, 2001. С. 126–128).

Эти взгляды начали меняться с началом раскопок памятника экспедицией БашГУ под руководством Н. А. Мажитова. За проведенные 7 полевых сезонов экспедицией получено небольшое количество предметов материальной культуры, связанных с периодом домоногольским и золотоордынским, т. е. с первой половиной II тыс., а именно: две серебряные серьги в виде «знака вопроса» XIII–XIV вв. (Мажитов, Сунгатов, Саттаров и др., 2009. Рис. 71, *4–5*; Вактурская, 1968. С. 250–251; Федоров-Давыдов, 1986. С. 112), серебряная серьга с грузиком: XI — начала XIII вв. (Руденко, 2013. С. 34–46), височная подвеска с напускным полым шариком (Мажитов, Сунгатов, Саттаров и др., 2009. Рис. 122, *12*), серебряный перстень: XI — начала XIII вв. (Мажитов Н. А., Сунгатов Ф. А., Саттаров и др., 2009. Рис. 81, *3;* Мажитов, Сунгатов, и др., 2009. Рис. 132, *2–3*), серебряные дирхемы XIV в. золотоордынских ханов Узбека, Джанибека, Бердибека в количестве 19 экз. Известна также немногочисленная коллекция керамики чияликской археологической культуры. В совокупности этот археологический материал отражает некую активность на территории памятника, убедительно интерпретировать которую невозможно ввиду малочисленности и разновременности находок. Вероятно, в момент выпадения данных артефактов основная часть площадки городища была давно заброшена, а обжитая часть представляла собой небольшое поселение, возможно, сезонное.

Основное же время существования поселения приходится на IV–VIII вв. Это подтверждается данными раскопок 2015 г. и радиоуглеродного анализа (Levchenko, Sunagatov 2013; Сунгатов, Левченко 2014). Таким образом, материалы, полученные с территории памятника, следует рассматривать через призму двух не связанных между собой объектов: раннесредневекового Городища Уфа-II (IV–VIII, возможно IX вв.) и места некой активности в домонгольское и золотоордынское время (XII–XIV вв.), с которым связано не более десятой доли процента находок.

Заключение

Проведя анализ культурного слоя и состава находок в исследованной в 2015 г. части Городища Уфа-II, мы пришли к выводу, что основная масса вещевого инвентаря имеет идентичный характер с материалами, найденными в центральной части памятника. Основная масса керамики представлена фрагментами турбаслинской, бахмутинской и романовско-именьковской культурных групп. Немногочисленная керамика других археологических культур свидетельствует о наличии этнокультурных связях жителей городища в эпоху раннего Средневековья с другими регионами.

Данную часть городища отличает от центральной исследованной зоны наличие большого количества костей рыб (к примеру, были найдены кости белуги длиной до 4,5 м), что указывает на возможную специализацию рыболовством этой части населения. Изучены очажный комплекс, связанный с металлургической деятельностью, и хозяйственная яма. Значительное количество бус и металлических изделий сконцентрировано в основном в 6–10 пластах в очертании столбовых ям, что может указывать на выпадение этих находок вблизи, либо внутри жилища. Опираясь на находки, полученные из слоя, предварительная датировка изученной части городища укладывается в основном в рамки IV–VIII вв. Нижняя хронологическая граница обозначена находками имендяшевской и раннебахмутинской керамики. Основной период функционирования поселения связывается с носителями турбаслинских, бахмутинских, романовско-именьковских, кушнаренковско-караякуповских культурных традиций, распространенных в Приуралье.

Приложение 1

Морфолого-технологический и хронологический анализ бус

(Р. Р. Русланова)

В ходе многолетнего изучения Городища Уфа-II получена представительная коллекция изделий из стекла, полудрагоценных камней, раковин и коралла. На данный момент она насчитывает 210 изделий, в основном — бус. Бусы, являясь продукцией иноземных стеклодельных и камнерезных мастерских, поступая в регион в определенное время, имеют свои рамки бытования и могут выступать хронологическими индикаторами при датировке археологических памятников (Русланова, 2013. С. 170–174; 2015. С. 127–130). В итоге, бусы, персти, египетский фаянс («плакетки») встали в один ряд с другими датирующими находками, позволив определить основной диапазон существования городища — IV–IX вв. н. э. (Тамимдарова, 2011а. С. 882–887; 2011б. С. 27).

Информативность бус для изучения межкультурных взаимоотношений проявляется в возможности выстраивать картосхемы торговых маршрутов эпохи раннего Средневековья. Подобная работа была проведена и с бусами из раскопок Городища Уфа-II. В результате этого удалось установить, что основной массив бус, поступивших в эпоху Великого переселения народов на территорию Уфимского полуострова, связан своим происхождением с мастерскими Сирии, Египта, других регионов Средиземноморья и, по всей вероятности, с индийскими, иранскими и прибалтийскими центрами камнерезного производства. Поступали бусы на Уфимский полуостров Бельским торгово-обменным путем, который мог пролегать как по самой реке Белой, так и вдоль нее (Тамимдарова, 2012. С. 347–351).

В процессе раскопок Городища Уфа-II в 2015 г. была получена коллекция бус и подвесок, состоящая из 16 экземпляров. Предметы изготовлены из стекла (12 экз.), халцедона (1 экз.), раковин каури (3 экз.). Часть бус в ходе естественных процессов подверглась частичной или полной патенизации. Описание бус дано с учетом разработок Ю. Л. Щаповой (Щапова, 1989; Щапова и др., 2007), Е. М. Алексеевой (Алексеева, 1970. С. 59–82), З. А. Львовой (Львова, 1979. С. 90–103), Р. Р. Руслановой (Русланова, 2015).

Информация о датировке бус, а также вероятных путях их поступления на городище получены из определителей-классификаторов Е. М. Алексеевой (Алексеева, 1982) и Р. Р. Руслановой (Русланова, 2015).

Халцедоновой подвески фрагмент (рис. 157, *1*). Музейный номер (здесь и далее — ГБУ РИКМЗ «Древняя Уфа») — 16345. Место находки: **кв. В2/пласт 10**.

Длина 1,4 см, ширина 0,7 см, диаметр канала отверстия 0,1 см. Форма коническая, с обломанной верхушкой. Цвет серый, полупрозрачный; поверхность оцарапана, присутствуют выколки. Техника изготовления: вытачивание, одностороннее сверление.

Подобное изделие впервые найдено на территории городища. Аналогичные подвески известны с меото-сарматских и меотских памятников Северного Кавказа и Причерноморья. Так, подвеска каплевидной формы из голубого халцедона (высота 2 см, диаметр 1 см) встречена в погребении 177 Тенгинского грунтового могильника в Краснодарском крае. Материалы погребения отнесены к меотам (Беглова, 2005. С. 166–181. Рис. 6, *35*). Еще одна находка подвески из халцедона с одной выпуклой стороной (диаметр 1,4 см) происходит из кургана 32 группы «Девять братьев» у станицы Усть-Лабинская (правый берег р. Кубань); материалы относятся к сарматизированным меотским племенам (Гущина, Засецкая, 1994. С. 7; 66 № 375.1:1; 140. Табл. 41, *375/2*). С Крымского полуострова (Херсонес) известна похожая подвеска (Алексеева, 1982. С. 13). Е. М. Алексеевой она отнесена к типу 22 (Алексеева, 1982. Табл. 38: *45*).

В своде Е. М. Алексеевой сведений о датировке удлиненных халцедоновых подвесок с закругляющимся нижним концом нет. Подвески, происходящие из закрытых комплексов Тенгинского грунтового могильника и кургана 32 у станицы Усть-Лабинской, авторами датируются последней четвертью II — рубежом II–I вв. до н. э. и второй половиной I — II вв. н. э. (Гущина, Засецкая, 1994. С. 37) соответственно.

Все это, казалось бы, говорит в пользу ранней даты подвески с Городища Уфа-II. Однако, как известно, халцедоновые бусы, как и халцедоновые диски (навершия мечей), для Прикамья и Приуралья характерны для второй половины II — IV вв. Принадлежность дисков и бус, время, характер их поступления в Приуралье и Прикамье давно стало предметом специальных исследований (Сокольский, 1954; Старостин, 2008. С. 8–11; Пастушенко, Бернц, 2008. С. 12–23). По мнению ряда специалистов, халцедон поступал из Средней Азии в Танаис (крупнейшее месторождение халцедона в древности находилось в Узбекистане), а затем в города Крыма, где античные мастера изготавливали для варваров бусы и навершия мечей (Колобов, Кулябина, Мельничук, 2001. С. 107; Мельничук, Вылежнева, 2002. С. 45). В качестве личных вещей, либо, как считают А. Ф. Мельничук и М. Л. Перескоков, в виде семейно-родовых реликвий, халцедоновые изделия могли попасть в промежутке от рубежа II–III вв. до середины IV в. с пришельцами из Северного Причерноморья (Пастушенко, Бернц, 2008. С. 17; Мельничук, Перескоков, 2010. С. 145–149), возможно, связанными с позднесарматским населением Нижнего Подонья, Нижнего Поволжья, Южного Урала II — середины III вв. (Безуглов, 2000. С.180–181). Массовое же поступление

халцедоновых изделий в Прикамье, вероятнее всего, происходило на рубеже III–IV в. и в IV в. (Лещинская, 2014. С. 172; Русланова, 2015. С. 100–105).

Таким образом, дата рассматриваемой подвески с Городища Уфа-II приходится на III–IV вв. Видимо, стоит увязывать это изделие с позднесарматским населением, пришедшим на территорию Уфимского полуострова. Находка этой подвески, а также парфянской геммы, сделанной из горного хрусталя, с изображением крылатого гения с тремя змеями в руке (Ищериков, 1959. С. 97–142), заставляет по-новому взглянуть на нижнюю границу существования памятника, установленную П. Ф. Ищериковым (I в. до. н. э. — I в. н. э.).

Стеклянной бусины фрагмент (рис. 157, *2*)**.** Музейный номер — 16353. Место находки: **кв. В2/пласт 5**. Форма шарообразная (?). Поверхность патенизирована (покрыта белесой, меловой корочкой). Желто-зелёный центр, глазчато-ресничный декор, желто-зеленые «ресницы». Техника изготовления: на основу из зеленого (?) стекла методом навивки нанесен слой спаянных отрезков многослойной палочки. Относится к типу **I.2В1**а — шаровидные бусы зелено-желтого непрозрачного стекла с глазчатым декором: красный непрозрачный глазок, желто-зеленые реснички. Тип датируется VII–VIII вв. Предполагаемое место производства: Сирия, Египет (Русланова, 2015. С. 111. Рис. 41).

Стеклянная зонная бусина (рис. 157, *3*)**.** Музейный номер — 16346. Место находки: **кв. С1/пласт 7**. Поверхность патенизирована. Декор — поперечно полосатый. Техника изготовления: на основу из отрезка палочки черного стекла нанесены полосы голубого стекла, вокруг одного из краев канала нанесена поперечная полоса красного непрозрачного стекла. Относится к типу **I.2Б1**а — зонные бусы зеленого полупрозрачного стекла с продольными полосами желто-зеленого непрозрачного стекла. Тип датируется VI–VII вв. Предполагаемое место производства: Сирия, Египет (Русланова, 2015. С. 61. Рис. 34).

Цилиндрической бусины фрагмент (рис. 157, *5*). Музейный номер — 16215. Место находки: **кв. В1/пласт 9**. Бусина зеленого непрозрачного стекла. Поверхность патенизирована, матовая. Техника изготовления: сгиб полосы вокруг стержня; однократное обертывание. Относится к типу **I.2А5**б — цилиндрические бусы зеленого непрозрачного стекла. Тип датируется V–VI вв. Предполагаемое место производства: Сирия, Египет (Русланова, 2015. С. 103. Рис. 31).

Раковина каури *(Cypraeidae)* **со срезанной спинкой** (рис. 157, *7*). Музейный номер — 16350. Место находки: **кв. А1/пласт 9**. Относится к типу **VI.1В1**а — раковины каури, которые могли иметь отверстие в стенке раковины, со срезанной задней стенкой; цвет белый, серый. Тип датируется второй половиной VI–VII вв. Предполагаемое место добычи: побережье Индийского океана (Индия), наибольшее распространение получили в IV–VI в. (Русланова, 2015. С. 103. Рис. 31).

Раковина каури *(Cypraeidae)*. Музейный номер — 16351 (рис. 157, *6*). Место находки: **кв. В1/пласт 10**. Относится к типу **VI.1В1**а — см. выше

Раковина каури *(Cypraeidae)*. Музейный номер — 16352 (рис. 157, *8*). Место находки: **кв. А2/пласт 10**. Относится к типу **VI.1В1**а — см. выше

Принизь-трубочка (рис. 157, *9*). Музейный номер — 16205. Место находки: **кв. В1/пласт 9.** Зеленого, полупрозрачного стекла, поверхность иризирована (покрыта тонкой радужной пленкой). Техника изготовления: деление тянутой трубочки. Относится к типу **I.1А1б2** — бусы и бисер зеленого прозрачного стекла. Тип имеет широкое время бытования в рамках III–VIII вв. Наибольшее распространение подобные бусы получают в V — начале VI вв. Предполагаемое место производства: Сирия, Египет (Русланова, 2015. С. 115. Рис. 51. Табл. 33).

Бисер крупный (рис. 157, *10–14*). Музейный номер — 16201, 16341–44. Место находки: **кв. А2/пласт 10**. Низка (5 шт.) крупного окатанного бисера синего прозрачного стекла. Поверхность матовая. Техника изготовления: деление тянутой трубочки. Относится к типу **I.1А1в3** — бусы и бисер темно-синего полупрозрачного стекла; поверхность умеренно глянцевая. Тип датируется V — началом VI вв. Предполагаемое место производства: Крым (Русланова, 2015. С. 103. Рис. 31).

Бисер (рис. 157, *15*). Музейный номер — 16347. Место находки: **кв. Б1/пласт 11**. Бисер красного непрозрачного стекла. Поверхность патенизирована. Техника изготовления: деление тянутой палочки. Относится к типу **I.1А1**д — бусы и бисер красного непрозрачного стекла; поверхность матовая, в некоторых случаях покрыта патиной. Тип датируется V–VI вв. Предполагаемое место производства: Сирия, Египет (Русланова, 2015. С. 41; 117. Рис. 51).

Бисер (рис. 157, *16*). Музейный номер — 16348. Место находки: **кв. С1/пласт 5**. Бисер окатанный бирюзового непрозрачного стекла, сохранность полная, поверхность патенизирована. Техника производства: деление тянутой трубочки, окатывание. Относится к типу **I.1А1**г — бусы и бисер бирюзового непрозрачного стекла; поверхность матовая, в некоторых случаях покрыта патиной, что характерно для бирюзового бисера из памятников эпохи раннего Средневековья. Тип датируется второй половиной VI–VII вв. Предполагаемое место производства: Сирия (Русланова, 2015. С. 41; 115. Табл. 33).

Стеклянная бусина. Сохранность плохая (многочисленные мелкие осколки). Музейный номер — 16349. Место находки: **кв. В1/пласт 9**. Бусина зонная с металлической серебряной фольгой. Техника изготовления: на трубочку нанесена фольга, покрытая сверху коричневым слоем, разрезана ножницами. Относится к типу **I.1Г10**а — двухчастные пронизи с серебряной фольгой и прозрачным внешним слоем; поверхность глянцевая. Тип датируется V — началом VI вв.

Предполагаемое место производства: Сирия, Египет (Русланова, 2015. С. 105. Рис. 31).

Зонная бусина зеленого прозрачного стекла (рис. 157, *4*). Сохранность полная. Музейный номер — 16709. Место находки: **кв. А1/пласт 10**. Канал цилиндрический, центрированный. Поверхность глянцевая. На просвет фиксируются пузырьки плохо проваренного стекла, направление которых позволяет определить технику изготовления изделия — навивку.

Бусина относится к Типу **I.3A1a**. Бусы данного типа распространены в некрополях Приуралья III–VIII вв. Большинство встречено в погребениях III–IV вв. Предполагаемое место производства: Сирия, Египет (Русланова, 2015. С. 129).

Представленные типы стеклянных бус и раковины каури имеют широкие временные рамки бытования в Приуралье, куда они поступали степным путем, а потом распространялись дальше на север, в Прикамье.

Приложение 2

Результаты петрографического анализа каменных орудий

(В. В. Русланов)

Проведение комплексных геолого-археологических исследований, направленных на изучение каменного инвентаря (как правило, во множестве представленного в материалах раннесредневековых памятников лесостепного Приуралья), открывает исследователю многочисленные возможности в поисках вероятных источников сырья, путей поступления камня, установлению радиуса освоенной территории, роли местных источников сырья в камнеобработке и т. д. Такие работы начаты и на Городище Уфа-II (Русланов В., Русланов Е., Тамимдарова, 2013. С. 189–190). Их продолжение позволит наметить возможные точки сбора каменного материала, тем самым обозначив освоенную жителями городища территорию, а также продемонстрируют предпочтения, отдаваемые тому или иному виду камня.

В 2015 году получена коллекция каменного инвентаря, состоящая из 17 изделий. Они подразделяются на готовые орудия, заготовки и отходы производства. Анализ проводился с использованием микроскопа Levenhuk 2S NG.

Орудия

1. **Оселок (точильный камень)** (рис. 64, *14*). Музейный номер (здесь и далее — ГБУ РИКМЗ «Древняя Уфа») — 16165. Место находки: кв. С1/пласт 7. Предмет имеет продолговато-уплощенную форму, сужающуюся к ручке, в районе условной рукояти плитчатая основа имеет срез природного происхождения. Цвет светло-кремовый. Длина 13 см, ширина 3,3 см, толщина 1,4 см. Диаметр сквозного отверстия 0,4 см. Материал: песчаник кварцевый, полевошпатокварцевый, тонкоплитчатый с редкой мелкой вкрапленностью пирита.

2. **Скребок** (рис. 83, *8*). Музейный номер — 16223. Место находки: кв. В2/пласт 8. Предмет имеет подовальную форму, срезанную с одного края. Визуально прослеживаются следы отжатия более мелких пластин, а также легкая обивка по краю. Цвет светло-серый, с переходом к коричневому. Длина 5,3 см, ширина 3,3 см, толщина 1 см. Материал: риолит (риодацит) мелко-редко порфированный, массивный. Порфировые выделения представлены светло-серым полевым шпатом. Скребок получен путем отщепления от средне-крупной речной гальки, происходящей из района распространения ордовико-девонских вулканических пород.

3. **Оселок (точильный камень)** (рис. 26, *1*). Фрагмент. Музейный номер — 16296. Место находки: кв. С1/пласт 3. Предмет имеет трапециевидную форму.

Цвет серый. Длина 3 см, ширина 3,6 см, толщина 1,1 см. Материал: песчаник кварцевый, тонкоплитчатый, тонкозернистый.

4. **Оселок (точильный камень)** (рис. 40, *12*). Фрагмент. Музейный номер — 16247. Место находки: кв. В1/пласт 5. Предмет имеет прямоугольную форму. Цвет темно-серый с тенденцией к осветлению. Длина 8,1 см, ширина 3,6 см, толщина 3,3 см. Материал: песчаник розовато-светло-серый кварцевый, тонко мелко зернистый, сортированный, не слоистый, плитчатый.

5. **Оселок (точильный камень)**. Фрагмент. Музейный номер — 16275. Место находки: кв. С1/пласт 12. Предмет имеет прямоугольную, брусковидную форму. Следы сработанности прослеживаются как с торцевой, так и со всех четырех боковых сторон. Цвет светло-серый. Длина 3,3 см, ширина 2,1 см, толщина 2,2 см. Материал: игнимбрит кислого состава (риолитового), неотчетливо-флюидальный, серицитизированный (игнимбриты образованы из пирокластических потоков типа "палящих лавин", выброшенных в виде очень подвижной газово-жидкой эмульсии, состоящей из обрывков и капель расплава, частиц раскаленного пепла и другого пирокластического материала; см.: Гребенников, Щека, Карабцов, 2012. С. 3–22).

6. **Оселок (точильный камень)** (рис. 114, *11*). Музейный номер — 16233. Место находки: кв. В1/пласт 10. Предмет имеет прямоугольную форму с округлыми концами. Следы сработанности прослеживаются со всех четырех боковых сторон. Цвет светло-коричневый. Длина 5,7 см, ширина 1,6 см, толщина 1,6 см. Материал: песчаник тонкозернистый, палевошпат кварцевый, сортированный, плитчатый.

7. **Оселок (точильный камень)** (рис. 114, *10*). Фрагмент. Музейный номер — 16285. Место находки: кв. А2/пласт 10. Предмет имеет конусовидную, уплощенную с одного края, форму. Следы сработанности в основном прослеживаются с двух сторон, у основания скоса. Цвет светло-серый. Длина 6,1 см, ширина 3 см, толщина 3,8 см. Материал: диабаз.

8. **Оселок (точильный камень)** (рис. 14, *13*). Фрагмент. Музейный номер — 16219. Место находки: кв. В1/пласт 1. Предмет имеет прямоугольную форму, обломан с двух сторон. Следы сработанности в основном прослеживаются по поверхности орудия. Цвет серый. Длина 9,8 см, ширина 3,9 см, толщина 0,8 см. Материал: алевропесчаник[3], тонкоплитчатый.

9. **Оселок (точильный камень)** (рис. 40, *11*). Фрагмент. Музейный номер 16237. Место находки: кв. В2/пласт 5. Предмет имеет прямоугольную форму. Следы сработанности прослежены со всех сторон, включая торцевую. Цвет се-

[3] Алевропесчаник – слабо сортированная обломочная порода переходного состава, содержащая, наряду с алевролитовой массой, заметное количество песчаной фракции.

рый. Длина 4,5 см, ширина 0,9 см, толщина 0,8 см. Материал: тонкозернистый песчаник, палевошпат кварцевый.

10. **Оселок (точильный камень)** (рис. 14, *11*). Фрагмент. Музейный номер — 16218. Место находки: кв. В1/пласт 1. Предмет имеет прямоугольную форму, со сквозным отверстием, в нижней части. Следы сработанности прослежены с двух широких плоскостей. Цвет темно-серый. Длина 7,2 см, ширина 4,1 см, толщина 0,6 см. Диаметр сквозного отверстия 0,4 см. Материал: алевропесчаник, темно-серый, тонкоплитчатый.

11. **Оселок (точильный камень)** (рис. 128, *10*). Музейный номер — 16255. Место находки: кв. А1/пласт 11. Предмет имеет прямоугольную форму. Следы сработанности прослежены со всех четырех сторон. Цвет темно-серый. Длина 16,5 см, ширина 4,5 см, толщина 4,2 см. Материал: песчаник серый светло-серый, тонкозернистый, палевошпат кварцевый, плитчатый.

Отходы производства

12. **Нуклеус** (рис. 83, *3*). Музейный номер — 16355. Место находки: кв. В1/пласт 8. Предмет имеет конусовидную форму. Прослеживаются следы отжатия более мелких пластин, а также мелкая ретушь по одному краю. Цвет молочно-серый с переходом к светло-коричневому. Длина 2,4 см, ширина 1,7 см, толщина 1,6 см. Материал: риолит (риодацит) мелко-редко порфированный массивный. Порфировые выделения представлены светло-серым полевым шпатом. Скребок получен путем отщепления от средне-крупной речной гальки, происходящей из района распространения ордовико-девонских вулканических пород.

13. **Нуклеус** (рис. 14, *12*). Музейный номер — 16248. Место находки: кв. В2/пласт 1. Предмет имеет треугольную вытянутую форму. Прослеживаются следы отжатия более мелких пластин. Цвет грязно-серый с переходом к светло-коричневому. Длина 4,1 см, ширина 2,2 см, толщина 0,9 см. Материал: риолит (риодацит) мелко-редко порфированный, массивный. Порфировые выделения представлены светло-серым полевым шпатом. Скребок получен путем отщепления от средне-крупной речной гальки, происходящей из района распространения ордовико-девонских вулканических пород.

14. **Нуклеус** (рис. 7, *24*). Музейный номер — 16311. Место находки: подъемный материал. Предмет имеет сложную подтреугольную форму. Визуально прослеживаются следы отжатия крупных и мелких пластин. Цвет темно-коричневый с серыми полосами с одной стороны. Длина 6,5 см, ширина 4 см, толщина 3,3 см. Материал: риолит (риодацит) мелко-редко порфированный, массивный. Порфировые выделения представлены светло-серым полевым шпатом. Скребок получен путем отщепления от средне-крупной речной гальки, происходящей из района распространения ордовико-девонских вулканических пород.

15. **Нуклеус** (рис. 64, *7*). Музейный номер — 16186. Место находки: кв. С1/пласт 7. Предмет имеет сложную трапециевидную форму. Прослеживаются следы отжатия мелких пластин. Цвет темно-серый со светло-серыми полосами с одной стороны. Длина 2,2 см, ширина 1,8 см, толщина 2,1 см. Материал: риолит (риодацит) мелко-редко порфированный, массивный. Порфировые выделения представлены светло-серым полевым шпатом. Скребок получен путем отщепления от средне-крупной речной гальки, происходящей из района распространения ордовико-девонских вулканических пород.

Заготовки

16. **Галька**. Музейный номер — 16308. Место находки: кв. В1/пласт 6. Предмет имеет овальную форму. Не обработана. Цвет темно-серый. Длина 4,3 см, ширина 2,3 см, толщина 2,3 см. Материал: риолит (риодацит афировый).

Судя по рассмотренной выборке, для изготовления абразивных орудий населением, оставившим городище, использовался в основном песчаник. Скребки изготавливались только из риолита, о чем свидетельствуют и готовые изделия, и отходы производства. Выходы обозначенных пород, согласно геологической карте, имеются в верховьях р. Сим и верховьях восточных притоков р. Уфа (Башкортостан…, 1996. С. 90). Предположительно, валуны и галька вышеописанных пород переносились водными потоками по имеющейся гидросети из верховьев рек и ручьев в район, расположенный вблизи от изучаемого памятника. Сбор камня, видимо, являлся одним из промыслов насельников Уфимского полуострова, которые могли отходить на 5–30 км в поисках подходящего каменного материала.

Рассмотрение материалов из раскопок 2015 и 2012 гг. — начало изучения всего массива каменных изделий, полученных в ходе многолетних раскопок средневекового Городища Уфа-II.

Приложение 3

Технико-технологические данные о керамике ОКН (памятник археологии) «Городище Уфа-II»

(А. К. Бахшиева)

Анализ керамики был проведен в рамках историко-культурного подхода по методике, разработанной А. А. Бобринским (Бобринский, 1979, 1991), с применением бинокулярного микроскопа МБС-10. Согласно этой методике, технология изготовления глиняной посуды рассматривалась как системное образование, состоящее из иерархических уровней — стадий керамического производства (подготовительная, созидательная и закрепительная), разделённых на десять ступеней — обязательных задач, выполнение которых необходимо для изготовления сосуда.

Подготовительная стадия:

1. отбор исходного сырья;
2. добыча исходного сырья;
3. обработка исходного сырья;
4. составление формовочной массы.

Созидательная стадия:

5. конструирование начина;
6. конструирование полого тела сосуда;
7. придание сосуду формы;
8. механическая обработка поверхностей сосуда.

Закрепительная стадия:

9. придание сосуду прочности;
10. устранение влагопроницаемости его стенок.

Вследствие фрагментарности поселенческого материала, что характерно для поселений, в т. ч. данного памятника, некоторые данные по субстратным традициям получены только для 6 сосудов (5 развалов и 1 днище). Данные по приспособительным традициям получены по всей выборке.

Всего было проанализировано 96 сосудов (92 фрагмента от 91 сосуда и 5 развалов). Было выделено 4 культурные группы керамики для 95 сосудов (100 **%**):

бахмутинская группа (47 сосудов, 49,5 %), турбаслинская группа (25 сосудов, 26,3 %), романовско-именьковский тип керамики (2 сосуда, 4,2 %), кушнаренковская и караякуповская группа (21 сосуд, 22,1 %). Отдельно было рассмотрено одно керамическое изделие, отнесенное к именьковской культуре (рис. 129), — диск-сковорода. Технологическая информация представлена по культурным группам в соответствии с приведённой системой.

В результате технологического анализа керамики были получены следующие данные по исходному пластичному сырью, использовавшему для изготовления формовочных масс. Сырье отбиралось и использовалось в естественно-увлажненном состоянии. По особенностям состава были выделены ожелезненные глины, илистая глина и ил. Ожелезненные глины по концентрации естественной примеси песка были разделены на три группы: высокопластичные, среднепластичные и низкопластичные.

Высокопластичные ожелезненные глины не содержат естественную примесь песка или содержат пылевидные частицы (размером до 0,5 мм) цветного окатанного песка в небольшой концентрации (не более 1:7). Кроме того, в них фиксируется бурый железняк в виде малинового или иногда бурого налета в изломе, а также редких обломочных включений размером от 0,5 до 2 мм. Также были выделены белые мягкие включения размером до 0,5 мм, являющиеся, вероятно, естественной примесью раковины.

Среднепластичные ожелезненные глины содержат естественную примесь цветного окатанного песка с частицами размером от 0,1 мм до 1 мм. Бурый железняк фиксируется в виде малинового и бурого глянцевого налета в изломе, а также редких бурых, красно-оранжевых обломочных частиц размером до 1 мм и малиновых оолитовых частиц размером до 0,5 мм. Естественная примесь раковины встречается в единичных случаях в виде белых мягких бесформенных комочков размером до 0,5 мм.

Низкопластичные ожелезненные глины характеризуются большой концентрацией песка (1:1 — 1:4) размером от 0,1 до 1,5 мм. Содержат бурый железняк: обломочный, бурого, темно-бордового и малинного цветов, размером до 1 мм; оолитовые фракции бурого, малинового и красного цветов, размером 0,5–1 мм; зафиксирован также железистый налет малинного и бордового цветов. В двух случаях встречается естественная примесь раковины перламутрового цвета, размером 0,3–0,7 мм.

Илистая глина содержит естественную примесь пылевидного песка с единичными цветными включениями, размером до 0,5 мм, обломочный бурый железняк оранжевого цвета, размером до 0,2 мм; отмечен и железистый налет малинового цвета, проявляющийся после обжига, а также естественная примесь раковины моллюска или улитки, со сглаженными краями, без признаков

дробления и термической обработки, размером от 0,1 до 1 мм, в концентрации 1:7 — 1:8.

Ил содержит пылевидный песок с цветными включениями, размером до 0,5 мм, бурый железняк виде малинового налета и оолитовых включений, размером до 0,5 мм, а также естественную примесь раковины моллюска или улитки, со сглаженными краями, без признаков дробления и термической обработки, белого матового или черного цвета, в концентрации 1:7, размером до 3 мм. Кроме того, в качестве естественной примеси встречаются комочки сухой глины, размером до 0,5 мм, единичные включения или отпечатки чешуи, размером до 1 мм, и отпечатки нитевидной растительности, размером до 4 мм.

В качестве непластичного исходного сырья использовались примеси минерального и органического происхождения: шамот (дробленые фрагменты старых сосудов), сухая дробленая глина, песок, раковина пресноводных моллюсков и органика.

Органическая примесь определяется по налету черного глянцевого, желто-бурого, оранжевого или белесого цвета, округлыми (в среднем 0,5 мм) и щелевидными (в среднем 1–2 мм) полостями, углем и отпечатками измельченной растительности. Отпечатки растительности достигают размера 4 мм (в среднем 0,5–1,5 мм), однако в большинстве проанализированных фрагментов отпечатки травинок отсутствуют или носят случайный характер, что позволяет говорить о широком применении органических растворов. Вид органического раствора определить сложно. Отдельные признаки (аморфные поры, отпечатки растительности, белесый налет) позволяют предположить использование выжимки из навоза (Илюшина, 2013. С. 40–45).

Данные о конструировании начинов и полых тел, и о формообразовании были получены в результате анализа всего шести сосудов разных культурных групп из всей выборки. Были выделены спирально-жгутовой, спирально-лоскутный и ленточный способы конструирования.

Поверхность сосудов заглаживалась и лощилась. В некоторых случаях удалось определить вид инструмента, которым производилось заглаживание — гладкий твердый предмет и гребенчатый штамп.

Обжиг всех сосудов проводился в костре или очаге, в окислительной или в восстановительной среде. В результате обжига в окислительной среде с постоянным доступом кислорода, ближе к поверхности цвет стенок сосуда приобретал бежевые или красно-оранжевые оттенки, а излом был одно-, двух- или трехцветным. При обжиге в восстановительной среде без доступа кислорода, ближе к поверхность сосуда цвет черепка и излома оставался в серых или черных оттенках.

На некоторых сосудах была зафиксирована химико-термическая обработка поверхности в виде чернения или обваривания сосуда после обжига. Для точ-

ного определения вида обработки необходимо проводить экспериментальные работы.

Бахмутинская группа керамики (рис. 21, *22–23*; 45, *17*; 44, *10, 15–16*; 35, *16–21*; 86; 87; 69, *6–7*; 101, *10–13, 15–17*). Всего было проанализировано 47 фрагментов от 47 сосудов, относящихся к данной группе.

Подготовительная стадия (Таблицы 1, 4, 5). При изготовлении бахмутинской керамики в качестве основного исходного пластичного сырья использовалась ожелезненная глина (45 случаев, 95,7 %) и илистая глина (2 случая, 4,3 %). Из высокопластичной глины было изготовлено 18 сосудов (38,3 %), из среднепластичной — 12 (25,5 %), а из низкопластичной — 15 (31,9 %).

В качестве непластичного исходного сырья использовались шамот, органика, дробленая раковина и высокопластичная глина в сухом состоянии. Зафиксированная размерность шамота варьирует в пределах от 0,5 до 4 мм, а концентрация — от 1:2 до 1:8. Средние значения шамота по размерности — 1–2 мм, по концентрации 1:4 — 1:6. В одном случае был обнаружен шамот в шамоте. В пяти случаях были зафиксированы включения раковины в шамоте, однако определить характер происхождения включений не удалось. Искусственно добавленная раковина представлена включениями характерного белого матового и перламутрового цветов, с признаками дробления, размерность частиц составляла 0,5–3 мм, в концентрации 1:4 — 1:5. Сырье содержало также пылевидный песок до 0,1 мм и комочки чистой нераспустившейся глины размером до 0,5 мм. Один сосуд был изготовлен из высокопластичной глины, отобранной в естественно-увлажненном состоянии, с добавлением в формовочную массу высокопластичной сухой глины, содержащей пылевидный песок, размером до 0,1 мм, и комочки чистой нераспустившейся глины размером до 0,5 мм, шамота и органики. Всего зафиксировано 5 рецептов формовочных масс: глина+шамот+органика, глина+органика, глина+шамот+раковина+органика, глина+раковина+органика, глина+сухая глина+шамот+органика.

Созидательная стадия (Таблицы 6, 7). Все сосуды были заглажены. В 18 случаях удалось определить инструмент: 16 сосудов были заглажены гладким твердым предметом (34 %), а 2 — гребенчатым штампом (4,3 %). Признаки лощения были зафиксированы на 16 фрагментах (34 %).

Орнамент был нанесен на 45 фрагментов (95,7 %) оттисками инструмента, оставляющего ямочный орнамент. Сечение рабочей части орнаментира было круглой или, в одном случае, подпрямоугольной формы. Инструмент имел скошенный, полый, округлый или острый конец.

Закрепительная стадия (Таблицы 7, 8). Обжиг проводился преимущественно в окислительной среде при постоянном доступе кислорода (41 случай, 87,3 %). В 13 случаях была зафиксирована химико-термическая обработка поверхности

чернением или обвариванием (27,7 %). Обжиг в восстановительной среде зафиксирован в 6 случаях (12,7 %).

Турбаслинская группа керамики[4] (рис. 36, *6*, *12, 22*; 85, *3*; 61, *3*; 68, *8–9*, 121, *9*; 101, *6;* 69, *1–2*; 141, *1, 7*; 130, *1–6*; 119, *1–15*). Всего было проанализировано 25 сосудов (24 фрагмента и 2 развала сосудов (рис. 34; 58).

Подготовительная стадия (Таблицы 2, 4, 5). В качестве исходного сырья использовалась ожелезненная глина (24 случая, 96 %) и ил (1 случай, 4 %). Из высокопластичной глины было изготовлено 4 сосуда (16 %), из среднепластичной глины — 15 (60 %), из низкопластичной — 5 (20 %). В качестве непластичного исходного сырья использован шамот, песок и органика. Размерность шамота варьировалась от 0,5 мм до 4 мм, а концентрация — от 1:2 до 1:7. Однако в среднем добавлялся шамот размером 1–2 мм в концентрации 1:5 — 1:6. В одном случае в шамоте были зафиксированы шамот и раковина. Всего зафиксировано 4 рецепта формовочных масс: глина+шамот+органика, глина+органика, глина+шамот+песок+органика, ил+шамот+органика.

Созидательная стадия. Данные по конструированию были получены по двум сосудам, верхняя часть которых частично сохранилась (текстовой рис. 1, *1–2*). Полое тело у обоих сосудов было выполнено ленточным налепом. Форма придавалась выдавливанием пальцами с последующим выбиванием.

Поверхность всех сосудов заглаживалась, в 10 случаях удалось определить, что инструментом был гладкий твердый предмет (40 %). В 5 случаях поверхность была залощена (20 %) (Таблица 7).

Четыре фрагмента (16 %) были орнаментированы по губе оттисками гладкого штампа (Таблица 6). Остальные фрагменты неорнаментированы.

Закрепительная стадия (Таблицы 7, 8). Обжиг турбаслинской керамики проходил в основном в окислительной среде (21 случай, 84 %), затем в 5 случаях поверхность была обработана химико-термическим способом. В восстановительной среде было обожжено 4 сосуда (16 %).

Романовско-именьковский тип керамики (рис. 59; 92, *2*). К данной группе было отнесено два сосуда, по аналогии с селища Романовка-II (Матвеева, Никитина, 2015. С. 52–77. Рис. 5, *9–10*).

Первый сосуд — фрагмент днища — был изготовлен из среднепластичной ожелезненной глины с добавлением шамота размером 0,5 — 2 мм в концентрации 1:5(4) и органического раствора. Начин изготовлен по донно-емкостной программе. Поверхность была плохо заглажена. Сосуд был обожжен в окисли-

[4] Автором главы IV часть сосудов отнесена к романовско-именьковской группе (рис. 69, *1-2*; 141, *1, 7*; 130, *1-6*; 119, *1-1)*

тельной среде, а затем термически обработан для придания ему темно-серого цвета (Таблицы 4–8).

Второй сосуд, представленный развалом днища, был изготовлен из высокопластичной ожелезненной глины с добавлением шамота размером 0,5 — 4 мм в концентрации 1:4(3) и органики на основе навоза. Начин изготовлен по донно-емкостной программе спирально-лоскутным налепом. Полое тело было изготовлено из жгутов, навитых по спирали (текстовой рис. 1, *3*). Форма придавалась выдавливанием на плоскости с последующим выбиванием. Поверхность днища была заглажена, затем залощена. Сосуд был обожжен в окислительной атмосфере с частичным доступом кислорода — поверхность имеет светлые оттенки с пятнами нагара, но излом — преимущественно черного цвета (Таблицы 4–8).

Кушнаренковская и караякуповская группы керамики[5] Всего было проанализирован 21 сосуд (рис. 7, *22–23*; 8, *1*; 27, *1–2*; 28, *4;* 68*, 11;* 100*, 11;* 60, *14*; 85, *1*; 100, *8–10*).

Подготовительная стадия (Таблицы 3, 4, 5). Использование ожелезненной глины в качестве исходного сырья было зафиксировано во всех случаях. В четырех случаях зафиксировано использование высокопластичной глины (19 %), в девяти случаях — среднепластичной (43 %), в восьми случаях — низкопластичной (38 %). В качестве непластичного исходного сырья добавлялся шамот размером от 0,5 до 2,5 мм, в среднем 1–1,5 мм, в концентрации 1:4 — 1:8, в среднем 1:5 — 1:6, и органика, в основном в виде растворов. Всего зафиксировано 2 рецепта формовочных масс: глина+шамот+органика, глина+органика.

Созидательная стадия. Полое тело единственного сосуда, доступного для анализа, было сделано из лоскутов, навитых по спирали (текстовой рис. 1, *4*). Форма придавалась выдавливанием с последующим выбиванием. Данный сосуд автор главы IV относит к караякуповской культуре (рис. 156, *8, 10*).

Поверхность 18 фрагментов была заглажена (85,7 %), из них, в одном случае удалось установить, что инструментом служил гладкий твердый предмет (4,8 %), еще в 8 случаях поверхность повторно обрабатывалась лощением. Всего лощение было зафиксировано в 10 случаях (47,6 %) (Таблица 4).

Все сосуды были орнаментированы (Таблица 6). 18 сосудов были орнаментированы прочерчиванием инструментом с тонкой рабочей частью (85,7 %). Оттисками гладкого штампа было орнаментировано 16 сосудов (76,2 %). Рабочая часть орнаментира представляла собой тонкое лезвие длиной 0,5–1 см. В 3 случаях зафиксированы вдавления, выполненные орнаментиром с изогнутой рабочей частью длиной 0,7–1 мм — «лунцевидный орнамент», по Н. А. Мажитову (Мажитов, 1977. С. 61). В 2 случаях вдавления были выполнены инструментом

[5] Автор главы IV разделяет данную группу на две.

с «подтреугольным» окончанием. Оттисками гребенчатого штампа были орнаментированы 5 сосудов (23,8 %): в 3 случаях орнамент был выполнен вдавлениями орнаментиром с зубчатой изогнутой рабочей частью длиной 0,7–1 мм — «лунцевидный зубчатый орнамент», по Н. А. Мажитову» (Мажитов, 1977. С. 62, 68); в одном случае отпечатки были сделаны гребенчатым орнаментиром с длиной рабочей части 1 см.

Закрепительная стадия (Таблицы 7, 8). Сосуды в основном обжигались в окислительной среде с постоянным доступом кислорода (15 случаев, 71,4 %). Из них 5 сосудов были подвергнуты химико-термической обработке. Обжиг в восстановительной среде был зафиксирован в 6 случаях (28,6 %), 1 сосуд вслед за тем был подвергнут термической обработке.

Диск-сковорода (рис. 129). Автор главы IV относит данное изделие к именьковской культуре. Сковорода изготовлена из высокопластичной глины с добавлением шамота размером 0,5–3,5 мм, в концентрации 1:5, и органики, скорее всего, в виде раствора. Начин был изготовлен лоскутно-комковатым способом по донно-емкостной программе (текстовой рис. 1, *5*). Поверхность была плохо заглажена, вероятно, мягким предметом (ткань или шерсть). Орнамент отсутствует. Сковорода была обожжена в окислительной среде: цвет поверхности — бежевый, излом — одноцветный. Анализ керамики романовского типа, относимой к именьковской культуре, дал схожие результаты (Никитина, 2015. С. 160–164).

Выводы. Гончарные традиции населения бахмутинской культуры Южного Приуралья мало изучены. По данным проведенного анализа, можно сказать, что на Городище Уфа-II носители бахмутинской культуры изготавливали посуду из ожелезненных глин с добавлением шамота и органических примесей. Свою посуду они заглаживали и иногда лощили, в некоторых случаях поверхность горшков подвергалась химической обработке (чернение или обвар) после окислительного обжига, который был доминирующим. Орнамент наносился гладким штампом в виде наколов или вдавлений инструментами с разным окончанием.

Присутствие искусственной добавки раковины зафиксировано всего в двух сосудах бахмутинской культуры (4,2 %, Таблица 1), что, в целом, соотносится с результатами предыдущих исследований: традиция добавлять раковину, скорее всего, происходит от населения удмуртской группы памятников мазунинской (раннебахмутинской) культуры (Останина, 1997. С. 54; Казанцева, 2007, С. 253–256; 2011. С. 55–62; Колонских, Бахшиева, 2015. С. 59). При изучении керамики Городища Уфа-II в предыдущие годы, примесь раковины была зафиксирована на нижних горизонтах, что свидетельствует о раннем времени бытования данной традиции (Мухаметдинов, Фазрахманова, 2013. С. 65). Примечательно, что при анализе бахмутинской керамики не было обнаружено искусственно добавленного песка, характерного для формовочных масс раннебахмутинской (мазунинской)

культуры башкирской группы памятников (Останина, 1997. С. 159, Колонских, Бахшиева, 2015. С. 59).

Керамика *турбаслинской культуры* с Городища Уфа-II в основном изготавливалась из среднепластичных ожелезненных глин, с добавлением шамота и органических примесей, что, в целом, соответствует данным, полученным И. Н. Васильевой при анализе керамики из могильников (Васильева, 1993. С. 47–48). Делать выводы о конструировании турбаслинских горшков не представляется возможным в силу малочисленности выборки. Полые тела сосудов, доступных для анализа, были изготовлены из лент. Поверхность сосудов заглаживалась и редко лощилась, сосуды обжигались преимущественно в окислительной среде. Керамика не орнаментирована.

Кушнаренковская и караякуповская керамика изготавливалась из ожелезненных глин, преимущественно среднепластичных, по рецептам глина+шамот+органика и глина+органика, что тоже, в целом, соотносится с результатами анализа, проведенного И. Н. Васильевой (Васильева, 1993. С. 45–47). Согласно И. Н. Васильевой, сосуды кушнаренковской и караякуповской культур изготавливались спирально-лоскутным налепом (Васильева, 1993. С. 50). Единственный, доступный для анализа, сосуд с Городища Уфа-II так же был изготовлен спирально-лоскутным способом.

Орнамент наносился в основном методами прочерчивания или вдавлений гладким инструментом, в некоторых случаях вдавления наносились гребенчатым лунчатым орнаментиром. Сосуды заглаживались, иногда лощились. Обжиг в основном производился в окислительной среде.

Таким образом, для изготовления глиняной посуды с Городища Уфа-II отбиралась, в основном, ожелезненная глина. Основным рецептом формовочных масс был глина+шамот+органика. Поверхность сосудов заглаживалась, в некоторых случаях лощилась. Обжиг производился в окислительной среде, в редких случаях — в восстановительной. Химико-термическая обработка поверхности зафиксирована в виде чернения или обваривания.

Для дальнейшего изучения гончарных традиций населения Городища Уфа-II необходимо увеличивать базу данных по технологии изготовления керамики эпохи раннего Средневековья на Южном Урале.

Дополнения

Сокращения. ИПС — исходное пластичное сырье: ВПГ1 — высокопластичная глина в естественно-увлаженном состоянии, ВПГ2 — высокопластичная глина в сухом состоянии, НПГ — низкопластичная глина, СПГ — среднепластичная глина в естественно-увлаженном состоянии, ИГ — илистая глина. ФМ — формовочная масса: Ш — шамот, О — органика, Р — раковина, П — песок. О — окислительная среда, В —восстановительная среда, Л — лощение, З — заглаживание: ГТП — гладкий твердый предмет, ГрШ — гребенчатый штамп. Орнамент: ГлД — гладкий динамичный, ГлС — гладкий статичный, ГрС — гребенчатый статичный, ЯО — ямочный.

Таблица 1. **Приспособительные традиции населения бахмутинской культуры (в числителе — число фрагментов; в знаменателе — их % в группе)**

	Ш+О	**О**	**Ш+Р+О**	**Р+О**	**ВП-Г2+Ш+О**	Всего
ВПГ1	16/34		1/2,1		1/2,1	18/38,2
СПГ	11/23,4	1/2,1				12/25,5
НПГ	11/23,4	3/6,4		1/2,1		15/31,9
ИГ	2/4,3					2/4,3
Всего	40/85,1	4/8,5	1/2,1	1/2,1	1/2,1	47/100

Таблица 2. **Приспособительные традиции населения турбаслинской культуры (в числителе — число фрагментов; в знаменателе — их % в группе)**

	Ш+О	**О**	**Ш+П+О**	Всего
ВПГ1	3/12		1/4	4/16
СПГ	13/52	2/8		15/60
НПГ	4/16	1/4		5/20
Ил	1/4			1/4
Всего	21/84	3/12	1/4	25/100

Таблица 3. **Приспособительные традиции населения кушнаренковской и караякуповской культур (в числителе — число фрагментов; в знаменателе — их % в группе)**

	Ш+О	О	Всего
ВПГ1	4/19		4/19
СПГ	8/38	1/5	9/43
НПГ	4/19	4/19	8/38
Всего	16/76	5/24	21/100

Таблица 4. **Исходное пластичное сырье керамики с Городища Уфа-II (в числителе — число фрагментов; в знаменателе — их % в группе / в выборке)**

	ВПГ1	СПГ	НПГ	ИГ	Ил	Всего
Бахмутинская культура	18/38,3/18,9	12/25,5/12,6	15/31,9/15,8	2/4,3/2,1		47/100/49,5
Романовско-именьковская	1/50/1,05	1/50/1,05				2/100/2,1
Турбаслинская	4/16/4,2	15/60/15,8	5/20/5,3		1/4/1,05	25/100/26,3
Кушнаренковская и караякуповская	4/19/4,2	9/43/9,5	8/38/8,4			21/100/22,1
Всего	27/-/28,4	37/-/39	28/-/29,5	2/-/2,1	1/-/1,05	95/-/100

Таблица 5. **Формовочные массы керамики с Городища Уфа-II (в числителе — число фрагментов; в знаменателе — их % в группе / в выборке)**

	ИПС+ +Ш+О	ИПС+О	ИПС+ +Ш+Р+О	ИПС+ О+Р	ИПС+- ВПГ2 +Ш+О	ИПС+ Ш+П+О	Всего
Бахмутинская	40/85,1/42,1	4/8,5/4,2	1/2,1/1,05	1/2,1/1,05	1/2,1/1,05		47/100/49,5
Романовско-именьковская	2/100/2,1						2/100/2,1
Турбаслинская	21/84/22,1	3/12/3,2				1/4/1,05	25/100/26,3
Кушнаренковская и караякуповская	16/76,2/16,8	5/23,8/5,2					21/100/22,1
Всего	79/-/83,1	12/-/12,6	1/-/1,05	1/-/11,05	1/-/1,05	1/-/1,05	95/-/100

Таблица 6. **Способы нанесения орнамента на керамике с Городища Уфа-II (в числителе — число фрагментов; в знаменателе — их % в группе / в выборке)**

	Без орнамента	ЯО	ГлД	ГлС	ГрС	Всего
Бахмутинская	2/4,3/2,1	45/95,7/47,4	-			47/100/49,5
Романовско-именьковская	2/100/2,1	-	-			2/100/2,1
Турбаслинская	21/84/22,1	-	-	4/16/4,2		25/100/26,3
Кушнаренковская и караякуповская	-	-	18/85,7/18,9	16/76,2/16,8	5/23,8/5,3	21/100/22,1
Всего	24/25,3	45/-/47,4	18/18,9	65/68,4	5/5,3	95/-/100

Таблица 7. **Механическая и химико-термическая обработка поверхности керамики с Городища Уфа-II (в числителе — число фрагментов; в знаменателе — их % в группе / в выборке)**

	Заглаживание		Лощение	Чернение/ обвар	Всего
	ГТП	ГрШ			
Бахмутинская	47/100/49,5		16/34/16,8	13/27,7/13,7	47/100/49,5
	16/34/16,8	2/4,3/2,1			
Романовско-именьковская	2/100/2,1		1/50/1,05	-	2/100/2,1
Турбаслинская	25/100/26,3		5/20/5,3	5/20/5,3	25/100/26,3
	10/40/4,2	-			
Кушнаренковская и караякуповская	18/85,7/18,9		10/47,6/10,5	6/28,6/6,3	21/100/22,1
	1/4,8/1,05	-			
Всего	92/-/96,8		32/-/33,7	24/-/25,3	95/-/100
	27/-/28,4	2/-/2,1			

Таблица 8. **Обжиг керамики с Городища Уфа-II (в числителе — число фрагментов; в знаменателе — их % в группе / в выборке)**

	Окислительная среда	**Восстановительная среда**	**Всего**
Бахмутинская	41/87,3/43,16	6/12,7/6,32	47/100/49,5
Романовско-именьковская	1/100/1,05	1/100/1,05	2/100/2,1
Турбаслинская	21/84/22,1	4/16/4,2	25/100/26,3
Кушнаренковская и караякуповская	15/71,4/15,8	6/28,6/6,3	21/100/22,1
Всего	78/-/82,1	17/-/17,9	95/-/100

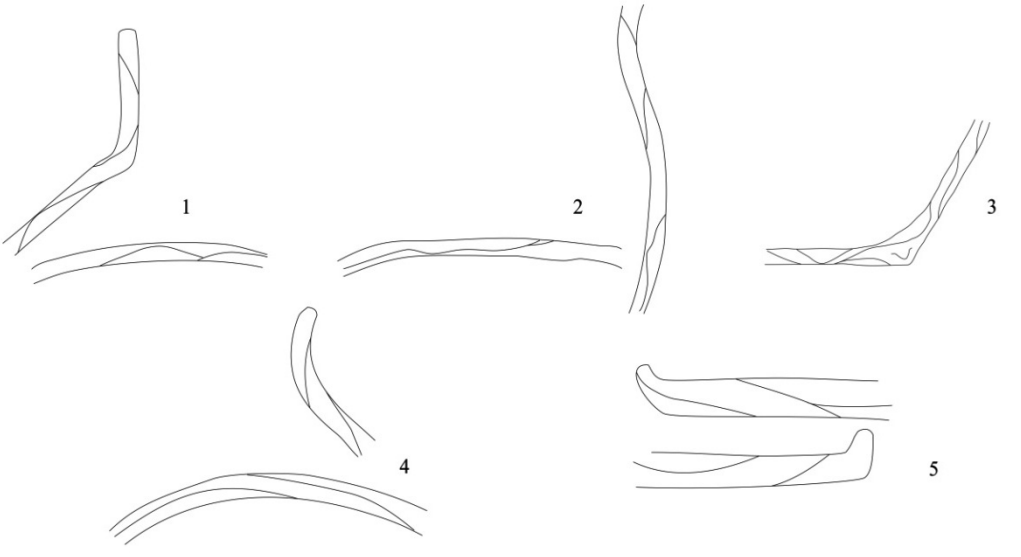

Рис. 1. Конструирование сосудов. 1,2 — турбаслинская группа, 3 — романовско-именьковский тип, 4- сосуд караякуповской культуры, 5 — диск-сковорода

Приложение 4

Результаты изучения археозоологической коллекции

(А. А. Романов)

Из 11820 изученных фрагментов костей крупных млекопитающих, происходящих из раскопок на памятнике в 2015 году, до уровня вида, подвида или рода было идентифицировано 6267 костей, что составляет 53,01 %. Уменьшение процента определенных фрагментов, по сравнению с предыдущими годами исследований, объясняется более высокой степенью раздробленности материала (табл. 9). Наибольший процент целых костей наблюдается на уровне пластов 1–3, не принадлежащих ко времени существования раннесредневекового поселения. Более высокая степень фрагментированности материала может быть связана как с более глубокой степенью выработки пищевых ресурсов на данной части поселка, так и с особенностями археологизации материала (кости животных больше времени находились на дневной поверхности и, как следствие, дольше подвергались разрушительному воздействию биогенных, абиогенных и антропогенных факторов).

Анатомические особенности изученного материала не отличаются от таковых из коллекций предыдущих годов исследований. От плечевых костей сохранился преимущественно дистальный конец, от лучевых и локтевых — проксимальный сустав, от метаподиальных — верхний и нижний эпифизы, от берцовых — диафиз и дистальный конец, от бедренных — в основном диафиз. Фаланги, астрагалы, мелкие кости запястья и предплюсны, в большинстве сохранились целыми. Кости животных отличаются сравнительно хорошей сохранностью костного вещества, в основном имеют желтоватую и коричневатую окраску, обусловленную окислами железа. Изредка встречающаяся белая (светло-серая) окраска костей, вызвана их сравнительно долгим нахождением на дневной поверхности (Сатаев, Куфтерин, 2012).

Кости принадлежат 9 таксонам доместифицированных и 7 таксонам недоместифицированных млекопитающих. Также встречены скелетированые останки птиц и рыб (табл. 1). Из видов, не характерных для региона, встречены костные фрагменты, принадлежащие домашнему ослу (*Equus asinus asinus,* L., 1758) и двугорбому верблюду (*Camelus bactrianus,* L., 1758). Все остеологические фрагменты принадлежали, по всей вероятности, одной особи каждого вида. Однако выявленные на границе современных и древних напластований, они не могут быть достоверно отнесены к периоду существования раннесредневекового поселения. Также, были встречены кости таких домашних и диких видов как

домашняя кошка (*Felis silvestris catus,* L., 1758), обыкновенный хомяк (*Cricetus cricetus,* L., 1758) и не определимые до вида представители грызунов подотряда мышевидные (Myomorpha, (Rodenta)). Кости кошки и хомяка были обнаружены в слоях, лежащих выше раннесредневековых напластований. Кости мышевидных грызунов, хотя были встречены в культурном слое, вероятно, могут служить маркером хозяйственных построек.

На дикие виды млекопитающих в совокупности приходиться 2,94 % идентифицированных до вида или рода костей животных, или 14,12 % от минимального количества особей (табл. 1). Отношение количества костных остатков, принадлежавших доместифицированным видам животных, к количеству костных остатков недоместифицированных видов незначительно отличается от результатов, полученных при анализе коллекции из раскопок предыдущих лет. Однако обращает на себя внимание значительно большее, чем отмечено в более ранних коллекциях, количество костей бобра, кабана, рыб и птиц. При этом, полностью отсутствуют встречавшиеся ранее кости крупных копытных, таких как лось, благородный олень, косуля (Сатаев, Нурмухаметов, 2004; Сатаев и др., 2011; Сатаев, Куфтерин, 2012; Романов, 2015; Романов, Русланов, 2015; Романов, Русланов, Сахипов, 2015).

В отличие от коллекций предыдущих годов, кости кабана из находок 2015 г. представлены не только клыками (Романов, 2015), но и значительными частями черепов, нижних челюстей, а так же некоторыми костями посткраниального скелета. Наличие хорошо сохранившихся верхних и нижних челюстей позволило установить, на особей какого возраста предпочтительно велась охота. Как видно из таблицы, более половины всех костей кабана принадлежит молодым особям, но при этом полностью отсутствуют кости новорожденных поросят.

Вариации соотношения костных остатков промысловых видов животных, вероятно, обусловлены тем, что каждая семья (дом) индивидуально занималась промыслом того или иного вида пропитания. Известно, что к изучаемой территории городища ранее примыкала река (Ищериков, 1959), что, несомненно, сказывалось на хозяйственной деятельности живших на этой территории людей. Это особенно хорошо отражается в отношении количества костных фрагментов млекопитающих к количеству костных фрагментов рыб. В коллекции из раскопок 2012 г. отношение количества костей рыб к общему количеству определимых фрагментов составляло 0,63 % (Сатаев, Куфтерин, 2012), в коллекции 2014 г. — 1,16 % (Романов, 2015), в коллекции 2015 г. — 4,22 %.

Количество костей птиц также значительно превышает результаты, полученные в прошлые года исследований. Отношение количества костных фрагментов животных этого класса к количеству костных фрагментов млекопитающих составляет 3,26 %. Для сравнения, в 2012 г. эта цифра составляла 0,81 % (Сатаев, Куфтерин, 2012), а в 2014 г. — 0,73 % (Романов, 2015).

Среди костей птиц были выявлены представители четырех отрядов — курообразные (*Galliformes,* Temminck, 1820), аистообразные (*Ciconiiformes*, Bonaparte, 1854), гусеобразные (*Anseriformes,* Wagler, 1831), воробьинообразные (*Passeriformes,* L., 1758). К представителям первого отряда были отнесены 6 костных фрагментов, принадлежавших 2 видам — серая куропатка (*Perdix perdix*, L., 1758) и тетерев (*Lyrurus* sp.). Второй отряд представлен единственным видом — белым аистом (*Ciconia ciconia*, L., 1758). К нему были отнесены 3 костных фрагмента. К птицам из отряда гусеобразные были отнесены 26 фрагментов костей. Здесь выделяются два вида — серый гусь (*Anser* anser, L., 1758) и кряква (*Anas platyrhynchos*, L., 1758). Наиболее многочисленным по количеству встреченных костей является отряд воробьинообразные (57 фрагментов), однако идентифицировать их видовую принадлежность не удалось ввиду раздробленности материала. Накопление костей птиц этого отряда могло носить естественный характер, так как сомнительно, что данные виды птиц употреблялись в пищу, ввиду их малого размера. Таким образом, видно, что водные и околоводные виды птиц играли немаловажную роль в хозяйственной деятельности населения данной части поселения на протяжении всего времени его существования.

Распределение материала по квадратам раскопа довольно равномерно, за исключением квадрата А2, на котором как количество костей в целом, так и количество видов, значительно меньше, чем на других квадратах (табл. 2, 4, 5). Рассмотрение распределения костей по глубине раскопа выявляет увеличение количества костей диких видов животных на уровне пластов 5 и 10 (табл. 2, 6, 7).

Кости млекопитающих, найденные в хозяйственной яме (табл. 2) и среди подъемного материала (табл. 8) представлены в основном доместифицированными видами животных.

Возраст животных определялся по методике В. И. Цалкина (Цалкин, 1967, 1970). Состав возрастных групп доместифицированных видов животных незначительно отличается от результатов исследований предыдущих лет (табл. 14).

Следы погрызов собаками и грызунами на эпифизах костей немногочисленны и встречаются, в основном, на костях птиц.

Также, отмечается значительное количество костей, несущих на себе следы воздействия открытого огня. Однако большая часть костей подвергалась сжиганию уже после раздробления, что позволяет предполагать, что эти следы не являются следствием приготовления мяса посредством жарки на открытом пламени, а являются следами утилизации пищевых отходов в костре.

Следы патологических изменений на костях животных единичны и рассмотрены в индивидуальном порядке.

Метакарпальная кость лошади. Квадрат А2 на уровне пласта 11

Обнаруженный верхний эпифиз метакарпальной кости лошади, с приросшими к ней грифельными и запястными костями, несет на себе следы длительного воспалительного процесса, протекавшего в надкостнице и хряще сустава, окостенения межкостных связок, а так же краевые циркулярные экзостозы. Воспалительный процесс затронул все входящие в сустав кости, что говорит о длительности его протекания. Наиболее вероятный диагноз — оссифицирующий периостит пястных костей (Шакалов, 1952). Причиной этого заболевания может быть тяжелая работа на животном в молодом возрасте. В пользу этого свидетельствуют и увеличенные мыщелки, как на самой метакарпальной кости, так и на других костях лошади, обнаруженных поблизости и принадлежащих, вероятно, той же особи.

Нижняя челюсть лошади. Квадрат В1 на уровне пласта 12

На симфизарном отделе нижней челюсти наблюдается удвоенный резец (полиодонтия). Помимо этого коренные зубы несут на себе следы неправильного стирания (так называемые гладкие зубы). Полиодонтия возникла при нарушении смены зубов (молочный зуб не выпал, но постоянный полностью вырос). Совокупность этих двух патологий затрудняла процесс питания лошади и могла травмировать мягкие ткани ротовой полости (Шакалов, 1952).

Кариес зубов

Встречается на зубах крупного и мелкого рогатого скота, лошади и свиньи. Распространен достаточно широко. Около 10 % всех найденных при проведении раскопок нижних челюстей животных несут на себе следы данного заболевания. Представлен во всех четырех формах: поверхностный (*Caries superficialis*), когда процесс распада ограничен цементом; средний кариес (C. *mediapropria*), когда процесс прогрессирует, разрушается эмаль и частично дентин и образуется кариозная полость (дупло); глубокий кариес (C. profunda), или проникающий, если разрушается и слой дентина, в результате чего обнажается пульпа; полный кариес (C. totalis), при котором разрушается вся коронка зуба. Следы кариеса обнаружены как на коренных зубах, так и на резцах.

Существует несколько точек зрения по поводу причин возникновения кариеса. По химической теории развитие кариеса происходит вследствие накопления в ротовой полости муравьиной, уксусной, масляной и молочной кислот, а также разложившихся остатков корма, которые, воздействуя на зуб, вызывают развитие в нем патологического процесса.

Инфекционная теория предполагает, что развитие кариеса происходит в результате действия микробов, но специфического возбудителя не выделено.

П. В. Филипповский считает, что причиной кариеса зубов у крупного рогатого скота являются недостаток ряда микро- и макроэлементов (фосфора, кобальта, цинка, меди, молибдена, марганца и, особенно, фтора и йода) в почвах, корме и воде; недостаточное поступление в организм перевариваемого протеина и витаминов; большая кислотность силоса.

Возникновение кариеса резцов возможно в результате нарушения функции слюнных желёз, сопровождающегося недостаточным поступлением ферментов, что ведет к нарушению крепости эмали.

Способствуют развитию кариеса также недостаточная твердость зубной эмали, цемента и дентина, зубные камни, плохой корм и заболевание рахитом. Кариес может развиваться как следствие пульпита (Шакалов, 1952).

Как и в коллекциях предшествующих лет, довольно высок процент костных фрагментов, несущих на себе следы обработки. Однако, в отличие от прошлых лет раскопок, среди костяных изделий, найденных в 2015 г., значительно меньше наконечников стрел. Довольно много встречено плечевых костей МРС, в основании сустава на дистальном конце кости которых было проделано отверстие круглой формы различного диаметра, не затрагивающее внутреннюю полость кости. Назначение данных изделий (рис. 26, *5*; 83, *4–5*) не ясно. Однако есть гипотеза, что в отверстие продевалась нить, с помощью которой кость могли подвешивать, используя ее, таким образом, в качестве украшения, или, например, детской погремушки.

Таблица 1. **Видовой и количественный состав остатков животных из раскопок городища Уфа II**

Виды	Количество остатков	В % к определимым остаткам млекопитающих	Минимальное количество особей
Доместифицированные млекопитающие			
КРС	1101	19,05	80
Овца	6	48,10	5
Коза	25		12
МРС	2749		109
Свинья	458	7,92	73
Лошадь	1249	21,60	72
Домашняя кошка	2	0,04	1
Домашний осел	19	0,33	1
Двугорбый верблюд	2	0,02	1

Виды	Количество остатков	В % к определимым остаткам млекопитающих	Минимальное количество особей
Недоместифицированные млекопитающие			
Сурок	73	1,26	23
Лиса	10	0,17	3
Бурый медведь	9	0,16	6
Бобр	38	0,66	14
Кабан	18	0,31	7
Обыкновенный хомяк	4	0,07	1
Мышевидные грызуны	18	0,31	4
Птицы	**211**		
Рыбы	**276**		
Неопределимые фрагменты	**5554**		

Таблица 2. **Распределение костных остатков животных по пластам и квадратам раскопа Городища Уфа-II**

Виды	Квадраты					
	А1	**А2**	**В1**	**В2**	**С1**	**Бровка**
Пласт 1						
МРС	5		36	14	12	24
Лошадь	5		15	8	18	35
КРС		3	12	18	24	31
Свинья		1	4	2		9
Медведь			1	1		1
Бобр			1			
Сурок			1	2		1
Рыба						10
Птица	1	1	6	2	24	2
Пласт 2						
МРС		9	3	12	6	30
Лошадь		1	1	39(2)*	5	56(3)

* Здесь и далее в скобках указано, от скольких особей происходят остатки; если указание отсутствует, все кости принадлежат одному животному (для рыб, земноводных и птиц количество особей не указано).

Виды	Квадраты					
	А1	**А2**	**В1**	**В2**	**С1**	**Бровка**
КРС		6	1	13	2	11
Сурок			9			
Свинья		2		3		8
Обыкновенный хомяк		1			3	
Рыба						5
Птица		6	3	2	2	
Пласт 3						
МРС	17	9	17	13	88(3)	40(2)
Лошадь		1		11	27(2)	55(2)
КРС	21	11	24	13	29	27(2)
Свинья	1	1	4		7	10
Домашний осел			19			
Бобр		1				
Сурок	3			2	5	1
Мышевидный грызун						5
Рыба	1	2	1		7	8
Птица						4
Пласт 4						
Коза				3		
МРС	14	26	27	119(5)	23	145(3)
Лошадь	11	14	28	103(3)	27	101(3)
КРС	3	17	18	75(4)	12	48(2)
Свинья	2	4	10	8		11
Кабан				1	5	
Сурок				2		3
Птица		8	2	11		4
Рыба		2	1	1		1
Пласт 5						
Овца			2			
Коза			2			

Виды	Квадраты					
	A1	**A2**	**B1**	**B2**	**C1**	**Бровка**
МРС		43(2)	35	90(3)	20	86(2)
Лошадь		13	67(2)	13	29	56(2)
КРС		15	22	46(3)	10	24
Сурок		1	5	7	2	
Бобр						1
Свинья		3	8	21(2)	4	17(3)
Медведь				3		
Лиса		7				
Мышевидный грызун		1		2		
Рыба		5		7	1	7
Птица		5	10	24		1
Пласт 6						
Коза			2			
МРС	18	35	31(2)	58(2)	30	74(2)
Лошадь		28	28	3	17	8
КРС	7	7	24	42	3	26
Сурок				1	1	
Бобр		4				
Свинья	3	11	6	10	3	13
Мышевидный грызун						4
Рыба	2	11	1	9		12
Птица		5	4	1	1	4
Пласт 7						
МРС		19	10	41(2)	15	23
Лошадь		20	13	13		18
КРС		5	9	4	6	8
Сурок					1	
Бобр						2
Свинья		5	3	9	4	13
Кабан						7

Виды	Квадраты					
	A1	**A2**	**B1**	**B2**	**C1**	**Бровка**
Птица		5		7		3
Рыба		2	2	6	2	6
Пласт 8						
МРС	4	43(2)	11	44	17	53(2)
Лошадь	5	34	13	29	5	15
КРС		16		19	4	27
Свинья		13		9	2	14
Бобр						7
Медведь		1				
Рыба		3	1	6	2	
Птица		5		1		3
Пласт 9						
МРС	34	53	54(2)	31	41(2)	70(2)
Лошадь	24	8	15	4	8	7
КРС	6	18	2	24	2	17
Бобр	2					3
Свинья	3	2	10	3	3	2
Лиса					1	
Кабан		1				
Мышевидный грызун			1			
Птица	5	3			4	6
Рыба	6	6			1	4
Пласт 10						
Овца			1			
Коза			3(2)			
МРС	21(2)		46	80(2)	25(2)	76(2)
Лошадь			9	14	10	28
КРС	8		9	43(3)	6	19
Свинья	4		6	13(2)	5	9

Виды	Квадраты					
	A1	A2	B1	B2	C1	Бровка
Кабан						1
Домашняя кошка	2					
Сурок				1		
Бобр			1			8
Медведь			2			
Рыба	5			16	1	18
Птица			1	4		8
Пласт 11						
МРС	27	87(4)	41	31	18	62(3)
Лошадь	11	27	12	9	7	25
КРС	9	39	5	18	10	28
Сурок	2(2)					
Свинья	6	43(4)	5	9	2	8
Бобр		2			4	
Лиса				2		
Рыбы	13	17	5	9	8	5
Птица	2	6		2	4	
Пласт 12						
Овца		1				
Коза		2		4		2
МРС	20	27(2)		50(3)	10	48
Лошадь		13(2)		5	4	4
КРС	8	14(2)		24(3)	7	13
Сурок				2	3	
Свинья	4	4		15(2)	6	4
Бобр	1					
Кабан				1		
Рыба	4	7		4		2
Птица				1	2	

Виды	Квадраты					
	А1	**А2**	**В1**	**В2**	**С1**	**Бровка**
Пласт 13						
МРС		15	83(3)			
Лошадь		7	26			
КРС		4	11			
Верблюд				2		
Свинья		3	8			
Рыба			4			
Птица			3			

Таблица 3. **Распределение материала в хозяйственной яме**

Виды	Хоз. яма № 1 на уровне пласта 13
МРС	190(3)
Овца	2(2)
Коза	7(4)
КРС	17
Свинья	22(3)
Лошадь	15
Сурок	8
Мышевидные грызуны	5
Птица	5
Рыба	23

Таблица 4. **Распределение количества костных остатков по квадратам раскопа Городища Уфа-II**

Виды	Квадраты					
	А1	**А2**	**В1**	**В2**	**С1**	**Бровка**
Овца		1	3			
Коза		2	7	7		2
МРС	160	366	394	583	305	731
Лошадь	56	166	227	251	157	408
КРС	62	151	137	339	115	279

Виды	**Квадраты**					
	A1	**A2**	**B1**	**B2**	**C1**	**Бровка**
Свинья	23	92	64	102	36	118
Кошка	2					
Домашний осел			19			
Верблюд				1		
Бобр	**3**	**7**	**2**		**4**	**21**
Сурок	**5**	**1**	**15**	**17**	**12**	**5**
Кабан		**1**		**2**	**5**	**8**
Лиса		**7**		**2**	**1**	
Медведь		**1**	**3**	**4**		**1**
Обыкновенный хомяк		**1**			**3**	
Мышевидные грызуны		**1**	**1**	**2**		**9**
Рыбы	**31**	**48**	**15**	**58**	**22**	**78**
Птицы	**8**	**44**	**29**	**55**	**37**	**32**

Таблица 5. **Распределение минимального количества особей вида по квадратам раскопа Городища Уфа-II**

Виды	**Квадраты**					
	A1	**A2**	**B1**	**B2**	**C1**	**Бровка**
Овца		1	2			
Коза		1	4	2		1
МРС	10	17	16	23	16	22
Лошадь	5	12	12	15	12	18
КРС	7	13	11	21	12	14
Свинья	7	15	10	14	9	14
Кошка	1					
Осел			1			
Верблюд				2		
Бобр	**2**	**3**	**2**		**1**	**5**
Сурок	**3**	**1**	**3**	**7**	**5**	**3**
Кабан		**1**		**2**	**1**	**2**

Виды	Квадраты					
	A1	A2	B1	B2	C1	Бровка
Лиса		1		1	1	
Медведь		1	2	2		1

Таблица 6. **Распределение количества костных остатков животных по пластам на Городище Уфа-II**

Виды	Пласты												
	1	2	3	4	5	6	7	8	9	10	11	12	13
Овца					2					1		1	
Коза				3	2	2				3		8	
МРС	91	60	184	354	274	246	108	172	283	248	266	155	98
Лошадь	81	102	94	284	178	84	64	101	66	61	91	26	33
КРС	88	33	125	173	117	109	32	66	69	85	109	66	11
Свинья	16	13	23	35	53	46	34	38	23	37	73	33	11
Домашняя кошка										2			
Домашний осел			19										
Верблюд													1
Бобр	**1**		**1**		**1**	**4**	**2**	**7**	**5**	**9**	**6**	**1**	
Сурок	**4**	**9**	**11**	**5**	**15**	**2**	**1**			**1**	**2**	**5**	
Кабан				**6**			**7**		**1**	**1**		**1**	
Лиса					**7**				**1**		**2**		
Медведь	**3**				**3**			**1**		**2**			
Обыкновенный хомяк		**4**											
Мышевидный грызун			**5**		**3**	**4**			**1**				
Рыбы	**10**	**5**	**19**	**5**	**20**	**35**	**18**	**12**	**17**	**40**	**57**	**10**	**4**
Птицы	**36**	**13**	**4**	**25**	**40**	**15**	**12**	**9**	**18**	**13**	**14**	**3**	**3**

Таблица 7. **Распределение минимального количества особей вида по пластам на Городище Уфа-II**

Виды	Пласты												
	1	2	3	4	5	6	7	8	9	10	11	12	13
Овца					1					1		1	
Коза				1	1	1				2		3	

Виды	**Пласты**												
	1	**2**	**3**	**4**	**5**	**6**	**7**	**8**	**9**	**10**	**11**	**12**	**13**
МРС	5	5	9	12	9	9	6	8	9	9	11	8	4
Лошадь	5	8	6	10	7	5	4	6	6	4	6	5	2
КРС	5	5	7	10	7	6	5	4	6	7	6	8	2
Осел			1										
Верблюд													2
Свинья	4	3	5	5	8	6	5	4	6	6	9	6	2
Кошка										1			
Бобр	**1**		**1**		**1**	**1**	**1**	**1**	**2**	**2**	**2**	**1**	
Сурок	**3**	**1**	**4**	**2**	**4**	**2**	**1**			**1**	**2**	**2**	
Кабан				**2**			**1**		**1**	**1**		**1**	
Лиса					**1**				**1**		**1**		
Медведь	**3**				**1**			**1**		**1**			

Таблица 8. **Видовой состав и количество костных остатков из подъемного материала Городища Уфа-II**

Виды	**Количество костных остатков**
КРС	1
Лошадь	9(2)
МРС	20(2)
Свинья	1
Кабан	2
Бобр	1
Рыба	**1**
Птицы	**1**
Неопределимые фрагменты	**8**

Таблица 9. **Средней показатель раздробленности костных остатков животных (% целых костей относительно общего количества определимых остатков)**

Пласты												
1	**2**	**3**	**4**	**5**	**6**	**7**	**8**	**9**	**10**	**11**	**12**	**13**
0,32	0,81	0,20	0,00	0,00	0,00	0,00	0,01	0,00	0,00	0,00	0,01	0,00

Таблица 10. **Возрастной состав малого рогатого скота в %, (по В. И. Цалкину)**

Возраст, характеристика зубной системы	**%**
возраст от 5–6 до 15–18 месяцев (M_1 имеется, M_2, отсутствует)	76
возраст от 15–18 до 24–28 месяцев (M_2 имеется, M_3 отсутствует)	22
возраст старше 24–28 месяцев (M_3 имеется).	1

Таблица 11. **Возрастной состав крупного рогатого скота в %, (по В. И. Цалкину)**

Возраст, характеристика зубной системы	**%**
возраст до 3 месяцев (M_1 отсутствует)	20
возраст от 3 до 9–12 месяцев (M_1 имеется, M_2 отсутствует)	14
возраст от 9–12 до 18–24 месяцев (M_2 имеется, M_3 отсутствует)	54
возраст старше 18–24 месяцев (M_3 имеется)	15

Таблица 12. **Возрастной состав лошадей в %, (по В. И. Цалкину)**

Возраст, характеристика зубной системы	**%**
возраст до 3 месяцев (M_1 отсутствует)	0,5
возраст от 3 до 9–12 месяцев (M_1 имеется, M_2 отсутствует)	1,5
возраст от 9–12 до 18–24 месяцев (M_2 имеется, M_3 отсутствует)	12
возраст старше 18–24 месяцев (M_3 имеется)	86

Таблица 13. **Возрастной состав свиней в %, (по В. И. Цалкину)**

Возраст, характеристика зубной системы	**%**
возраст до 3 месяцев (M_1 отсутствует)	70
возраст от 3 до 9–12 месяцев (M_1 имеется, M_2 отсутствует)	12
возраст от 9–12 до 18–24 месяцев (M_2 имеется, M_3 отсутствует)	16
возраст старше 18–24 месяцев (M_3 имеется)	2

Таблица 14. **Возрастной состав кабанов %, (по В. И. Цалкину)**

Возраст, характеристика зубной системы	**%**
возраст до 3 месяцев (M_1 отсутствует)	0
возраст от 3 до 9–12 месяцев (M_1 имеется, M_2 отсутствует)	51
возраст от 9–12 до 18–24 месяцев (M_2 имеется, M_3 отсутствует)	27
возраст старше 18–24 месяцев (M_3 имеется)	22

Приложение 5

Результаты исследования костных остатков рыб

(Д. О. Гимранов, А. М. Шевченко)

Изучение костных остатков рыб из культурных отложений археологических памятников Урала представляет большой интерес, как для зоологов, так и для археологов. По полученным в ходе исследования данным, можно оценить видовой состав промышляемых рыб и их размер, что помогает охарактеризовать рыбный промысел и его значение в хозяйственной деятельности древнего населения.

Все костные образцы рыб с Городища Уфа-II попали к нам дифференцированные по планиграфии и стратиграфии раскопа 2015 года. Последующая обработка материала заключалась в определении названия кости и ее таксономического статуса, с вычислением относительного размера особи, которой она принадлежала. Идентификация костей проводилась с использованием работ Lepiksaar, 1994; Watt, 1997; Radu, 2003. Кости neurocranium и viscerocranium (рис. 1) рассматривались нами как группа костей черепа и более подробно не идентифицировались. Отдельное название в бланках описания имели ребра и позвонки (costae и vertebralis на рис. 1). Также, были определены кости плавников (pinna), а когда это было возможно, определялся тип плавника: грудной, брюшной и т. п. Одновременно определялась видовая принадлежность костей с использованием сравнительной остеологической коллекции представителей современных и субфоссильных видов рыб Волжского и Обского бассейнов (музейная коллекция Института экологии растений и животных УрО РАН). Для более детального понимания распределения костей рыб на вскрытой площади раскопа был проведен сравнительный анализ количества костей каждого вида по квадратам и пластам.

Для характеристики хозяйственного использования рыб был проведен анализ соотношения количества костей головы и туловища у всех выявленных видов и групп рыб. В группу «голова» вошли все обнаруженные кости черепа, в группу «туловище» — позвонки, ребра и плавники. Кости пояса передних конечностей рассматривались как кости головы, т. к. при отрубании эти кости часто остаются вместе с головой.

В процессе обработки материала были вычислены (реконструированы) размеры промышляемых видов рыб. Реконструкция длины тела были выполнена на основе уравнений зависимости и соотношений между размерами костей и длиной рыбы, опираясь на работы по археоихтиологии, сравнительной остеологии рыб и изучению питания рыбоядных животных (Лебедев, 1960; Цепкин,

Соколов, 1970; Libois et al., 1987; Libois, Hallet-Libois, 1988; Brinkhuizen, 1989; Prenda, Granado-Lorencio, 1992; Desse– Berset, 1994; Bartosiewicz, Takacs, 1997; Miranda, Escala, 2002; Radu, 2003; Britton, Shepherd, 2005; Tarkan et al.,2007; Cech et al., 2008; Losey et al., 2008; Masso et al., 2011, Аськеев и др., 2013). Приведенные размеры рыб характеризуют длину тела рыбы от кончика морды до хвоста.

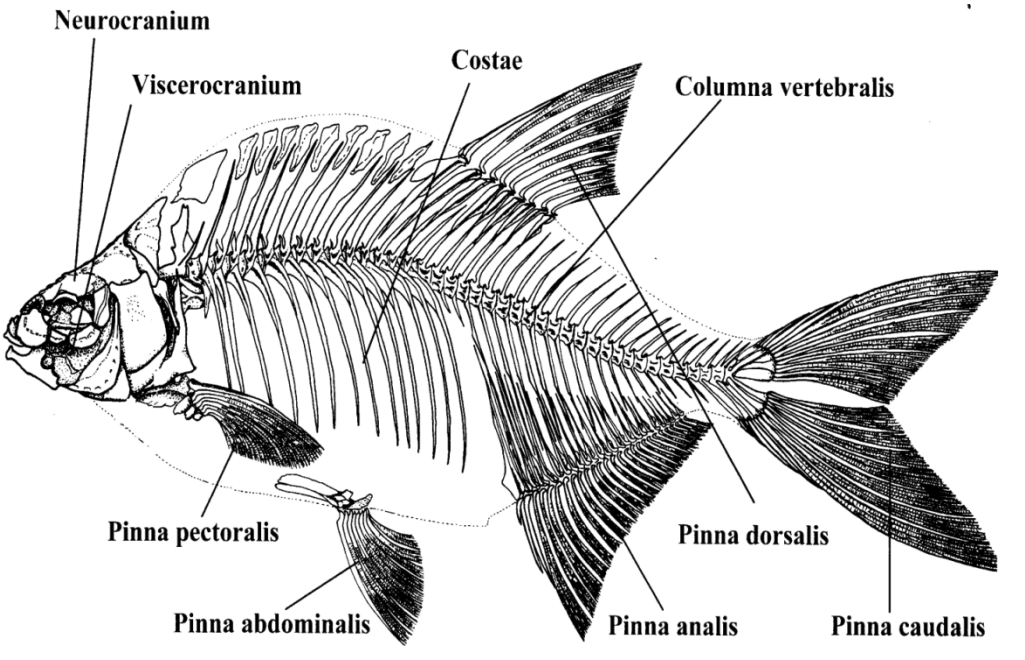

Рис. 1. Названия костей скелета рыб

Изучено 307 экз. костных остатков рыб из раскопок Городища Уфа-II в 2015 г. Если принять за целую кость ту, которая сохраняет не менее 2/3 своей части, то можно констатировать, что фрагментированность анализируемого материала довольно низкая. По количеству костей, в общей выборке доминирует белорыбица — 43,3 % (Табл. 1). Вторым, по количеству определимых костных остатков, является сом — 13,4 %. Представители осетровых, карповых, а так же щука, окунь, судак, налим и сельдь занимают в выборке от 0,3 до 8,1 % (Табл. 1). Нужно отметить, что находки белуги и сельди являются первыми свидетельствами обитания этих видов на территории Южного Урала в позднем голоцене. Оба вида являются проходными, в голоцене, вплоть до XX в., населяли верховья рек Волги и Камы (Варпаховский, 1886; Берг, 1948; Кириков, 1966, Аськеев и др., 2011). Самой насыщенной костями рыб стратиграфической единицей является 11 пласт,

в нем сосредоточено 24 % костей рыб из всех обнаруженных при раскопках 2015 года. Наблюдается довольно равномерное распределение количества костей рыб по квадратам раскопа. Максимальное количество костей сосредоточено в квадрате В2 и составляет 19,2 % от их общего числа.

Анализ соотношения количества костей головы и туловища был проведен для большинства костных остатков рыб, обнаруженных на памятнике (Таблица 3). Отдельно следует рассматривать осетровые виды, т. к. костей туловища, за исключением жучек и лучей плавников, у них нет. Можно охарактеризовать два самых массовых (по количеству обнаруженных костей) вида рыб — белорыбицу и сома. У первого вида в рассматриваемой коллекции несколько преобладают кости туловища, что связано с высокой хрупкостью костей черепа у сиговых видов рыб. У сома соотношение количества костей головы и туловища практически равное. В целом, число костей головы и туловища рыб в материалах из раскопок 2015 г. приблизительно одинаковое. Это может косвенно свидетельствовать о том, что рыбу на поселение приносили целиком и разделывали уже на месте.

Была проведена реконструкция размеров особей каждого из видов рыб. Полученные результаты представлены в таблице 2. Видно, что значительный разброс значений размера тела присущ таким видам, как осетр, белорыбица, щука, сом и судак. Размеры тела осетра колеблются в пределах от 70 до 150 см. Размеры вылавливаемых белорыбиц находятся в пределах от 55 до 115 см, щуки — от 30 до 90, сома — от 65 до 140 см, судака — от 30 до 80 см. Размеры добываемой белуги колеблются в пределах 3–4 метров. Они являются близкими к максимальным для белуг, которые обитали в позднем голоцене в Волжском бассейне (Аськеев и др., 2011). Средние размеры стерляди составляют 65–70 см, сельди — 40 см, плотвы — 25 см, голавля — 35–40 см, леща — 40–45 см, сазана — 30 см, золотого карася — 35–40 см, окуня — 40 см. Мы посчитали целесообразным представить подробно размеры самых массовых в уловах видов рыб, таких как белорыбица и сом (таблица 4). Можно отметить, что вылов белорыбицы был ориентирован в основном на особей крупных размеров (70–100 см), которые составляют в выборке 93 %. Сома ловили как среднего, так и крупного размера примерно в одинаковых количествах.

По литературным источникам известно, что средние размеры тела белорыбицы колеблются в пределах 70–95 см (Подлесный, 1941, 1947; Атлас пресноводных рыб России, 2003; Меньшиков, 2011). Таким образом, средние размеры белорыбицы с Городища Уфа-II соответствуют средним размерам этого вида, который населял в позднем голоцене реки Волжско-Камского края (Аськеев и др., 2011) и обитает в настоящее время в Каспийском бассейне. Нужно отметить, что вплоть до XX века одним из основных нерестилищ белорыбицы были рр. Белая и Уфа. Нерест этого вида в указанных водоемах начинался в октябре-ноябре

(Подлесный, 1947; Атлас пресноводных рыб России, 2003). Можно заключить, что именно в это время года осуществлялся целенаправленный лов белорыбицы.

Размеры сома, вылавливаемого жителями поселения, соответствуют размерам рыб этого вида, обитающих в настоящее время в бассейне р. Белая. В позднем голоцене на территории Среднего Поволжья и Нижней Камы ловили преимущественно сомов 100–120 см длиной (Аськеев и др., 2011; Аськеев и др., 2013). Населением, оставившим городище, видимо не практиковалась целенаправленная ловля сома крупных размеров. Способы лова сома, который является исключительно придонной рыбой, отличаются от способов ловли белорыбицы. Несмотря на то, что осетр и белуга являются также придонным обитателями, способы лова этой рыбы отличаются от таковых, применимых для сома (Сабанеев, 1959). На этом основании можно сделать вывод о развитости и разнообразности способов ловли рыбы древним населением, оставившем Городище Уфа-II.

Таблица 1. **Видовой состав рыб и количество их костей в пластах памятника Уфа-II**

Квадраты	Горизонты, пласт	Белуга	Осётр	Стерлядь	Сельдь-черноспинка	Белорыбица/ Таймень	Белорыбица	Щука	Плотва	Голавль/Язь	Голавль	Лещ	Сазан	Золотой карась	Карповые	Сом	Налим	Судак	Окунь	Рыбы	Всего:
Бровка	1	-	1	-	-	-	5	-	-	-	-	-	-	-	1	2	-	-	-	-	9
	2	-	1	-	-	1	3	-	-	-	-	-	-	-	-	-	-	-	-	-	5
	3	-	-	-	-	-	5	-	-	-	-	-	-	-	-	2	-	1	-	-	8
	4	-	-	-	-	-	-	-	-	-	-	-	-	-	-	1	-	-	-	-	1
	5	-	-	-	-	-	5	1	-	-	-	-	-	-	-	-	-	-	-	1	7
	6	-	-	-	-	-	5	3	1	-	-	-	-	-	-	2	1	-	-	-	12
	7	-	-	-	-	-	4	-	-	-	-	1	-	-	-	1	-	-	-	-	6
	9	-	-	-	-	-	2	-	-	-	-	-	-	-	1	-	-	-	-	1	4
	10	-	-	2	-	-	9	1	-	-	-	-	-	-	-	-	-	-	-	4	16
	11	-	-	-	-	-	5	-	-	-	-	-	-	-	-	-	-	-	-	-	5
	12	-	-	-	-	-	-	-	-	-	-	-	-	-	-	1	-	-	-	1	2
Хоз. яма	13	-	1	-	1	-	5	1	-	-	-	-	-	-	3	1	-	2	-	11	25
А 1	3	-	-	1	-	-	-	-	-	-	-	-	-	-	-	-	-	-	-	-	1
	6	-	-	-	-	-	1	-	-	-	-	-	-	-	-	-	-	-	-	-	1
	9	-	-	-	-	-	2	2	-	-	-	-	-	-	-	1	-	-	-	-	5
	10	-	-	-	-	-	2	1	-	-	1	-	-	-	-	-	-	-	-	-	4
	11	-	1	-	-	-	4	-	-	-	-	-	-	-	-	3	-	-	-	3	11
	12	-	-	-	-	-	3	-	-	-	-	-	-	-	-	1	-	-	-	-	4

А 2	3	-	-	-	-	-	1	-	-	-	-	-	-	-	-	1	-	-	-	-	2
	4	-	-	-	-	-	2	-	-	-	-	-	-	-	-	-	-	-	-	-	2
	5	-	-	-	-	-	1	1	-	-	-	-	-	-	-	1	-	-	-	2	5
	8	-	-	1	-	-	1	1	-	-	-	-	-	-	-	-	-	-	-	-	3
	9	-	1	1	-	-	2	-	-	-	-	-	-	-	-	1	-	-	-	2	7
	11	-	1	1	-	-	9	1	-	-	-	-	-	-	1	-	-	1	-	4	18
	12	-	-	-	-	-	6	-	-	-	-	-	-	-	-	-	-	-	-	1	7
В 1	3	-	-	-	-	-	-	1	-	-	-	-	-	-	-	-	-	-	-	-	1
	4	-	-	-	-	-	-	-	-	-	-	-	-	-	-	1	-	-	-	-	1
	6	-	-	-	-	-	-	-	-	-	-	-	-	-	-	1	-	-	-	-	1
	7	-	-	-	-	-	1	-	-	-	-	-	-	-	-	-	-	-	-	-	1
	9	-	-	-	-	-	4	-	-	-	-	-	-	-	-	1	-	-	-	-	5
	11	-	-	-	-	-	3	1	1	-	-	1	-	-	-	-	-	-	-	4	10
	13	-	-	-	-	-	1	1	-	-	-	-	-	-	-	-	-	-	-	-	2
В 2	1	-	-	-	1	-	2	2	-	-	-	-	1	-	-	-	-	-	-	-	6
	4	-	-	-	-	-	2	-	-	-	-	-	-	-	-	3	-	-	-	1	6
	5	-	-	-	-	-	3	-	-	-	-	-	-	-	-	4	-	-	-	-	7
	6	-	-	3	-	-	2	1	-	-	-	-	-	-	-	2	-	-	-	2	10
	7	1	-	-	-	-	-	-	-	-	-	-	-	-	-	1	-	-	-	2	4
	8	-	-	-	-	-	1	-	-	-	-	-	-	-	1	-	-	-	-	-	2
	10	-	1	-	-	1	8	-	-	-	-	-	-	-	-	1	-	-	-	-	11
	11	-	-	-	-	-	6	1	-	1	-	-	-	-	-	-	-	1	-	-	9
	12	-	-	-	-	-	4	-	-	-	-	-	-	-	-	-	-	-	-	-	4

Окончание таблицы

Квадраты	Горизонты, пласт	Белуга	Осётр	Стерлядь	Сельдь-черноспинка	Белорыбица/ Таймень	Белорыбица	Щука	Плотва	Голавль/Язь	Голавль	Лещ	Сазан	Золотой карась	Карповые	Сом	Налим	Судак	Окунь	Рыбы	Всего:
С 1	1	-	1	-	-	-	-	-	-	-	-	-	-	-	-	-	-	-	-	-	1
	6	-	-	-	-	-	-	-	-	-	-	-	-	-	-	1	-	-	-	-	1
	7	-	1	-	-	-	1	-	-	-	-	-	-	-	-	-	-	-	-	-	2
	8	-	1	-	-	-	-	-	-	-	-	-	-	-	-	1	-	-	-	-	2
	9	-	-	-	-	-	2	-	-	-	-	-	-	-	-	-	-	-	-	-	2
	11	-	-	-	-	1	1	1	1	-	-	-	-	-	-	1	-	-	1	2	8
	13	-	-	-	-	-	2	2	-	-	-	-	-	-	-	-	-	-	-	1	5
С 7	7	-	-	-	-	-	2	-	-	-	-	-	-	-	-	1	-	-	-	-	3
зачистка А 2, В 2	9	-	1	-	-	-	-	-	-	-	-	-	-	-	-	-	-	-	-	-	1
17 М		1	1	2	-	-	6	3	-	1	-	2	-	1	-	5	-	1	1	8	32
Всего*:		**2/0,7**	**12/3,9**	**11/3,6**	**2/0,7**	**3/1,0**	**133/43,3**	**25/8,1**	**3/1,0**	**2/0,7**	**1/0,3**	**4/1,3**	**1/0,3**	**1/0,3**	**7/2,3**	**41/13,4**	**1/0,3**	**6/2,0**	**2/0,7**	**50/16,3**	**307**

* в числителе — количество костей в экземплярах, в знаменателе — в процентах

Таблица 2. **Восстановленные размеры рыб (в см), кости которых обнаружены на памятнике**

Виды рыб	минимум — средний — максимум	N*
Белуга	300 — 400	2
Осётр	70-75 — 100–105 — 140-150	4
Стерлядь	50-55 — 65–70 — 80-85	10
Сельдь-черноспинка	40	2
Белорыбица	55-60 — 80–85 — 110-115	106
Щука	30-35 — 60–65 — 85-90	15
Плотва	20-25 — 25-30	3
Голавль	35 — 40	1
Лещ	35-40 — 40–45 — 45-50	3
Сазан	30	1
Золотой карась	35-40	1
Сом	65-70 — 95–100 — 130-140	20
Налим	Не измерено	1
Судак	30-40 — 55–60 — 75-80	5
Окунь	30-35 — 40 — 45-50	2

*- количество измеренных костей

Таблица 3. **Стратиграфическое и планиграфическое распределение костей отделов тела рыб**

Квадраты	Горизонты, (пласт, штык)	белуга	осётр	стерлядь	сельдь-черноспинка	белорыбица/таймень	белорыбица	щука	плотва	лещ	голавль/язь	голавль	сазан	золотой карась	карповые	сом	налим	судак	окунь	рыбы
Бровка	пл. 1		Т-1				Т-4 Г-1								Т-1	Т-2				
	пл. 2		Г-1			Т-1	Т-3													
	пл. 3						Т-3 Г-2									Т-1 Г-1		Т-1		
	пл. 4															Г-1				
	шт. 5						Т-3 Г-2	Г-1												Т-1
	пл. 6						Т-2 Г-3	Г-3	Г-1							Г-2	Т-1			
	шт. 7						Т-1 Г-3			Г-1						Г-1				
	пл. 9						Т-1 Г-1								Т-1					Т-1
	пл. 10			Г-2			Т-4 Г-5	Г-1												Т-1
	пл. 11						Г-5													
	пл. 12															Г-1				
Хоз. яма	пл. 13		Т-1		Г-1		Т-1 Г-4	Т-1							Т-1 Г-1 Т-1	Т-1		Г-2		Т-10

А 1	пл. 3			Г-1																
	пл. 6						Т-1													
	пл. 9						Т-2	Т-1 Г-1								Т-1				
	пл. 10						Т-1 Г-1	Г-1				Г-1								
	пл. 11		Г-1				Т-1 Г-3									Г-3				Г-1 Т-2
	пл. 12						Г-3									Г-1				
А 2	пл. 3						Т-1									Г-1				
	пл. 4						Т-2													
	пл. 5						Т-1	Г-1								Т-1				Т-2
	пл. 8			Г-1			Г-1	Г-1												
	пл. 9		Г-1	Г-1			Г-2									Г-1				
	пл. 11		Г-1	Г-1			Т-8 Г-1	Г-1							Г-1			Г-1		Т-1 Г-3
	пл. 12						Т-6													Т-1
В 1	пл. 3							Г-1												
	пл. 4															Г-1				
	пл. 6															Г-1				
	пл. 7						Г-1													
	пл. 9						Т-4									Т-1				
	пл. 11						Г-3	Г-1	Г-1	Г-1										Т-4
	пл. 13						Г-1	Г-1												

Квадраты	Горизонты, (пласт, штык)	бегунга	осётр	стерлядь	сельдь-черноспинка	белорыбица/ таймень	белорыбица	щука	плотва	лещ	головль/язь	головль	сазан	золотой карась	карповые	сом	налим	судак	окунь	рыбы
В 2	пл. 1				Г-1		Т-2	Т-1 Г-1					Г-1							
	пл. 4						Т-2									Т-1 Г-2				
	пл. 5						Т-1 Г-2									Т-4				
	пл. 6			Г-3			Г-2	Г-1								Г-1 Т-1				Т-2
	пл. 7	Г-1														Г-1				Г-1 Т-1
	пл. 8						Т-1								Т-1					
	пл. 10		Г-1			Т-1	Г-3 Т-1 Т-4									Т-1				
	пл. 11						Т-4 Г-2	Г-1			Г-1							Г-1		
	пл. 12						Т-4													
С 1	пл. 1		Г-1																	
	пл. 6															Т-1				
	пл. 7		Г-1				Г-1													
	пл. 8		Г-1													Г-1				
	пл. 9						Т-1 Г-1													

	пл. 11					Т-1	Т-1	Г-1	Г-1							Т-1			Г-1	
	пл. 13						Г-2	Т-1 Г-1												
С 7	пл. 7						Т-2									Т-1				
Зачистка А2, В2	пл. 9		Г-1																	
17 М		Г-1	Т-1	Г-2			Т-6	Г-3		Г-2	Г-1			Г-1		Г-2 Т-3	Г-1		Г-1	Г-6
Общее: (Г/Т)		**2/0**	**9/3**	**11/0**	**2/0**	**0/2**	**54/79**	**21/4**	**3/0**	**4/0**	**2/0**	**1/0**	**1/0**	**1/0**	**2/5**	**21/20**	**0/1**	**5/1**	**2/0**	**11/25**
		22/3			**130/137**															

* Г — кости головы, Т — кости туловища; пустые ячейки означают, что анатомическая принадлежность кости не определена, либо костные остатки отсутствуют.

Таблица 4. **Размеры (в см) белорыбицы и сома**

Размерные группы	**Кол-во костей**	
	Белорыбица	**Сом**
55–70	6	1
70–80	50	4
80–90	32	3
90–100	17	2
100–110		5
110–120	1	2
130–140		3

Выводы

В рыбном промысле древнего населения, оставившего данный памятник, представлены следующие виды и группы рыб: белуга, осетр, стерлядь, таймень (?), сельдь-черноспинка, белорыбица, щука, плотва, голавль, лещ, золотой карась, сазан, сом, налим, судак, окунь и карповые, ближе не определимые. Судя по имеющимся у нас литературным источникам, впервые для позднего голоцена Южного Урала отмечены находки белуги и сельди. Количество неопределимых костей составило 16,3 %. Фрагментированность не высокая. Одной из самых часто добываемых рыб является белорыбица, количество костных остатков этого вида составляет 43,3 % от всех изученных костей рыб.

Самой насыщенной костями рыб стратиграфической единицей является 11 пласт, в нем сосредоточено 24 % костей рыб из всех обнаруженных при раскопках 2015 года. По квадратам наблюдается достаточно равномерное распределение количества костей рыб. Максимальное количество костей сосредоточено на квадрате В2 и составляет 19,2 %. Данные соотношения числа костей отделов скелета (черепа и туловища) у выявленных видов и групп рыб указывают на то, что большинство пойманных рыб приносили на городище целиком и разделывали уже на месте. Определенной закономерности в распределении фрагментов костей по квадратам раскопа не наблюдается.

Основную часть (93 %) промышляемой белорыбицы составляют особи размером 70–100 см. Эти размеры укладываются в средние размеры голоценовой и современной белорыбицы рек бассейна Каспийского моря. Можно заключить, что белорыбицу добывали целенаправленно в конце осени — начале зимы, когда проходил ее нерест. Размеры сома, вылавливаемого жителями поселка, соответствуют размерам рыб этого вида, обитающего в настоящее время в бассейне р. Белая. На основании того, что в культурном слое городища присутствуют кости видов рыб, способы, добывания которых существенно разняться, можно предположить, что жители поселения имели определенный опыт и применяли разнообразные способы лова рыбы, что должно найти подтверждение в присутствие на городище разнообразных артефактов в виде рыболовного инвентаря.

Приложение 6

Результаты изотопного анализа стронция (Sr)

(М. Б. Медникова)

Изучение изотопного состава останков позвоночных животных выявляет особенности среды обитания и позволяет оценить прижизненную мобильность (Hoppe et al, 2003). Преимущество отдается выяснению соотношения изотопов $^{87}Sr/^{86}Sr$ в зубной эмали, отражающему геохимические характеристики окружающей среды, в которой рос индивид и формировались коронки его зубов. В старых горах, богатых элементом рубидием, обычно повышено соотношение изотопов стронция, по сравнению с более молодыми скальными формациями и равнинными территориями.

Отбор образцов для изотопного исследования проведен в Институте археологии РАН, масс-спектрометрия выполнялась в ВСЕГЕИ РАН. Всего получены данные по 1 образцу, происходящему из материалов раскопок 2015 года (кв. В2, пласт 13). Фрагмент компактного слоя из метаподии верблюда (образец № 1) взят от костной ткани, более активной метаболически, следовательно, полученные изотопные сигналы отражают геохимическую обстановку последних лет жизни. При характеристике локальной геохимической ситуации был использован изотопный сигнал, полученный для раковины двухстворчатого моллюска из окрестностей городища Уфа 2.

Образец № 1 показал совпадение с местными геохимическими условиями. Это означает, что выпас животного на протяжении нескольких последних лет его жизни проходил в геохимических условиях, сходных с местными. Если бы это животное использовалось в караванах и мигрировало на большие расстояния, изотопная характеристика образца из метаподии должна была бы отличаться от характеристик местных образцов.

Таблица 1. **Результаты изотопного анализа**

№	Шифр	$^{87}Sr/^{86}Sr$	2σ
1	№ 1 Уфа	0.708461	10

Список сокращений

ФГБОУ ВО БашГУ — Федеральное государственное бюджетное образовательное учреждение высшего образования Башкирский государственный университет, г. Уфа

ВНИОРХ — Всесоюзный научно-исследовательский институт озерного и речного рыбного хозяйства, г. Санкт-Петербург.

ВСЕГЕИ РАН — Всероссийский научно-исследовательский геологический институт им. А. П. Карпинского, г. Санкт-Петербург.

ГБУ РИКМЗ «Древняя Уфа» — Государственное бюджетное учреждение республиканский историко-культурный музей-заповедник «Древняя Уфа»

ИА РАН — Институт археологии Российской Академии наук, Москва

ИЭИ УНЦ РАН — Институт этнологических исследований им. Р. Г. Кузеева Уфимского научного центра Российской академии наук

КАЭЭ ПГПУ — Камская археолого-этнографическая экспедиция Пермского государственного педагогического университета

КРС — крупный рогатый скот

МРС — мелкий рогатый скот

МИА — материалы и исследования по археологии СССР

МОИП — Московское общество испытателей природы

ОКН — объект культурного наследия

РГБ ОД — Российская государственная библиотека, отдел диссертаций, г. Москва.

РАН — Российская Академия наук

СамГУ — Самарский государственный университета

САИ — Свод археологический источников

Сиб. отделение ВНИОРХ — Сибирское отделение Всесоюзного научно-исследовательского института озёрного и речного рыбного хозяйства, г. Тюмень.

УрО РАН — Уральское отделение Российской Академии наук

УЗ БГУ — Ученые записки Башкирского государственного университета

УНЦ РАН — Уфимский научный центр Российской Академии наук

APCDA — Asia Pacific Career Development Association, г. Балдвин, штат Мэриленд, США.

Литература и архивные материалы

1. **Акбулатов И. М.** Керамика Таптыковского городища эпохи раннего Средневековья // Проблема древних угров на Южном Урале. Уфа, 1988. С. 31–52.
2. **Алексеева Е. М.** Классификация античных бус // Статистико-комбинаторные методы в археологии. М., 1970. С. 59–82.
3. **Алексеева Е. М.** Античные бусы Северного Причерноморья. Серия САИ. Вып. Г1–12. М., 1982.
4. **Аникеева О. В., Русланова Р. Р., Храмченкова Р. Х.** Украшения из стекла и камней Городища Уфа-II // Урал и просторы Евразии сквозь века и тысячелетия: научные публикации, посвященные 80-летнему юбилею Н. А. Мажитова / Отв. ред. А. Н. Султанова. Уфа, 2013. С. 86–104.
5. **Амброз А. К.** Бирский могильник и проблемы хронологии Приуралья в IV-VII вв. // Средневековые древности евразийских степей / Ред. С. А. Плетнева. М., 1980. С. 3–56.
6. **Археологическая карта Башкирии** / Отв. ред. О. Н. Бадер. М., 1976.
7. **Ахатов А. Т., Бахшиев И. И., Камалеев Э. В., Колонских А. Г., Тузбеков А. И.** Археология нового времени и проблемы изучения городского культурного слоя Уфы (материалы исследований ИЭИ УНЦ РАН 2012–2013 годов) // Вестник Челябинского государственного университета. 2015. № 6 (361). История. Вып. 63. С. 45–56.
8. **Аськеев И. В., Аськеев О. В., Галимова Д. Г.** Археоихтиологические исследования на территории Волжско-Камского края // Археология и естественные науки Татарстана. Кн. 4. Казань, 2011. С. 44–156.
9. **Аськеев И. В., Галимова Д. Г., Аськеев О. В.** Ихтиофауна позднего голоцена средневолжского бассейна (по материалам археологических раскопок) // Зоологический журнал. Т. 92. № 9. 2013. С. 1014–1030.
10. **Атлас пресноводных рыб России** / Ред. Ю. С. Решетников. М., 2003.
11. **Ашихмина Л. И., Черных Е. М., Шаталов В. А.** Вятский край на пороге железного века: костяной инвентарь ананьинской эпохи (I тыс. до н. э.). Ижевск, 2006.
12. **Башкортостан: Краткая энциклопедия.** Уфа, 1996.

13. **Белавин А. М., Иванов В. А., Крыласова Н. Б.** Угры Предуралья в древности и средние века. Уфа, 2009.
14. **Берг Л. С.** Рыбы пресных вод СССР и сопредельных стран. Ч 1. М.; Л., 1948.
15. **Беглова Е. А.** Богатое женское погребение из Тенгинского грунтового могильника // Материальная культура Востока. Вып. 4. М., 2005. С. 166–181.
16. **Безуглов С. И.** Позднесарматские мечи (по материалам Подонья) // Сарматы и их соседи на Дону. Ростов-на-Дону, 2000. С. 169–193.
17. **Боталов С. Г., Тидеман Е. В., Лукиных А. А., Вохменцев М. П.** Новые материалы исследований Большого Бакальского городища // Проблемы бакальской культуры. Материалы научно-практического семинара по проблемам бакальской культуры / Ред. С. Г. Боталов. Челябинск, 2008. С. 6–41.
18. **Бобринский А. А.** Гончарство Восточной Европы. Источники и методы изучения. М., 1978.
19. **Бобринский А. А.** Гончарная технология как объект историко-культурного изучения // Актуальные проблемы изучения древнего гончарства: [коллективная монография] / Ред. А. А. Бобринский. Самара, 1999.
20. **Васюткин В. С.** Раскопки курганов в г. Уфе и изучение истории турбаслинских племен // УЗ БГУ. Вып. 54. Уфа, 1970.
21. **Варпаховский Н. А.** Очерк ихтиологической фауны Казанской губернии. «Приложение к запискам Императорской Академии наук». Т. LII. 1886.
22. **Вактурская Н. Н.** О серьгах средневекового городища Шехрлик // История, археология и этнография Средней Азии. М., 1968. С. 250–251.
23. **Васильева И. Н.** Гончарство Волжской Болгарии в X — XIV вв. Екатеринбург, 1993.
24. **Генинг В. Ф.** Южное Приуралье в III—VII вв. н. э. // Проблемы археологии и древней истории угров / Ред. А. П. Смирнов. М., 1972. С. 221–296.
25. **Генинг В. Ф.** Памятники у с. Кушнаренково на р. Белой // Исследования по археологии Южного Урала / Отв. ред. Р. Г. Кузеев. Уфа, 1977. С. 90–136.
26. **Голдина Р. Д.** Ломоватовская культура в Верхнем Прикамье. Иркутск, 1985.
27. **Голдина Р. Д., Кананин В. А.** Средневековые памятники верховьев Камы. Свердловск, 1989.
28. **Голдина Р. Д.** Древняя и средневековая история удмуртского народа. Ижевск, 2004.
29. **Гребенников А. В., Щека С. А., Карабцов А. А.** Силикатно-металлические сферулы и проблема механизма игнимбритовых извержений (на примере Якутинской вулкано-тектонической структуры) // Вулканология и сейсмология. № 4, 2012. С. 3–22.
30. **Гущина И. И., Засецкая И. П.** «Золотое кладбище» Римской эпохи в Прикубанье. СПб., 1994.

31. **Епимахов А. В.** Радиокарбонная хронология бакальской культуры (по материалам Большого Бакальского городища и городища Усть-Утяк-1) // Проблемы бакальской культуры. Материалы научно-практического семинара по проблемам бакальской культуры / Ред. С. Г. Боталов. Челябинск, 2008. С. 41–44.
32. **Иванов В. А.** Вооружение и военное дело финно-угров Приуралья в эпоху железа. М. 1984. 88 с.
33. **Иванов В. А.** Древние угры-мадьяры в Восточной Европе. Уфа, 1999.
34. **Иванов В. А.** Население «Уфимского полуострова» в эпоху раннего Средневековья // Труды Камской археолого-этнографической экспедиции. Выпуск IV / Ред. А. М. Белавин. Пермь, 2007. С. 63–70.
35. **Иванова Е. В.** История и итоги изучения городищ эпохи Средневековья на территории Башкирии // Труды Камской археолого-этнографической экспедиции. Выпуск IV / Ред. А. М. Белавин. Пермь, 2007. С. 16–23.
36. **Илюшина В. В.** Экспериментальные исследования органических растворов в археологической керамике // Экспериментальная археология. Взгляд в XXI век. Материалы международной полевой научной конференции «Экспериментальная археология. Взгляд в XXI в.» / Ред. С. А. Агапов. Ульяновск, 2013. С. 40–45.
37. **Исмагилов Р. Б.** Научный отчет об итогах раскопок Городища Уфа-II в Кировском районе административного округа г. Уфа в 2008 году. Уфа, 2009 // Научный архив учебно-научной археологической лаборатории БашГУ. Ф.6, д.49.
38. **Исмагилов Р. Б.** Информационный научный отчет об археологических раскопках Городища Уфа-II в Кировском районе г. Уфы. Уфа, 2011 // Научный архив учебно-научной археологической лаборатории БашГУ. Ф.6, д.52.
39. **Ищериков П. Ф.** Отчет о наблюдениях за земляными работами на территории г. Уфы с 16. VII.1953 г. по 17. IX.1953 г. // Научный архив УНЦ РАН. Ф.39, оп.1. № 169.
40. **Ищериков П. Ф.** Научный отчет «Городище Уфа-2» за 1957 год // Архив УНЦ РАН. Ф.3, оп. 2. № 374.
41. **Ищериков П. Ф., Мажитов Н. А.** Городище Уфа — II // Археология и этнография Башкирии. Т.1. Уфа, 1962.
42. **Ищериков П. Ф.** Городище Уфа-II // Башкирский археологический сборник / Ред. Р. Г. Кузеев. Уфа, 1959.
43. **Казаков Е. П.** Памятники кушнаренковского типа на территории Татарии // Тез. докладов итоговой научной сессии за 1972 г. Казань, 1973.
44. **Казаков Е. П.** О кушнаренковских памятниках на территории Татарии // Вопросы археологии Урала. Вып. 15. Свердловск, 1981. С. 136–140.

45. **Казаков Е. П.** Коминтерновский II могильник в системе древностей эпохи тюркских каганатов // Культуры Евразийских степей 2 пол. I тыс. н. э. (вопросы археологии) / Отв. ред. Д. А. Сташенков. Самара, 1998. С. 97–150.
46. **Казаков Е. П.** Кенотафы эпохи Тюркских каганатов в низовьях р. Камы // Древности Востока / Отв. ред. И. Л. Кызласов. М., 2004. С. 76–85.
47. **Казаков Е. П.** Волжские болгары, угры и финны: проблемы взаимодействия / Отв. ред. А. Г. Ситдиков. Казань, 2007.
48. **Кайдалов А. И., Сечко Е. А., Колмогоров П. А.** Средневековый комплекс городища Усть-Утяк 1: интерпретация и хронология // Вестник археологии, антропологии и этнографии. № 2 (13). 2010. С. 68–74.
49. **Каталог археологических фондов** Института этнологических исследований УНЦ РАН (Музей археологии и этнографии). Выпуск 1. /Отв. ред. и составитель Н. С. Савельев. Уфа, 2009.
50. **Казанцева О. А.** Гончарство древнего населения Среднего Прикамья (по материалам Тарасовского могильника I-V вв. н. э.) // Вестник Удмуртского университета. Сер. История и филология. Вып. 1. Ижевск, 2011. С. 55–62.
51. **Казанцева О. А.** Некоторые итоги изучения керамики Кудашевского могильника (IV–V вв. н. э.) // XVII Уральское археологическое совещание. (Екатеринбург, 19–22 ноября 2007 г.) / Ред. В. Т. Ковалева, А. В. Шаманаев. Екатеринбург; Сургут, 2007. С. 253–256.
52. **Колонских А. Г., Бахшиева А. К.** Поселенческая керамика укрепленных поселений бахмутинской культуры правобережья р. Быстрый Танып: предварительные результаты археологической разведки // Этносы и культуры Урало-Поволжья: история и современность: материалы IX Всероссийской научно-практической конференции молодых ученых / Отв. ред. А. Т. Ахатов. Уфа, 2015. С. 53–64.
53. **Колобов А. В., Кулябина Н. В., Мельничук А. Ф.** Античная гемма из Пермского Приуралья // Археология и этнография Среднего Приуралья. Вып. 1. Березники, 2001. С. 103–107.
54. **Ковалевская В. Б.** Башкирия и евразийские степи IV — IX вв. (по материалам поясных наборов) // Проблемы археологии и древней истории угров / Ред. А. П. Смирнов. М., 1972. С. 95–118.
55. **Кириков С. В.** Промысловые животные, природная среда и человек. М., 1966.
56. **Курманов И. Г.** Изучение сукцессий растительных сообществ Городища Уфа-II методом споро-пыльцевого анализа // Вестник археологии, антропологии и этнографии. № 4 (31). 2015. С. 175–184;
57. **Курманов Р. Г., Ишбирдин А. Р.** Палинологическая характеристика отложений Городища Уфа-II // Материалы региональной научной конференции

«Археология в БашГУ: Итоги и перспективы», посвященной 50-летию археологической экспедиции БашГУ. Уфа, 2011. С. 97–102.

58. **Курманов Р. Г., Ишбирдин А. Р.** Характеристика хозяйственной деятельности жителей Городища Уфа-II по палинологическим данным // Методы палеоэкологических исследований: Тез. докладов Палинологической школы-конференции с международным участием. М., 2014. С. 36–37.
59. **Курманов Р. Г., Ишбирдин А. Р.** Реконструкция растительности на городище Уфа II и прилегающих ландшафтов по данным спорово–пыльцевого анализа // Археология, этнография и антропология Евразии. № 1, 2015. С. 101–109.
60. **Кубарев Г. В. Культура древних тюрок Алтая** (по материалам погребальных памятников). Новосибирск, 2005.
61. **Лебедев Д. В.** Пресноводная четвертичная ихтиофауна Европейской части СССР. М., 1960.
62. **Лещинская Н. А.** Вятский край в пьяноборскую эпоху (по материалам погребальных памятников I–V вв. н. э.). Ижевск, 2014.
63. **Львова З. А.** Технологическая классификация изделий из стекла // Археологический сборник Государственного Эрмитажа. Вып. 20. 1979. С. 90–103.
64. **Мажитов Н. А.** Бахмутинская культура. М., 1968.
65. **Мажитов Н. А.** Южный Урал в VII-XIV вв. М., 1977.
66. **Мажитов Н. А.** Южный Урал в VI-VIII вв. // Степи Евразии в эпоху Средневековья / Отв. ред. С. А. Плетнёва. М., 1981.
67. **Мажитов Н. А., Сунгатов Ф. А., Иванов В. А., Саттаров Т. Р., Султанова А. Н., Иванова Е. В.** Городище Уфа-II. Материалы раскопок 2006 года. Т. I. Уфа, 2007.
68. **Мажитов Н. А., Сунгатов Ф. А., Саттаров Т. Р., Султанова А. Н.** Городище Уфа-II. Материалы раскопок 2007 года. Т. II. Уфа, 2009.
69. **Мажитов Н. А., Сунгатов Ф. А., Исмагилов Р. Б., Султанова А. Н., Бахшиева И. Р.** Городище Уфа-II. Материалы раскопок 2008 года. Т. III. Уфа, 2009.
70. **Мажитов Н. А., Сунгатов Ф. А., Султанова А. Н., Мухаметдинов В. И. Городище Уфа-**II. Материалы раскопок 2009 года. **Т.** IV. Уфа, 2011.
71. **Матвеева Г. И.** Памятники железного века в бассейне р. Зилим // Археология и этнография Башкирии. Т. V / Ред. Н. В. Бикублатова, Р. Г. Кузеев, Н. А. Мажитов. Уфа, 1973. С. 244–252.
72. **Матвеева Г. И.** Памятники караякуповского типа в Приуралье // Из истории Среднего Поволжья и Приуралья. Научные труды Куйбышевского педагогического института. Т. 160 / Ред. С. Г. Басин. Куйбышев, 1975. С. 13–22.
73. **Матвеева Г. И.** Поселения VIII-IX вв. в Среднем Поволжье // Из археологии Поволжья и Приуралья. Материалы II Халиковских чтений / Отв. ред. П. Н. Старостин. Казань, 2003. С. 107–117.

74. **Матвеева Г. И.** О культурном и хронологическом соотношении памятников кушнаренковского и караякуповского типов // Средневековая археология евразийских степей. Т. 2. / Отв. ред. Ф. Ш. Хузин, А. Г. Ситдиков. Казань, 2007. С. 75–87.
75. **Матвеева Г. И.,** Никитина А. В. Особенности памятников романовского типа эпохи Великого переселения народов на примере материалов исследования селища Романовка —II 1989 года // Вояджер: мир и человек. Теоретический и научно-методический журнал. № 6. Самара. С. 52–77.
76. **Мельничук А. Ф., Вылежнева М. В.** Изделия из халцедона-сапфирина в Восточной Европе как индикатор культурных связей населения Прикамья с сарматским миром в первой половине I тыс. н. э. // III Оборинские чтения. Материалы археологической конференции. Вып. 2. Пермь, 2002. С. 43–45.
77. **Мельничук А. Ф., Перескоков М. Л.** Изделия из халцедона-сапфирина III–V вв. в погребальных комплексах Верхнего Прикамья второй половины IX — начала XX в. // Археологическое наследие как отражение исторического опыта взаимодействия человека, природы, общества (XIII Бадеровские чтения) / Гл. ред. Р. Д. Голдина. Ижевск, 2010. С. 145–150.
78. **Меньшиков М. И**. Рыбы бассейна реки Оби. Пермь, 2011.
79. **Морозов В. М., Боталов С. Г.** К вопросу о бакальской культуре // Труды КАЭЭ ПГПУ. Выпуск 1–2. Пермь, 2001. С. 135–137.
80. **Мухачев И. С.** Замор // Ямал: энциклопедия Ямало-Ненецкого автономного округа. Т. 1. Тюмень, 2004. С. 315.
81. **Мухаметдинов В. И.** Научный отчет об итогах охранных раскопок Городища Уфа-II в Кировском районе административного округа город Уфа Республики Башкортостан в 2011 году. Уфа, 2012 // Научный архив учебно-научной археологической лаборатории БашГУ. Ф.6, д.54.
82. **Мухаметдинов В. И., Фазрахманова А. К.** К проблеме выделения культурных горизонтов на Городище Уфа-II (по данным анализа распределения в слое бахмутинской керамики // Урал и просторы Евразии сквозь века и тысячелетия: научные публикации, посвященные 80-летнему юбилею Н. А. Мажитова / Отв. ред. А. Н. Султанова. Уфа, 2013. С. 60–69.
83. **Никитина А. В.** Технологические особенности керамики селища Романовка-II эпохи великого переселения народов северо-западной Башкирии (по материалам раскопок 1989 года) // Вестник СамГУ. 2015. № 11 (133). С. 160–164.
84. **Овсянников В. В.** Опыт выделения зон активного взаимодействия оседлого и кочевого населения Предуралья в савромато-сарматскую эпоху // Уфимский археологический вестник. Вып. 9. Уфа, 2009. С. 144–156.

85. **Овсянников В. В.** Научный отчет об археологических разведках в Уфимском районе РБ. Уфа, 1991 // Архив УНЦ РАН. Ф.6, д.35.
86. **Овсянников В. В.** Раскопки Городища Уфа-II в 1990 г. // Башкирский край. Вып. 2. С. 65–80.
87. **Овсянников В. В.** К вопросу о городах древних башкир // Труды КАЭЭ ПГПУ. Вып. 1–2. Пермь, 2001. С. 126–128.
88. **Овчинникова Б. Б.** Тюркские древности Саяно-Алтая в VI-X веках. Свердловск, 1990.
89. **Останина Т. И.** Население Среднего Прикамья в III-V вв. Ижевск, 1997.
90. **Пастушенко И. Ю., Бернц В.** Халцедоновые диски в культуре населения Прикамья // Finno-Ugrica. № 11. 2008. С. 12–23.
91. **Пастушенко И. Ю.** Кушнаренковские материалы памятников бассейна реки Сылва (керамический комплекс) // Проблемы бакальской культуры. Материалы научно-практического семинара по проблемам бакальской культуры / Ред. С. Г. Боталов. Челябинск, 2008. С. 142–146.
92. **Подлесный А. В.** Белорыбица Stenodus leucichthys Giild. Биоэкологический очерк // Тр. Сиб. отделения ВНИОРХ. Т. VII. Вып. 4. 1947. С. 25–29.
93. **Подлесный А. В.** Географическое распространение белорыбицы Stenodus leucichthys (Gtildenstadt) и ее происхождение в бассейне Каспия // Зоологический журнал. Т. 20. № 3. 1941. С. 433–444.
94. **Рафикова Т. Н.** Бакальская культура лесостепного и подтаежного Тоболо-Ишимья. Автореф. дисс.… канд. ист. наук. Тюмень, 2011.
95. **Русланов В. В., Русланов Е. В., Тамимдарова Р. Р.** Предварительные результаты макроскопическо-петрографической диагностики каменных орудий средневекового Городища Уфа-II (по материалам 2012 г.) // XLV Урало-Поволжская археологическая конференция студентов и молодых ученых (Ижевск, 1–3 февраля 2013 г.): тез. докладов. Ижевск, 2013. С. 188–189.
96. **Русланов Е. В., Шамсутдинов М. Р., Сахипов Р. Ф.** Археологические работы музея-заповедника «Древняя Уфа» в 2014 г. // VI Башкирская археологическая конференция студентов и молодых ученых. Стерлитамак, 2014. С. 82–86.
97. **Русланова Р. Р.** Бусы могильников Уфимско-Бельского междуречья III-VIII вв. Автореф. дисс. канд. ист. наук. Ижевск, 2016. 17 с.
98. **Русланова Р. Р.** Бусы могильников Уфимско-Бельского междуречья III-VIII вв. Дисс.… канд. ист. наук. Ижевск, 2016 // Научный архив учебно-научной археологической лаборатории БашГУ. Ф.7, д. 3а, 3б.
99. **Русланова Р. Р.** Бусы-хрономаркеры могильников Уфимско-Бельского междуречья III-VIII вв. // Вестник Самарского государственного университета. № 8/1 (109). 2013. С. 170–174.

100. Русланова Р. Р. Бусинные украшения некрополей III-VIII веков Южного Приуралья // Стекло Восточной Европы с древности до начала XX века / Отв. ред. П. Г. Гайдуков. СПб., 2015. С. 127–130.
101. Рутто Н. Г. Научный отчет о результатах археологических работ на территории г. Уфы в 1974 г. // Архив УНЦ РАН. Ф., оп.3, ед. хр. 829.
102. Руденко К. А. Торевтика Волжской Булгарии и Болгарского Улуса Золотой Орды: проблемы преемственности // Поволжская археология. № 4 (6). 2013. С. 34–46.
103. Романов А. А. Научный отчет о результатах изучения остатков животных из культурного слоя Городища Уфа-II по материалам раскопок 2014 г. Уфа, 2015. // Архив ГБУ РИКМЗ «Древняя Уфа». № 3.
104. Романов А. А., Русланов Е. В. Кости млекопитающих и птиц из культурного слоя археологического памятника эпохи раннего Средневековья Городище Уфа-II (по материалам раскопок 2015 г.) // VIII Башкирская студенческая конференция студентов и молодых ученых. Уфа, 2015. С. 65–72.
105. Романов А. А., Русланов Е. В. Болезни домашних животных поселения Городище Уфа-II (V-XV вв. н. э.) // Научная жизнь. № 4. 2015. С. 91–97.
106. Романов А. А., Русланов Е. В., Сахипов Р. Ф. К вопросу о видовом разнообразии орнитофауны Уфимского полуострова в эпоху раннего Средневековья (по материалам Городища Уфа-II) // Русский орнитологический журнал. Том 24, Экспресс-выпуск 1213. 2015. С. 4073–4080.
107. Сабанеев Л. П. Жизнь и ловля пресноводных рыб. Киев, 1959.
108. Сатаев Р. М., Нурмухаметов И. М. Остатки млекопитающих и рыб из раскопок средневекового городища Уфа II // Древность и Средневековье Волго-Камья. Материалы III Халиковских чтений / Отв. ред. Ф. Ш. Хузин. Казань, 2004. С. 174–176.
109. Сатаев Р. М., Сатаева Л. В., Куфтерин В. В., Гимранов Д. О., Султанов Р. Р. Особенности природопользования средневекового населения Уфимского полуострова // Изв. Самарского научного центра РАН. Т. 13, № 5 (3). 2011. С. 101–105.
110. Сатаев Р. М., Куфтерин В. В. Научный отчет о результатах археозоологических исследований на Городище Уфа-II (2012 г.). Уфа, 2012 // Научный архив учебно-научной археологической лаборатории БашГУ. Ф.6, д. 1.
111. Сокольский Н. И. Боспорские мечи // МИА. 33. М.; Л., 1954. С. 123–196.
112. Старостин П. Н. О халцедоновых украшениях из азелинских погребений // Finno-Ugrica. № 11. 2008. С. 8–11.
113. Сташенков Д. А. О ранней дате именьковской культуры // Краеведческие записки СОИКМ им. П. В. Алабина. Вып. 15. Самара, 2010. С 111–124.
114. Степи Евразии в эпоху Средневековья / Отв. ред. С. А. Плетнева. М., 1981.

115. Сунгатов Ф. А. Турбаслинская культура. Уфа, 1998.
116. Сунгатов Ф. А. Научный отчет об итогах раскопок Городища Уфа-II в Кировском районе административного округа г. Уфа в 2006 году. Уфа, 2007 // Научный архив учебно-научной археологической лаборатории БашГУ. Ф.2, д. 1.
117. Сунгатов Ф. А. Научный отчет об итогах раскопок Городища Уфа-II в Кировском районе административного округа г. Уфа в 2007 году. Уфа, 2008 // Научный архив учебно-научной археологической лаборатории БашГУ. Ф.2, д. 2.
118. Сунгатов Ф. А. Научный отчет об итогах охранных раскопок Городища Уфа-II в Кировском районе административного округа г. Уфа Республики Башкортостан в 2009 году. Уфа, 2010 // Научный архив учебно-научной археологической лаборатории БашГУ. Ф.2, д. 3.
119. Сунгатов Ф. А., Гарустович Г. Н., Юсупов Р. М. Приуралье в эпоху Великого переселения народов. Уфа, 2004.
120. Сунгатов Ф. А., Левченко В. А. Хронология средневекового Городища Уфа-II по данным радиоуглеродного датирования культурных отложений // Вестник АН РБ. Вып. 19 (1). 2014. С. 44–55.
121. Тамимдарова Р. Р. Коллекция бус из раскопок средневекового Городища Уфа-II // Вестник Башкирского университета. Т. 16. № 3. 2011а. С. 882–887.
122. Тамимдарова Р. Р. Стеклянные перстни средневекового Городища Уфа-II // Стекло Восточной Европы в древности, Средневековье и Новое время: изучение и реставрация / Ред. П. Г. Гайдуков. М., 2011б. С. 27.
123. Тамимдарова Р. Р. Городище Уфа-II в системе торговых маршрутов Средневековья // Кадырбаевские чтения-2012 / А. А. Бисембаев. Актобе, 2012. С. 347–351.
124. Флеров В. С. Орнаменты салтово-маяцкой лощеной керамики // Из истории области. Очерки краеведов. Вып. II. Пенза, 1990. С. 56–57.
125. Федоров-Давыдов Г. А. Кочевники Восточной Европы под властью золотоордынских ханов. М., 1986.
126. Шамсутдинов М. Р., Русланов Е. В., Романов А. А., Тагирова Р. Ш. Городище Уфа-II. Материалы раскопок 2014 года. Уфа, 2015.
127. Шутелева И. А., Щербаков Н. Б., Леонова Т. А., Шамсутдинов М. Р., Русланов Е. В. Уфа-II — средневековое городище на Южном Урале. Материалы раскопок 2013 года. Уфа, 2013.
128. Шакиров А. В. Эколого-географический анализ и районирование территории Республики Башкортостан. Дис. на соискание ученой степени доктора географических наук. Уфа, 2005. РГБ ОД, 71:05–11/37.
129. Шакалов К. И. Частная хирургия домашних животных. М., 1952.

130. **Щапова Ю. Л.** Древнее стекло. Морфология, технология, химический состав. М., 1989.
131. **Щапова Ю. Л., Лихтер Ю. А., Сарачева Т. Г., Столярова Е. К.** Морфология украшений. Серия Морфология древностей. Выпуск 4. М., 2007.
132. Цалкин **В. И. Домашние животные Золотой Орды** // Бюллетень МОИП, отд. биологических наук. Т. XVII (1). 1967. С. 114–130.
133. **Цалкин В. И.** Древнейшие домашние животные Восточной Европы, М., 1970.
134. **Цепкин Е. А., Соколов Л. И.** Русский осетр Acipenser gueldenstaedtii Brand в среднем и позднем голоцене // Вопросы ихтиологии. Т. 10. Вып. 1. 1970. С. 24–36.
135. **Bartosiewicz L., Takacs I.** Osteomorphological studies of the great sturgeon (Huso huso Brandt) // Archeofauna. Vol. 6. 1997. P. 9–16.
136. **Brinkhuizen D. C.** Ichthio-Archeologisch onderzoek: methode e toepassing aa de hand va romeins vismaterial uit Velse (Nederland). Ph. D. Thesis, Rijksuniversiteit Groninge (Nederland). 1989.
137. **Britto J. R., Shepherd J. S.** Biometric data to facilitate the diet reconstructio of piscivorous fauna // Folia Zoologia. № 54. 2005. P. 193–200.
138. **Čech M., Čech P., Kubečka J., Prchalová M. & Draštík V.** Size selectivity in summer and winter diets of great cormorant (Phalacrocorax carbo): does it reflect season- dependent difference in foraging efficiency? // Waterbirds. 31 (3). 2008. P. 438–447.
139. **Desse-Berset N.** Sturgeons of the Rhône during Protohistoryi Arles // Fish exploitatioi the past. Annales du Muse´e royal de l'Afrique centrale, Tervueren. Vol. 274. 1994. P. 81–90.
140. **Hoppe K. A., Koch P. L., Furutani T. T.** Assessing the Preservation of Biogenic Strontium in Fossil Bones and Tooth Enamel // International Journal of Osteoarchaeology. № 13. 2003. P. 20–28.
141. **Lepiksaar J.** Introduction to osteology of fishes for paleozoologists. Guteborg, 1994.
142. **Levchenko V. A., Sunagatov F. A.** Building the radiocarbon chronology for the archeological site Ufa-II, Bashkortostan, Russia: is this the elusive «Baskort» of medieval sources? // Radiocarbon. 55, 2/3. 2013. P. 1278–1285.
143. **Libois R. M., Hallet-Libois C.** Éléments pour l'indentificatio des restes crannies des poissons dulçaquicoles de Belgique et du nord de la France: 2 — Cypriniformes. Fiches d'ostéologie animale pour l'archéologie. Série A. № 4. Juanles Pins: APCDA. 1988.
144. **Libois R. M., Hallet-Libois C., Rosoux R.** Éléments pour l'indentificatio des restes craniens des poissons dulçaquicoles de Belgique et du nord de la France:

1 — Anguilliformes, Gastérostéiformes, Cyprinodontiformes et Perciformes. Fiches d'ostéologie animale pour l'archéologie. Série A: Poissons. № 3. Juanles Pins: APCDA. 1987.

145. **Losey R. J., Nomokonova T., Goriunova O. I.** Fishing Ancient Lake Baikal, Siberia: Inferences from the Reconstructio of Harvested Perch (Perca fluviatilis) Size // Journal of Archaeology Science. Vol. 38. 2008. P. 577–590.
146. **Masso B. L., Almeida D., Tarkan A. S., Onsoy B., Miranda R., et al**. Diagnostic features and biometry of head bones for identifying Carassius species i faecal and archaeological remains // Journal Applications of Ichthyology. Vol. 27 (5). 2011. P. 1286–1290.

Сведения об авторах и редакторе

1. ***Бахшиева Александра Камилевна*** — директор учебно-научного археологического музея БашГУ (г. Уфа)
2. ***Гавритухин Игорь Олегович*** — старший научный сотрудник отдела археологии эпохи Великого переселения народов и раннего Средневековья Института археологии РАН (г. Москва)
3. ***Гимранов Дмитрий Олегович*** — кандидат биологических наук, научный сотрудник лаборатории палеоэкологии Института экологии растений и животных УрО РАН (г. Екатеринбург)
4. ***Медникова Мария Борисовна*** — доктор исторических наук, ведущий научный сотрудник отдела теории и методики (группа физической антропологии) Института археологии РАН (г. Москва)
5. ***Романов Алексей Александрович*** — научный сотрудник отдела археологии ГБУ РИКМЗ «Древняя Уфа» (г. Уфа)
6. ***Русланов Владимир Васильевич*** — главный геолог ООО «Урал Промышленный Полярный-9» (г. Екатеринбург)
7. ***Русланов Евгений Владимирович*** — главный научный сотрудник отдела археологии ГБУ РИКМЗ «Древняя Уфа» (г. Уфа)
8. ***Русланова Рида Раисовна*** — кандидат исторических наук, старший преподаватель кафедры истории Республики Башкортостан, археологии и этнологии ФГБОУ ВО «Башкирский государственный университет»; научный сотрудник археологической лаборатории БашГУ (г. Уфа)
9. ***Шамсутдинов Марсель Расилевич*** — заведующий отделом археологии ГБУ РИКМЗ «Древняя Уфа» (г. Уфа)
10. ***Шевченко Александр Михайлович*** — ассистент кафедры физиологии человека и зоологии ФГБОУ ВО «Башкирский государственный университет»; научный сотрудник археологической лаборатории БашГУ (г. Уфа)

Рис. 1. Территория Уфимского полуострова с отмеченным местоположением Городища Уфа-II

Рис. 2. Историко-археологическая характеристика южной части Уфимского полуострова (по: Ахатов А. Т., Бахшиев И. И., Камалеев Э. В., Колонских А. Г., Тузбеков А. И, 2015):

1 — «Уфимские погребения» (некрополь «А»), эпоха раннего Средневековья; 2 — «Уфимские погребения» (курганно-грунтовый некрополь «Б»), эпоха раннего Средневековья; 3 — «Уфимские погребения» (некрополь «В»), эпоха раннего Средневековья; 4 — Ново-Уфимский грунтовый могильник, ранний железный век; 5 — Уфимские курганы («Мусульманское кладбище»), эпоха раннего Средневековья; 6 — Галановский I–II могильники, ранний железный века/эпоха раннего Средневековья; 7 — Городище Уфа–IV, эпоха раннего железного века; 8 — Городище Уфа–II, эпоха раннего Средневековья; 9 — Городище Уфа–III, эпоха раннего Средневековья

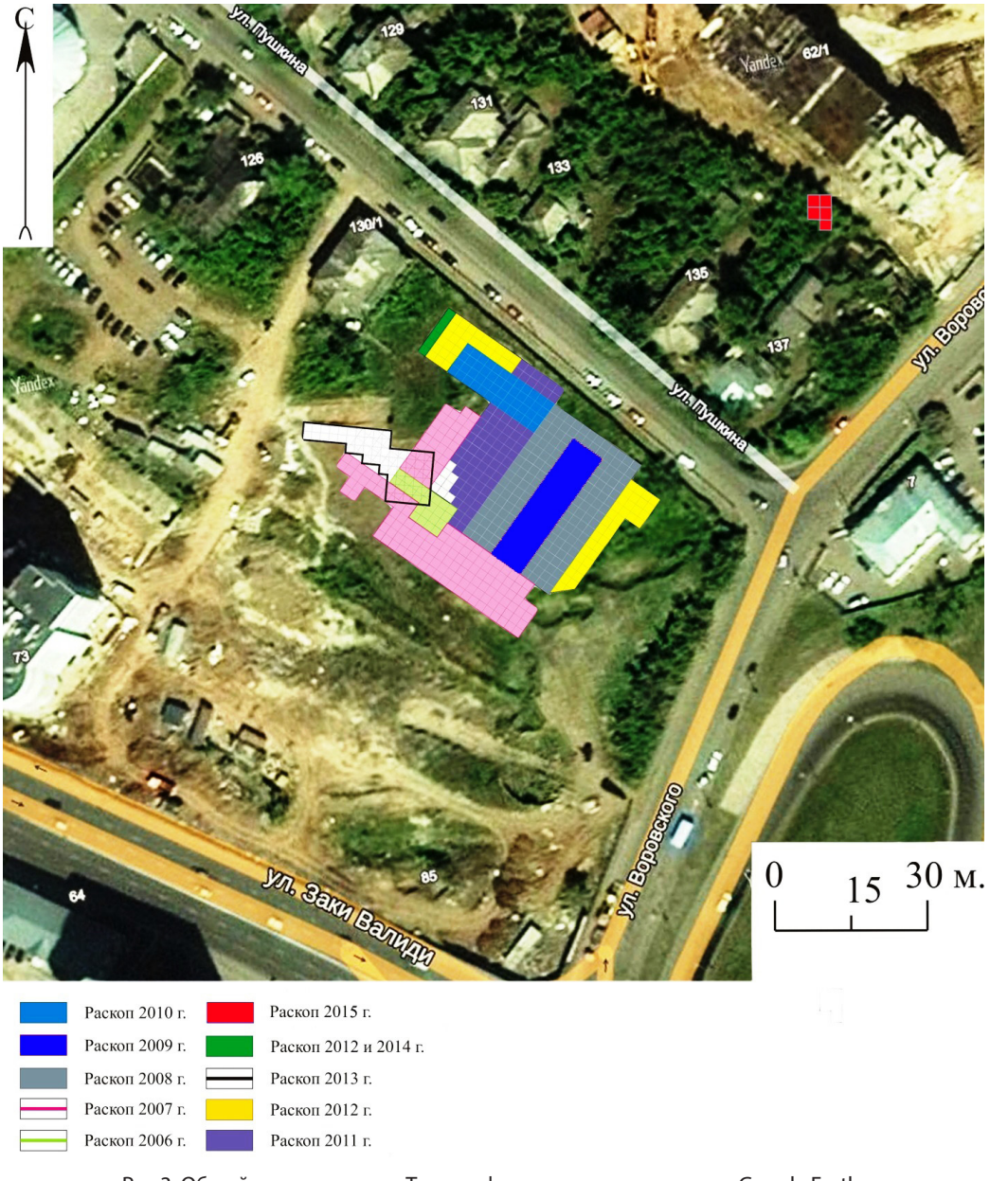

Рис.3. Общий план раскопов. Топографическая основа — карта Google Earth

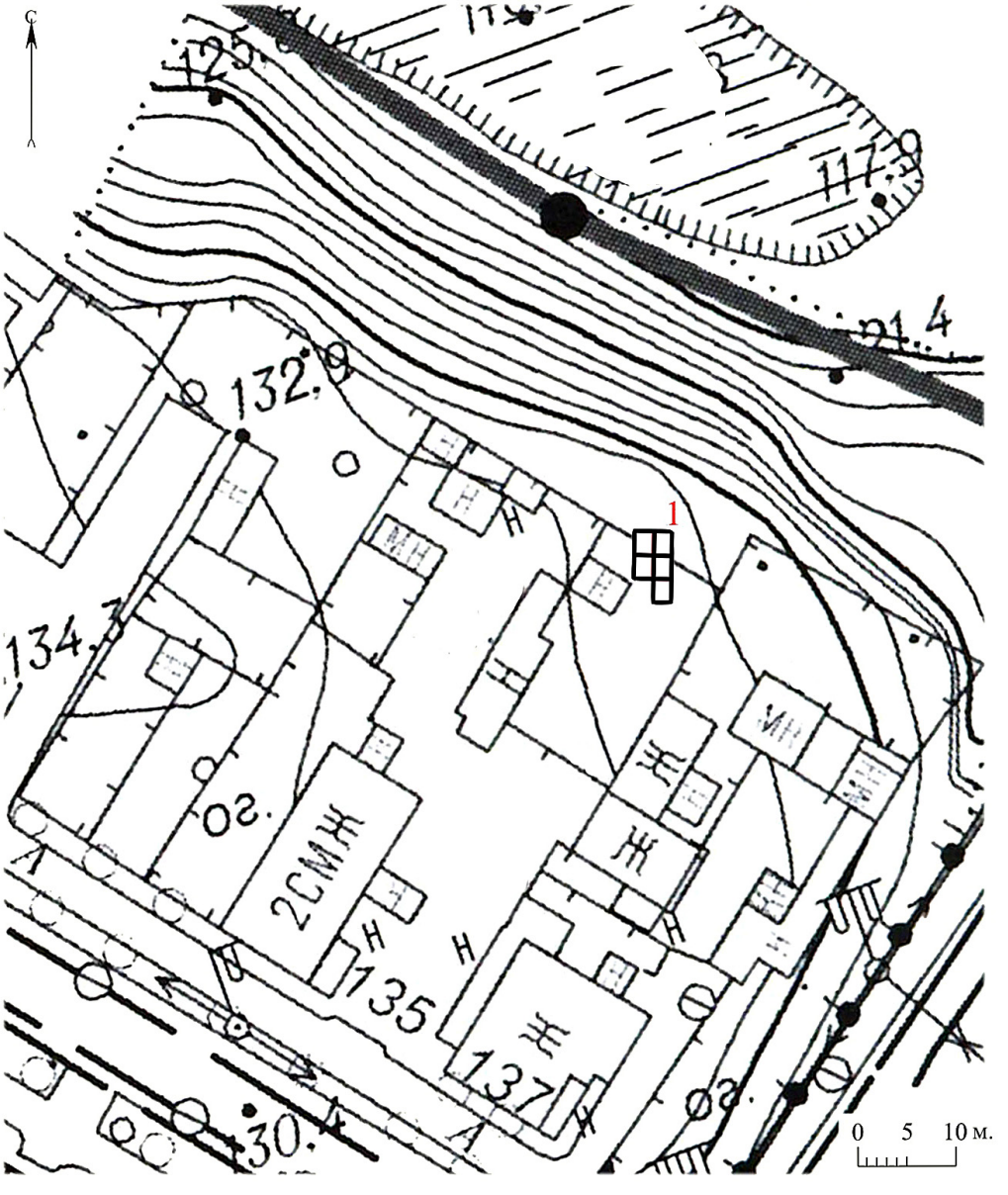

1 – Место расположения раскопа 2015 г.

Рис.4. Инструментальный план северной части Городища Уфа-II

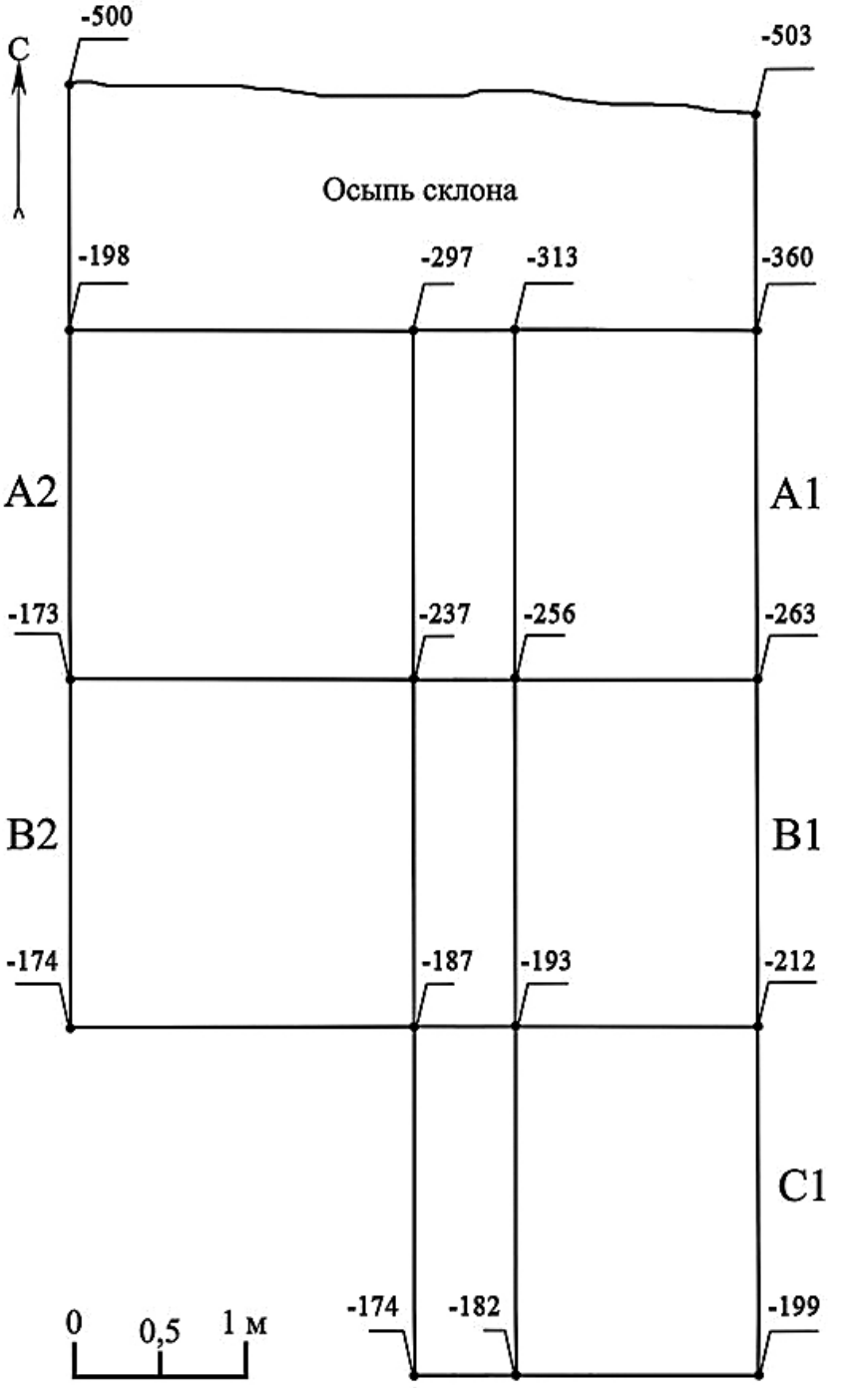

Рис. 5. План раскопа 2015 г. до начала изучения

Рис. 6. Площадка участка памятника до начала раскопок на нем в 2015 г. Вид с севера

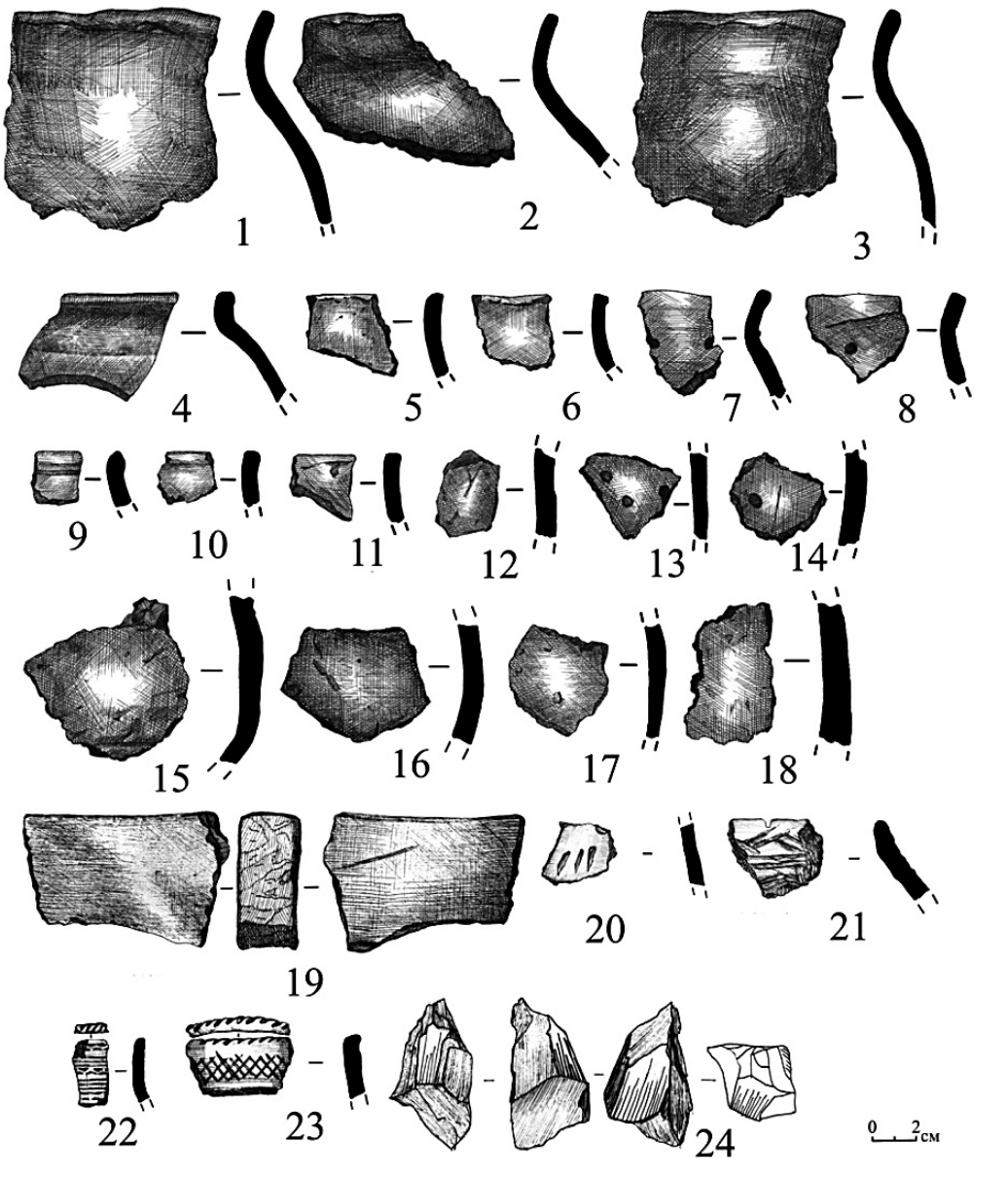

Рис. 7. Подъемный материал

19 — точильный камень; 24 — нуклеус. 19, 24 — камень, остальное — керамика.

1 — инв. №16181, 2 — инв. №16185, 3 — инв. №16212, 4 — инв. №16308, 5 — инв. №16309, 6 — инв. №16310, 7 — инв. №16499, 8 — инв. №16500, 9 — инв. №16494, 10 — инв. №16495, 11 — инв. №16496, 12 — инв. №16497, 13 — инв. №16498, 14 — инв. №16508, 15 — инв. №16501, 16 — инв. №16502, 17 — инв. №16503, 18 — инв. №16504, 19 — инв. №16507, 20 — инв. №15605, 21 — инв. №16506, 22 — инв. №16212, 23 — инв. №16181, 24 — инв. №16311

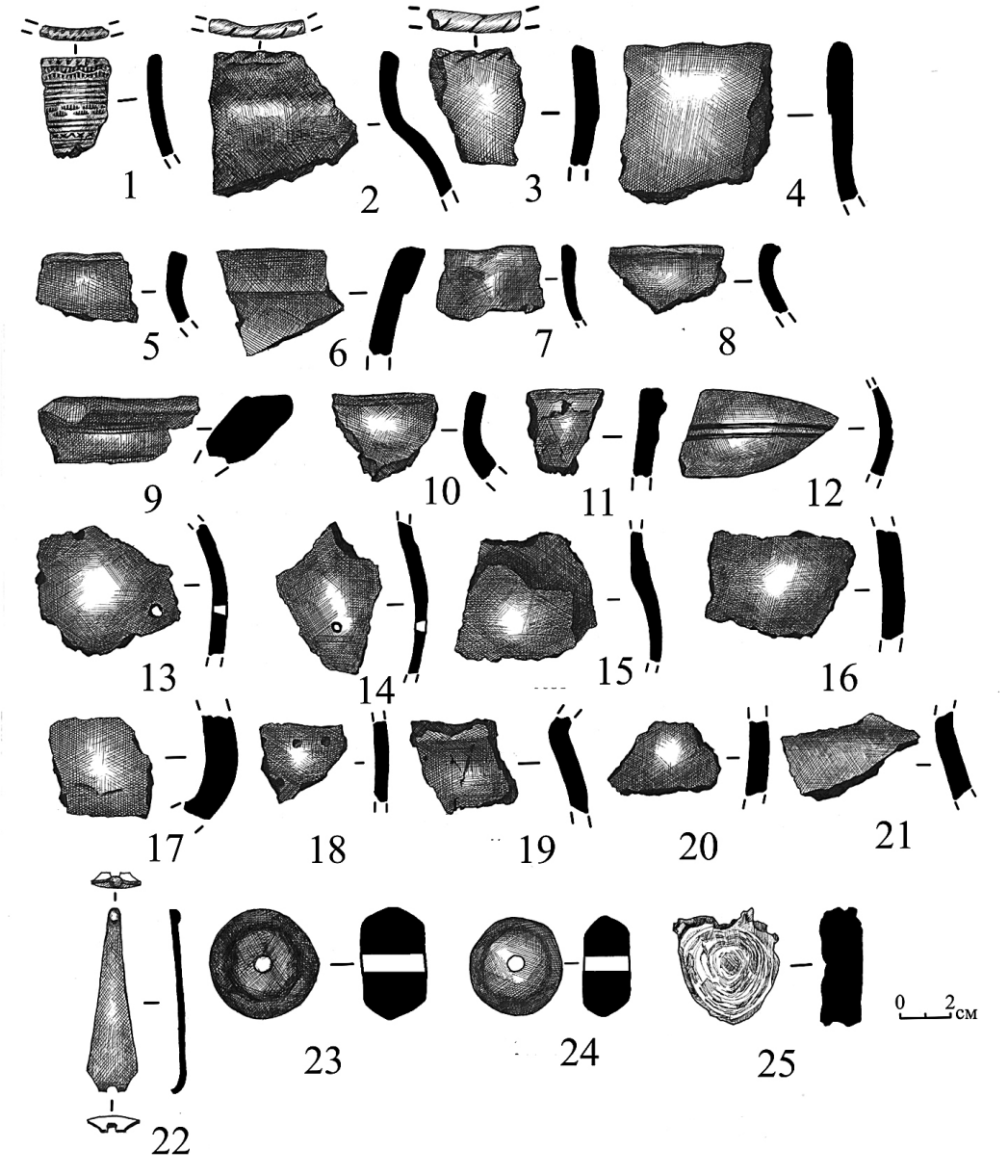

Рис. 8. Подъемный материал (продолжение)
22 — фрагмент пинцета; 23–24 — пряслица. 1–21, 23–24 — глина, 22 — бронза, 25 — кость.

1 — инв. №16509, 2 — инв. №16510, 3 — инв. №16511, 4 — инв. №16512, 5 — инв. №16513, 6 — инв. №16514, 7 — инв. №16515, 8 — инв. №16515, 9 — инв. №16517, 10 — инв. №16518, 11 — инв. №16519, 12 — инв. №16520, 13 — инв. №16521, 14 — инв. №16522, 15 — инв. №16523, 16 — инв. №16524, 17 — инв. №16525, 18 — инв. №16526, 19 — инв. №16527, 20 — инв. №16528, 21 — инв. №16529, 22 — инв. №16544, 23 — инв. №16541, 24 — инв. №16543, 25 — инв. №542

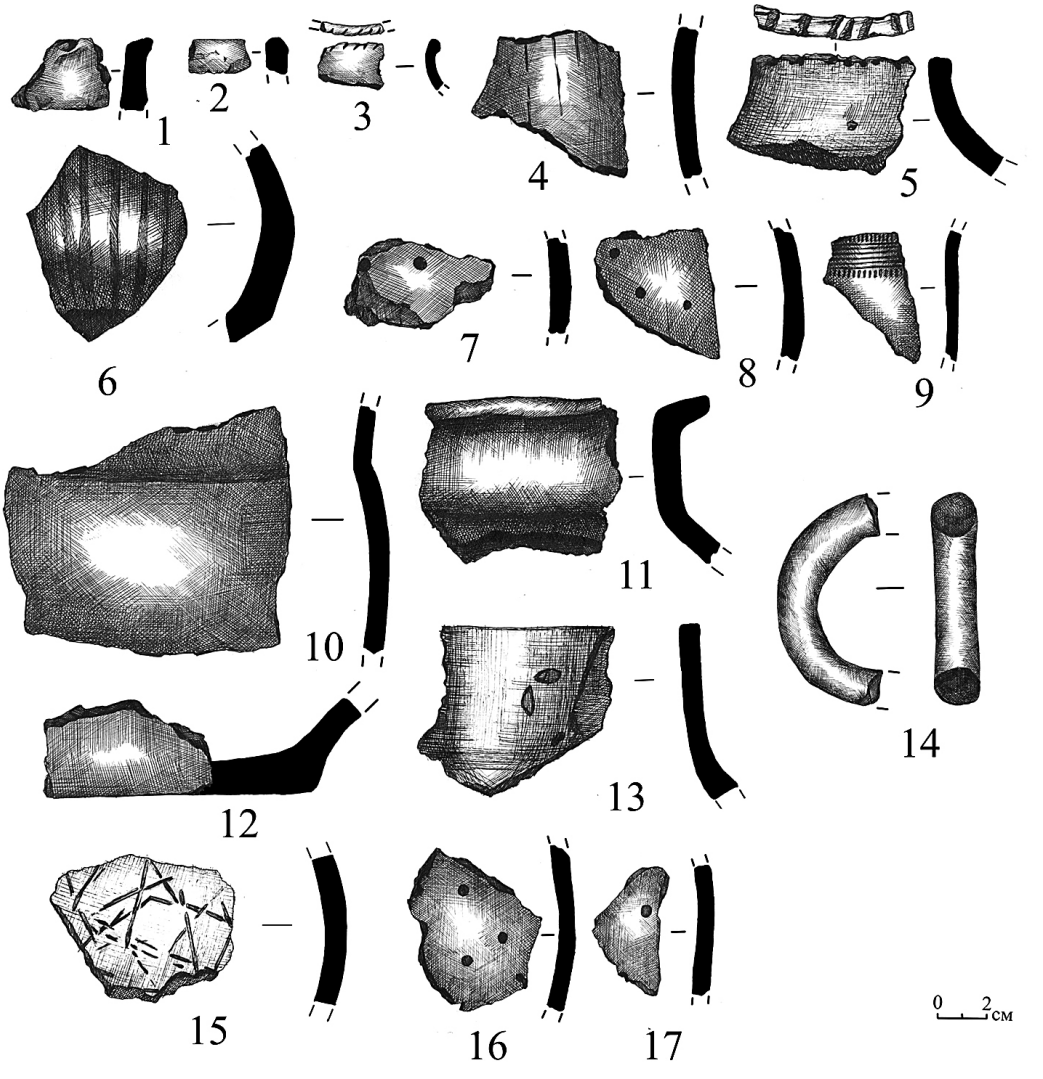

Рис. 9. Подъемный материал (продолжение)
Фрагменты керамических сосудов.
1 — инв. №12121, 2 — инв. №12122, 3 — инв. №12123, 4 — инв. №12124, 5 — инв. №16183, 6 — инв. №16310, 7 — инв. №12125, 8 — инв. №13213, 9 — инв. №16309, 10 — инв. №3231, 11 — инв. №16308, 12 — инв. №16121, 13 — инв. №13212, 14 — инв. №16184, 15 — инв. №16182, 16 — инв. №13214, 17 — инв. №15172

Рис. 10. Пласт 1. Линия квадратов С1-А1. Вид с юга

Рис. 11. Пласт 1. Квадрат В2 вид с юга

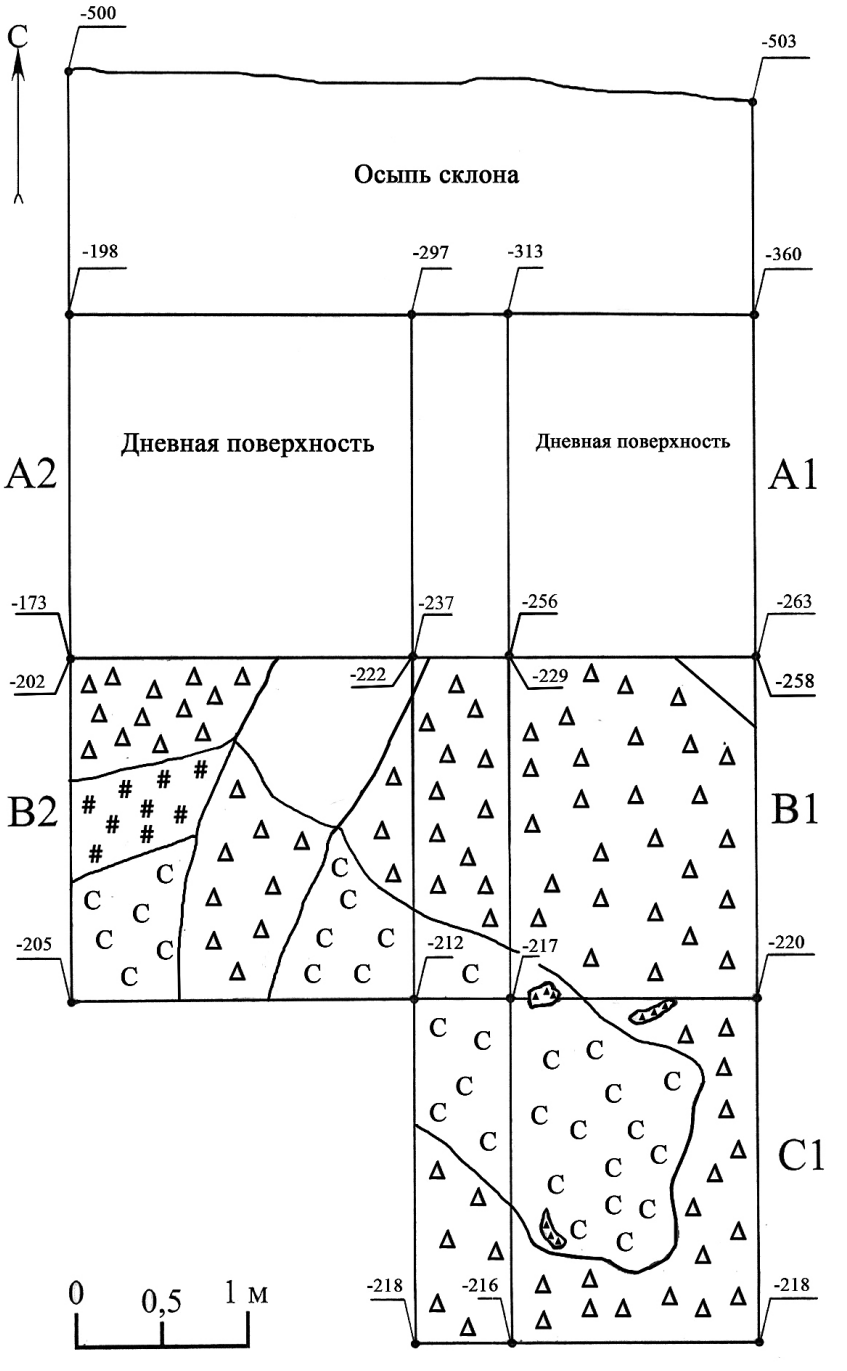

Рис. 12. Планиграфическая ситуация на уровне 1 пласта. Условные знаки на рис. 176

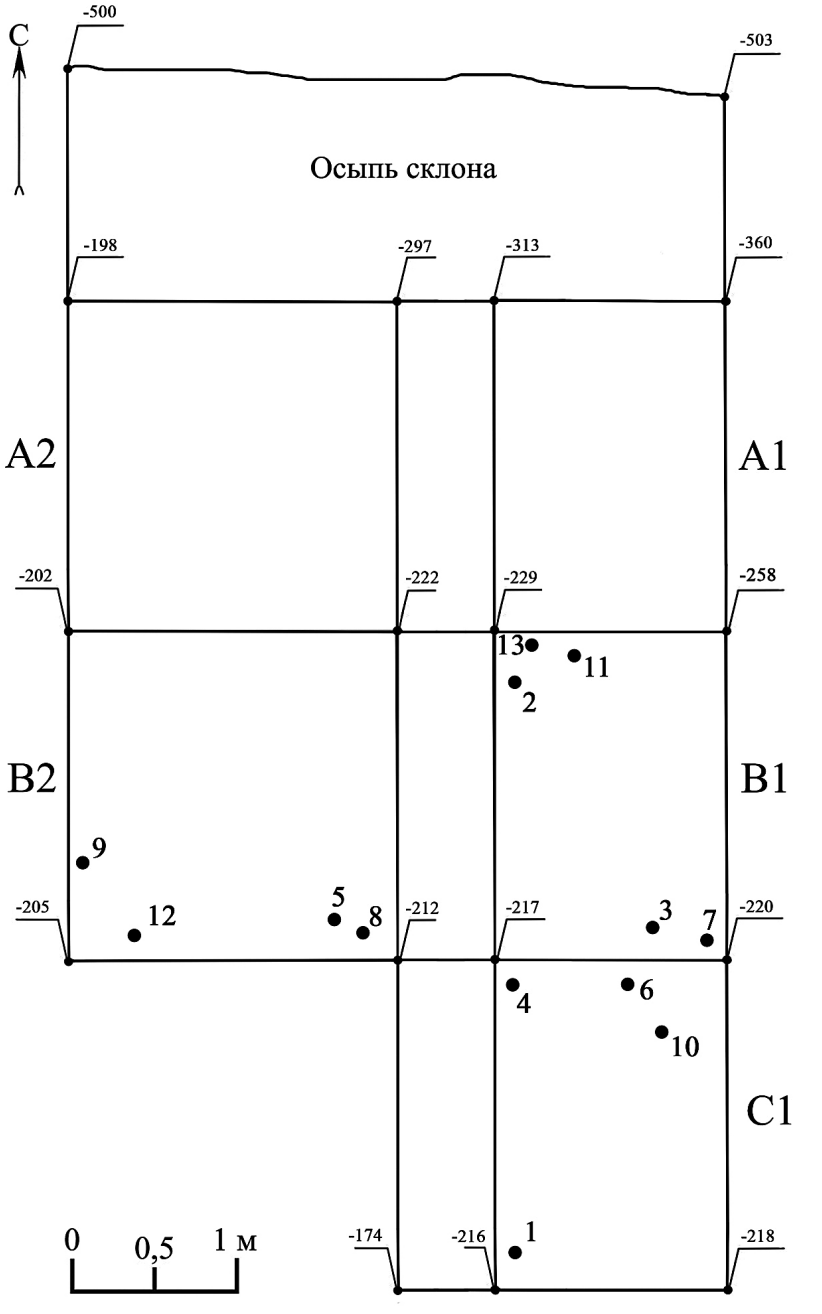

Рис. 13. Планиграфия индивидуальных находок 1 пласта. Нумерация соответствует рис. 14

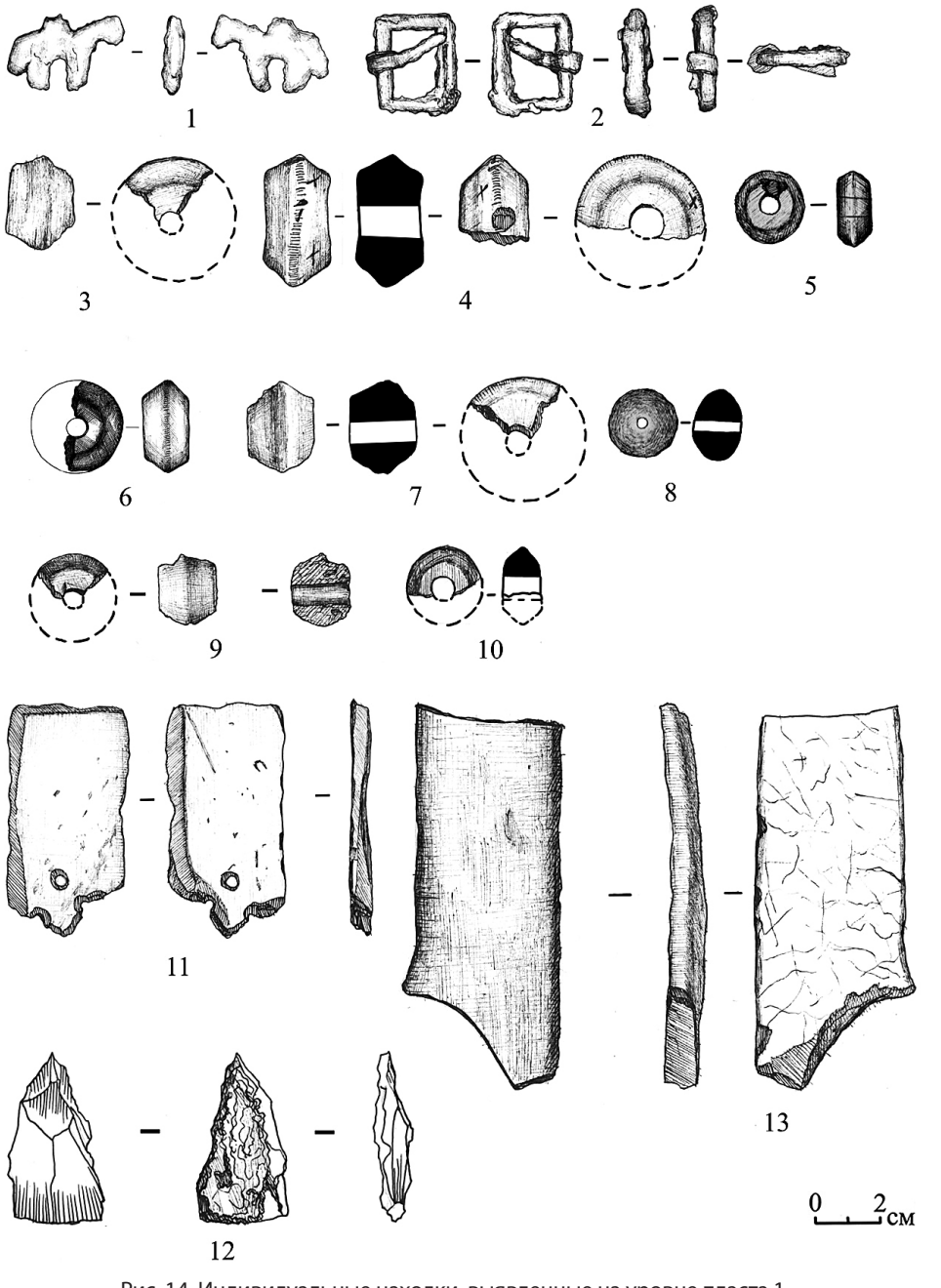

Рис. 14. Индивидуальные находки, выявленные на уровне пласта 1.

1 — фигурка лошади; 2 — пряжка; 3–10 — пряслица; 11,13 — оселки; 12 —остроконечник. Материал: 1,2 — металл, 3–10 — глина; 11–13 — камень.

Квадрат В1: 3 — инв. №16221, нив. отм. 210, 7 — инв. №16229, нив. отм.210, 11 — инв. №16218, нив. отм.209, 13 — инв. №16219; **Квадрат В2:** 2 — инв. №16246, нив. отм.210, 5– инв. №16227, нив. отм.200, 8 — инв. №16228, нив. отм.200, 9 — инв. №16298, нив. отм.202, 12 — инв. №16248; **Квадрат С1:** 1 — инв. №16244, нив. отм. 219; 4 — инв. №16226, нив. отм.218, 6 — инв. №16230, 10 — инв. №16253

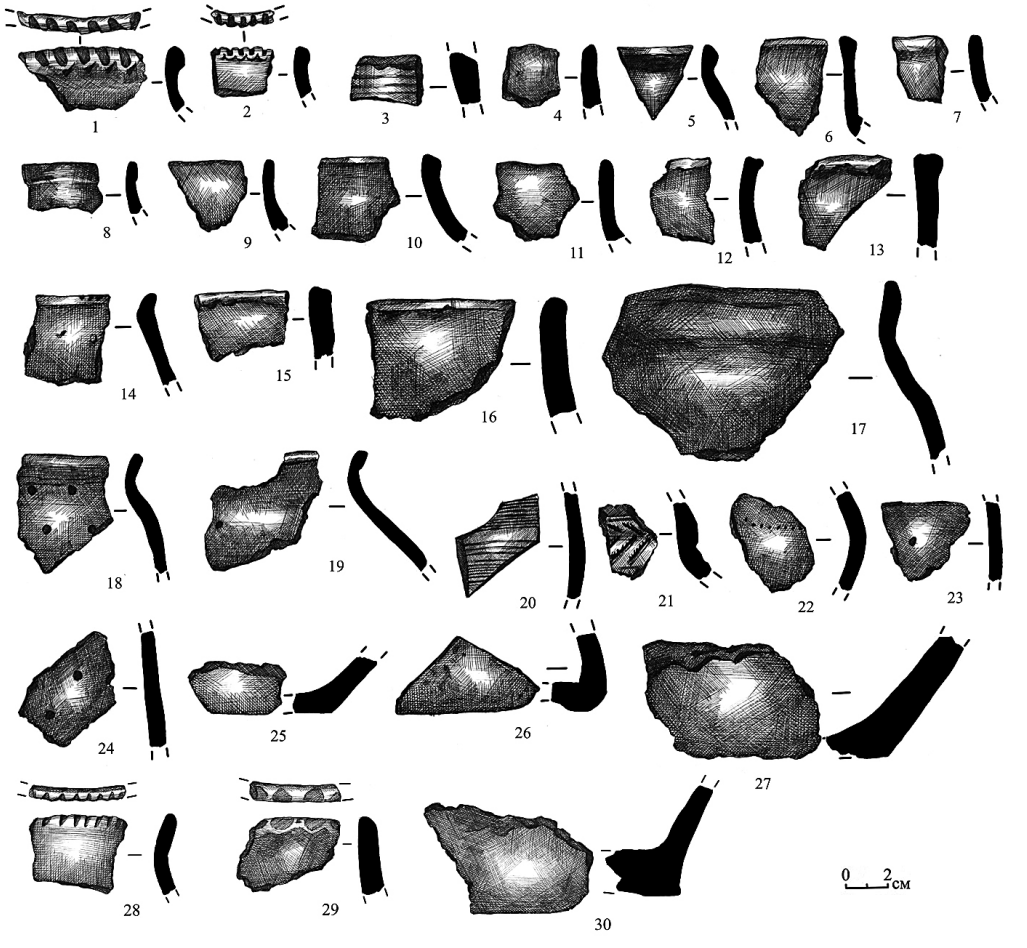

Рис. 15. Керамика, выявленная на уровне пласта 1.

Квадрат А2: 10 — инв. №450, 15 — инв. №451; **Квадрат В1:** 6 — инв. №5, 7 — инв. №3, 8 — инв. №4, 9 — инв. №6, 22 — инв. №7, 25 — инв. № 298, 26 — инв. №9, 28 — инв. №17; **Квадрат В2:** 1 — инв. №124, 2 — инв. №126, 3 — инв. №161, 14 — инв. №139, 16 — инв. №136, 17 — инв. №142, 18 — инв. №123, 19 — инв. №125, 27 — инв. №127, 30 — инв. №128; **Квадрат С1:** 4 — инв. №443, 5 — инв. №296, 11 — инв. №294, 12 — инв. №301, 13 — инв. №299, 20 — инв. №291, 21 — инв. №162, 23 — инв. №290, 24 — инв. №298, 29 — инв. №446

Рис. 16. Пласт 2. Линия квадратов С1-В1 вид с юга

Рис. 17. Пласт 2. Линия квадратов В2-А2 вид с запада

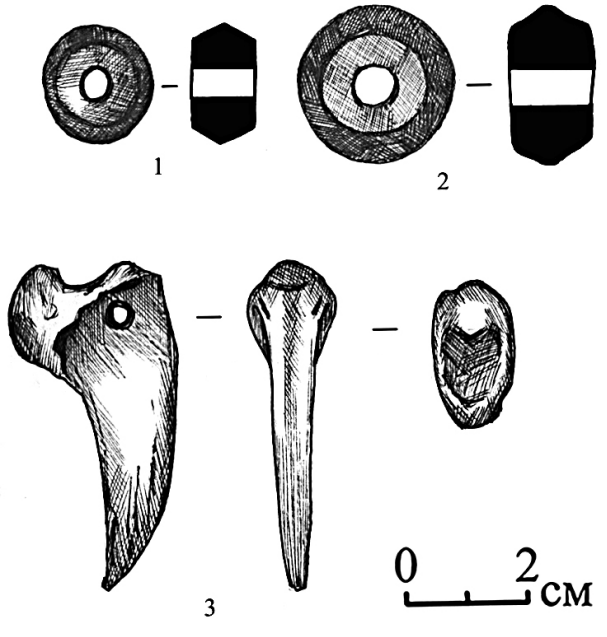

Рис. 18. Индивидуальные находки, выявленные на уровне пласта 2.
1,2 — прясла; 3 — подвеска-амулет. Материал: 1,2 — глина; 3 — коготь. **Квадрат В1:** 1 — инв. №16229, нив. отм.230; 3 — инв. №16570, нив. отм. 229; **Квадрат С1:** 2 — инв. №16273, нив. отм.232

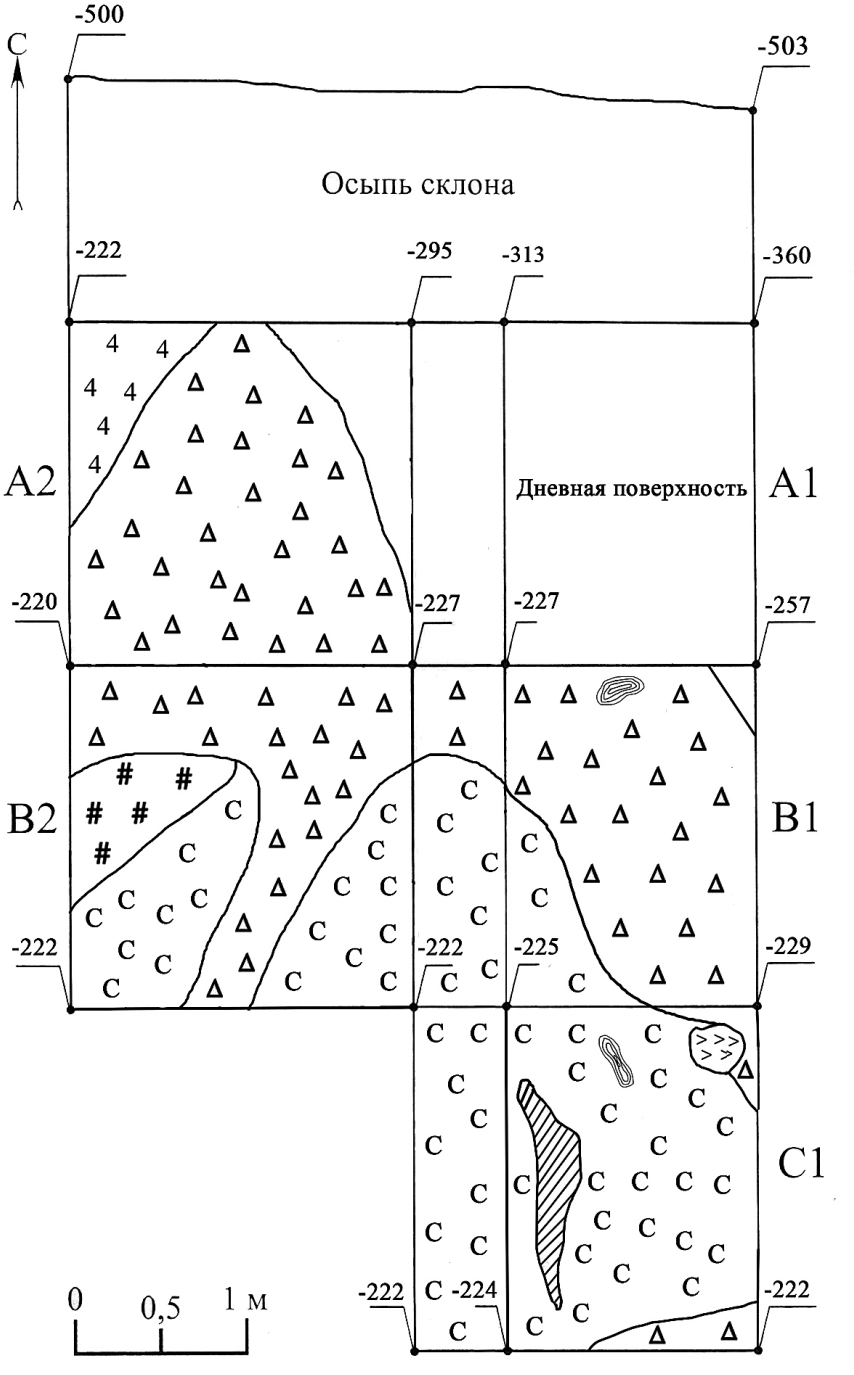

Рис. 19. Планиграфическая ситуация на уровне 2 пласта. Условные знаки на рис. 176

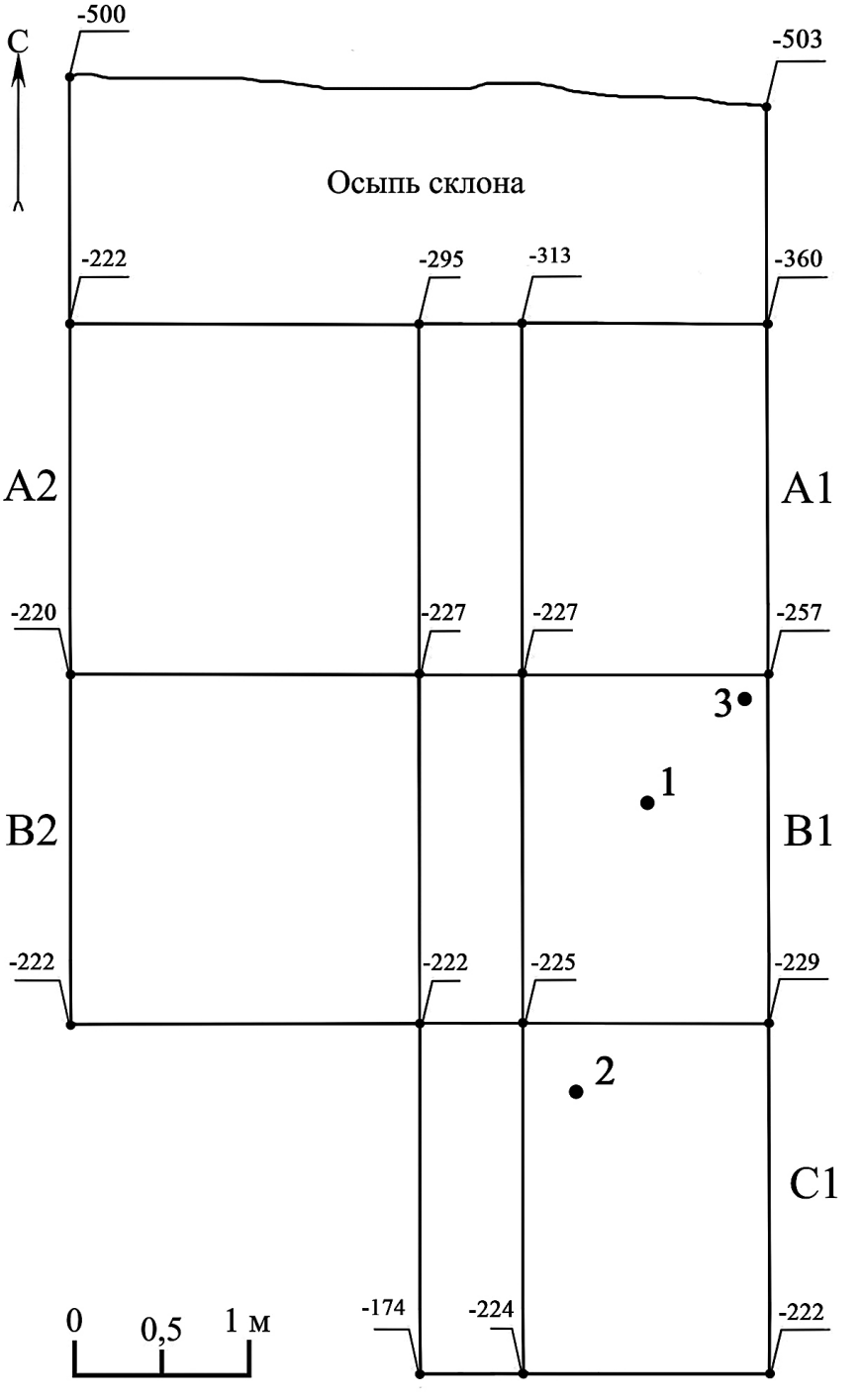

Рис. 20. Планиграфия индивидуальных находок 2 пласта.
Нумерация соответствует рис. 18

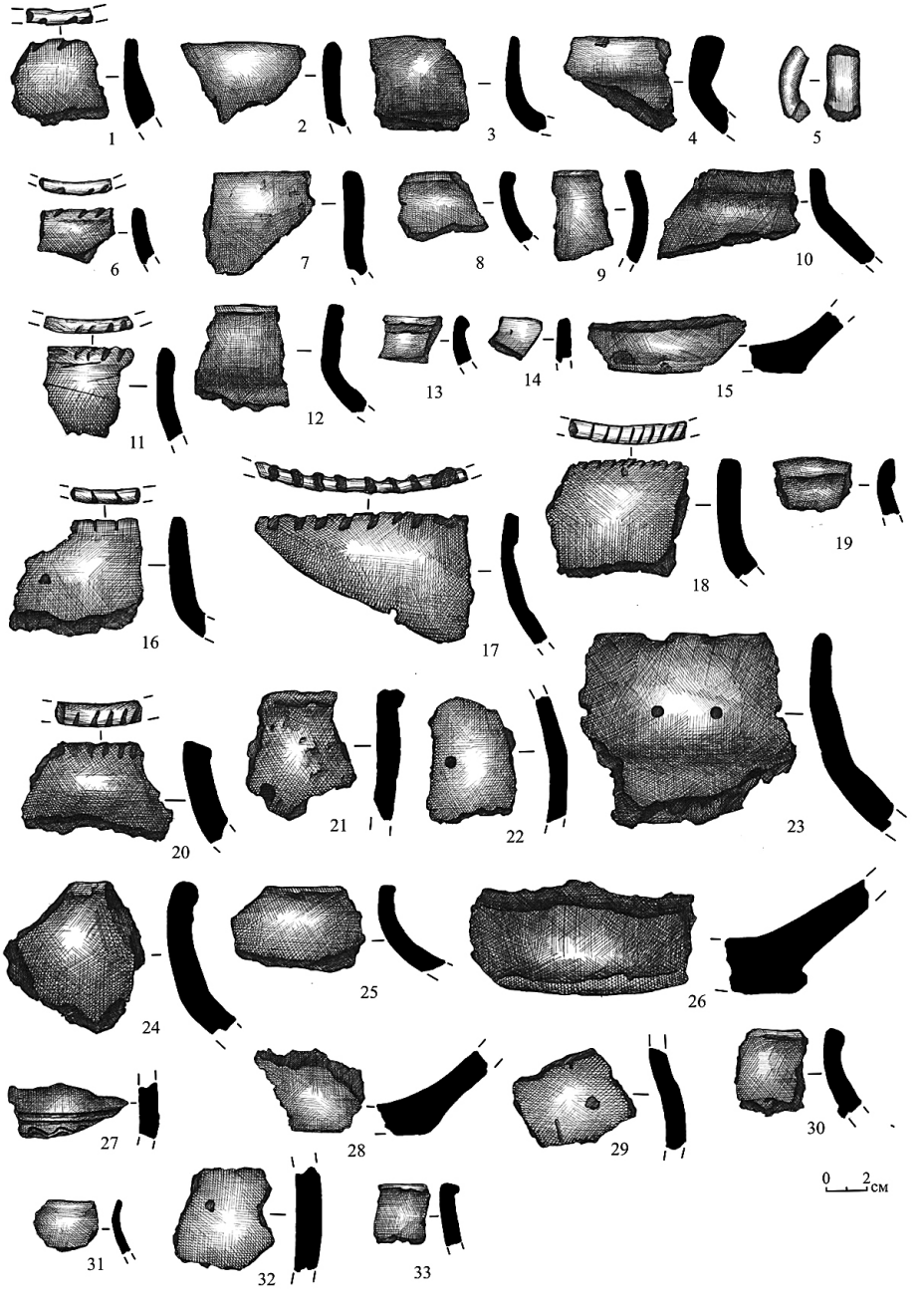

Рис. 21. Керамика, выявленная на уровне пласта 2.

Квадрат А2: 6 — инв. №586, 10 — инв. №684, 22 — инв. №495, 29 — инв. №496, 30 — инв. №497, 32 — инв. №494, 33 — инв. №498; **Квадрат В1:** 14 — инв. №591, 27 — инв. №590, 31 — инв. №592; **Квадрат В2:** 1 — инв. №716, 3 — инв. №723, 4 — инв. №727, 5 — инв. №728, 9 — инв. №748, 11 — инв. №731, 12 — инв. №724, 15 — инв. №736, 16 — инв. №792, 17 — инв. №730, 18 — инв. №735, 19 — инв. №717, 20 — инв. №734, 21 — инв. №733, 25 — инв. №730Ю, 28 — инв. №729; **Квадрат С1:** 2 — инв. №628, 7 — инв. №629, 8 — инв. №631, 13 — инв. №634, 23 — инв. №627, 24 — инв. №630, 26 — инв. №629

Рис. 22. Пласт 3. Линия квадратов С1-А1. Вид с юга

Рис. 23. Пласт 3. Линия квадратов В2-А2. Вид с запада

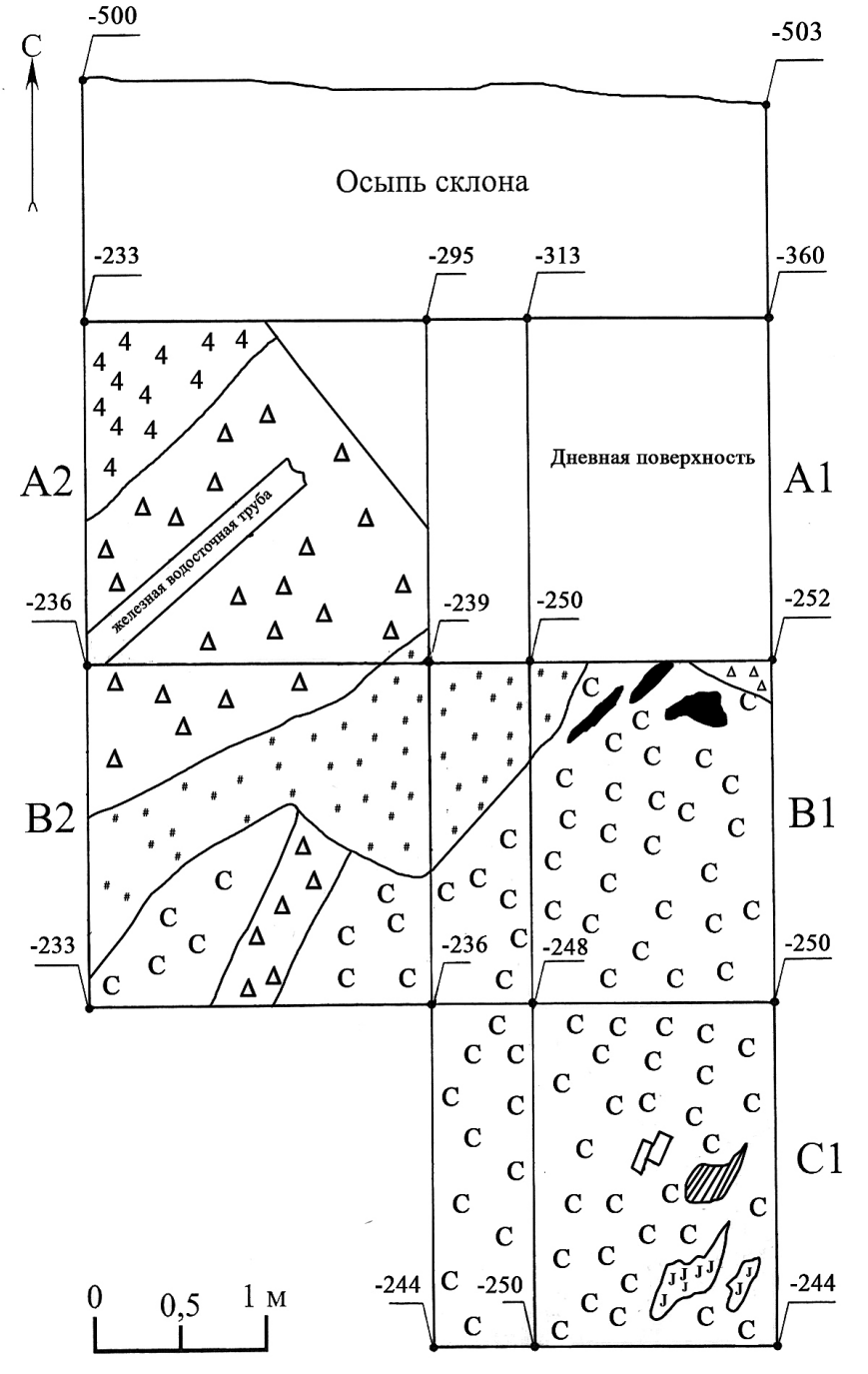

Рис. 24. Планиграфическая ситуация на уровне 3 пласта. Условные знаки на рис. 176

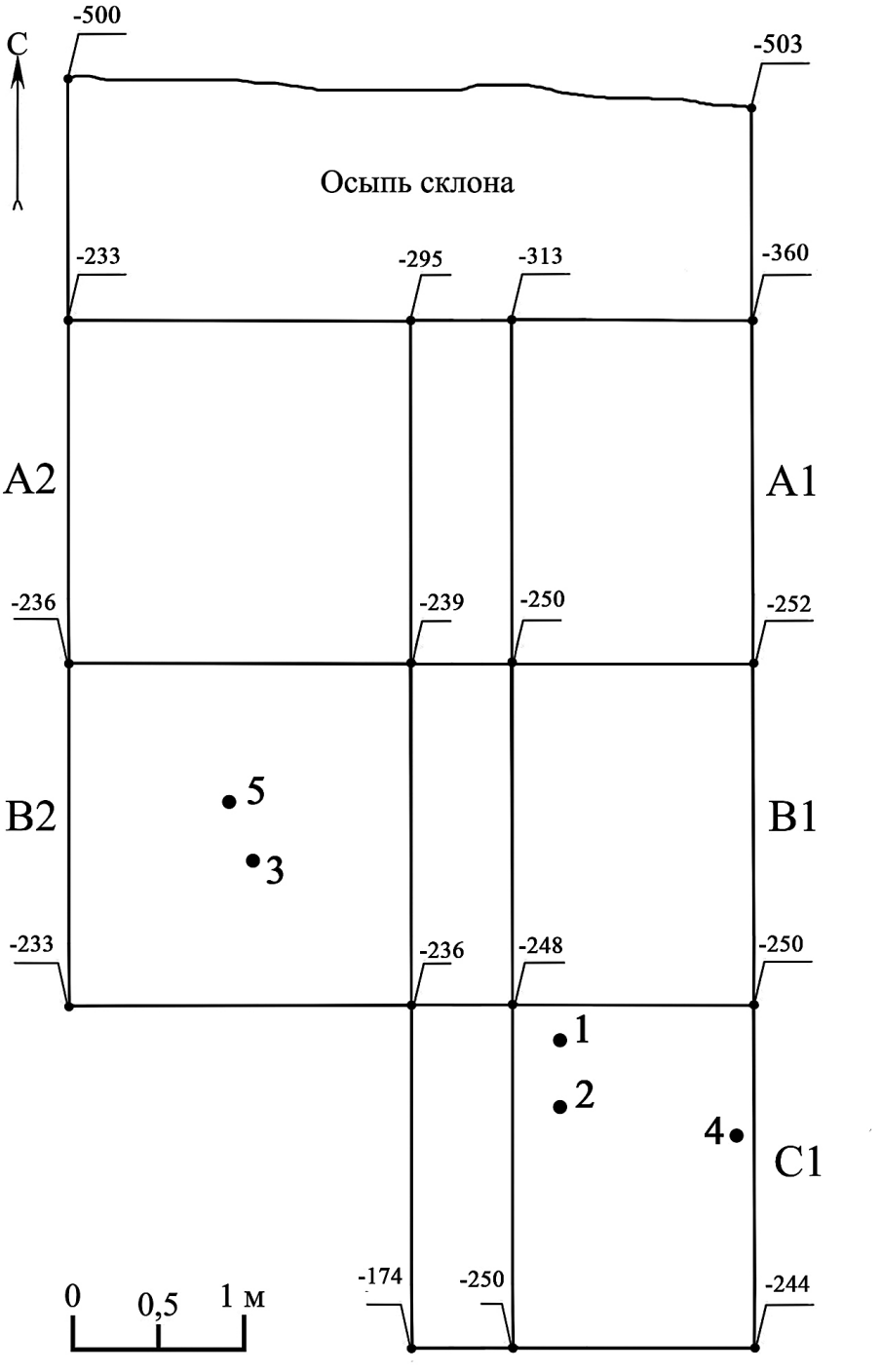

Рис. 25. Планиграфия индивидуальных находок 3 пласта. Нумерация соответствует рис. 26

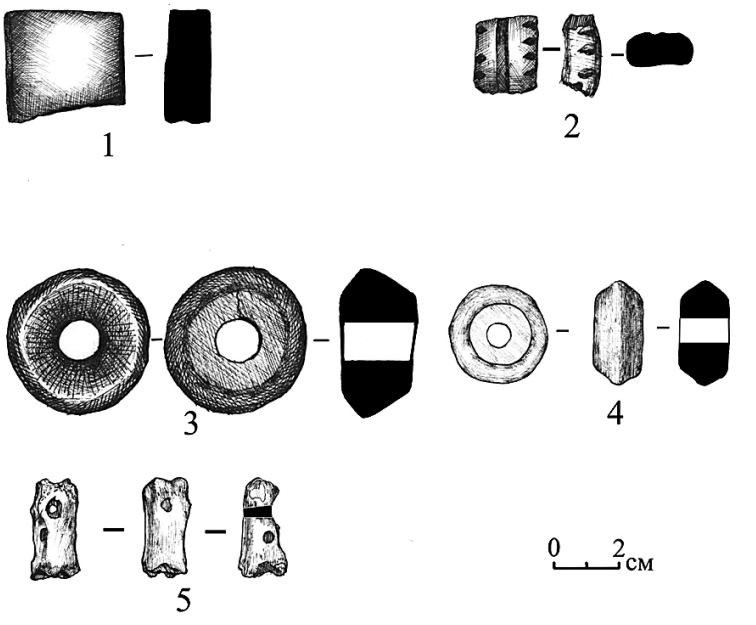

Рис. 26. Индивидуальные находки, выявленные на уровне пласта 3.
1 — оселок; 2 — фрагмент ручки кувшина; 3,4 — прясла; 5 — подвеска-амулет. Материал: 1 — камень; 2–4 — глина; 5 — кость. **Квадрат В2:** 3 — инв. №1698; 5 — инв. №16240; **Квадрат С1:** 1 — инв. №16296, нив. отм.250, 2 — инв. №16273, нив. отм.250, 4 — инв. №16226, нив. отм.244

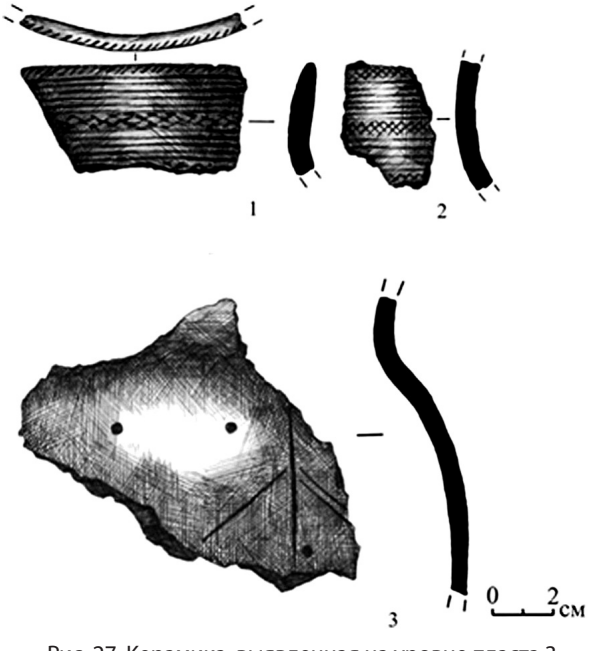

Рис. 27. Керамика, выявленная на уровне пласта 3.
Квадрат В1: 1 — инв. №16369, 2 — инв. №16370; **Квадрат С1:** 3 — инв. №16195 (бровка)

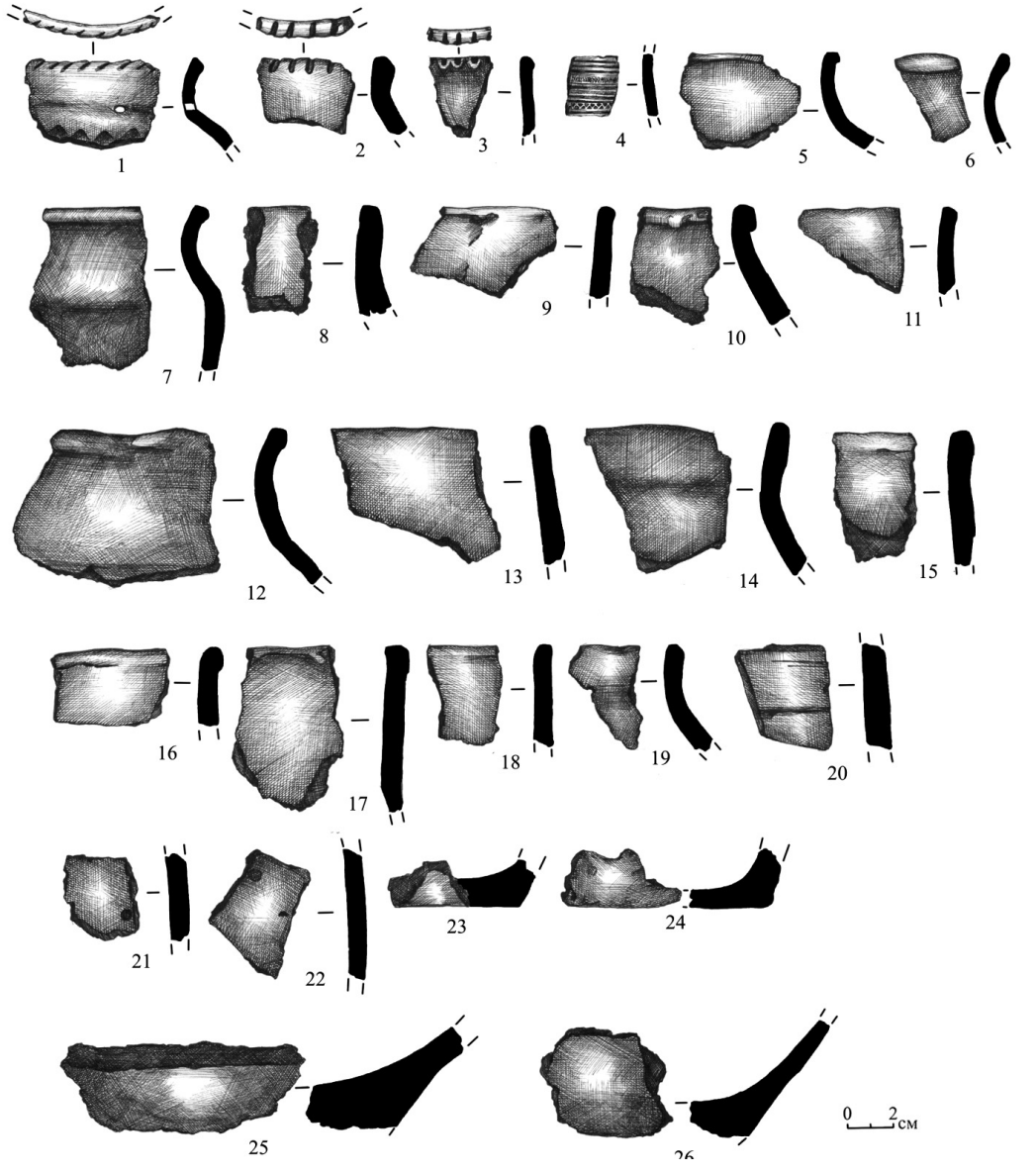

Рис. 28. Керамика, выявленная на уровне пласта 3.

Квадрат А2: 18 — инв. №957; **Квадрат В1:** 1 — инв. №996, 4 — инв. №997, 6 — инв. №1004, 11 — инв. №1003, 15 — инв. №1001, 16 — инв. №1002, 22 — инв. №991, 23 — инв. №1006, 24 — инв. №1010; **Квадрат В2:** 2 — инв. №1125, 3 — инв. №1127, 5 — инв. №1134, 7 — инв. №1136, 8 — инв. №1129, 14 — инв. №1137, 20 — инв. №1128; **Квадрат С1:** 9 — инв. №1266, 10 — инв. №1263, 12 — инв. №1264, 13 — инв. №1257, 17 — инв. №1258, 19 — инв. №1265, 21 — инв. №1256, 25 — инв. №1267, 26 — инв. №1269

Рис. 29. Пласт 4. Линия квадратов С1-А1. Вид с юга

Рис. 30. Пласт 4. Линия квадратов В2-А2 вид с запада

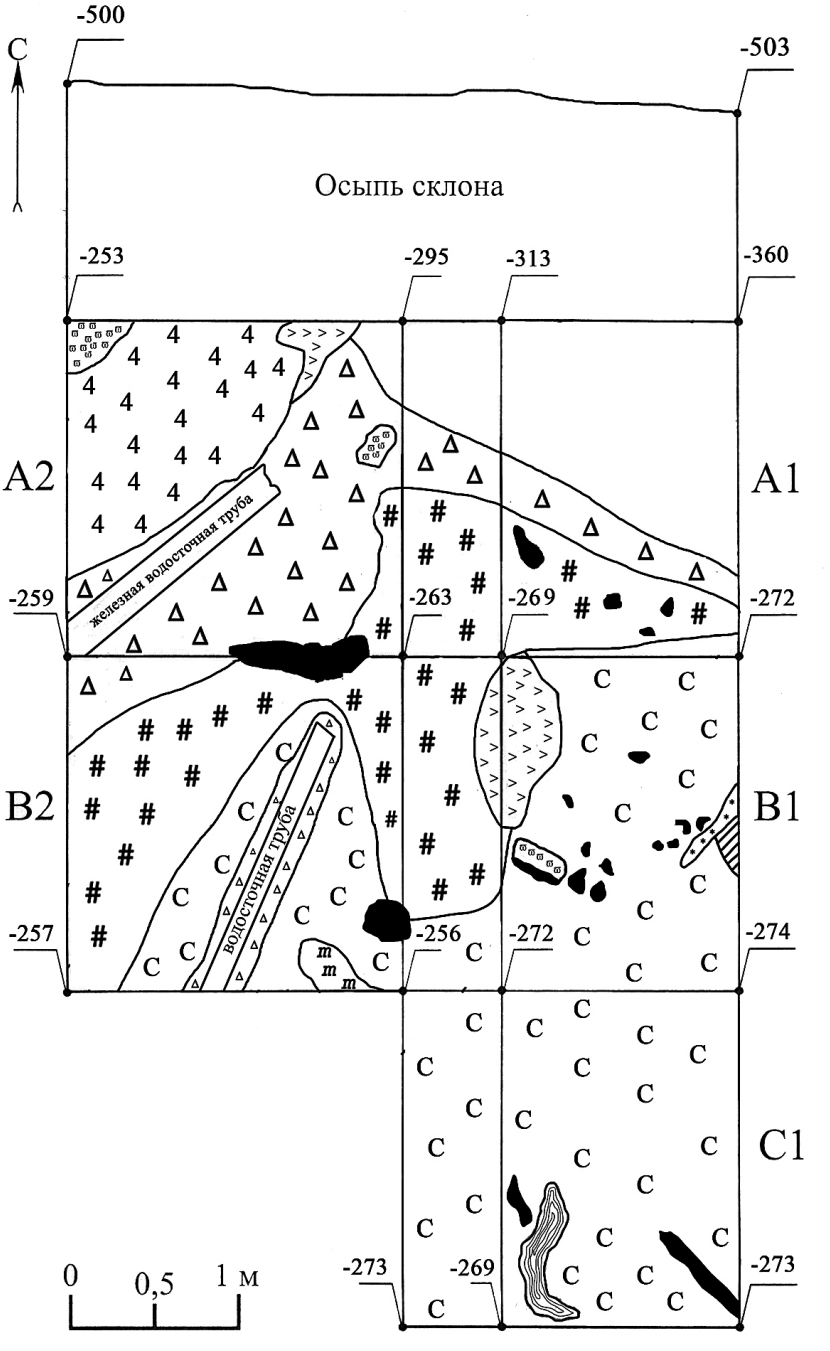

Рис. 31. Планиграфическая ситуация на уровне 4 пласта. Условные знаки на рис. 176

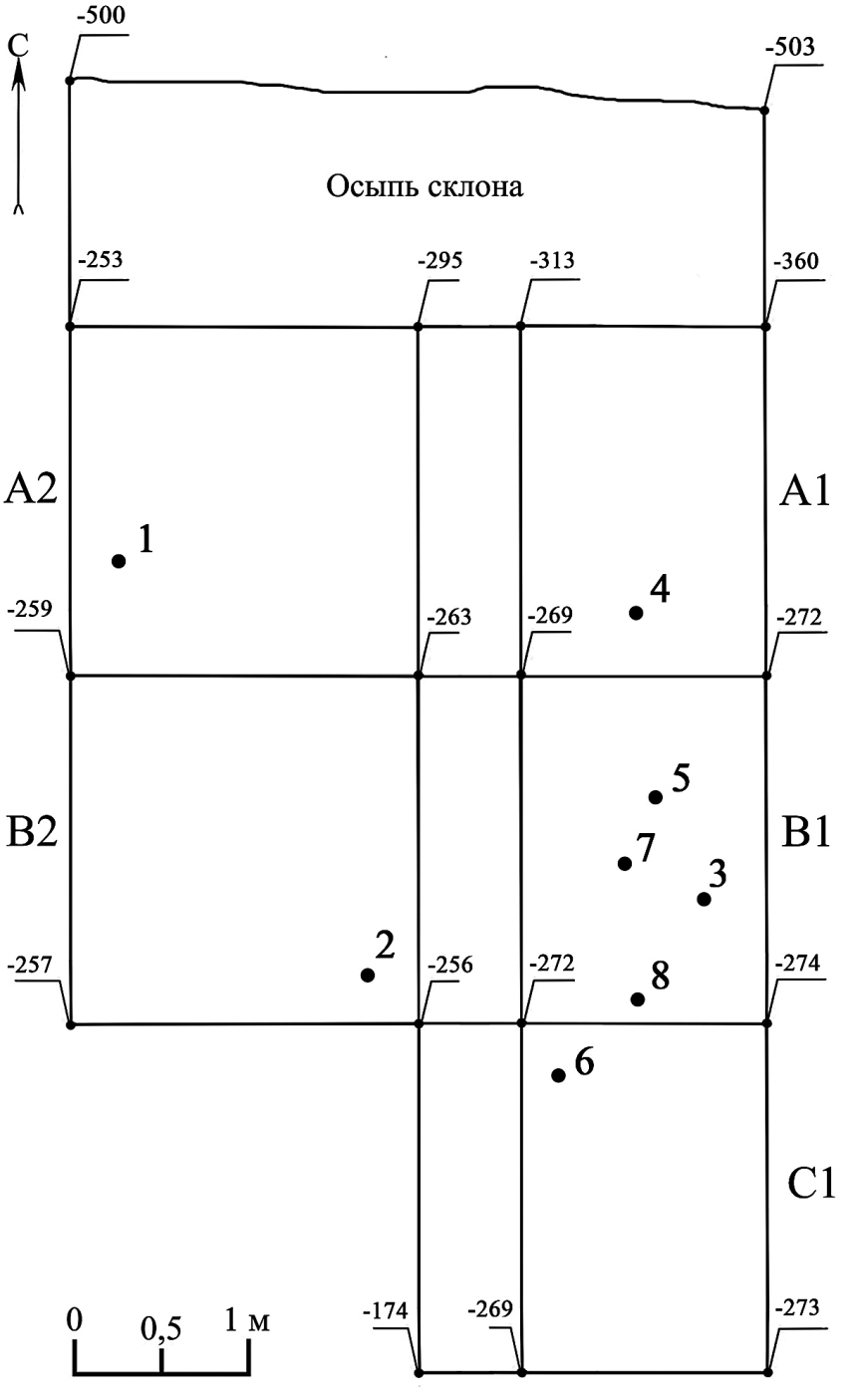

Рис. 32. Планиграфия индивидуальных находок 4 пласта.
Нумерация соответствует рис. 33

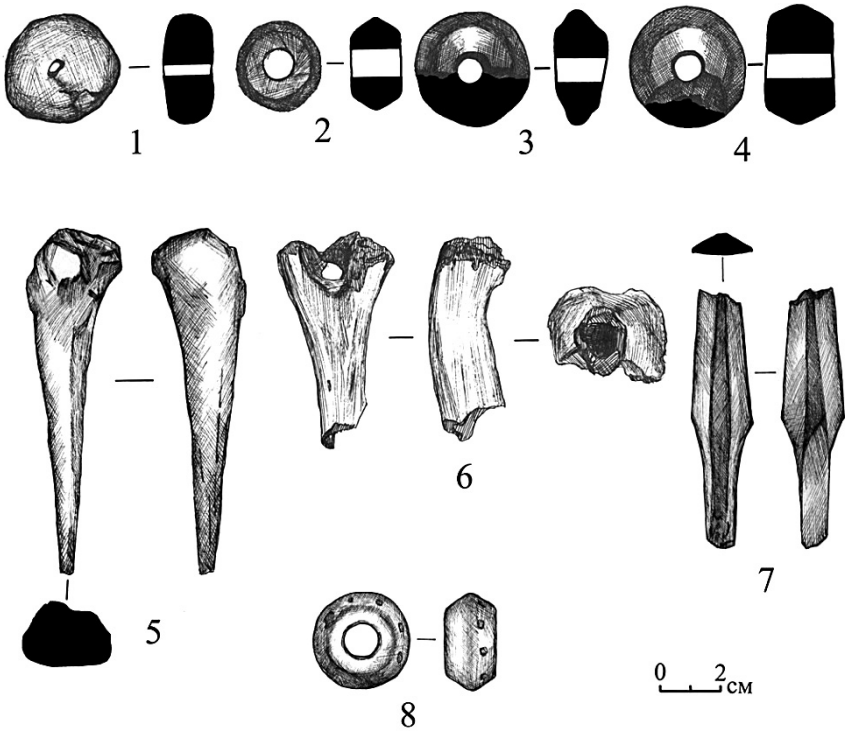

Рис. 33. Индивидуальные находки, выявленные на уровне пласта 4.
1–4,8 — прясла; 5 — остроконечник; 6 — изделие с отверстием; 7 — наконечник стрелы. Материал: 1–4,8 — глина; 5–7 — кость. **Квадрат А1:** 4 — инв. №16206, нив. отм. 268; **Квадрат А2:** 1 — инв. №16174; **Квадрат В1:** 5 — инв. №16584, нив. отм. 261, 7 — инв. №16583, нив. отм. 266; 8 — инв. №16206, нив. отм. 269; 3 — инв. №16238; **Квадрат В2:** 2 — инв. №16206, нив. отм. 257; **Квадрат С1:** 6 — инв. №16264

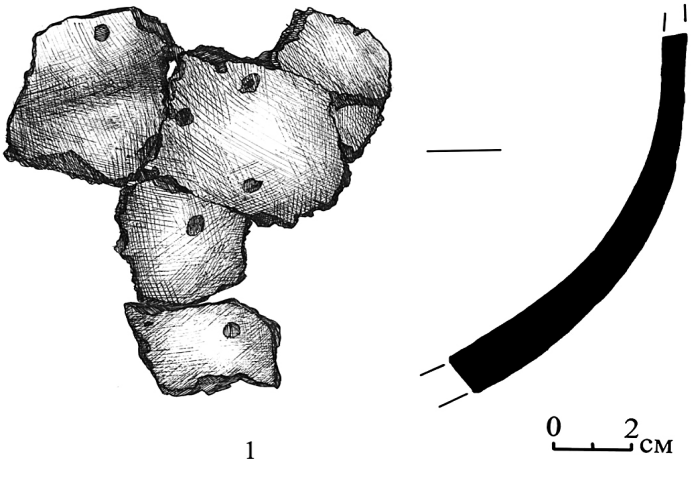

Рис. 34. Развал сосуда, выявленный на уровне пласта 4. **Квадрат В1:** инв. №16648–16651

Рис. 35. Керамика, выявленная на уровне пласта 4.
Квадрат А1: 4 — инв. №1513, 12 — инв. №1514; **Квадрат В1:** 1 — инв. №1518, 2 — инв. №1517, 3 — инв. №1516, 5 — инв. №1519, 13 — инв. №1624, 15 — инв. №1626, 19 — инв. №1645; **Квадрат В2:** 6 — инв. №1675, 7 — инв. №1672, 10 — инв. №1676, 11 — инв. №1647, 16 — инв. №1654, 17 — инв. №1652, 18 — инв. №1646, 20 — инв. №1648, 21 — инв. №1659; **Квадрат С1:** 8 — инв. №1887, 9 — инв. №1886, 14 — инв. №1893

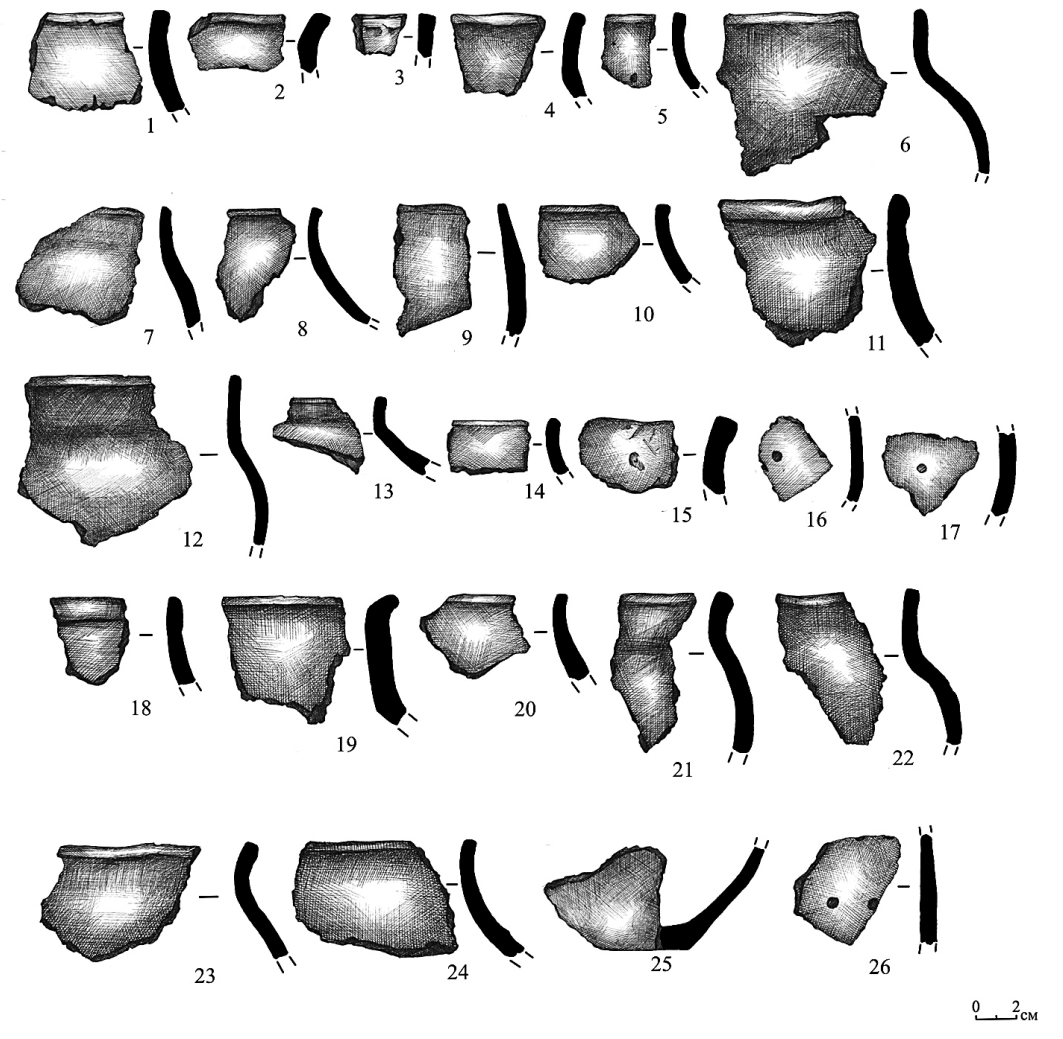

Рис. 36. Керамика, выявленная на уровне пласта 4 (продолжение).
Квадрат А2: 1 — инв. №1381, 2 — инв. №1371, 3 — инв. №1384, 5 — инв. №1380, 7 — инв. №1385, 10 — инв. №1374, 13 — инв. №1377, 14 — инв. №1375, 16 — инв. №1394, 17 — инв. №1396, 26 — инв. №1390; **Квадрат В1:** 21 — инв. №1523, 23 — инв. №1525, 24 — инв. №1520; **Квадрат В2:** 4 — инв. №1637, 6 — инв. №1635, 8 — инв. №1628, 9 — инв. №1642, 11 — инв. №1643, 12 — инв. №1639, 15 — инв. №1632, 22 — инв. №1690, 25 — инв. №1664; **Квадрат С1:** 18 — инв. №1891, 19 — инв. №1884, 20 — инв. №1890

Рис. 37. Пласт 5. Линия квадратов С1-А1 вид с юга

Рис. 38. Пласт 5. Линия квадратов В2-А2 вид с юга

Рис. 39. Пласт 5. Линия квадратов С1-А1 после выборки столбовых ямок. Вид с юга

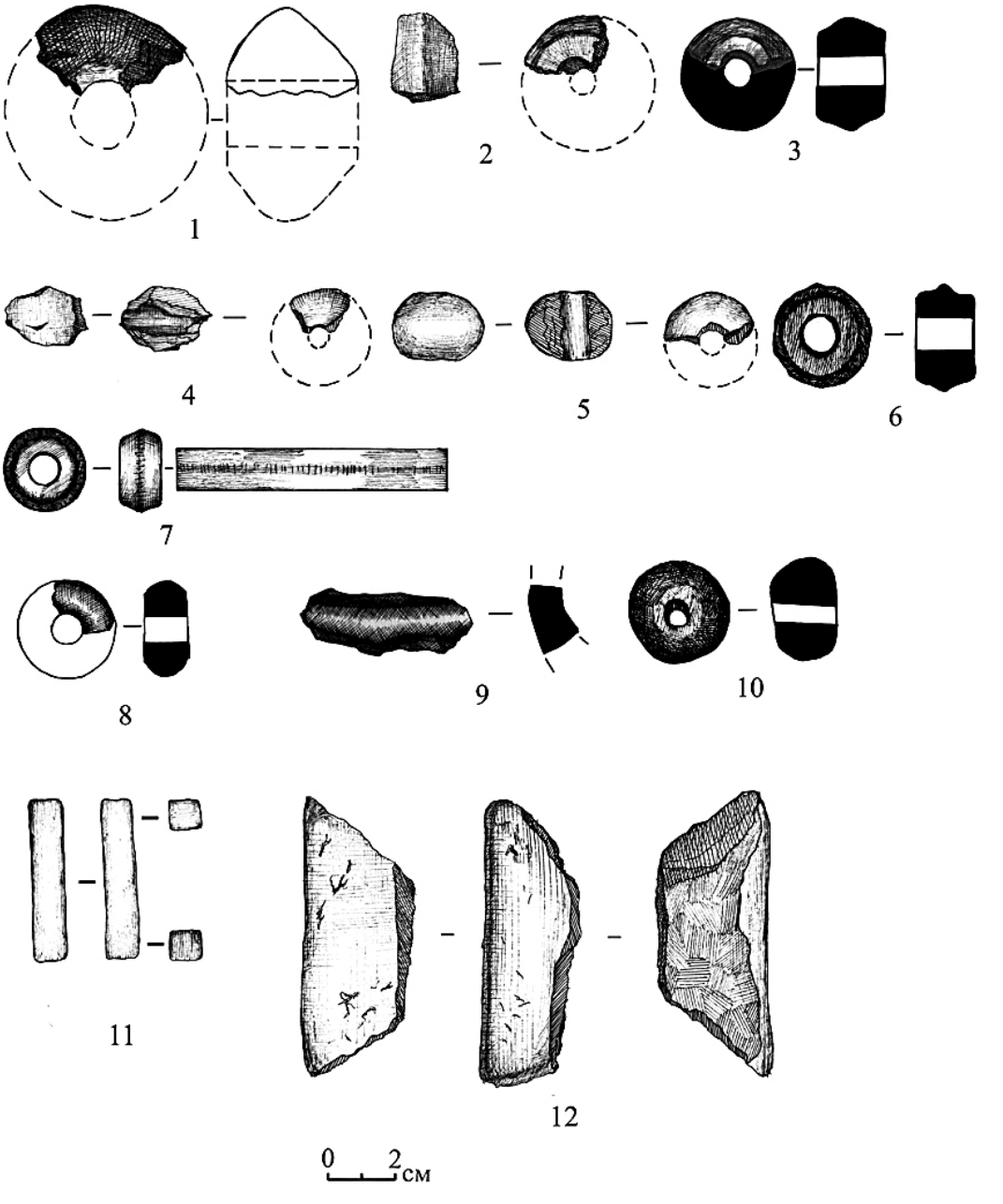

Рис. 40. Индивидуальные находки, выявленные на уровне пласта 5.
1 — грузило; 2–8, 10 — прясла; 9 — сопло; 11,12 — оселки. Материал: 1–10 — глина; 11,12 — камень. **Квадрат А1:** 10 — инв. №16199; **Квадрат А2:** 2 — инв. №16577, нив. отм. 281,3, 4 — инв. №16579, нив. отм. 279, 5 — инв. №16234, нив. отм. 276, 9 — инв. №16566; **Квадрат В1:** 3 — инв. №16567, 6 — инв. №16203, 12 — инв. №16247, нив. отм.272; **Квадрат В2:** 7 — инв. №16387, нив. отм.282, 8 — инв. №16579, нив. отм.275, 11 — инв. №16237, нив. отм.272; **Квадрат С1:** 1 — инв. №16588, 4 — инв. №16585

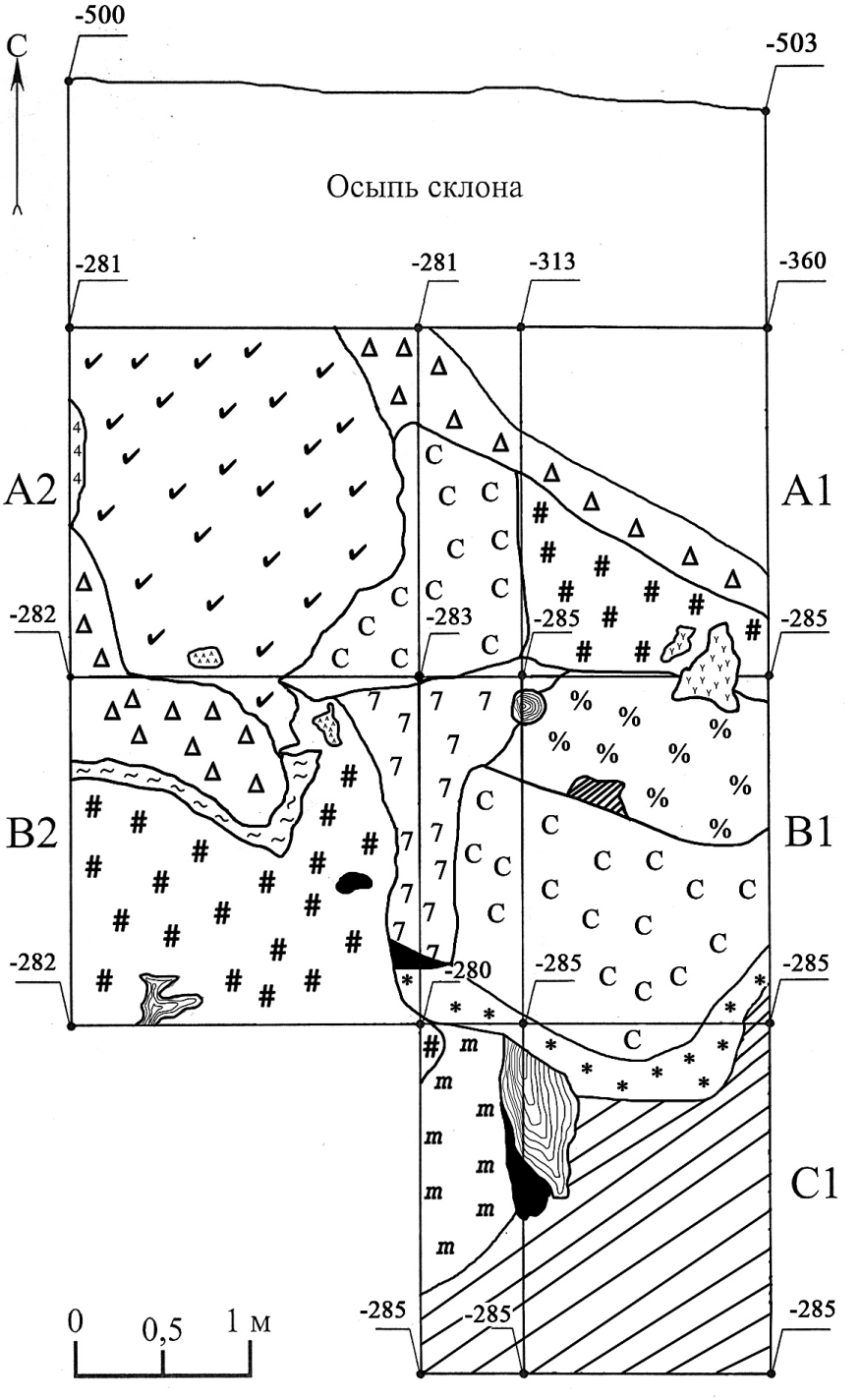

Рис. 41. Планиграфическая ситуация на уровне 5 пласта. Условные знаки на рис. 176

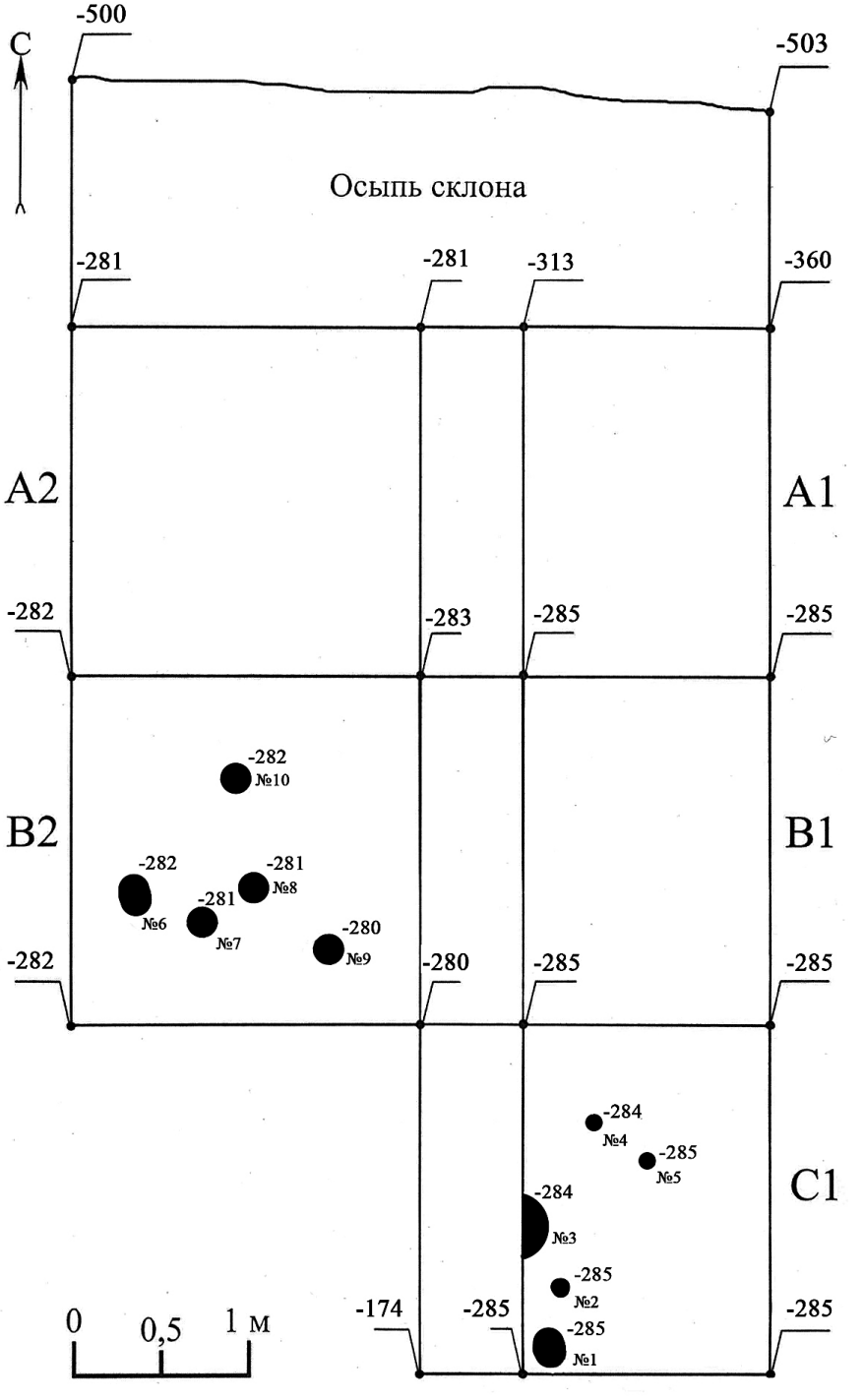

Рис. 42. Планиграфия столбовых ям, выявленных на уровне 5 пласта

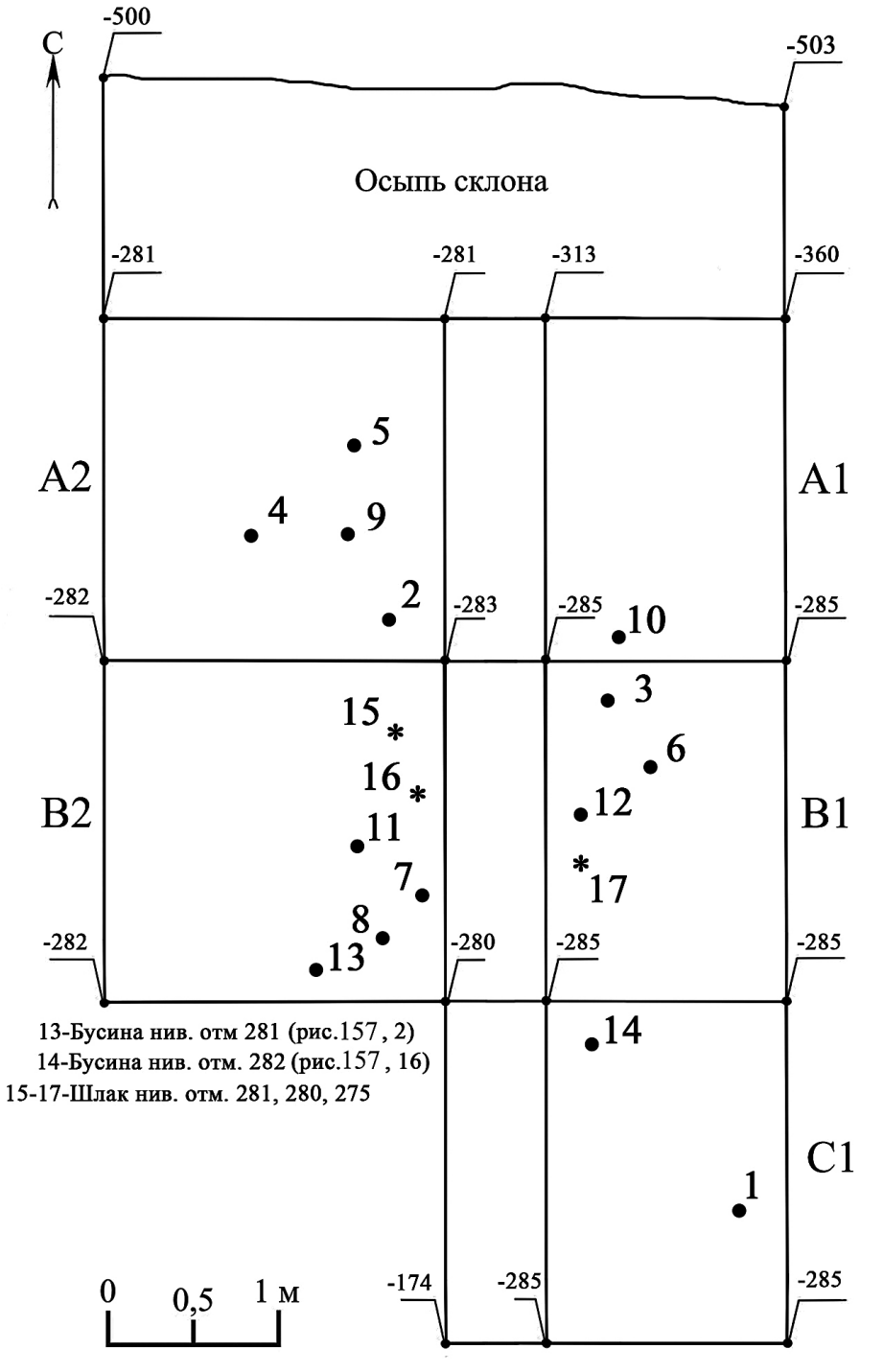

Рис. 43. Планиграфия индивидуальных находок 5 пласта. Нумерация соответствует рис. 40

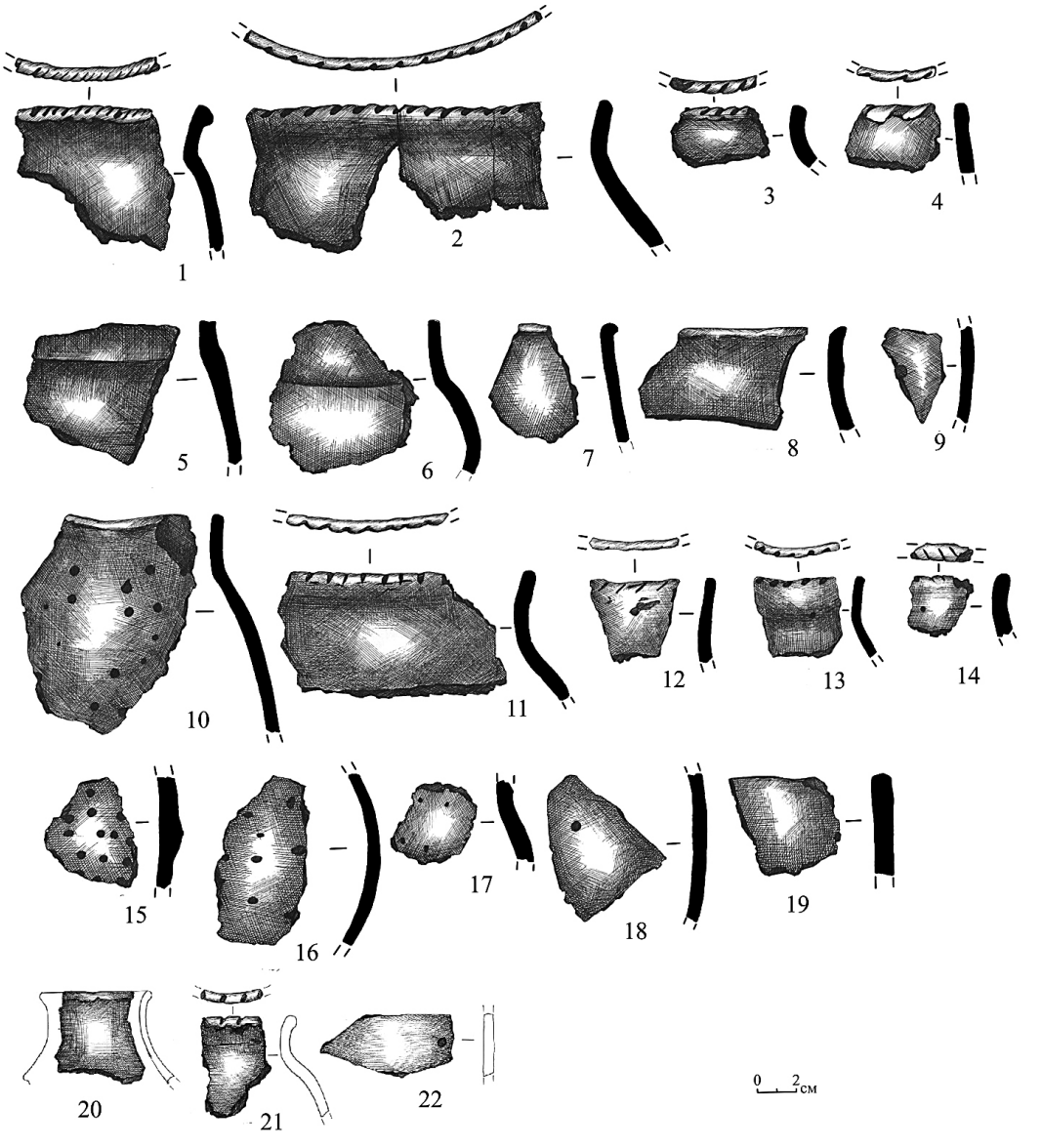

Рис. 44. Керамика, выявленная на уровне пласта 5.
Квадрат В1: 2 — инв. №2864, 5 — инв. №2962, 9 — инв. №2834, 18 — инв. №2829; **Квадрат В2:** 4 — инв. №2441, 7 — инв. №2407, 8 — инв. №2899, 10 — инв. №2446, 11 — инв. №2433, 12 — инв. №2428, 13 — инв. №2434, 14 — инв. №2438, 15 — инв. №2464, 16 — инв. №2489, 17 — инв. №2485, 19 — инв. №2917, 20 — инв. №4495, 21 — инв. №4497, 22 — инв. №4498; **Квадрат С1:** 1 — инв. №2527, 3 — инв. №2526, 6 — инв. №2689

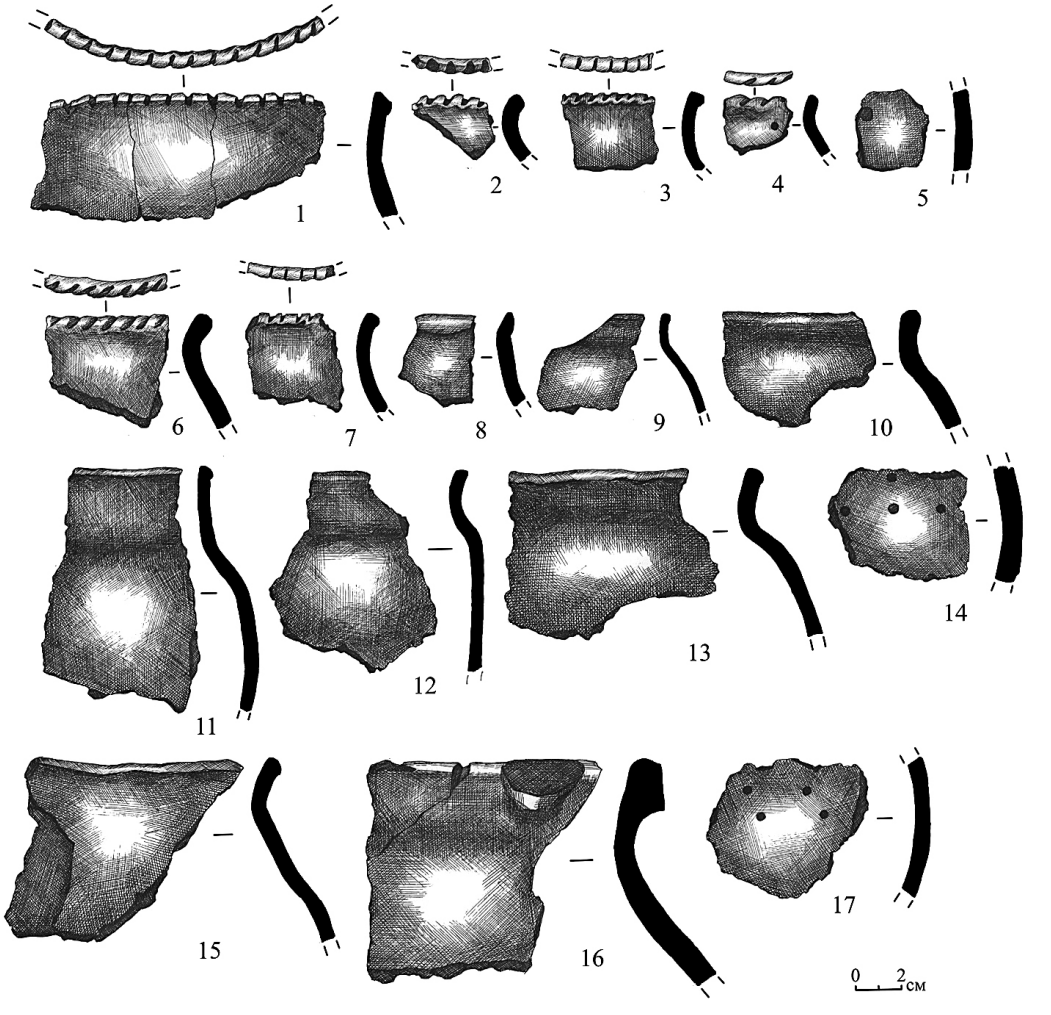

Рис. 45. Керамика, выявленная на уровне пласта 5 (продолжение).
Квадрат А2: 5 — инв. №3063, 10 — инв. №3068; **Квадрат В1:** 1 — инв. №2860, 2 — инв. №2858, 3 — инв. №2956, 4 — инв. №2853, 6 — инв. №2854, 7 — инв. №2857, 13 — инв. №2835, 15 — инв. №2845, 16 — инв. №2838; **Квадрат В2:** 8 — инв. №2405, 9 — инв. №2423, 11 — инв. №2414, 12 — инв. №2413, 14 — инв. №2513, 17 — инв. №2501

Рис. 46. Пласт 6. Линия квадратов С1-В1. Вид с юга

Рис. 47. Пласт 6. Квадрат В2. Вид с запада

Рис. 48. Пласт 6. Квадрат А2. Вид с запада

Рис. 49. Пласт 6. Квадрат А2, развал сосуда (рис. 50). Вид с севера

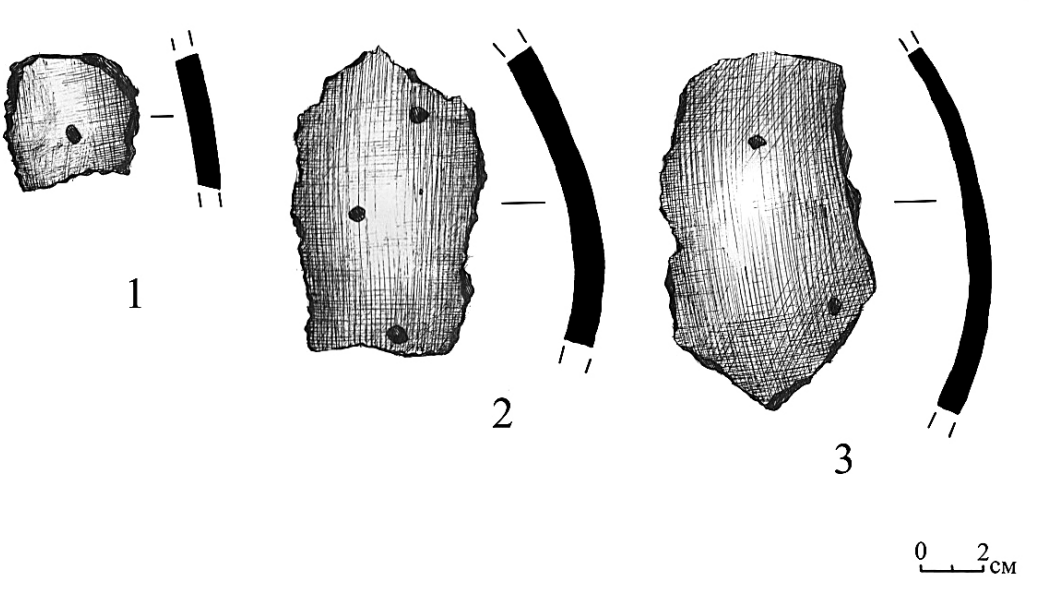

Рис. 50. Развал сосуда, выявленный в квадрате А2 на уровне пласта 6 (нив. отм. 306).
1 — инв. №16361, 2 — инв. №16356, 3 — инв. №16357

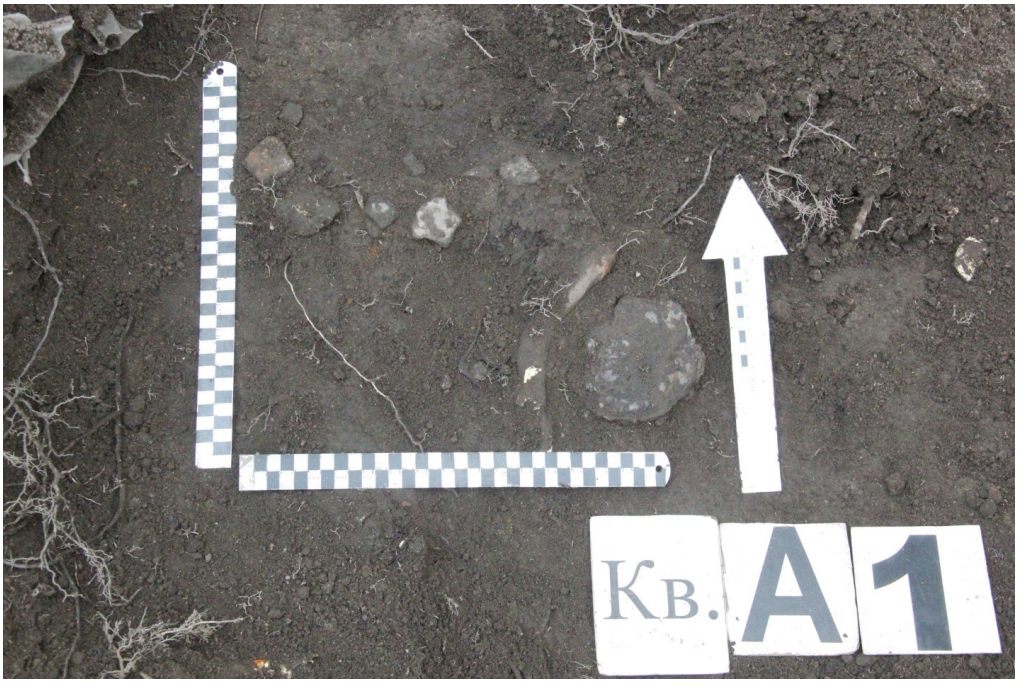

Рис. 51. Пласт 6. Квадрат А1, развал сосуда (рис. 52). Вид с юга

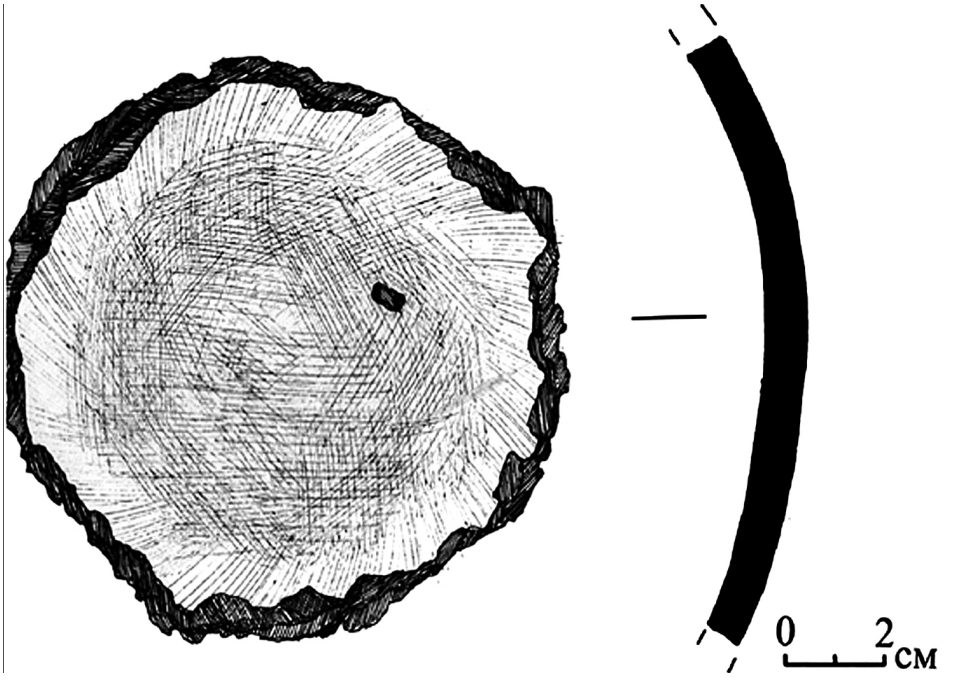

Рис. 52. Развал сосуда, выявленный в квадрате А1 на уровне пласта 6 (нив. отм. 302). Инв. №16366

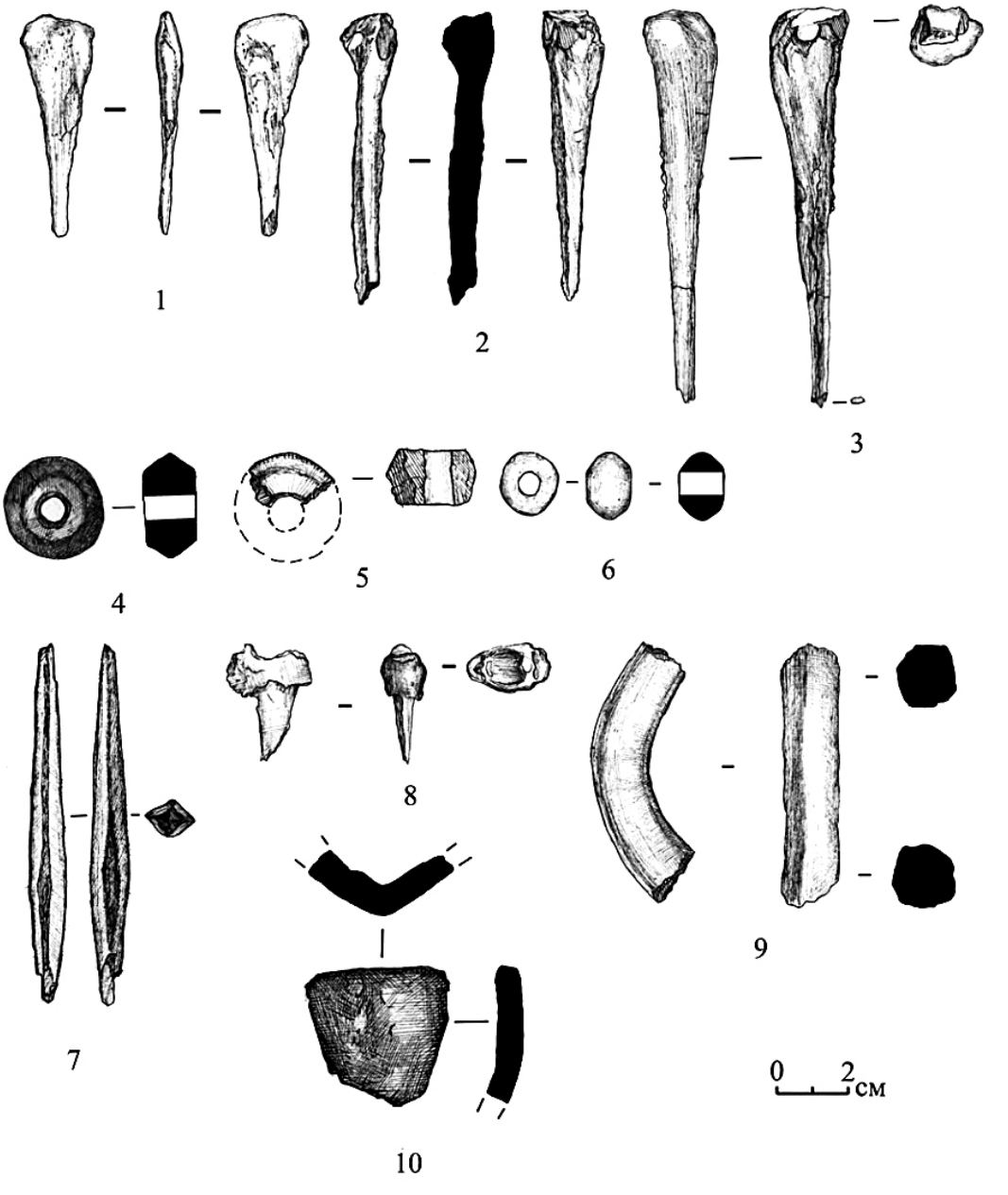

Рис. 53. Индивидуальные находки, выявленные на уровне пласта 6.
1–3 — проколки; 4–6 — прясла; 7 — наконечник стрелы; 8 — подлвеска-амулет; 9 — ручки кувшина фрагмент; 10 — льячка. Материал: 1–3,7 — кость; 4–6,9,10 — глина; 8 — коготь. **Квадрат А1:** 1 — инв. №16239, нив. отм. 295; **Квадрат А2:** 2 — инв. №16222, нив. отм. 306, 8 — инв. №16711, нив. отм. 306; **Квадрат В2:** 6 — инв. №16229, нив. отм. 307, 7 — инв. №16262, 9 — инв. №16220, нив. отм.307, 10 — инв. №16578; **Квадрат С1:** 3 — инв. №16224, нив. отм.307, 4 — инв. №16301, нив. отм.314, 5 — инв. №16231, нив. отм. 321

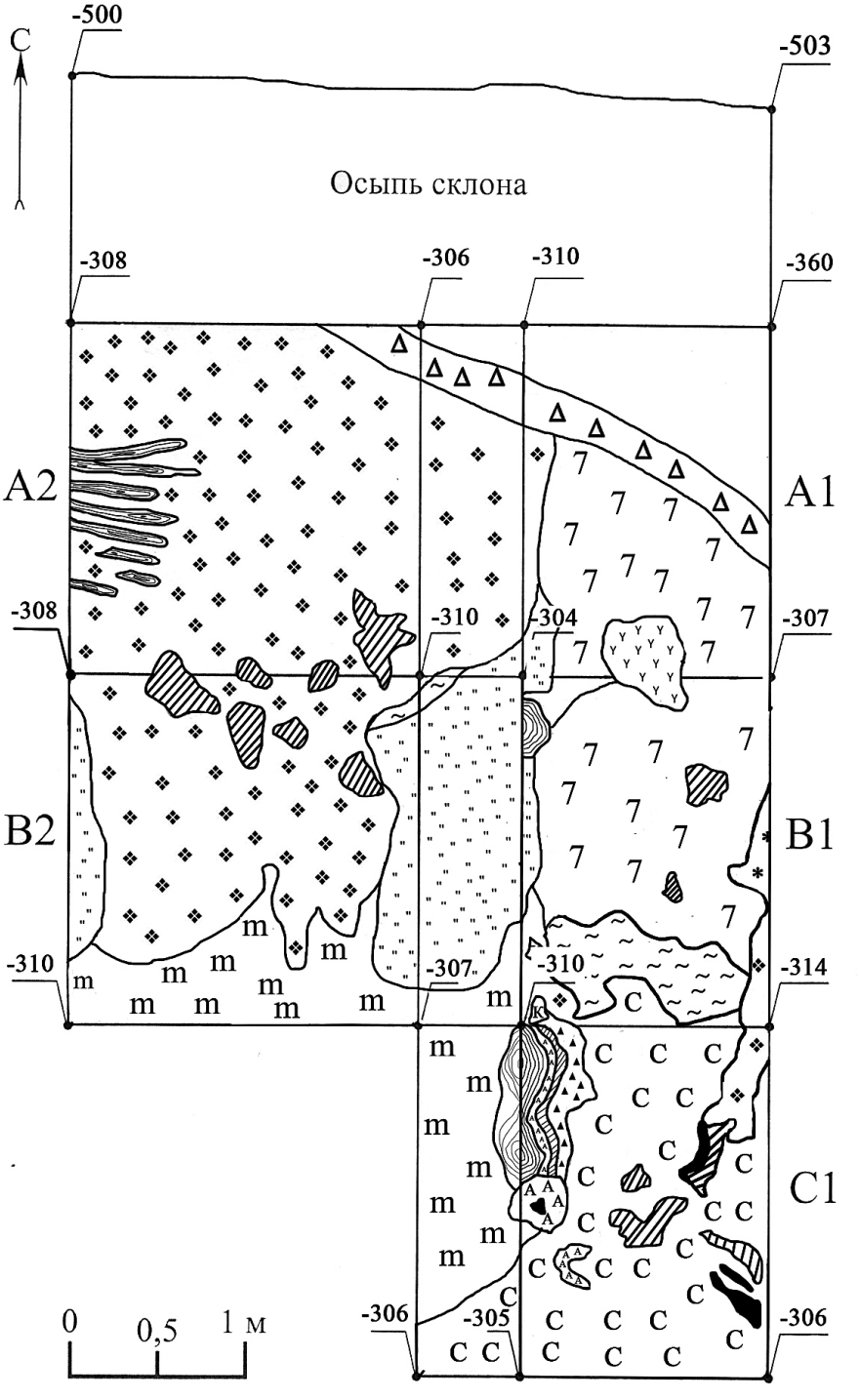

Рис. 54. Планиграфическая ситуация на уровне 6 пласта. Условные знаки на рис. 176

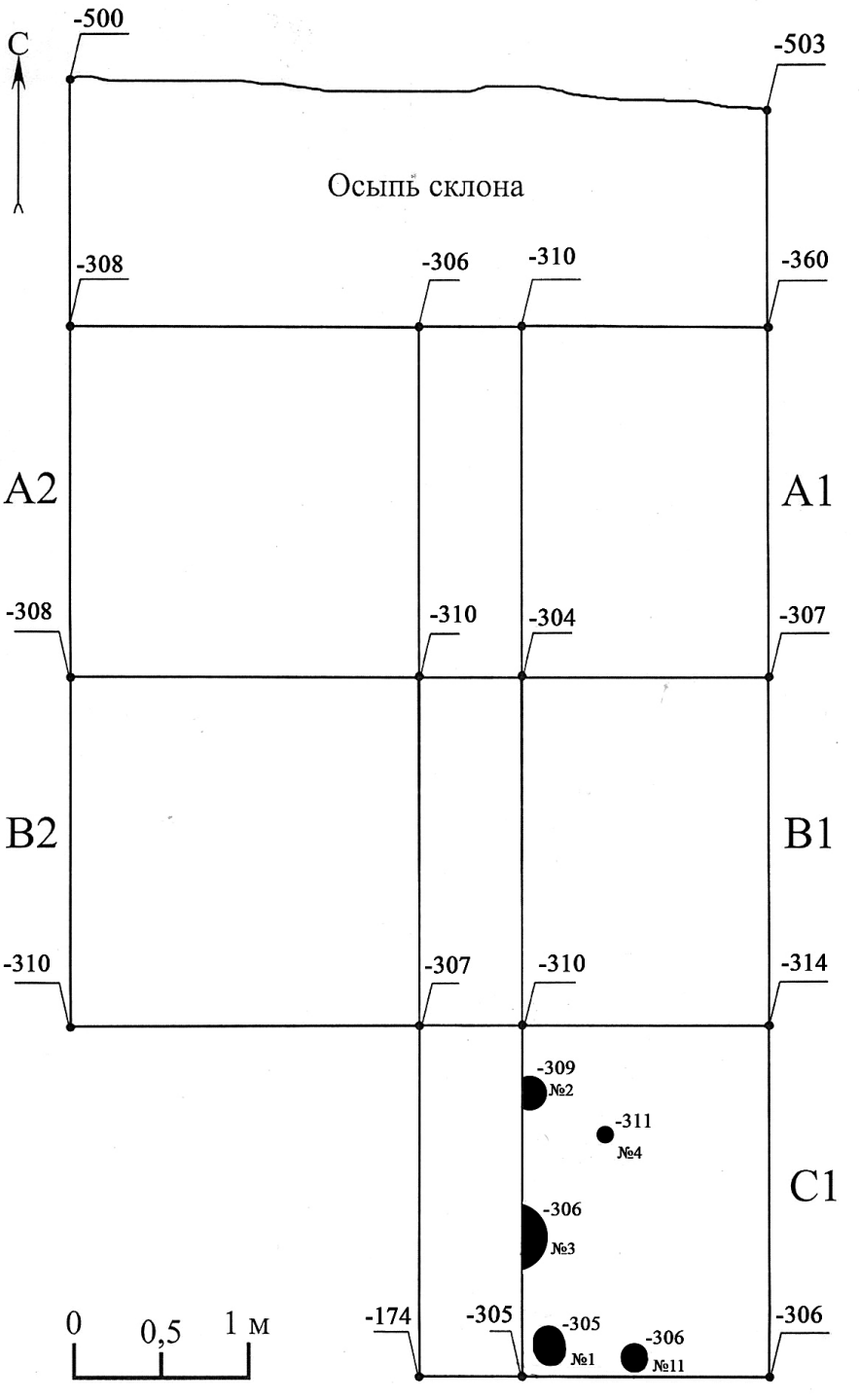

Рис. 55. Планиграфия столбовых ям выявленных на уровне 6 пласта

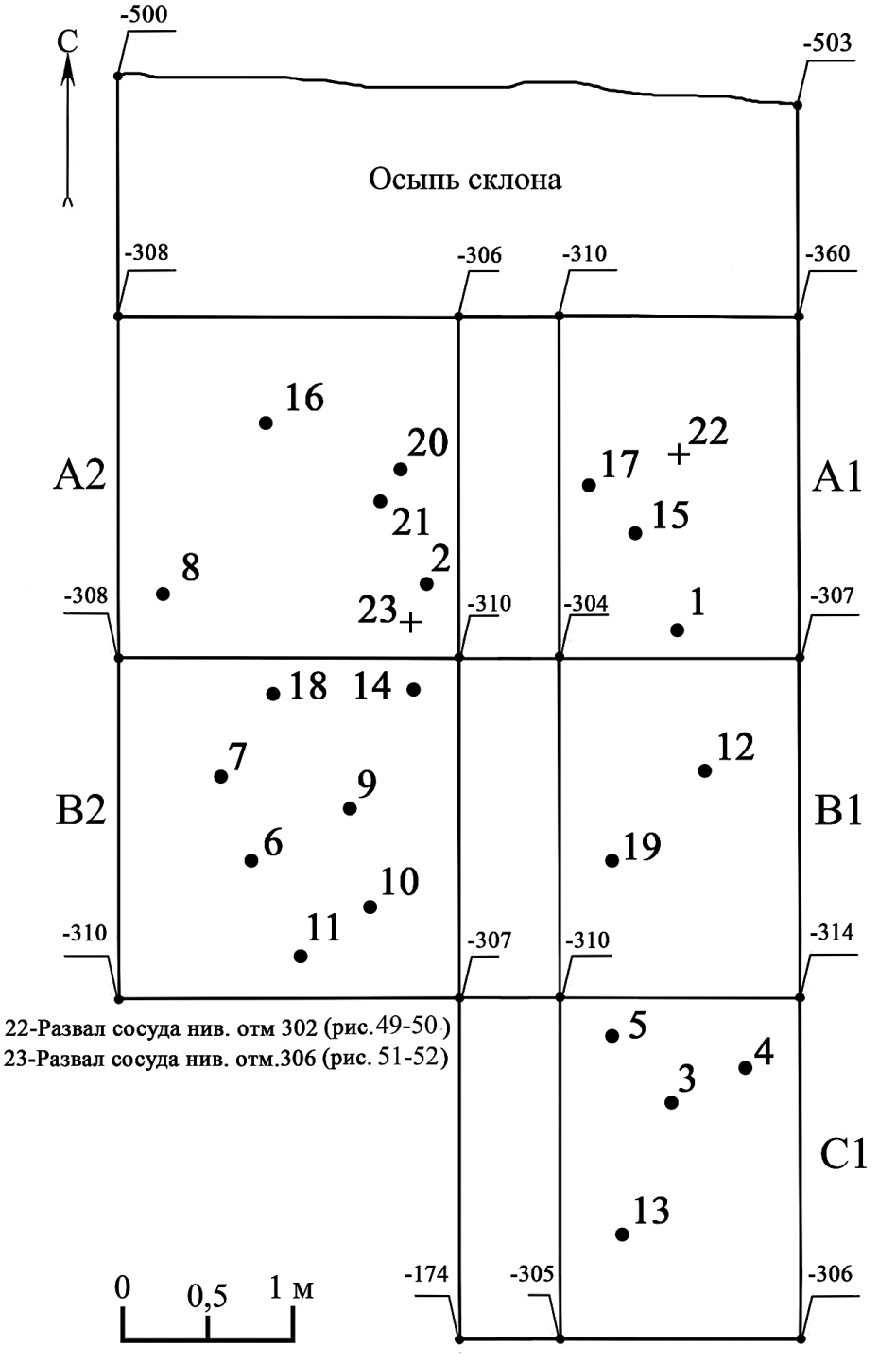

Рис. 56. Планиграфия индивидуальных находок 6 пласта. Нумерация соответствует рис. 53 и 57

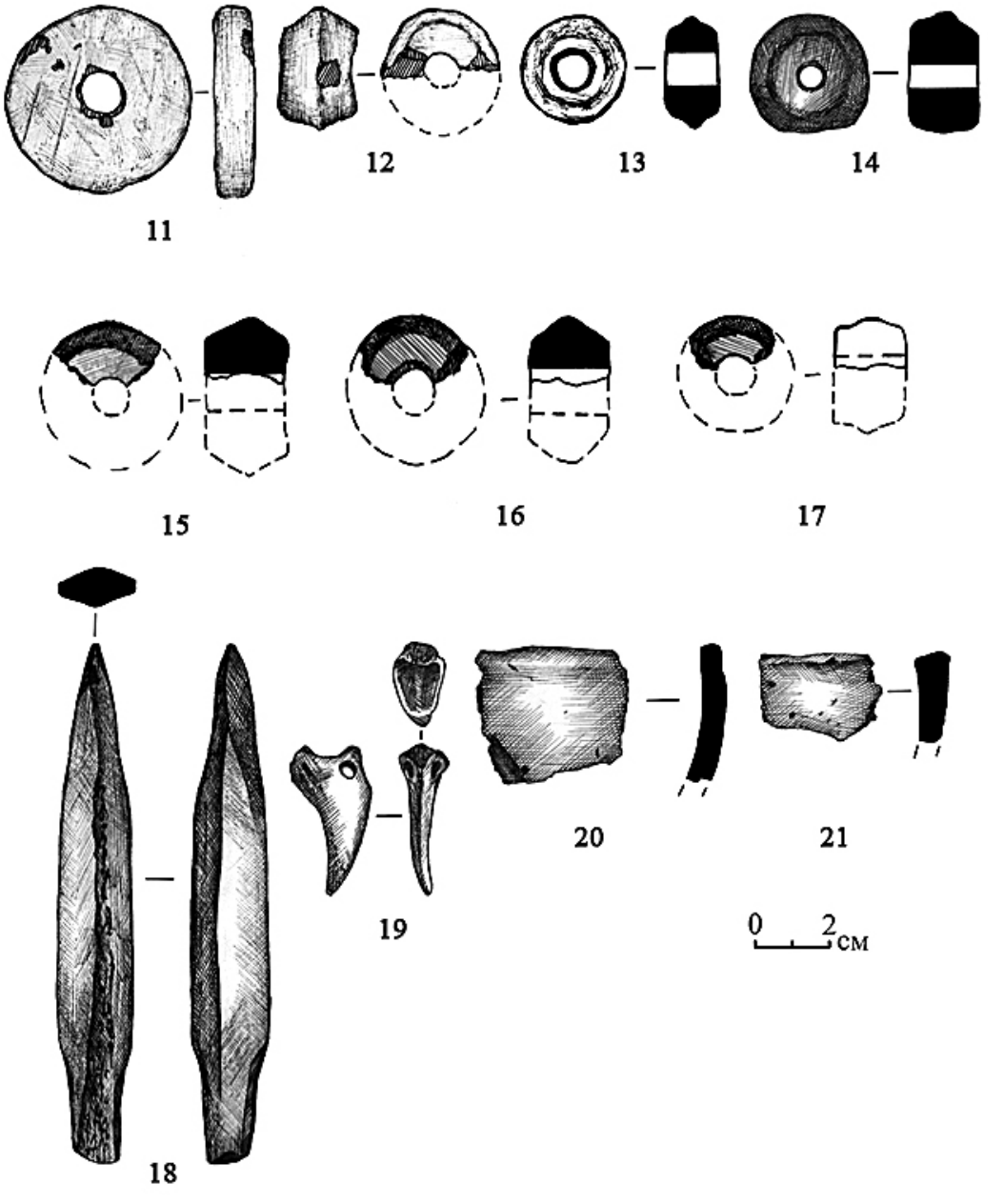

Рис. 57. Индивидуальные находки, выявленные на уровне пласта 6 (продолжение рис. 53).
11–17 — прясла; 18 — наконечник стрелы; 19 — подвеска-амулет; 20,21 — фрагменты керамических сосудов мазунинской культуры. Материал: 11–17,20,21 — глина; 18 — кость; 19 — коготь. **Квадрат А1:** 15 — инв. №16179, 17 — инв. №16213; **Квадрат А2:** 16 — инв. №16214, 20 — инв. №3989, 21 — инв. №3991; **Квадрат В1:** 12 — инв. №16232, нив. отм. 314, 19 — инв. №16719; **Квадрат В2:** 11 — инв. №16228, нив. отм. 305, 14 — инв. №16215, 18 — инв. №16164; **Квадрат С1:** 13 — инв. №16301, нив. отм.314, 17 — инв. №2501

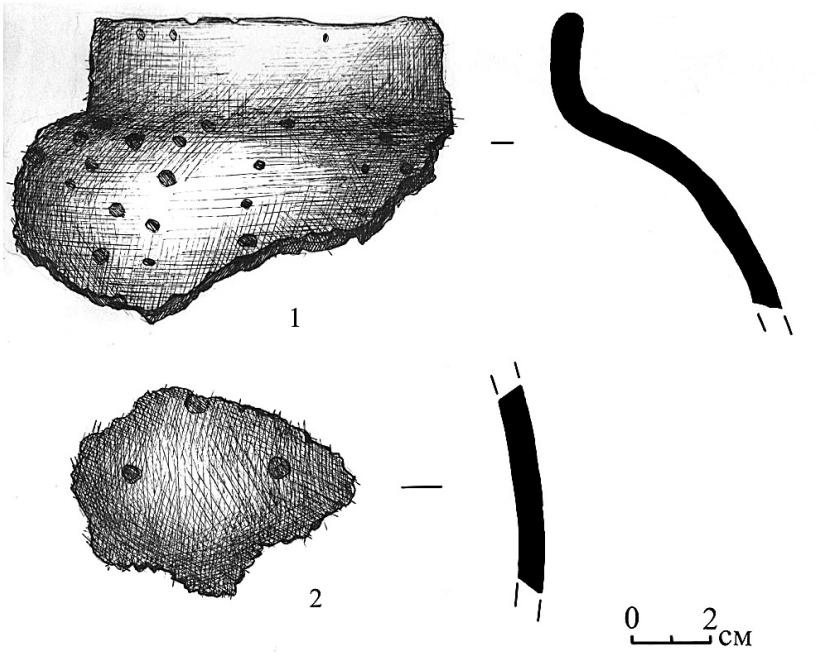

Рис. 58. Развал сосуда, выявленный в квадрате А1 на уровне пласта 6 (нив. отм. 302). 1 — инв. №16551, 2 — инв. №16555

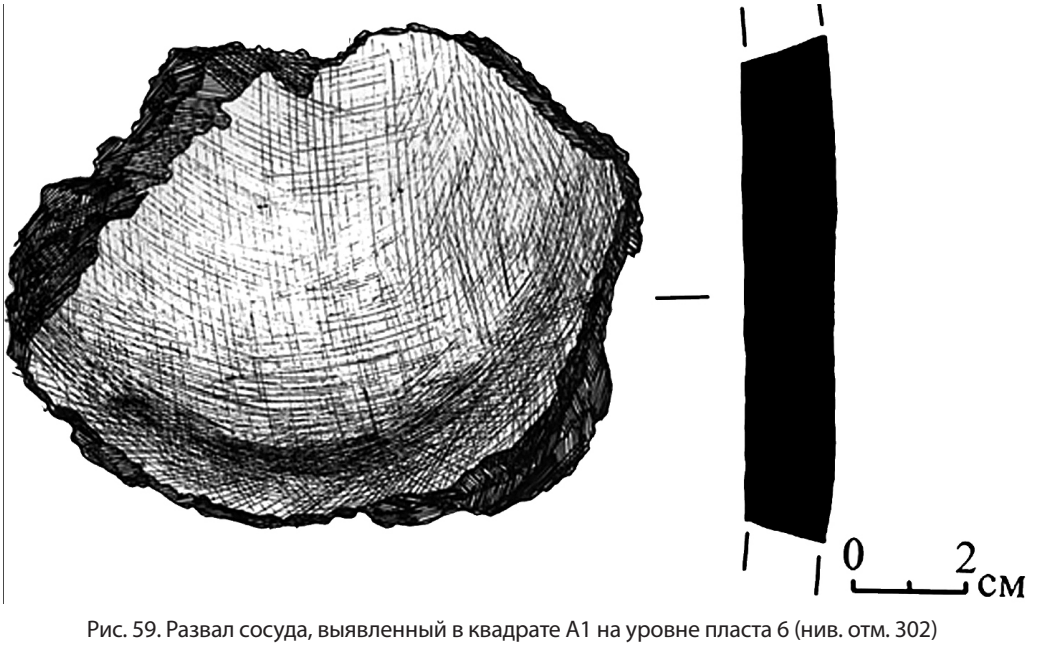

Рис. 59. Развал сосуда, выявленный в квадрате А1 на уровне пласта 6 (нив. отм. 302) (продолжение рис. 58). Инв. №16480

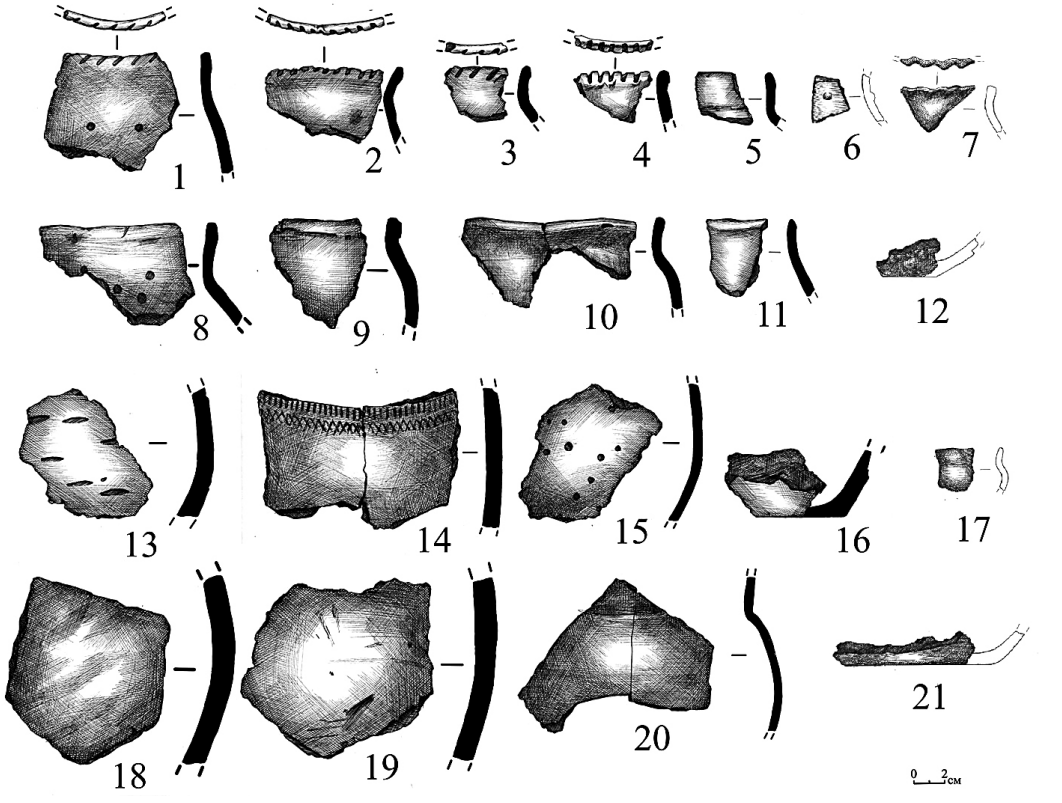

Рис. 60. Керамика, выявленная на уровне пласта 6.

Квадрат А1: 12 — инв. №3066; **Квадрат А2:** 2 — инв. №3492, 3 — инв. №3485, 4 — инв. №3490, 6 — инв. №3598, 7 — инв. №3486, 8 — инв. №3984, 11 — инв. №3515, 17 — инв. №3510, 19 — инв. №3894, 20 — инв. №3890; **Квадрат В1:** 9 — инв. №2976, 13 — инв. №1325, 18 — инв. №3169; **Квадрат В2:** 5 — инв. №3286, 10 — инв. №3232, 14 — инв. №3263, 15 — инв. №3171, 16 — инв. №3230, 21 — инв. №3227; **Квадрат С1:** 1 — инв. №2988

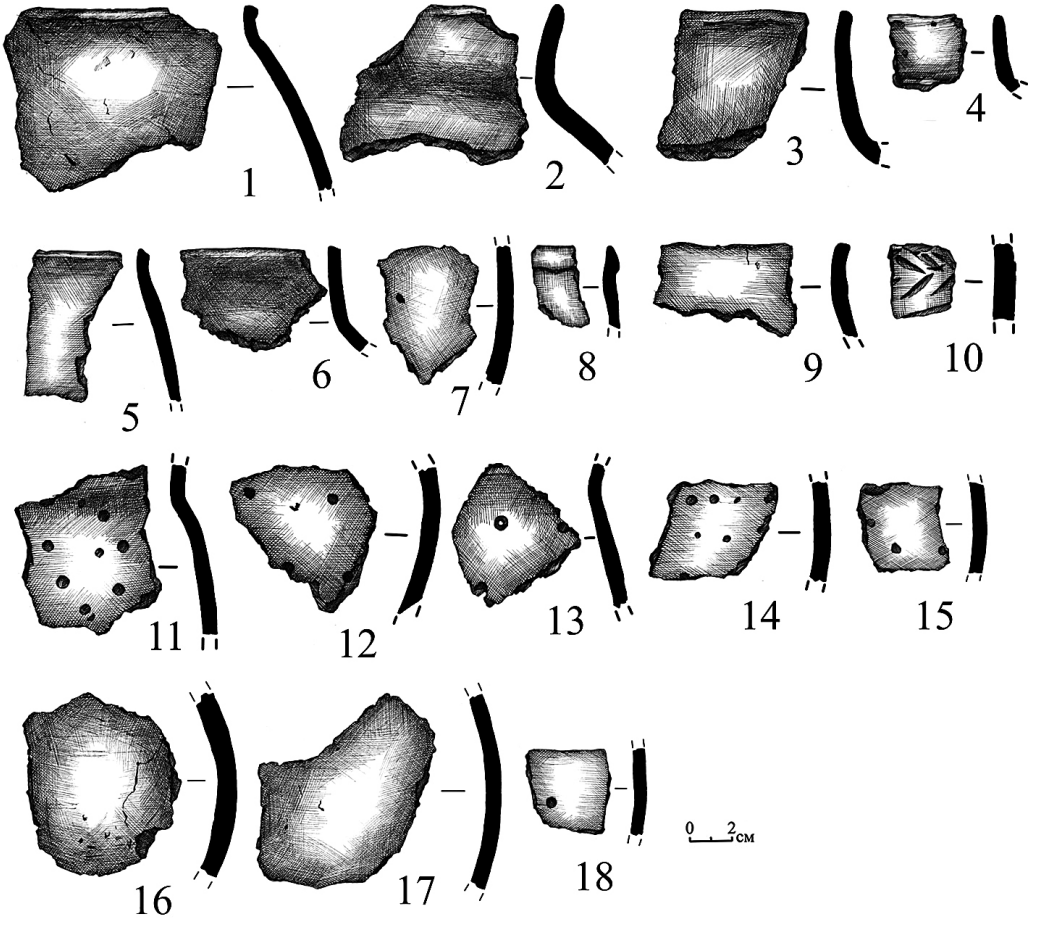

Рис. 61. Керамика, выявленная на уровне пласта 6 (продолжение).
Квадрат А2: 2 — инв. №3517, 4 — инв. №3496, 5 — инв. №3992, 10 — инв. №3638, 13 — инв. №3519, 18 — инв. №3528; **Квадрат В1:** 7 — инв. №3114, 8 — инв. №3113, 9 — инв. №1309, 12 — инв. №3418, 16 — инв. №3126; **Квадрат В2:** 1 — инв. №3233, 3 — инв. №3241, 11 — инв. №3262, 14 — инв. №3270, 17 — инв. №3428; **Квадрат С1:** 6 — инв. №2987, 15 — инв. №2985

Рис. 62. Пласт 7. Линия квадратов С1-А1 вид с юга

Рис. 63. Пласт 7. Линия квадратов B2-A2. Вид с юга

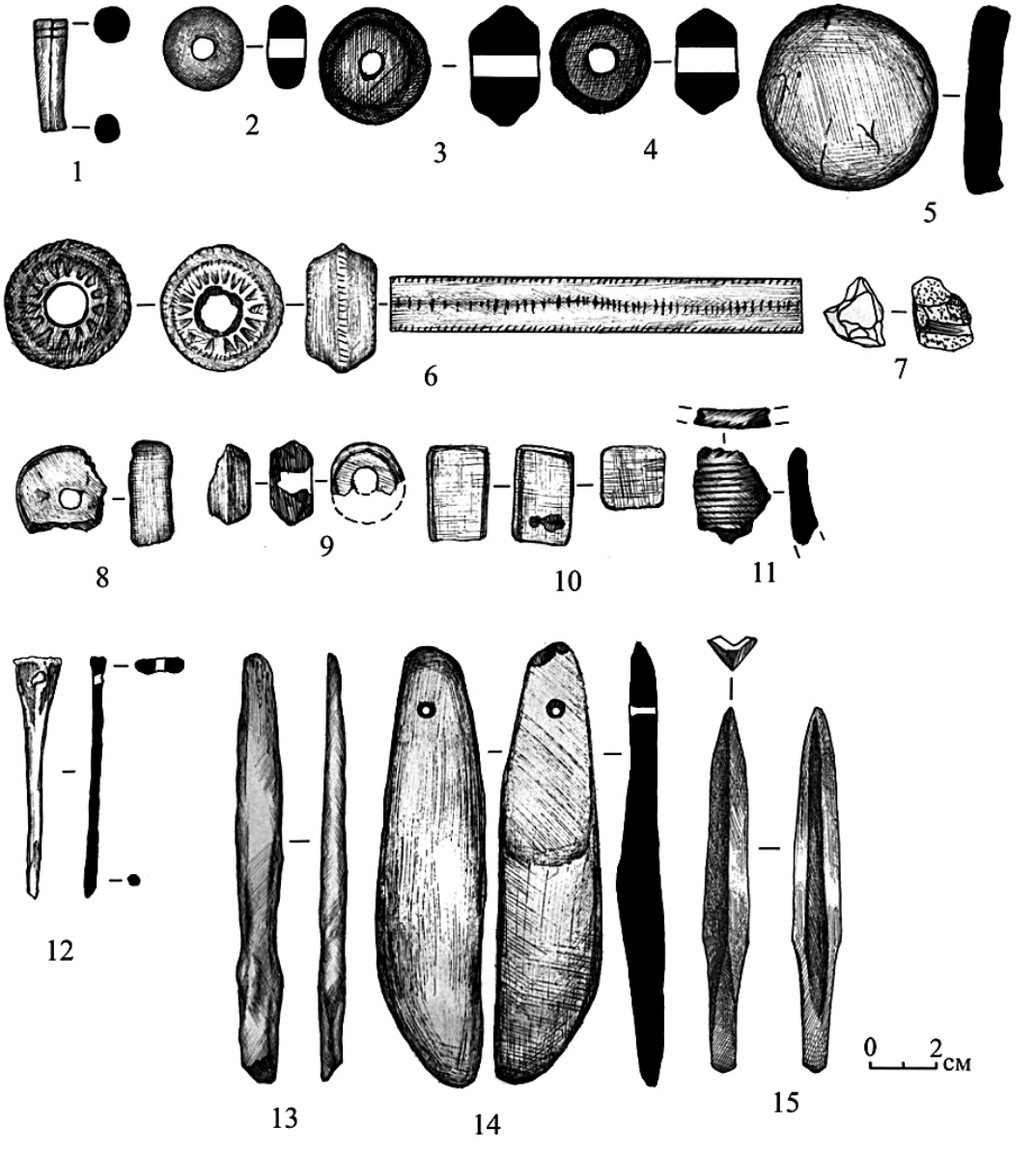

Рис. 64. Индивидуальные находки, выявленные на уровне пласта 7.
1 — пронизь; 2–4,6,8,9 — прясла; 5 — диск; 7 — нуклеус; 10 — оселок; 11 — фрагмент сосуда кушнаренковской культуры; 12 — подвеска-амулет; 13 — заготовка стрелы; 14 — оселок; 15 — наконечник стрелы. Материал: 1 — металл; 2–6,8,9,11 — глина; 7,14 — камень; 12,13,15 — кость. **Квадрат А1:** 4 — инв. №16173, 8 — инв. №16271, 15 — инв. №16737; **Квадрат А2:** 1 — ив. №16712, 2 — инв. №16270, 6 — инв. №16270, нив. отм. 327, 9 — инв. №16288, нив. отм. 325; **Квадрат В1:** 3 — инв. №16168; **Квадрат В2:** 10 — инв. №16738, 11 — инв. №16371, 12 — инв. №16295, 13 — инв. №16166; **Квадрат С1:** 5 — инв. №16170, 7 — инв. №16186, 14 — инв. №16165

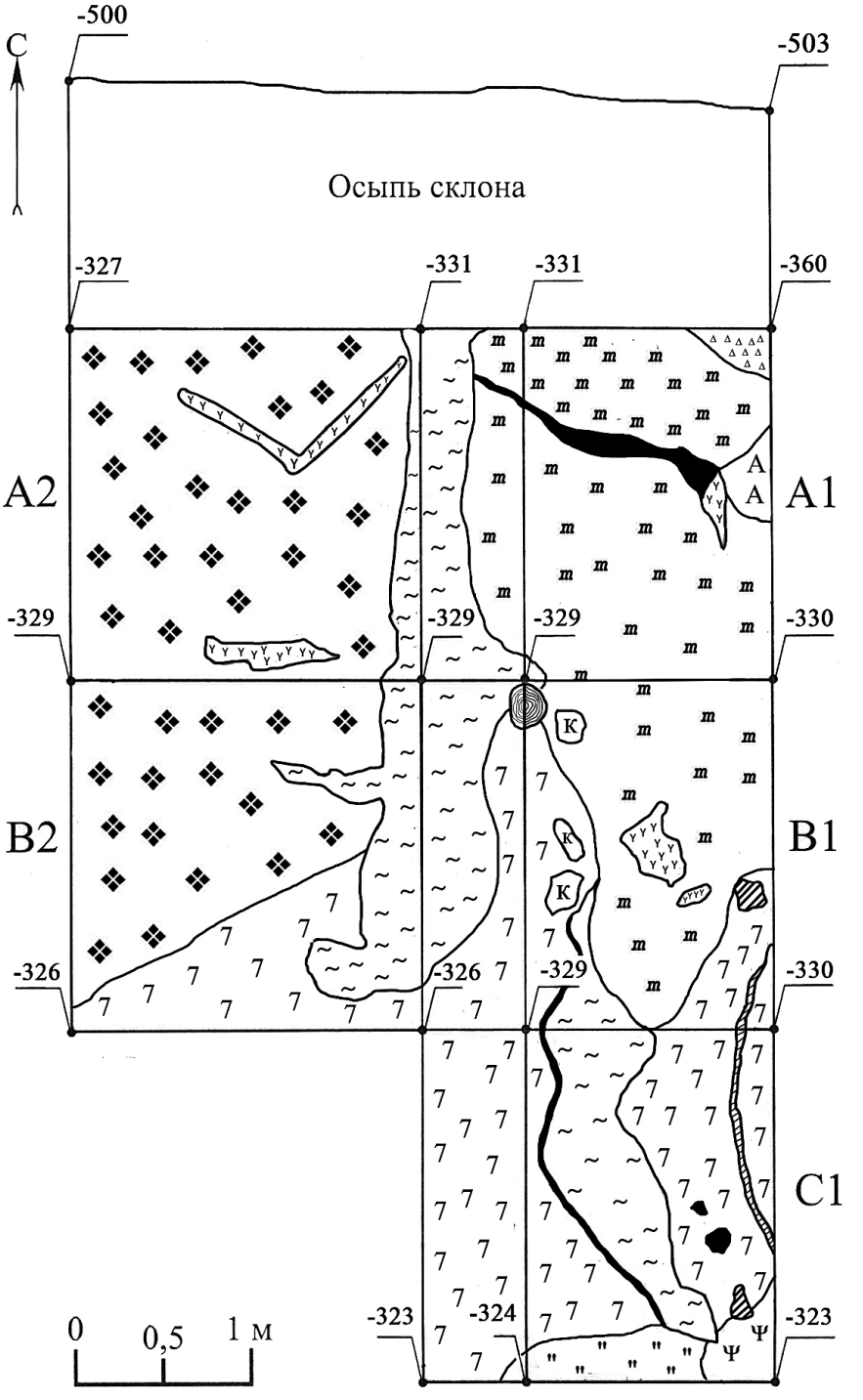

Рис. 65. Планиграфическая ситуация на уровне 7 пласта. Условные знаки на рис. 176

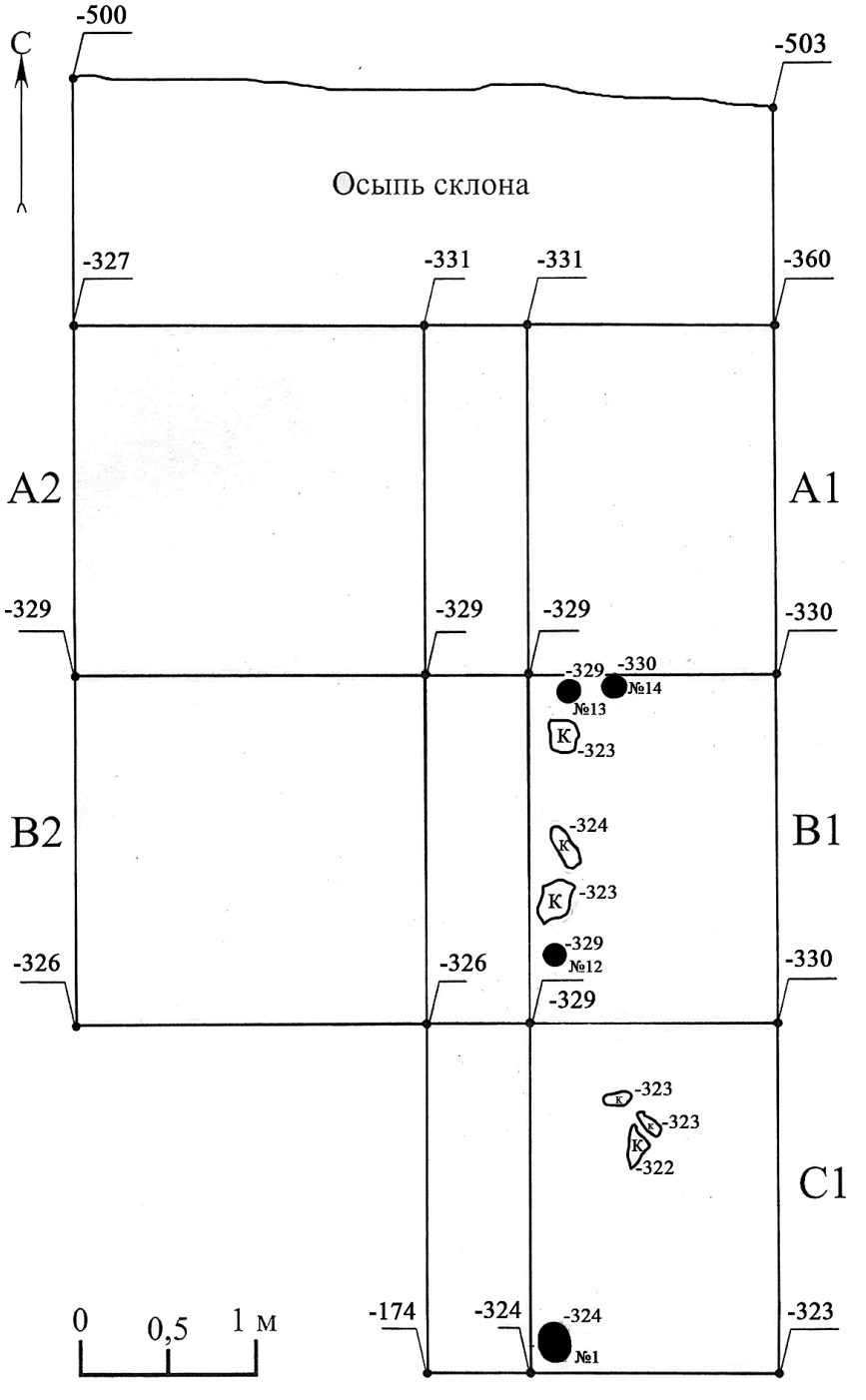

Рис. 66. Планиграфия столбовых ям и камней, выявленных на уровне 7 пласта

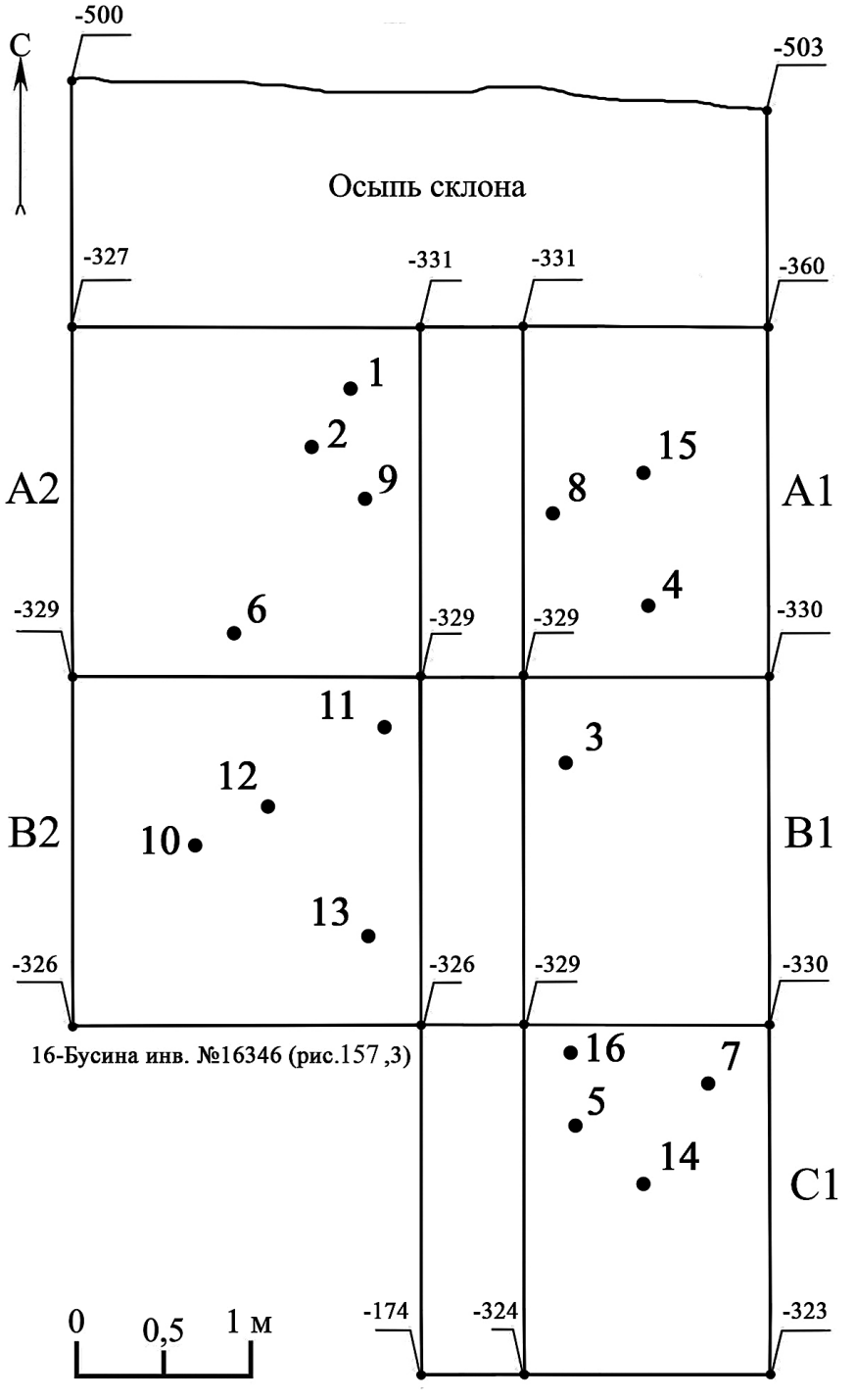

Рис. 67. Планиграфия индивидуальных находок 7 пласта. Нумерация соответствует рис. 64

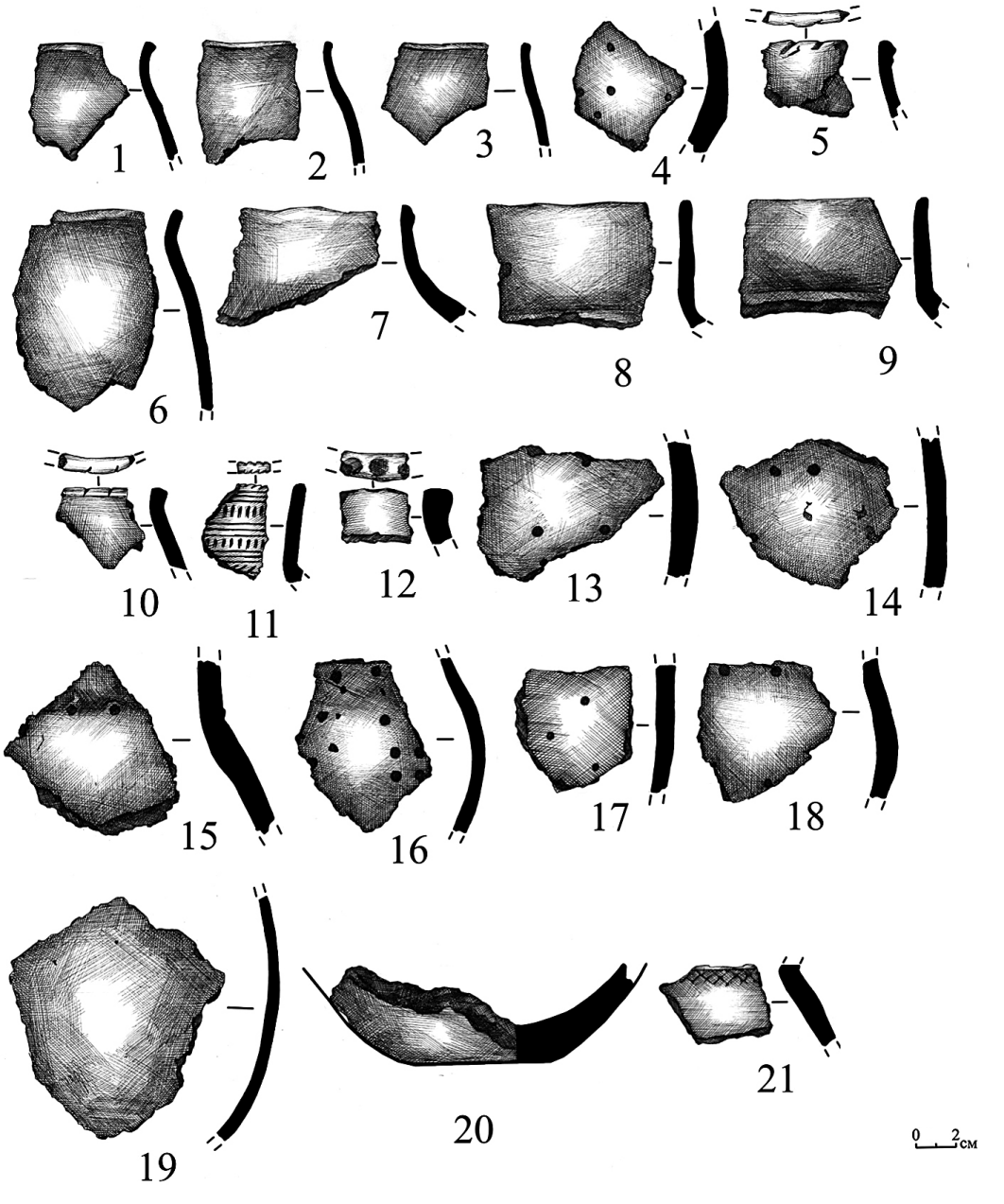

Рис. 68. Керамика, выявленная на уровне пласта 7.
Квадрат А2: 10 — инв. №4413, 11 — инв. №4408, 12 — инв. №4415; **Квадрат В1:** 1 — инв. №4465, 4 — инв. №4146, 5 — инв. №4156, 8 — инв. №4152, 9 — инв. №4154, 15 — инв. №4143, 16 — инв. №4134, 20 — инв. №4149; **Квадрат В2:** 2 — инв. №4464, 3 — инв. №4462, 6 — инв. №4460, 13 — инв. №4434, 14 — инв. №4425, 18 — инв. №4430, 20 — инв. №4149, 21 — инв. №4445; **Квадрат С1:** 7 — инв. №4030, 17 — инв. №4124, 19 — инв. №4037

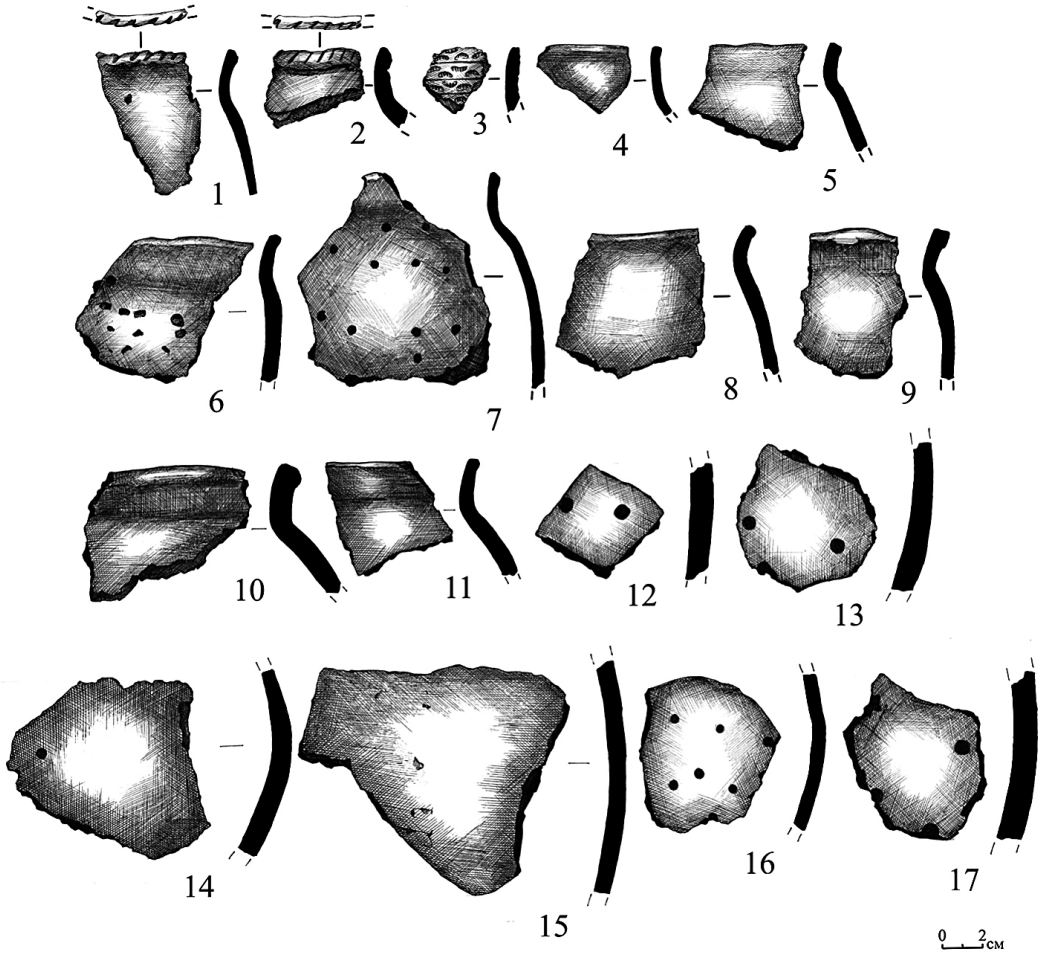

Рис. 69. Керамика, выявленная на уровне пласта 7 (продолжение).
Квадрат А2: 15 — инв. №4002; **Квадрат А2:** 3 — инв. №4910, 4 — инв. №4239, 5 — инв. №4235, 9 — инв. №4234, 12 — инв. №4249, 13 — инв. №4257, 17 — инв. №4256; **Квадрат С1:** 1 — инв. №4028, 2 — инв. №4027; Бровка: 6 — инв. №15201, 7 — инв. №16156, 8 — инв. №15161, 10 — инв. №15158, 11 — инв. №15157, 14 — инв. №15164, 16 — инв. №15182

Рис. 70. Пласт 8. Линия квадратов В2-А2 вид с юга

Рис. 71. Пласт 8. Линия квадратов С1-А1 вид с юга

Рис. 72. Пласт 8. Квадрат В2, развал сосуда (рис. 73). Вид с севера

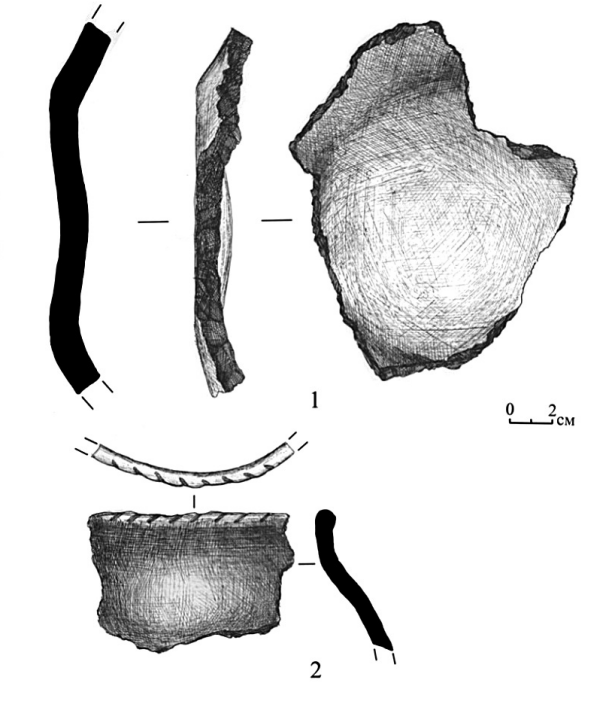

Рис. 73. Развал сосуда, выявленный в квадрате В2 на уровне пласта 8 (нив. отм. 339).
1 — инв. №16385, 2 — инв. №16374

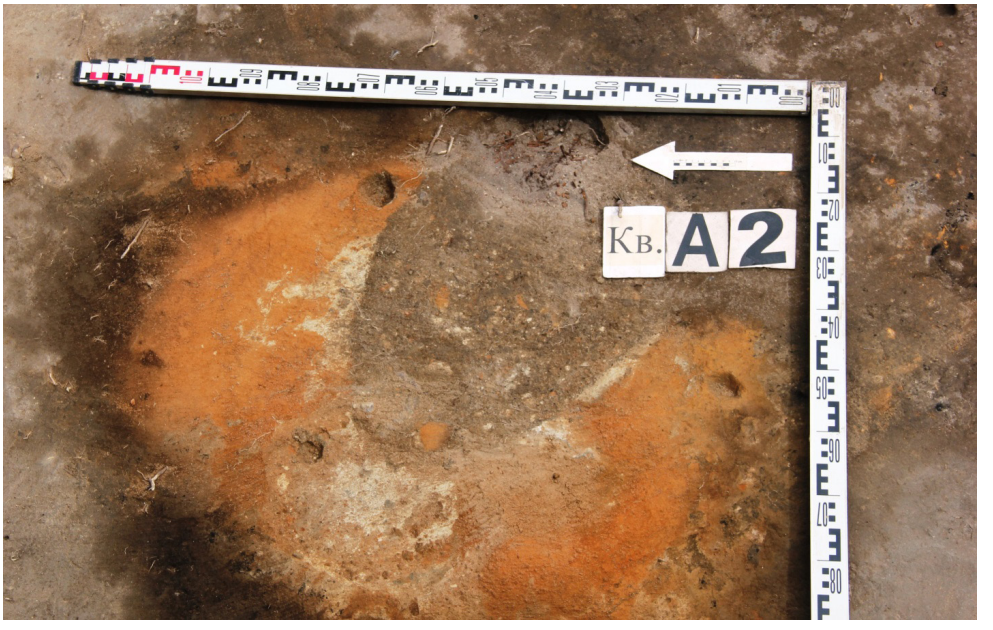

Рис. 74. Пласт 8. Квадрат А2. Очажный комплекс №1. Вид с запада

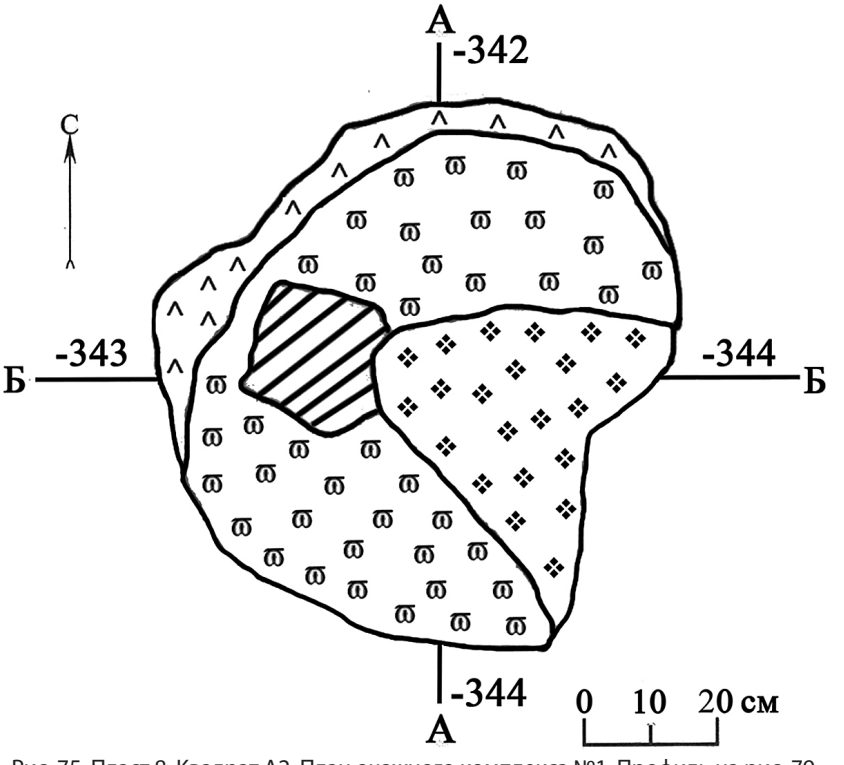

Рис. 75. Пласт 8. Квадрат А2. План очажного комплекса №1. Профиль на рис. 79

Рис. 76. Пласт 8. Квадрат А2. Очажный комплекс №1 после выборки 20 см по линии юг-север. Вид с востока

Рис. 77. Пласт 8. Квадрат А2. Очажный комплекс №1 после снятия 10 и 20 см. Вид с запада

Рис. 78. Пласт 8. Квадрат А2. Очажный комплекс №1 после снятия 10 см. Вид с востока

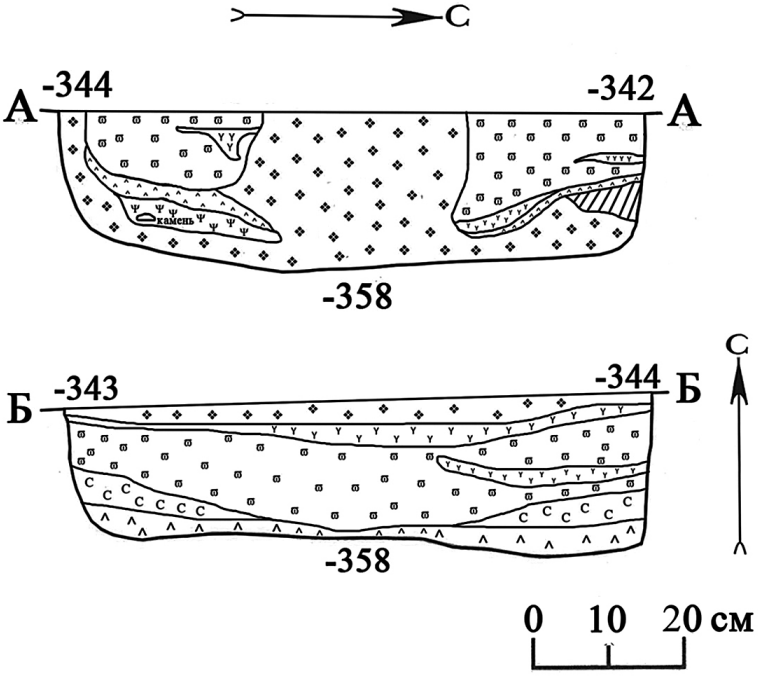

Рис. 79. Пласт 8. Квадрат А2. Профиль очажного комплекса №1. План на рис. 75

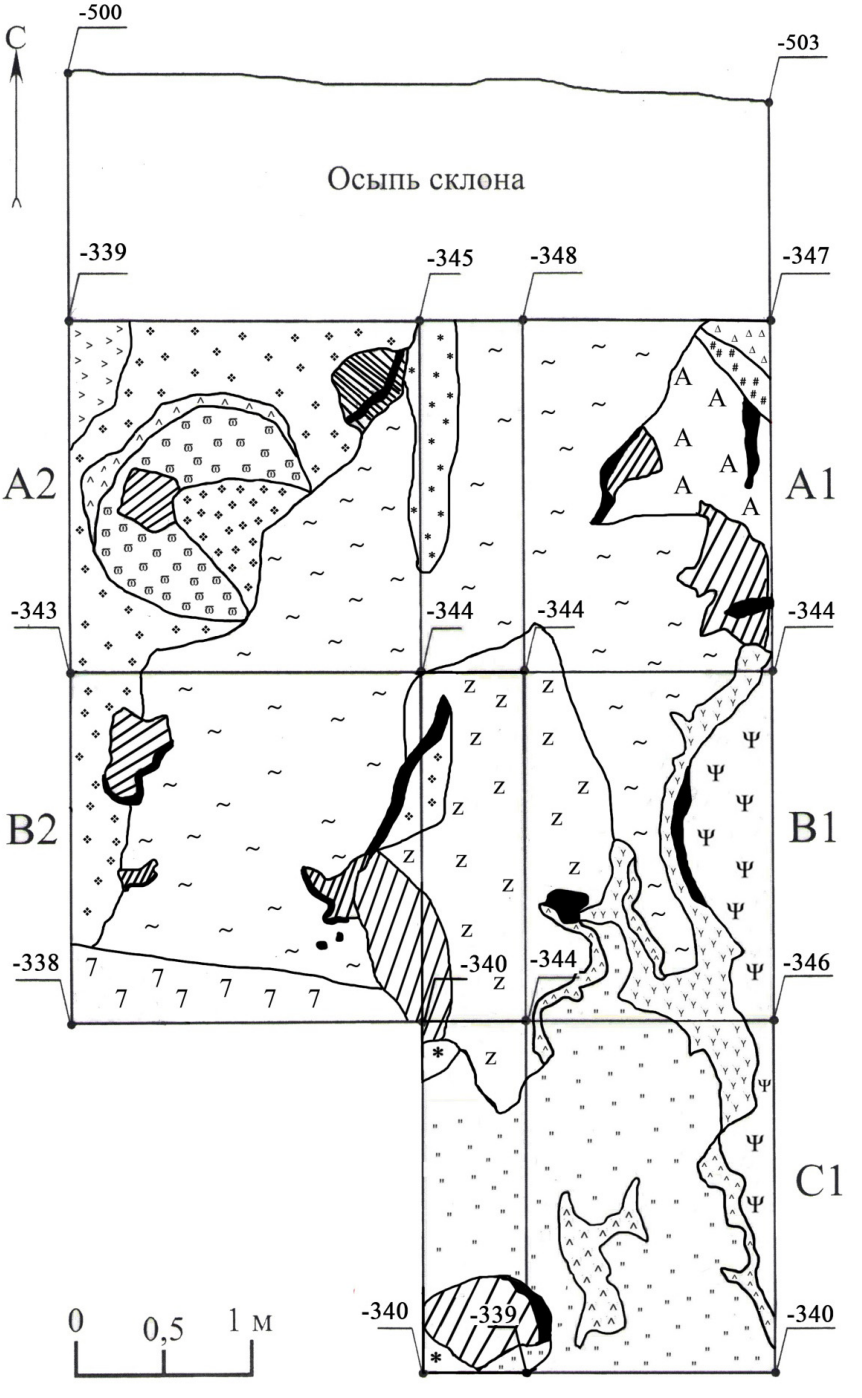

Рис. 80. Планиграфическая ситуация на уровне 8 пласта. Условные знаки на рис. 176

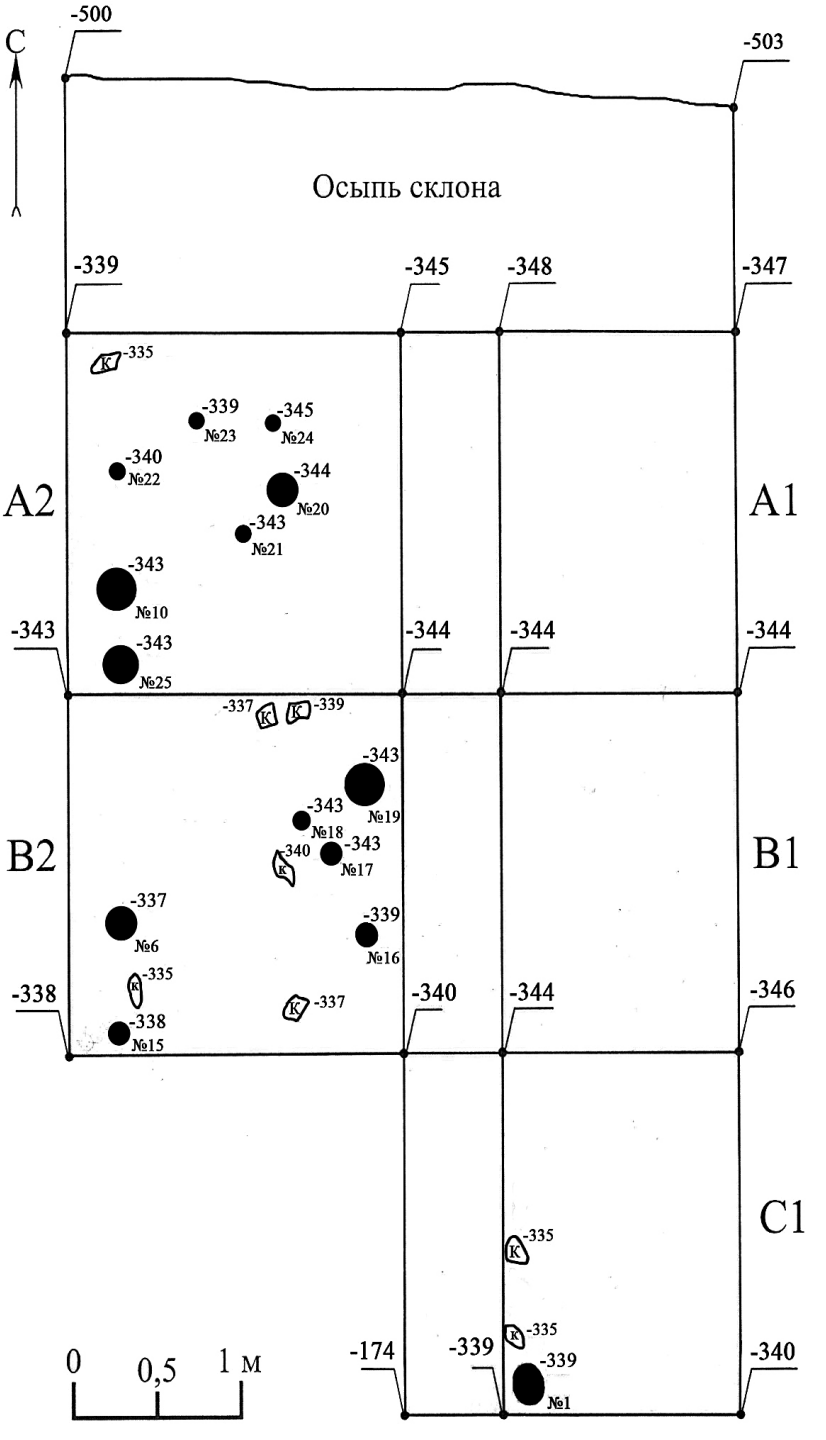

Рис. 81. Планиграфия столбовых ям и камней, выявленных на уровне 8 пласта

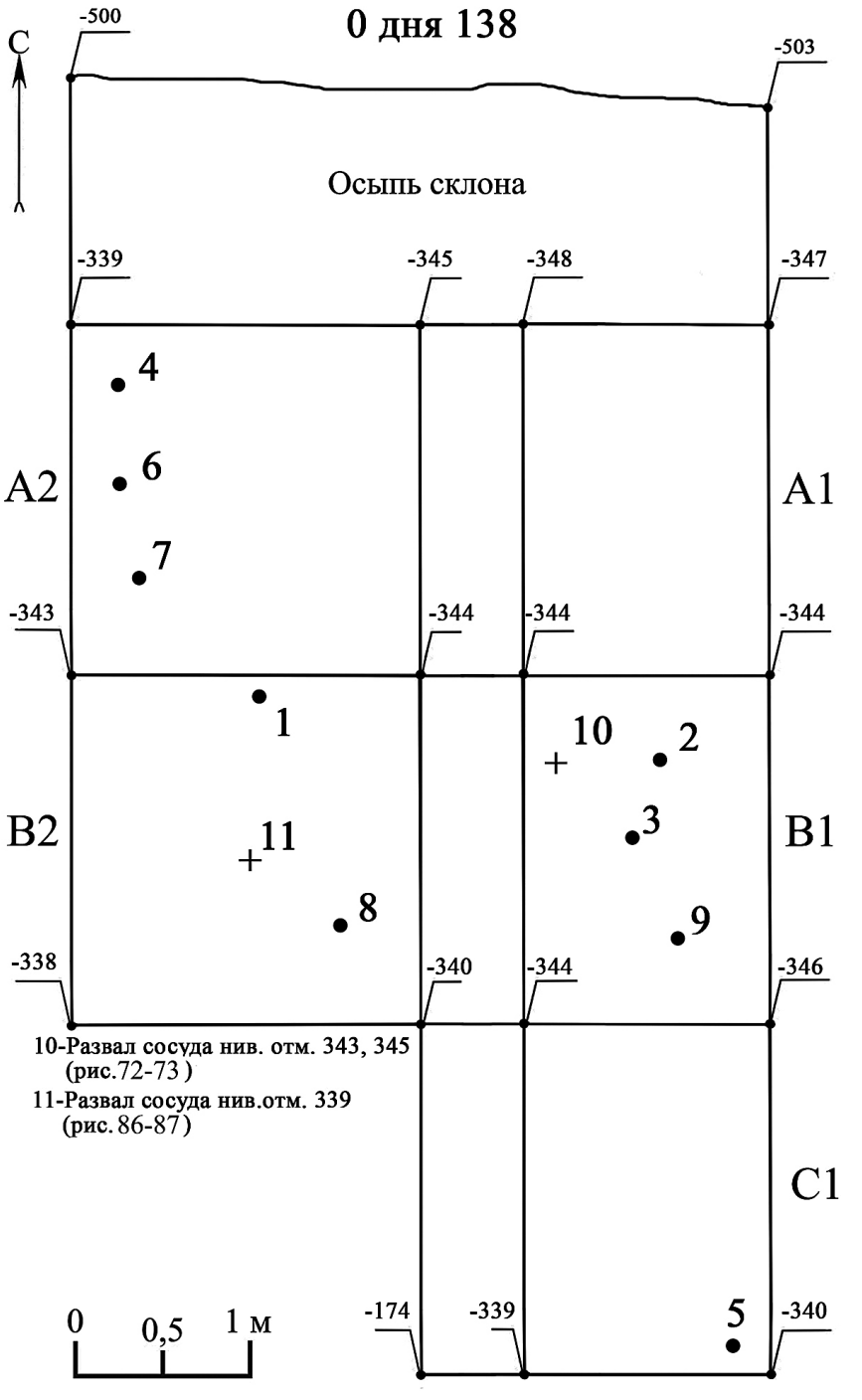

Рис. 82. Планиграфия индивидуальных находок 8 пласта.
Нумерация соответствует рис. 83

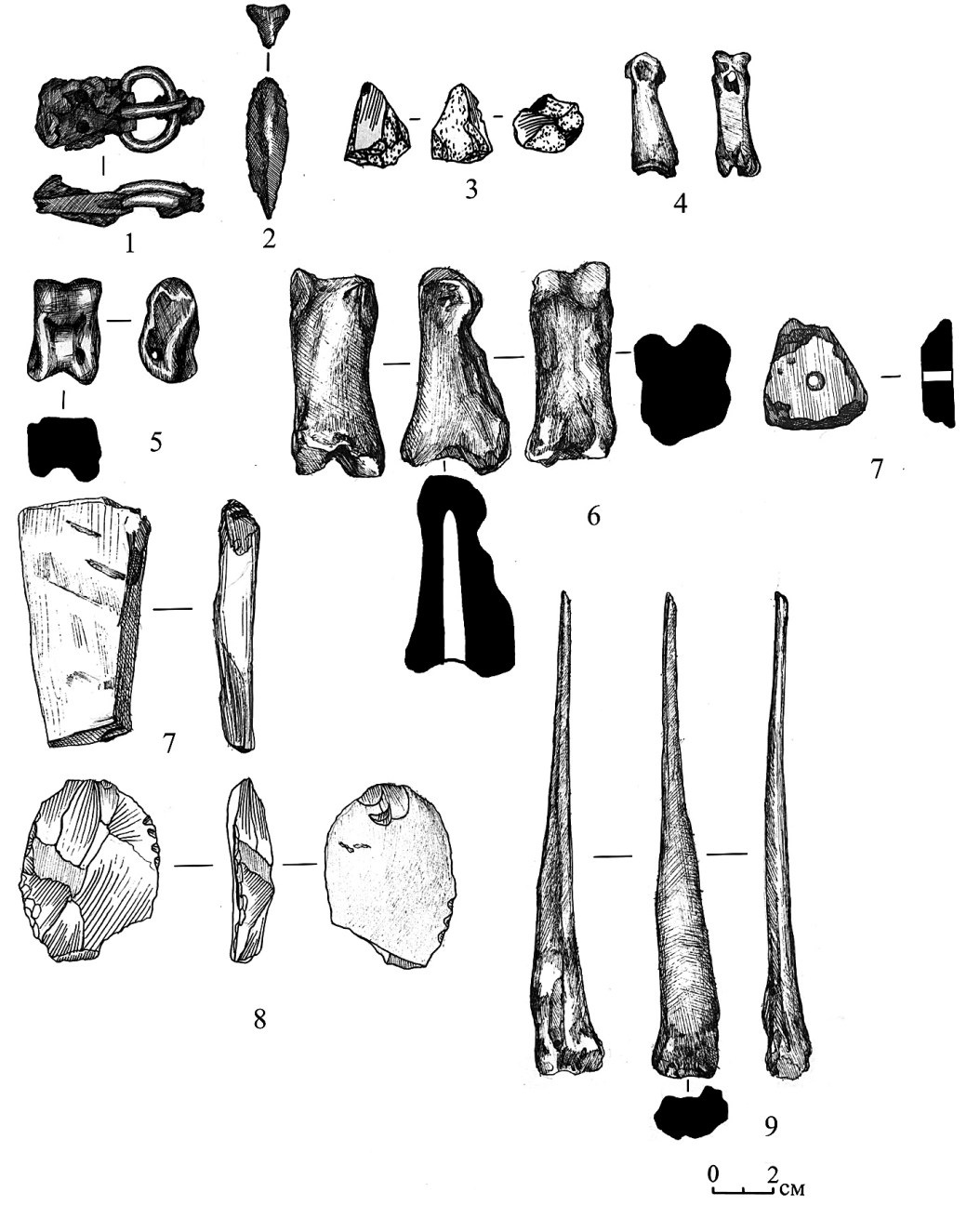

Рис. 83. Индивидуальные находки, выявленные на уровне пласта 8.
1 — пряжка; 2 — наконечник стрелы; 3 — нуклеус; 4 — подвеска-амулет; 5 — игральная кость с отверстием; 6 — игральная кость; 7 — прясло из стенки сосуда; 7 — оселок; 8 — скребок; 9 — остроконечник. Материал: 1,2 — металл; 3,7,8 — камень; 4–6,9 — кость; 7 — глина. **Квадрат А2:** 4 — инв. №16708, 6 — инв. №16586, нив. отм.348, 7 — инв. №16386, нив. отм.336; **Квадрат В1:** 2 — инв. №16710, 3 — инв. №16335, 9 — инв. №16335; **Квадрат В2:** 1 — инв. №16208, нив. отм.349, 8 — инв. №16265, нив. отм.246; **Квадрат С1:** 5 — инв. №16628, нив. отм.342

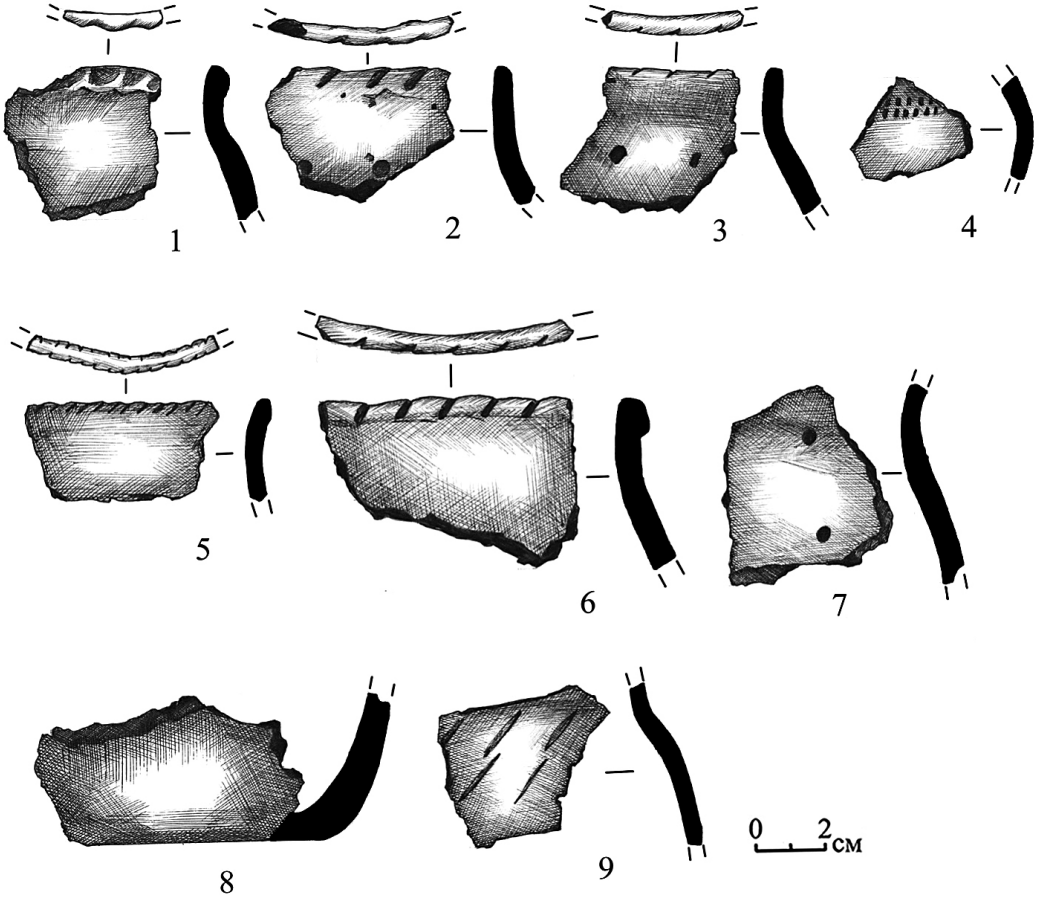

Рис. 84. Керамика, выявленная на уровне пласта 8.
Квадрат В1: 6 — инв. №5900, 7 — инв. №5899, 15 — инв. №5922, 16 — инв. №5907; **Квадрат В2:** 4 — инв. №5282, 5 — инв. №5364, 9 — инв. №5325, 10 — инв. №5352, 11 — инв. №5327, 12 — инв. №5320, 14 — инв. №5328, 17 — инв. №5274, 18 — инв. №5335, 19 — инв. №5271; Бровка: 1 — инв. №15387, 2 — инв. №15883, 3 — инв. №15384, 8– инв. №15399, 13 — инв. №15398

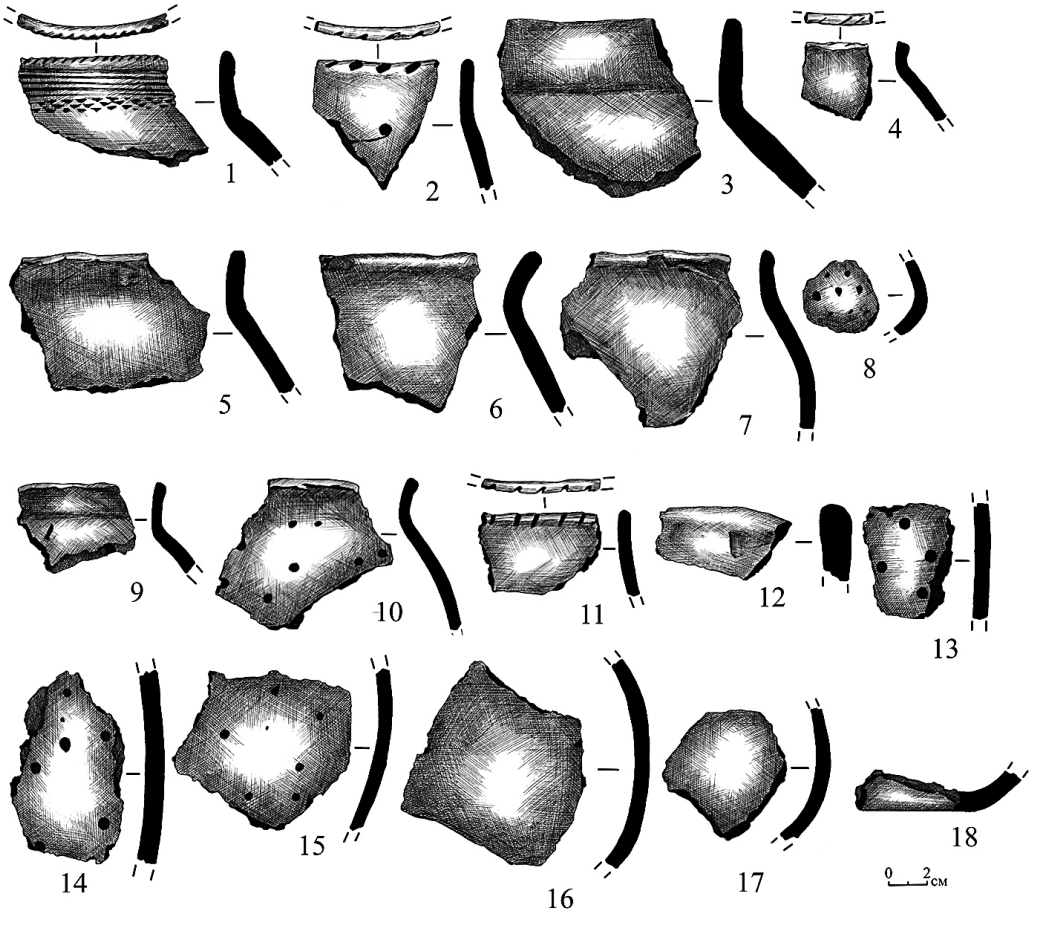

Рис. 85. Керамика, выявленная на уровне пласта 8 (продолжение).
Квадрат А1: 18 — инв. №5946; **Квадрат В1:** 10 — инв. №5838, 11 — инв. №5898; **Квадрат В2:** 1 — инв. №5277, 2 — инв. №5278, 9 — инв. №5985, 12 — инв. №5276; **Квадрат С1:** 4 — инв. №5656, 8 — инв. №5664, 13 — инв. №5665; Бровка: 3 — инв. №15364, 5 — инв. №15275, 6 — инв. №15378, 7– инв. №15367, 14 — инв. №1535, 15 — инв. №15323, 16 — инв. №14417, 17 — инв. №15361

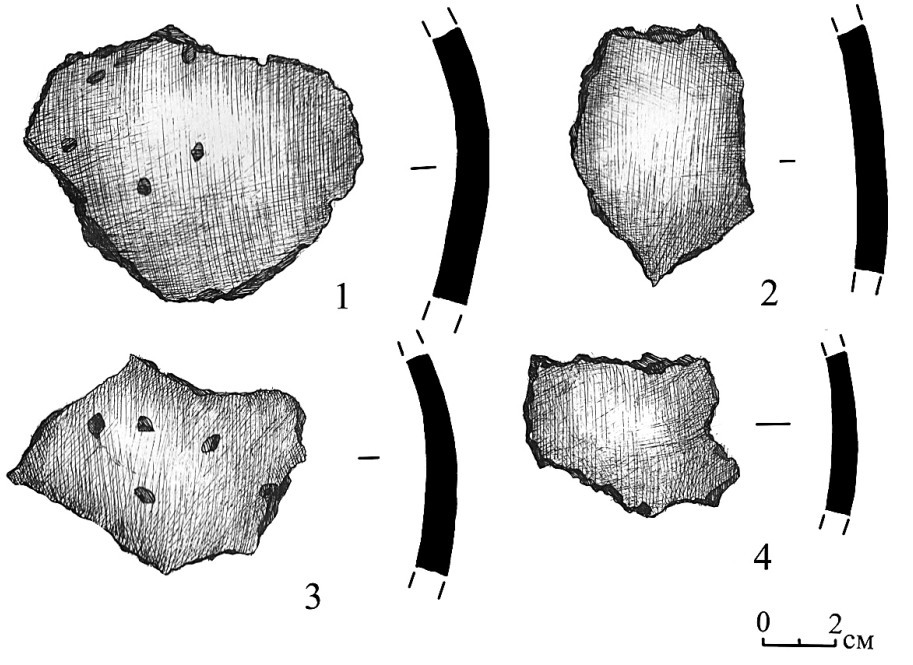

Рис. 86. Развал сосуда, выявленный в квадрате В1 на уровне пласта 8 (нив. отм. 345).
1 — инв. №16318, 2 — инв. №16319, 3 — инв. №16317, 4 — инв. №16320

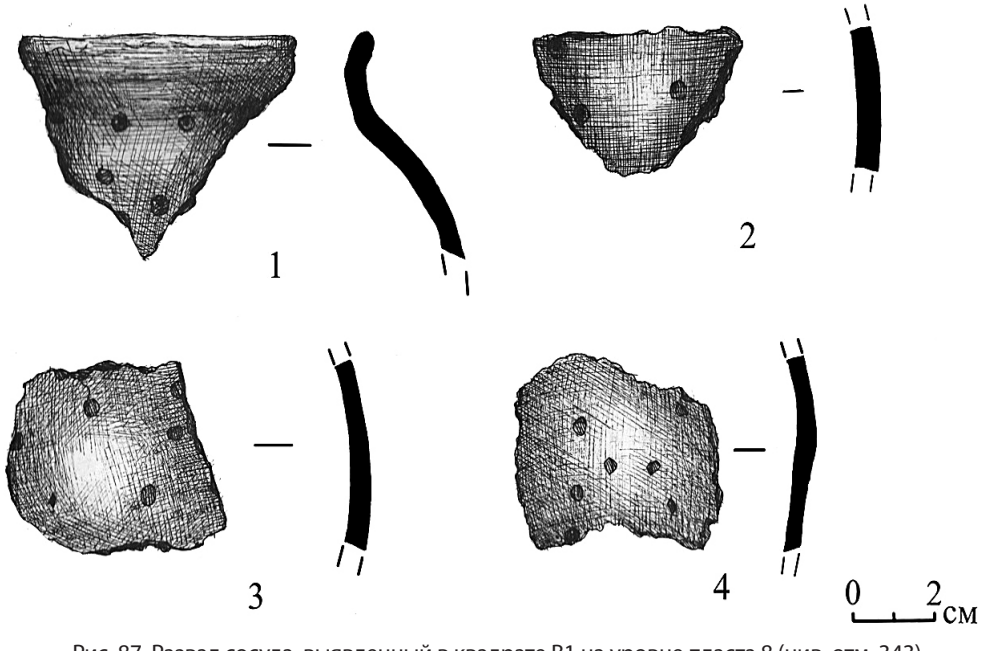

Рис. 87. Развал сосуда, выявленный в квадрате В1 на уровне пласта 8 (нив. отм. 343).
1 — инв. №16490, 2 — инв. №16488, 3 — инв. №16492, 4 — инв. №16493

Рис. 88. Пласт 9. Линия квадратов В2-А2. Вид с юга

Рис. 89. Пласт 9. Линия квадратов С1-А1. Вид с юга

Рис. 90. Пласт 9. Квадрат С1. Фрагмент золотой цепочки in situ. Вид с запада

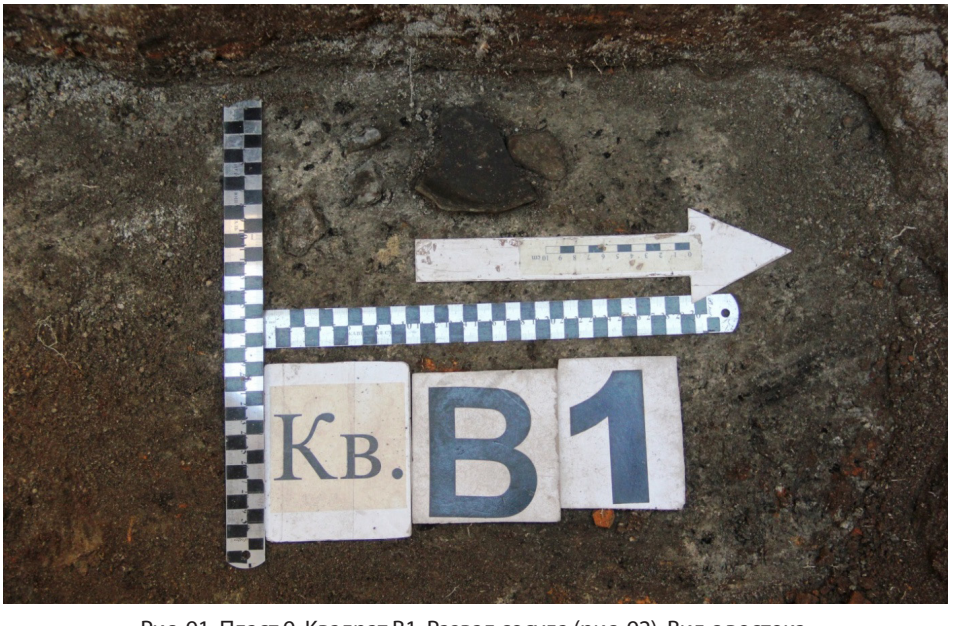

Рис. 91. Пласт 9. Квадрат В1. Развал сосуда (рис. 92). Вид с востока

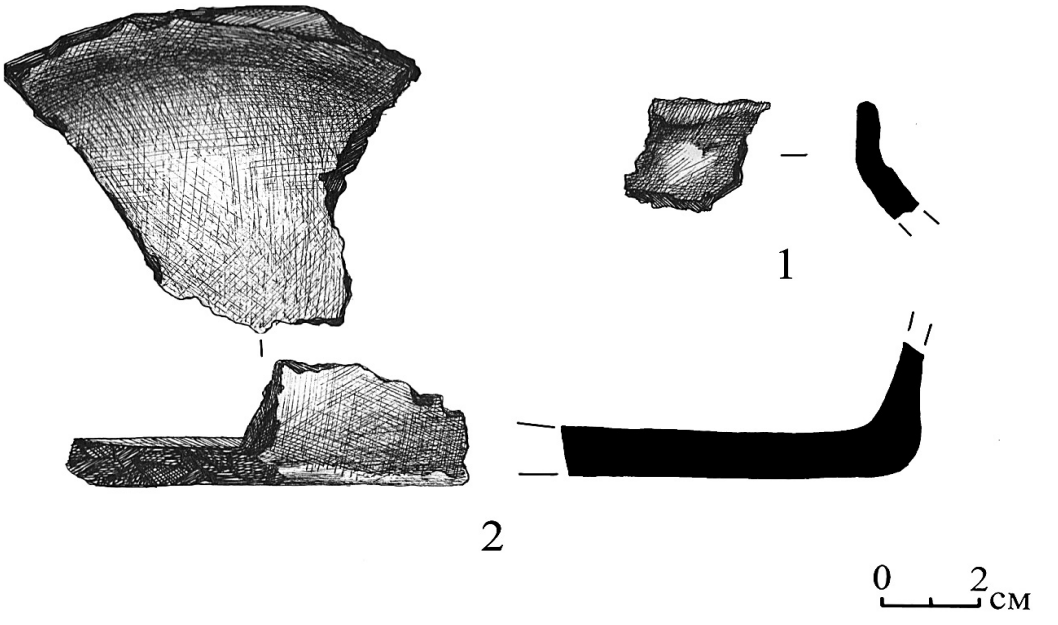

Рис. 92. Развал сосуда, выявленный в квадрате В1 на уровне пласта 9 (нив. отм. 353).
1 — инв. №16545, 2 — инв. №16546

Рис. 93. Пласт 9. Квадрат В2. Развал сосуда (рис. 94). Вид с севера

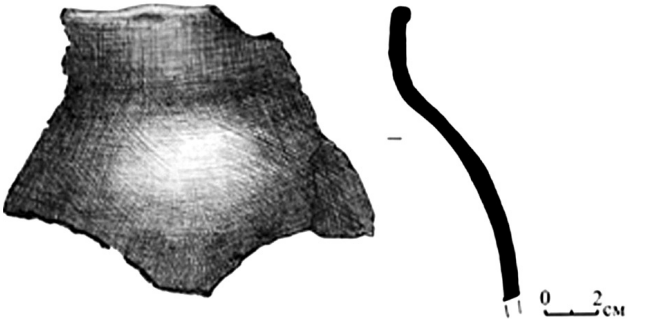

Рис. 94. Развал, выявленный в квадрате В2 на уровне пласта 9 (нив. отм. 350).
1 — инв. №16312

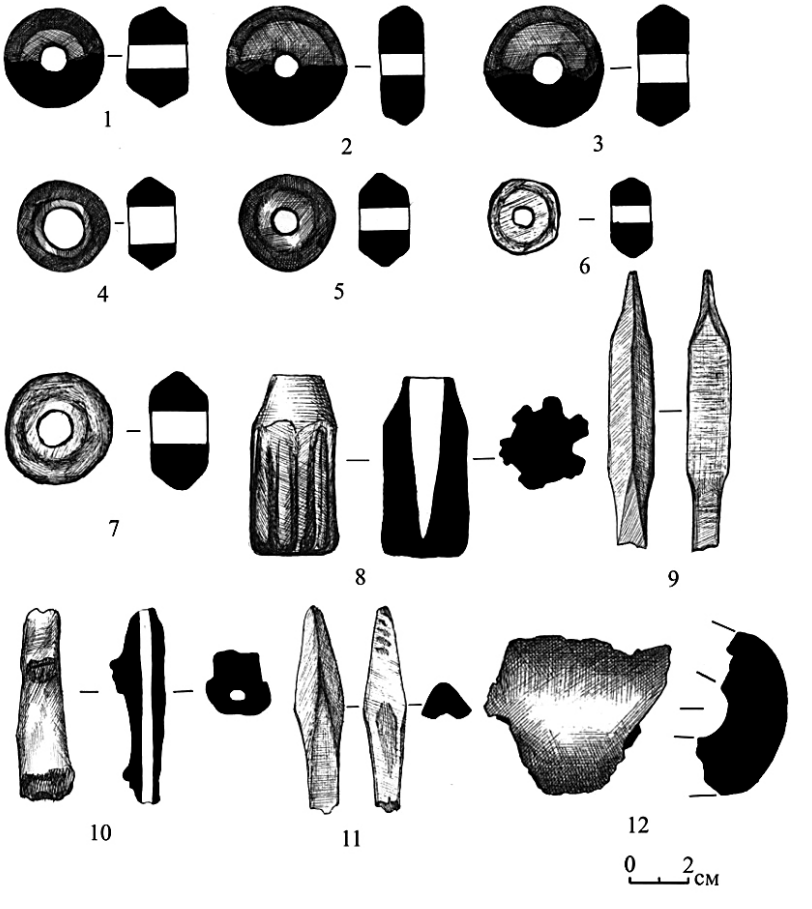

Рис. 95. Индивидуальные находки, выявленные на уровне пласта 9.
1–7 — прясла; 8 — игольник; 9,11 — наконечник стрелы; 10 — слив сосуда; 12 — сопло. Материал: 1–7,10,12 — глина; 8,9,11 — кость. **Квадрат А1:** 1 — инв. №16194, нив. отм.377, 2 — инв. №16303, нив. отм.366, 6 — инв. №16739, нив. отм.336, 8 — инв. №16171, нив. отм.375, 12 — инв. №6713; **Квадрат А2:** 3 — инв. №16301 нив. отм.364, 4 — инв. №16307, нив. отм.365; **Квадрат В1:** 5 — инв. №16305, нив. отм.377, 7 — инв. №16305, нив. отм.377; **Квадрат В2:** 11 — инв. №16276, нив. отм.347; **Квадрат С1:** 9 — инв. №16254, нив. отм.364, 10 — инв. №16202

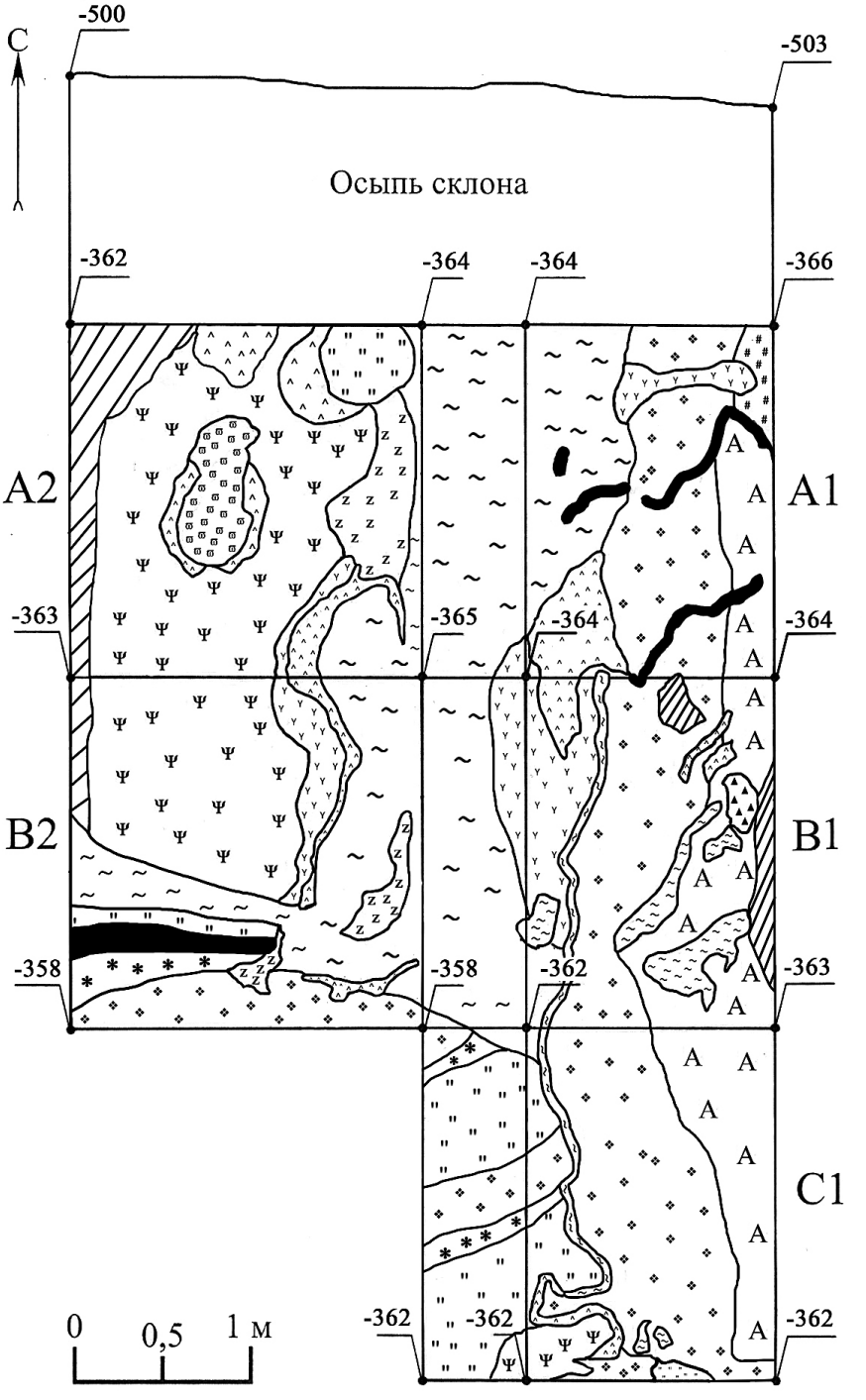

Рис. 96. Планиграфическая ситуация на уровне 9 пласта. Условные знаки на рис. 176

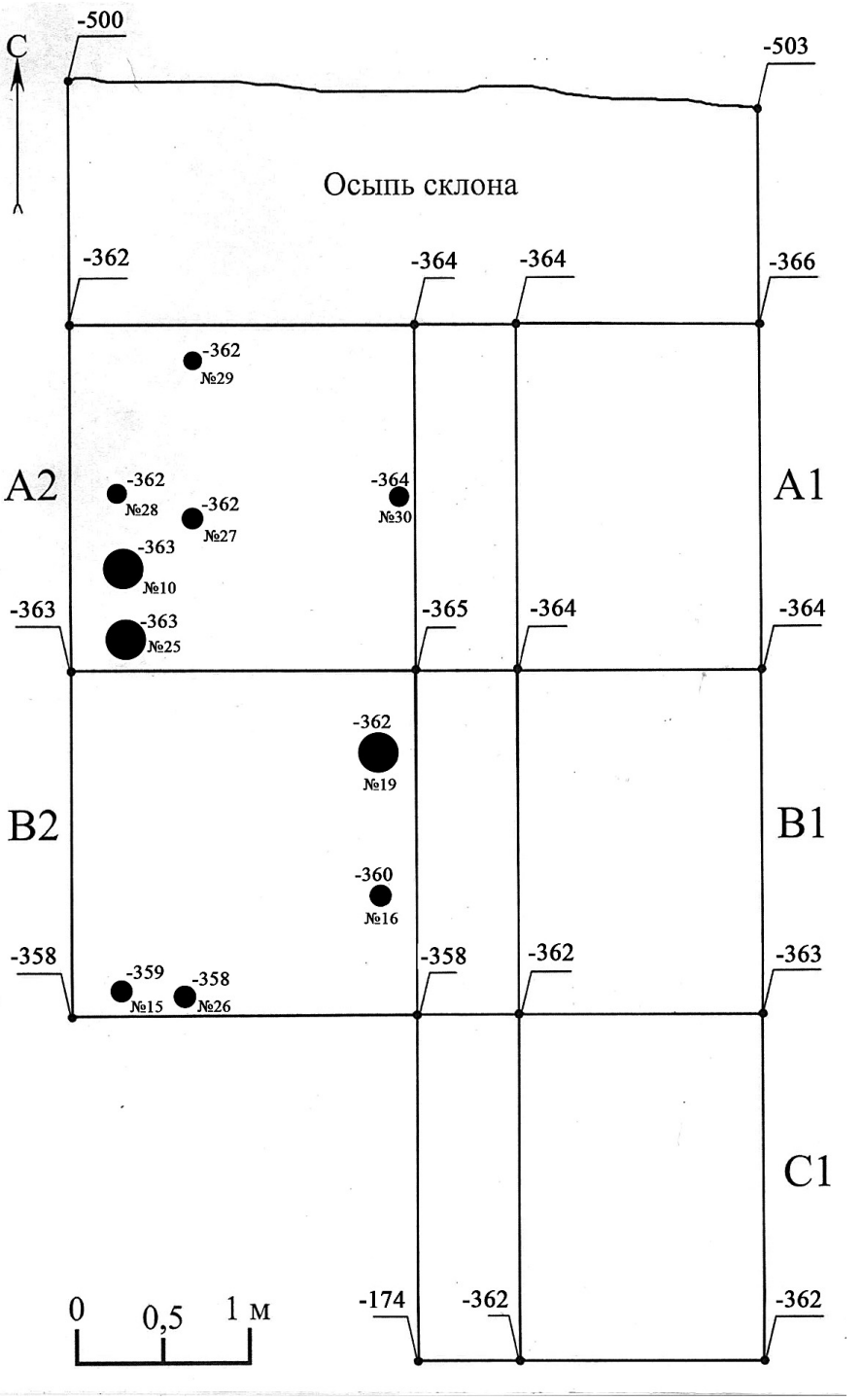

Рис. 97. Планиграфия столбовых ямок выявленных на уровне 9 пласта

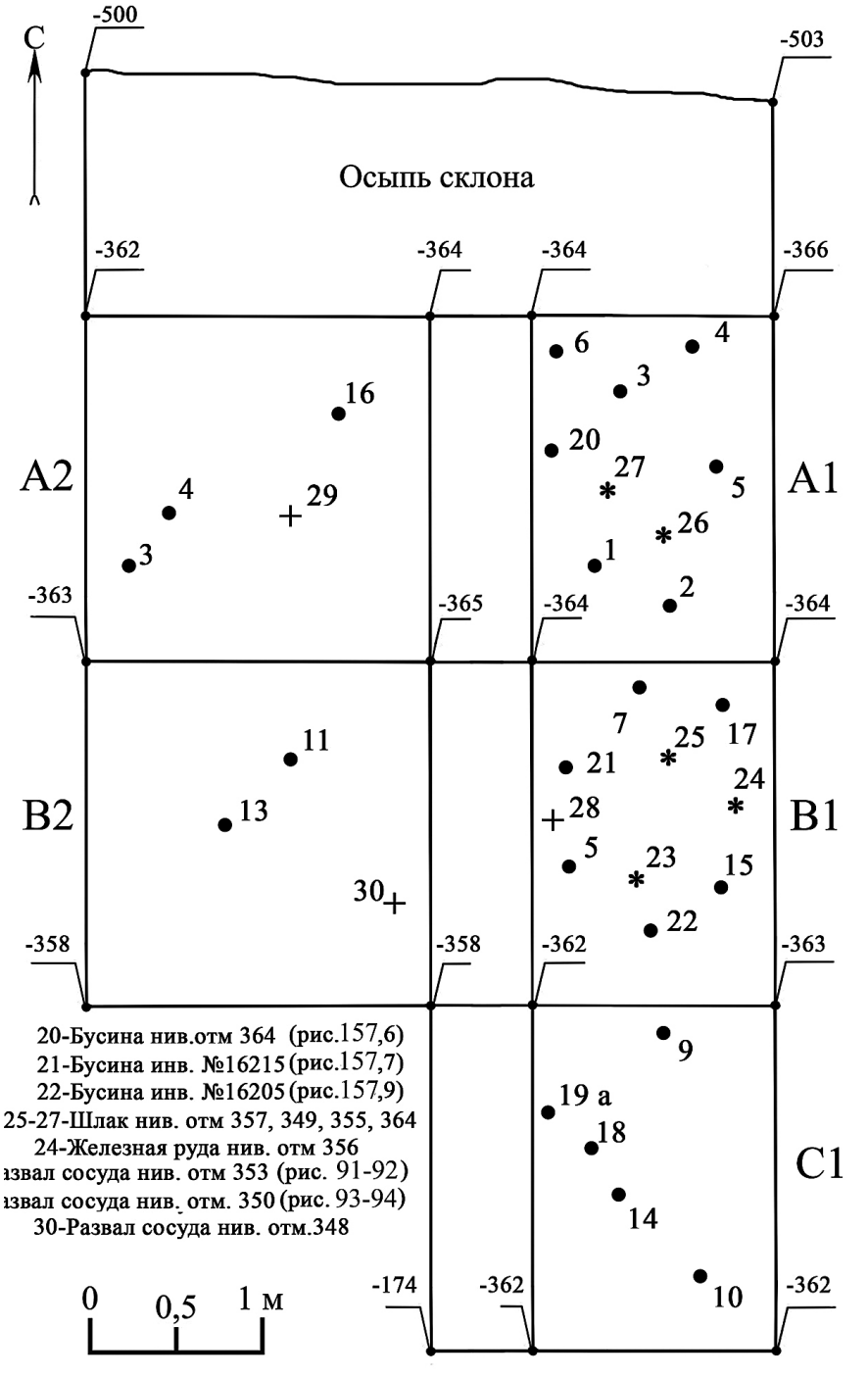

Рис. 98. Планиграфия индивидуальных находок 9 пласта.
Нумерация соответствует рис. 95 и 99

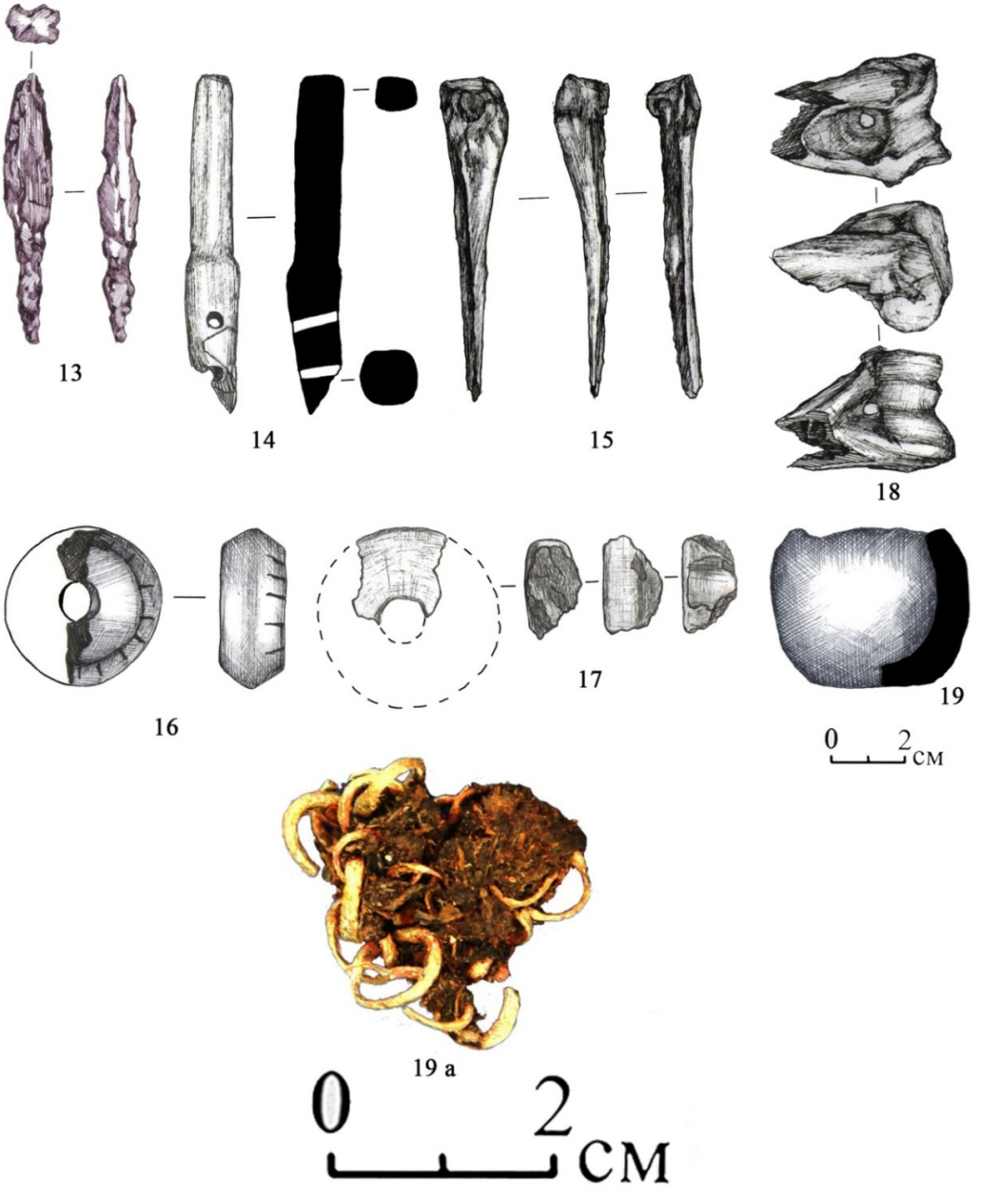

Рис. 99. Индивидуальные находки, выявленные на уровне пласта 9 (продолжение рис. 95).
13 — наконечник стрелы; 14 — псалий; 15 — остроконечник; 16,17 — прясла; 18 — кость с отверстием; 19 — миниатюрный сосуд; 19а — фрагмент цепочки из желтого металла. **Квадрат А1:** 19 — инв. №16192, нив. отм.365; **Квадрат А2:** 16 — инв. №16304 нив. отм.364; **Квадрат В1:** 15 — инв. №16260, нив. отм.360, 17 — инв. №16305, нив. отм.378; **Квадрат В2:** 13 — инв. №16286, нив. отм.363; **Квадрат С1:** 14 — инв. №16259, нив. отм.361, 18 — инв. №16193 19 а — инв. №16310, нив. отм.360

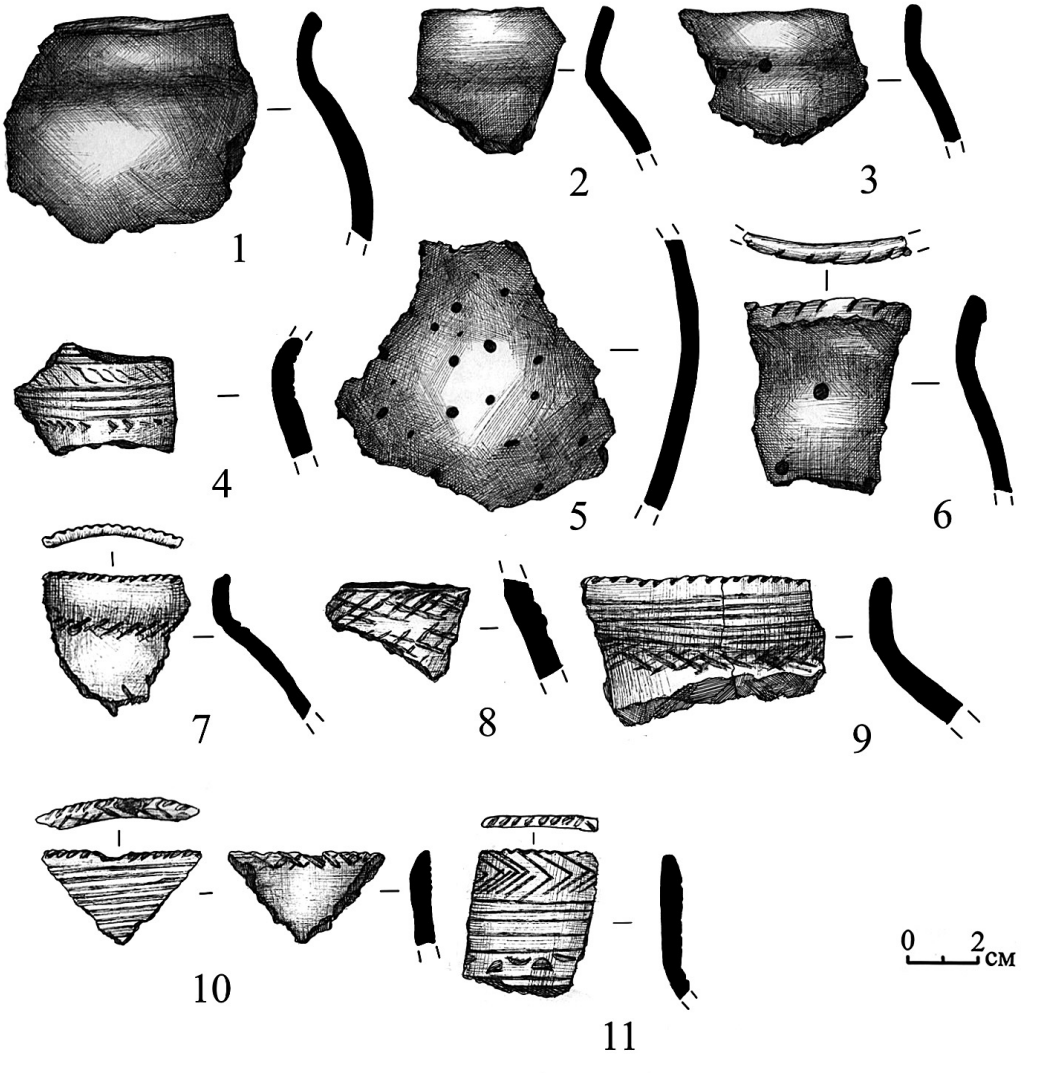

Рис. 100. Керамика, выявленная на уровне пласта 9.
Квадрат А1: 1 — инв. №16700, 2 — инв. №16692, 3 — инв. №16703, 5 — инв. №16688, 6 — инв. №16705; **Квадрат В1:** 11 — инв. №161889; **Квадрат В2:** 11 — инв. №16276; **Квадрат С1:** 4 — инв. №16419, 7 — инв. №16282, 8 — инв. №16420, 9 — инв. №16417/16418, 10 — инв. №16280

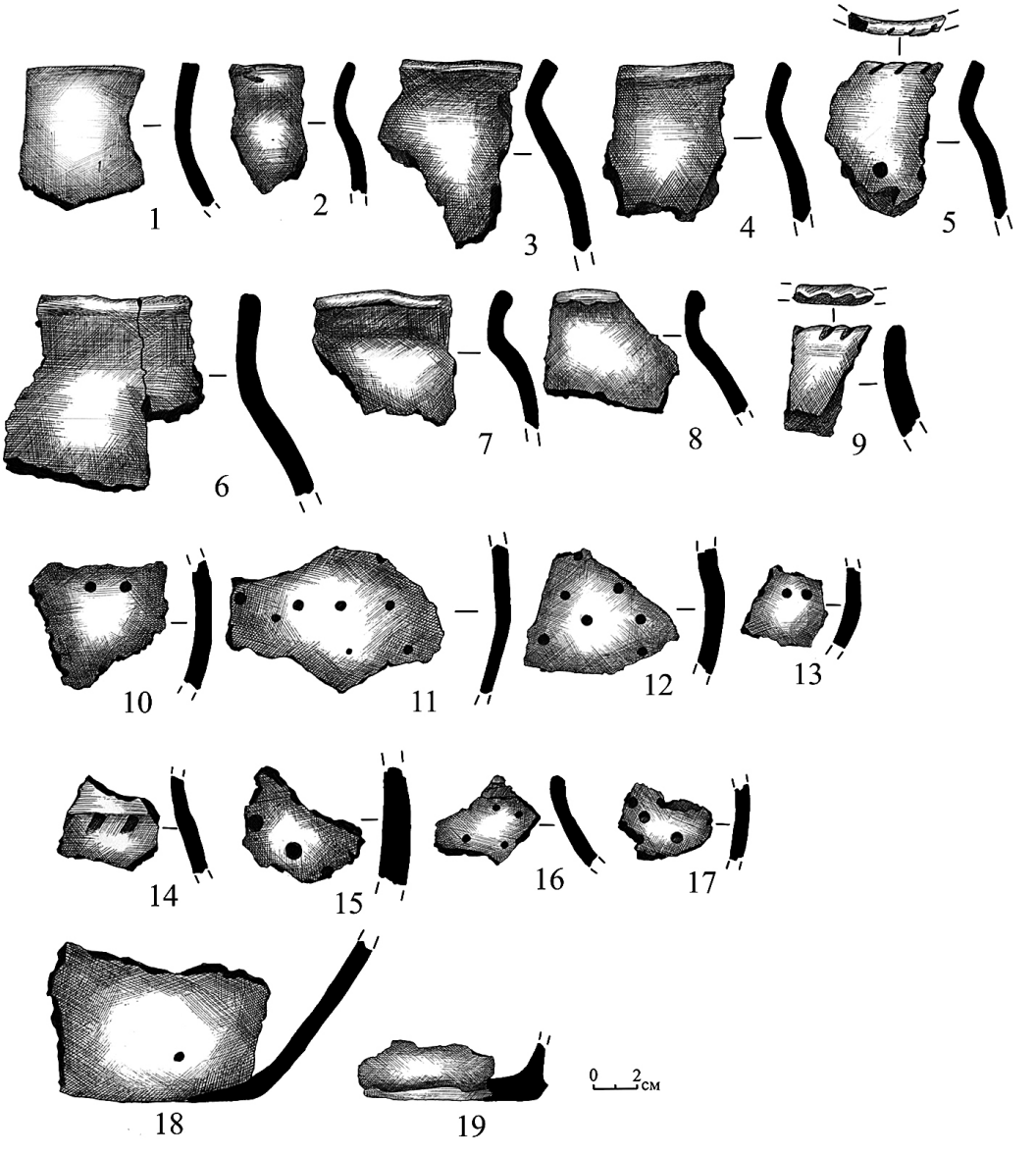

Рис. 101. Керамика, выявленная на уровне пласта 9 (продолжение).
Квадрат А2: 3 — инв. №5994, 4 — инв. №5983, 5 — инв. №6027, 6 — инв. №5993, 7 — инв. №5992, 9 — инв. №6028, 14 — инв. №6005, 15 — инв. №6010, 18 — инв. №6003; **Квадрат В1:** 1 — инв. №6280, 2 — инв. №6263, 11 — инв. №5919, 13 — инв. №6501, 16 — инв. №6295, 17 — инв. №6299; **Квадрат В2:** 8 — инв. №5359; Бровка: 10 — инв. №12161, 12 — инв. №12174, 19 — инв. №12155

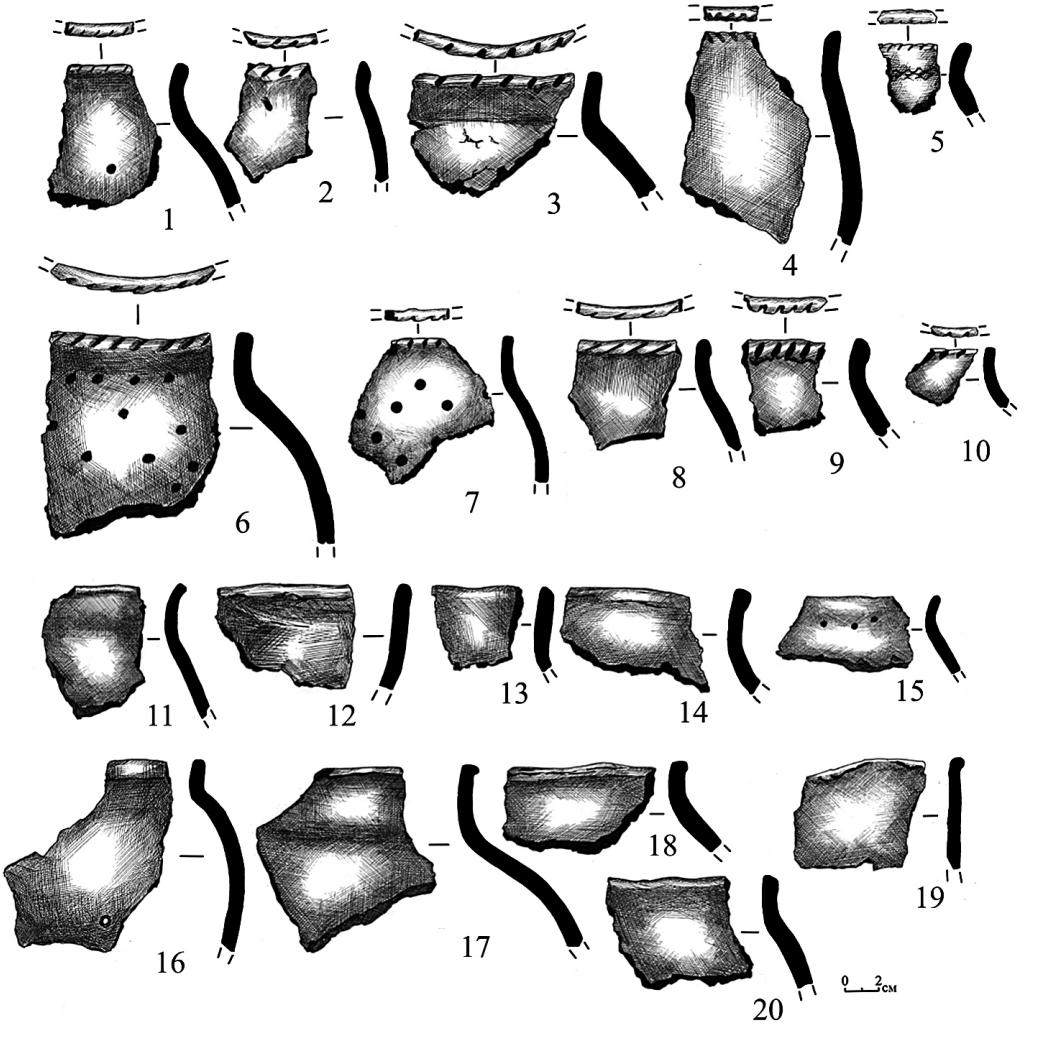

Рис. 102. Керамика, выявленная на уровне пласта 9 (продолжение).
Квадрат А1: 1 — инв. №6708, 5 — инв. №6724, 12 — инв. №6720; **Квадрат А2:** 2 — инв. №6518, 10 — инв. №6522, 13 — инв. №6529, 14 — инв. №6528; **Квадрат В1:** 7 — инв. №6308; **Квадрат В2:** 3 — инв. №6941, 4 — инв. №6940, 11 — инв. №6926; **Квадрат С1:** 15 — инв. №7039; Бровка: 6 — инв. №12140, 8 — инв. №12138, 9 — инв. №1215316 — инв. №12137, 17 — инв. №12188, 18 — инв. №12209, 19 — инв. №12192, 20 — инв. №12194

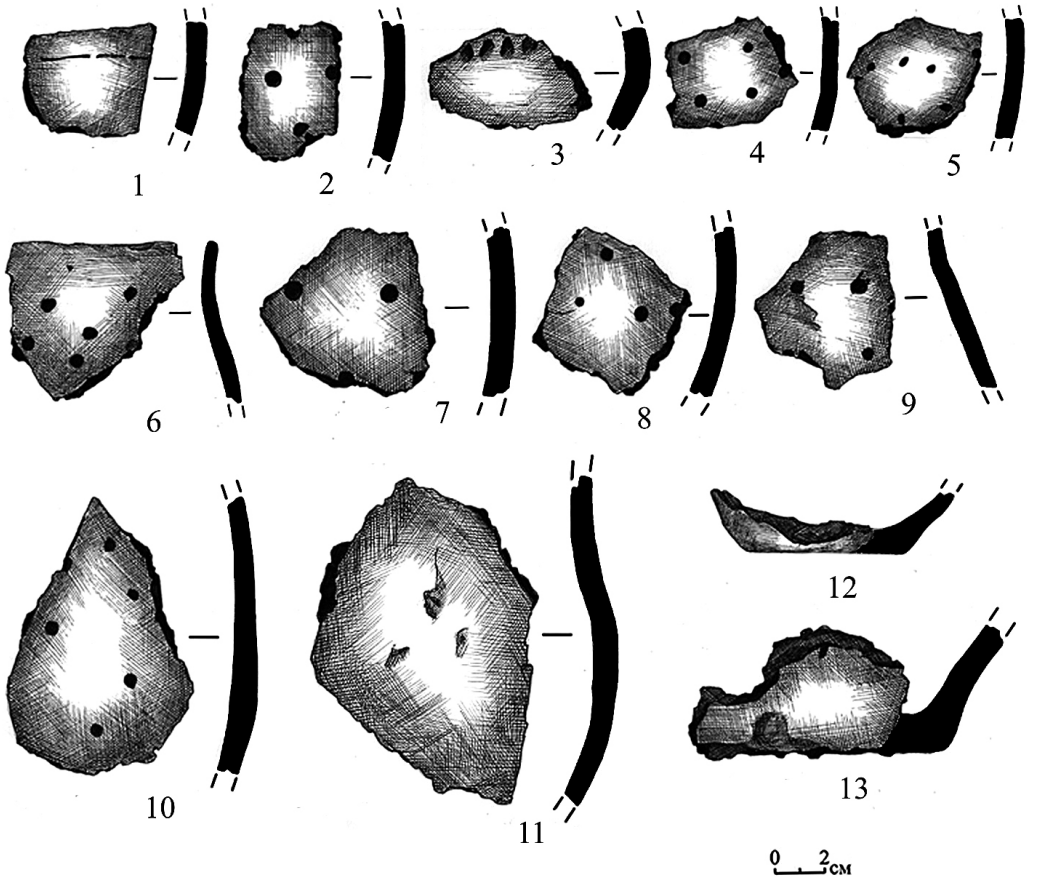

Рис. 103. Керамика, выявленная на уровне пласта 9 (продолжение).
Квадрат А1: 6 — инв. №6709, 9 — инв. №6674, 11 — инв. №6737, 12 — инв. №6718, 13 — инв. №6715; **Квадрат А2:** 4 — инв. №6616, 5 — инв. №6676, 7 — инв. №6515, 8 — инв. №6510; **Квадрат В1:** 1 — инв. №6285; **Квадрат В2:** 2 — инв. №6937; **Квадрат С1:** 3 — инв. №7045, 10 — инв. №7044

Рис. 104. Пласт 10. Линия квадратов С1-А1. Вид с юга

Рис. 105. Пласт 10. Линия квадратов B2-A2. Вид с юга

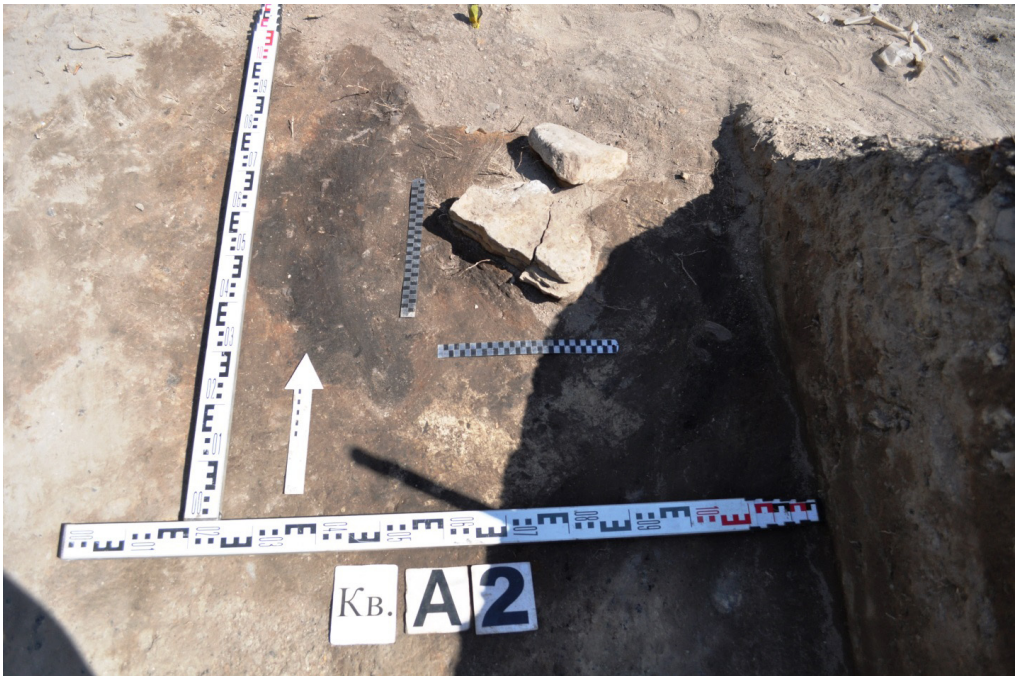

Рис. 106. Пласт 10. Квадрат А2. Скопление камней №1. Вид с юга

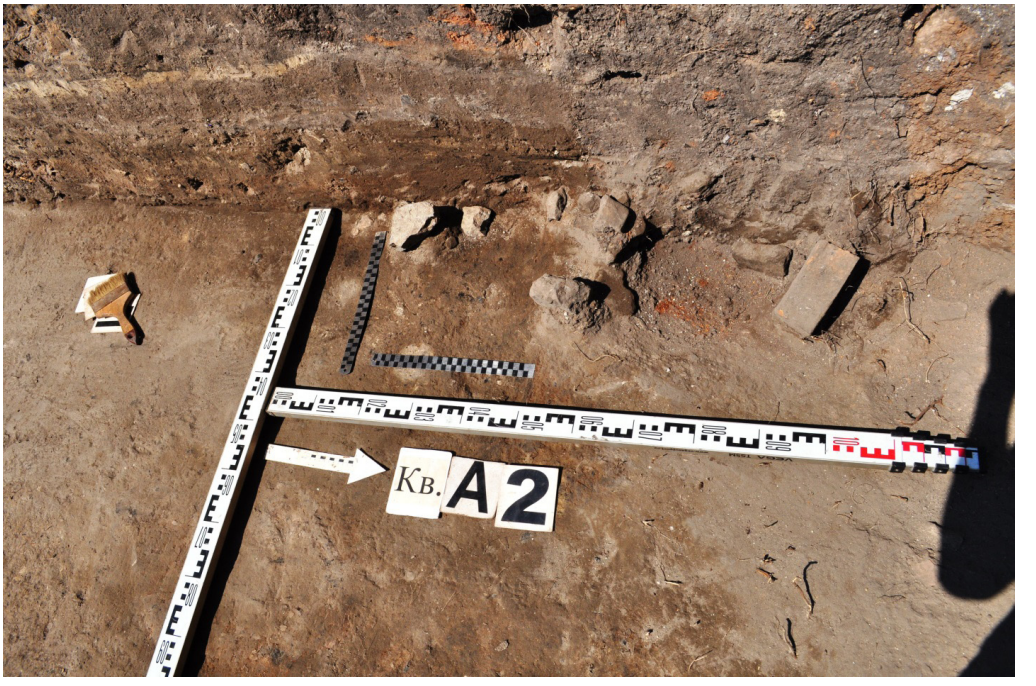

Рис. 107. Пласт 10. Квадрат А2. Скопление камней №2. Вид с востока

Рис. 108. Пласт 10. Квадрат А2. Скопление камней №1 и 2. Вид с юга

Рис. 109. Пласт 10. Квадрат А1. Скопление камней №3. Вид с юга

Рис. 110. Пласт 10. Квадрат А2. Развал сосуда (рис. 111). Вид с востока

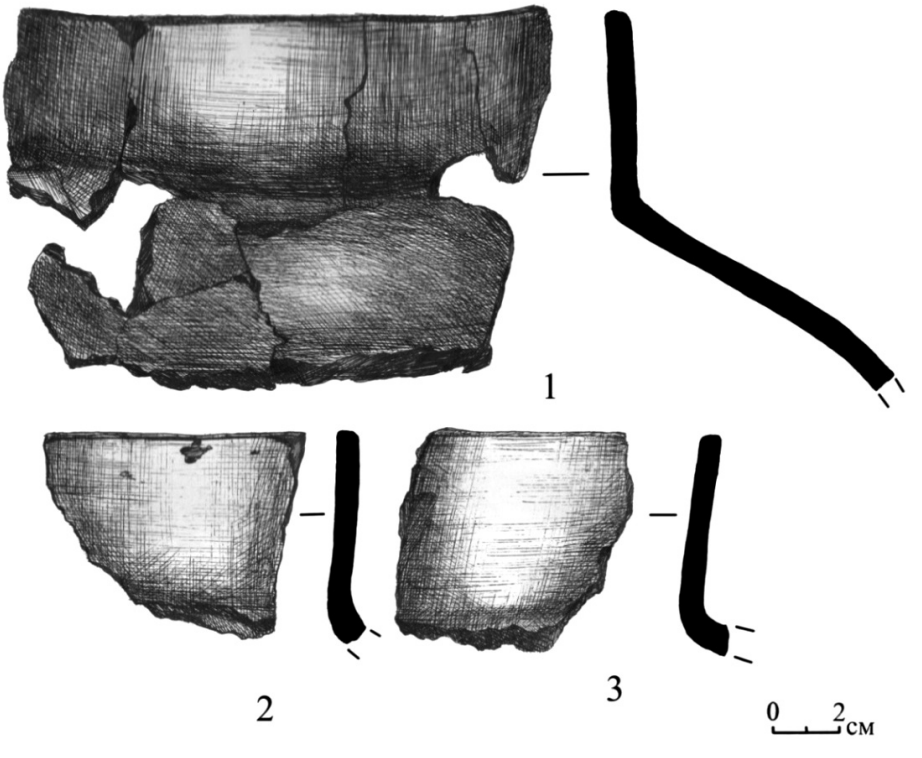

Рис. 111. Пласт 10. Квадрат А2. Реконструкция сосуда турбаслинской культуры из развала.
Квадрат А2: 1 — инв. №16391–16398, нив. отм. 382, 2 — инв. №16389, нив. отм. 382, 3 — инв. №16390

Рис. 112. Пласт 10. Квадрат B2. Развал сосуда (рис. 113). Вид с запада

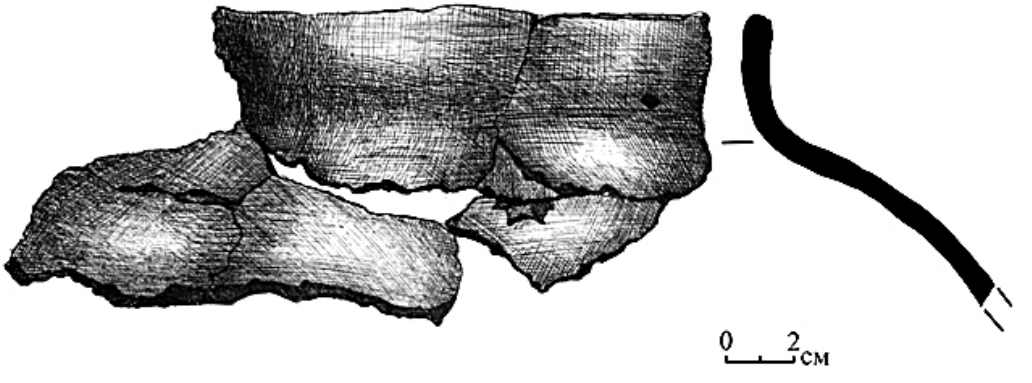

Рис. 113. Реконструкция сосуда, выявленного в квадрате B2 на уровне пласта 10 в развале.
1 — инв. №16333, 16337, 16338, 16340

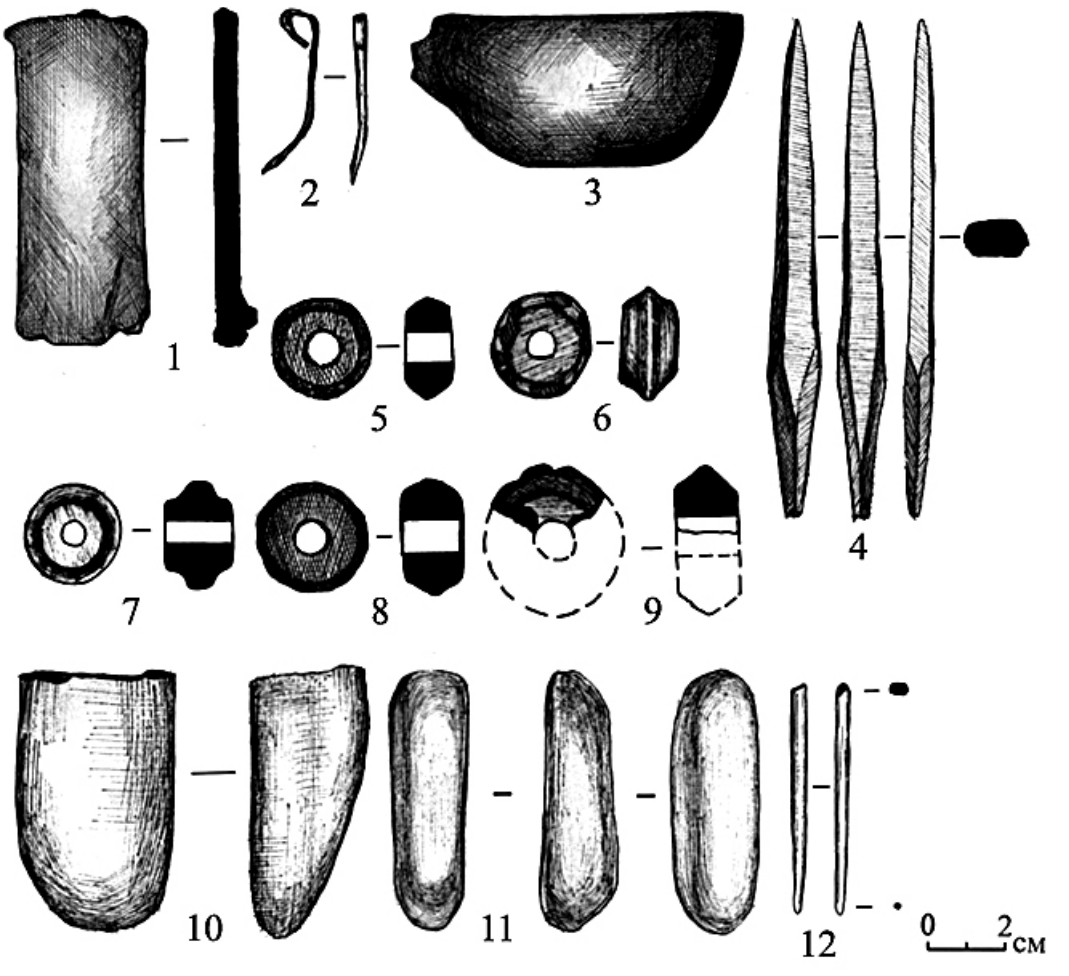

Рис. 114. Индивидуальные находки, выявленные на уровне пласта 10.
1 — слиток бронзы; 2 — игла; 3 — миниатюрный сосудик; 4 — наконечник стрелы; 5–9 — прясла; 10,11 — оселок; 12 — проколка. Материал: 1,2 — металл; 3,5–9 — глина; 10,11 — камень; 4,12 — кость. **Квадрат А1:** 6 — инв. №16274, нив. отм.379, 7 — инв. №16200, 8 — инв. №16177; **Квадрат А2:** 9 — инв. №16388, 10 — инв. №16285, нив. отм.388; **Квадрат В1:** 1 — инв. №16217, 11 — инв. №16233, нив. отм.391; **Квадрат В2:** 3 — инв. №16659, нив. отм.374, 4 — инв. №16176, нив. отм.374, 5 — инв. №16204, 12 — инв. №16566; **Квадрат С1:** 2 — инв. №16251

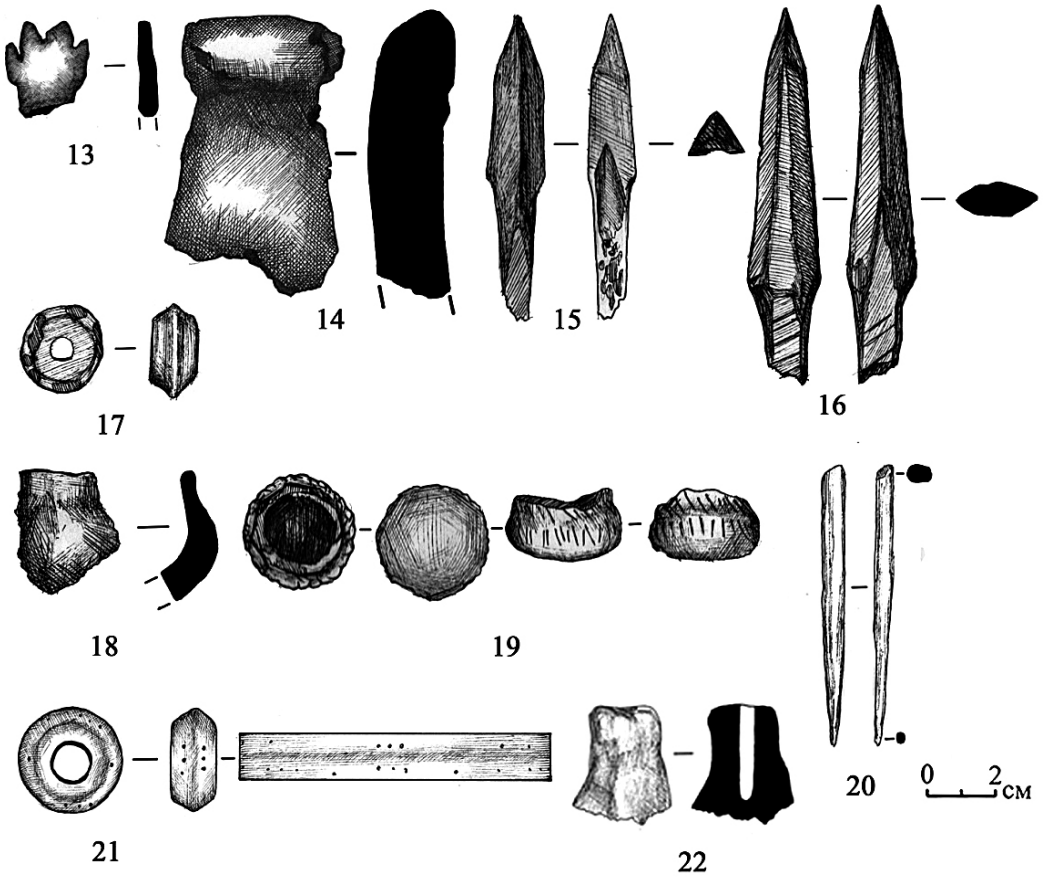

Рис. 115. Индивидуальные находки, выявленные на уровне пласта 10 (продолжение рис. 14).
13 — деталь зооморфной фигурки; 14 — сопло; 15,16 — наконечник стрелы; 17,21 — прясла; 18,19 — фрагменты миниатюрных сосудов; 20 — проколка; 22 — втулка. Материал: 13,14,17–19,21,22 — глина; 15,16,20 — кость. **Квадрат А1:** 17 — инв. №16110; **Квадрат А2:** 16 — инв. №16167; **Квадрат В1:** 19 — инв. №16188, 20 — инв. №16287, нив. отм.347, 22 — инв. №16172; **Квадрат В2:** 21 — инв. №16204; **Квадрат С1:** 13 — инв. №16211; 14 — инв. №7481, 15 — инв. №16169, 18 — инв. №16175

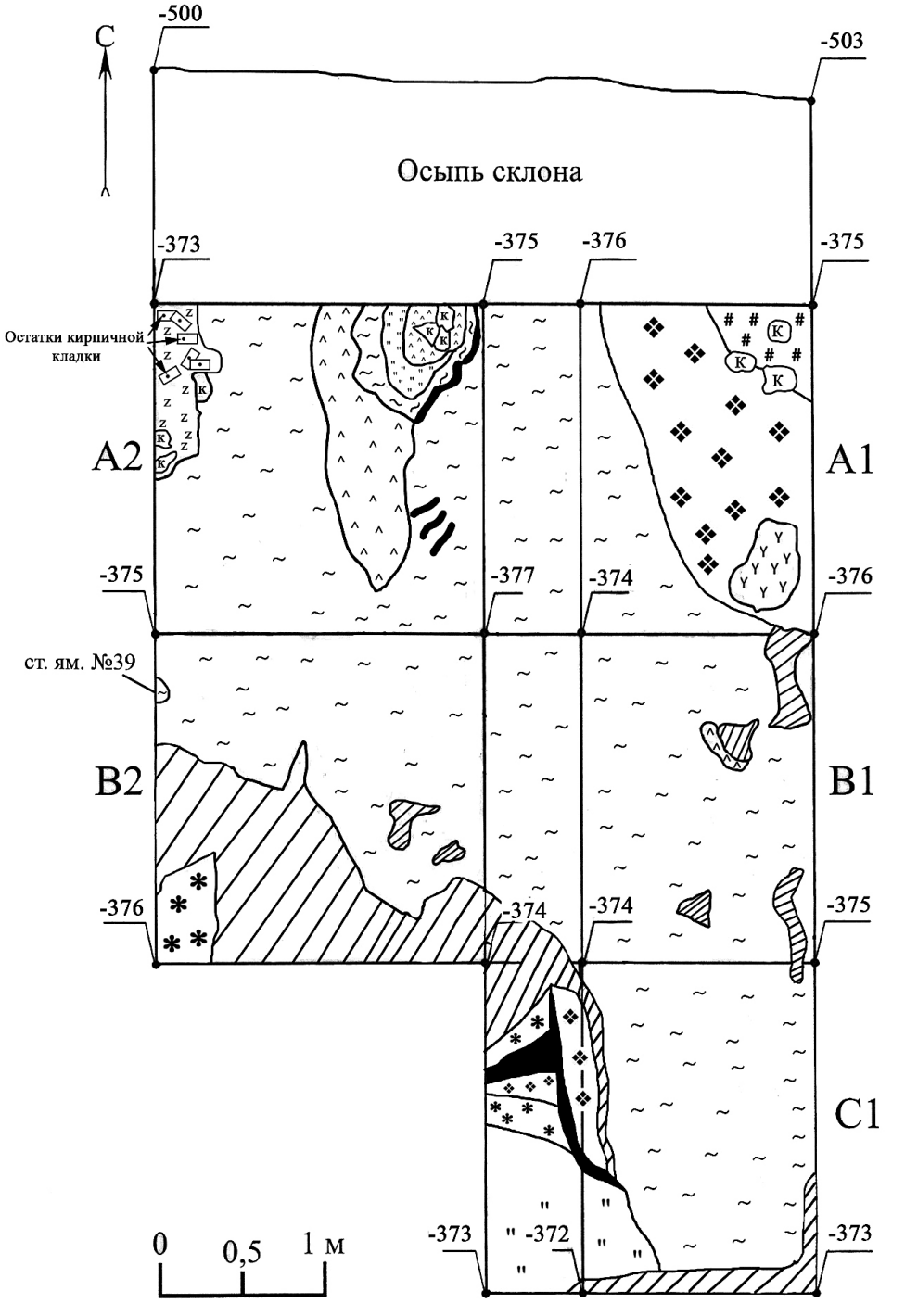

Рис. 116. Планиграфическая ситуация на уровне 10 пласта. Условные знаки на рис. 176

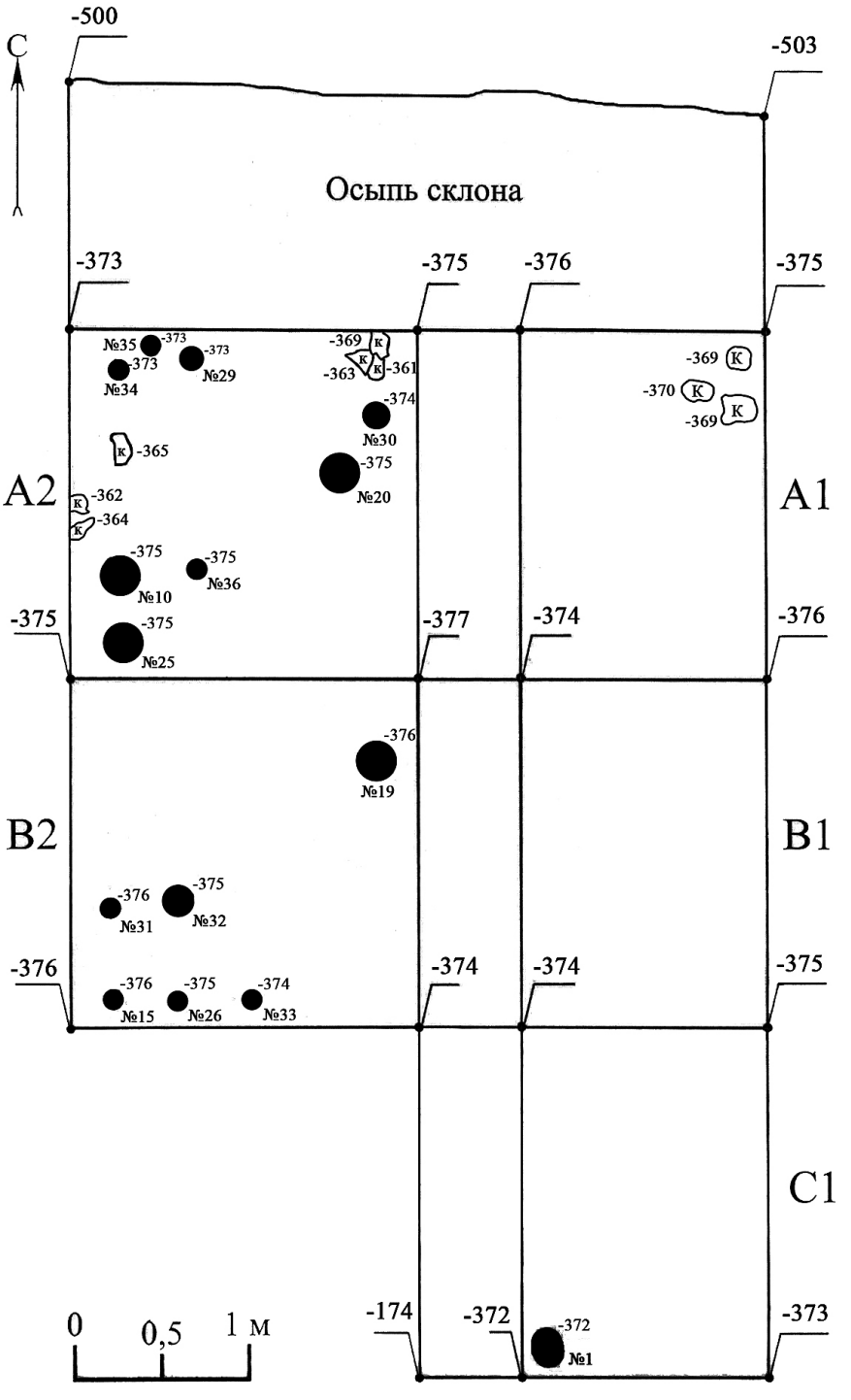

Рис. 117. Планиграфия столбовых ям и камней, выявленных на уровне 10 пласта

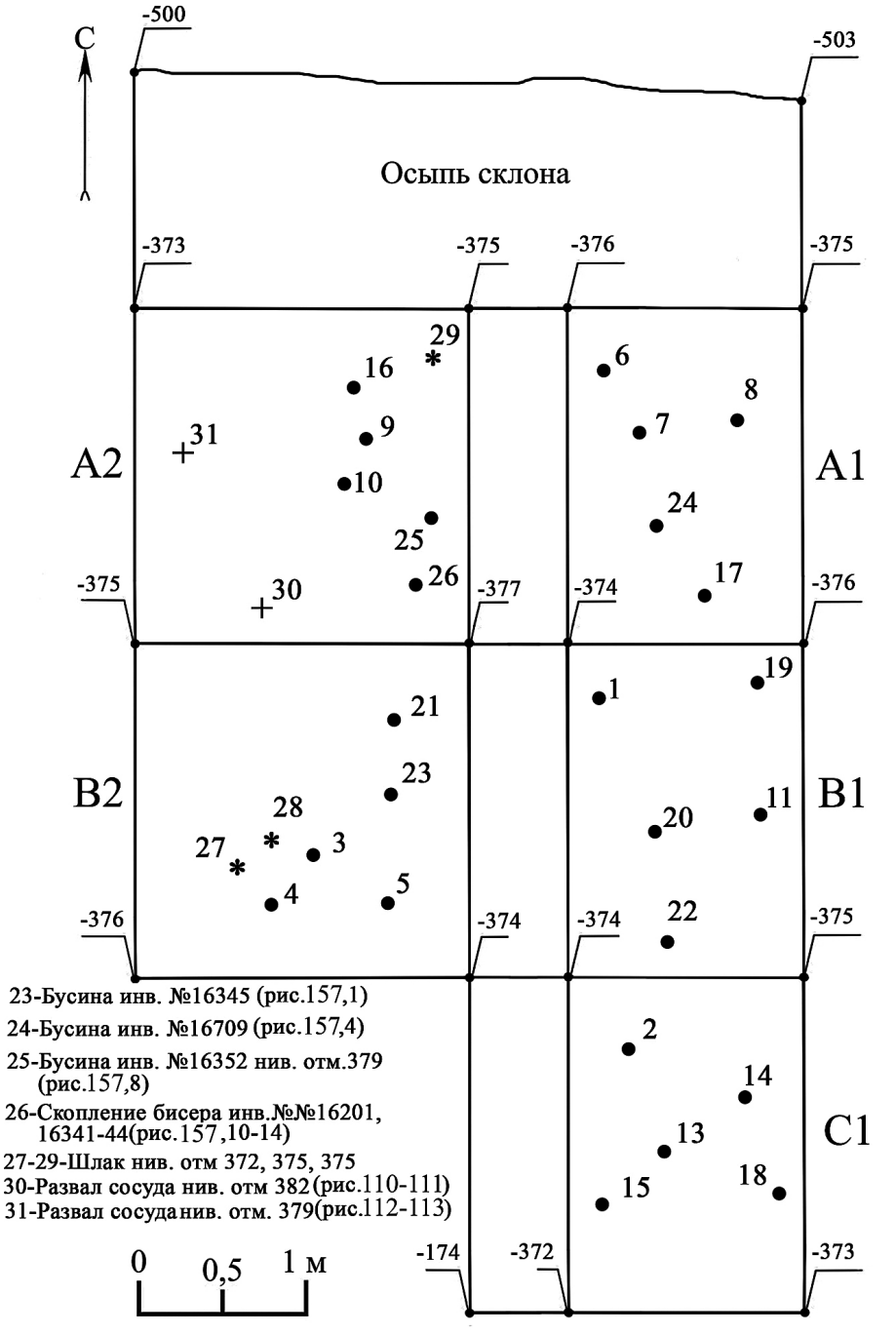

Рис. 118. Планиграфия индивидуальных находок 10 пласта.
Нумерация соответствует рис. 114 и 115

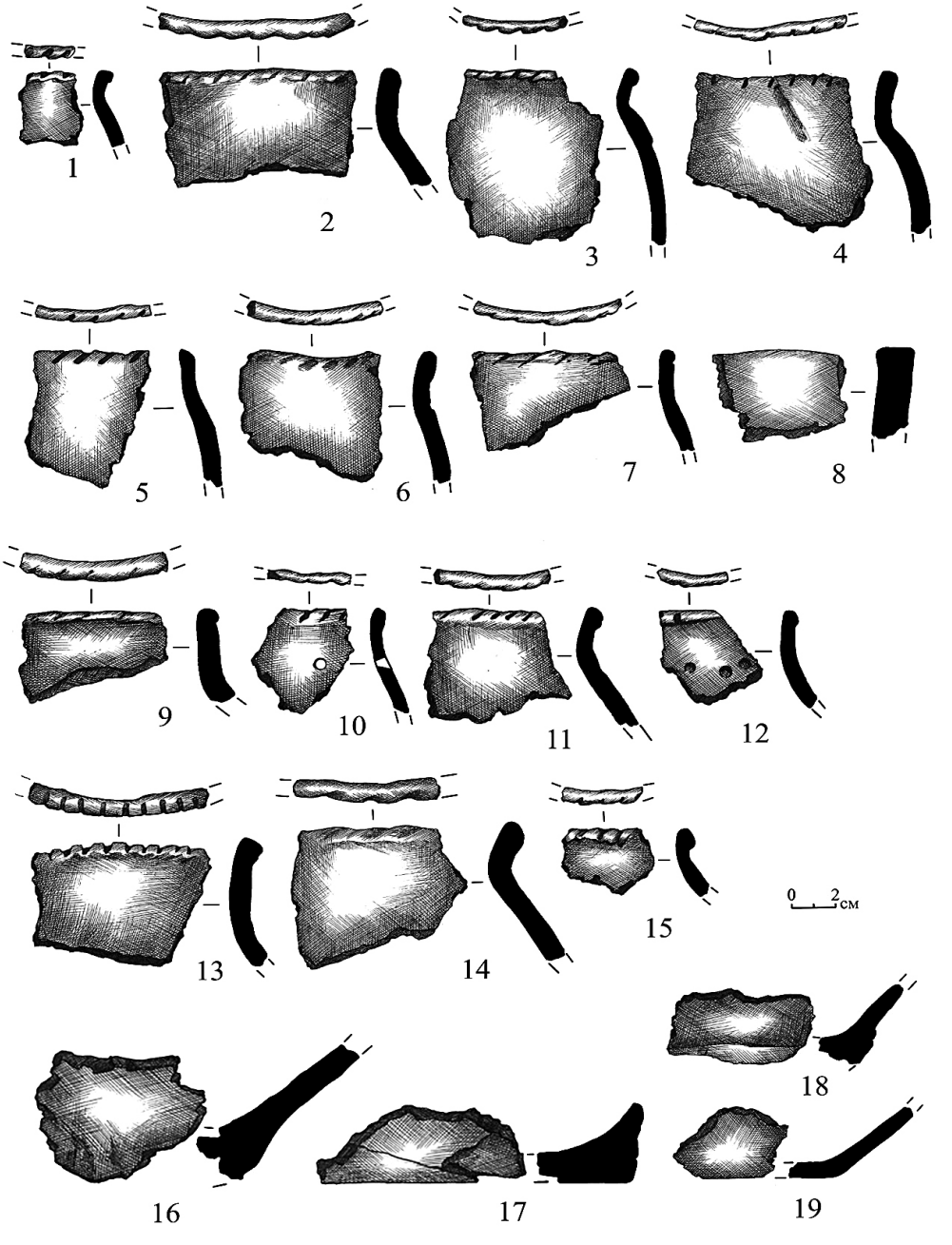

Рис. 119. Керамика, выявленная на уровне пласта 10.

Квадрат А1: 3 — инв. №9239, 4 — инв. №7661, 13 — инв. №9240; **Квадрат А2:** 8 — инв. №8804 (сковорода); **Квадрат В1:** 1 — инв. №8036, 2 — инв. №7258, 5 — инв. №7257, 7– инв. №8024, 11 — инв. №7059, 12 — инв. №8023, 15 — инв. №7261, 16 — инв. №7255, 17 — инв. №7249; **Квадрат В2:** 18 — инв. №8393, 19 — инв. №8394; **Квадрат С1:** 6 — инв. №7492, 9 — инв. №7496, 10 — инв. №7497, 14 — инв. №7495

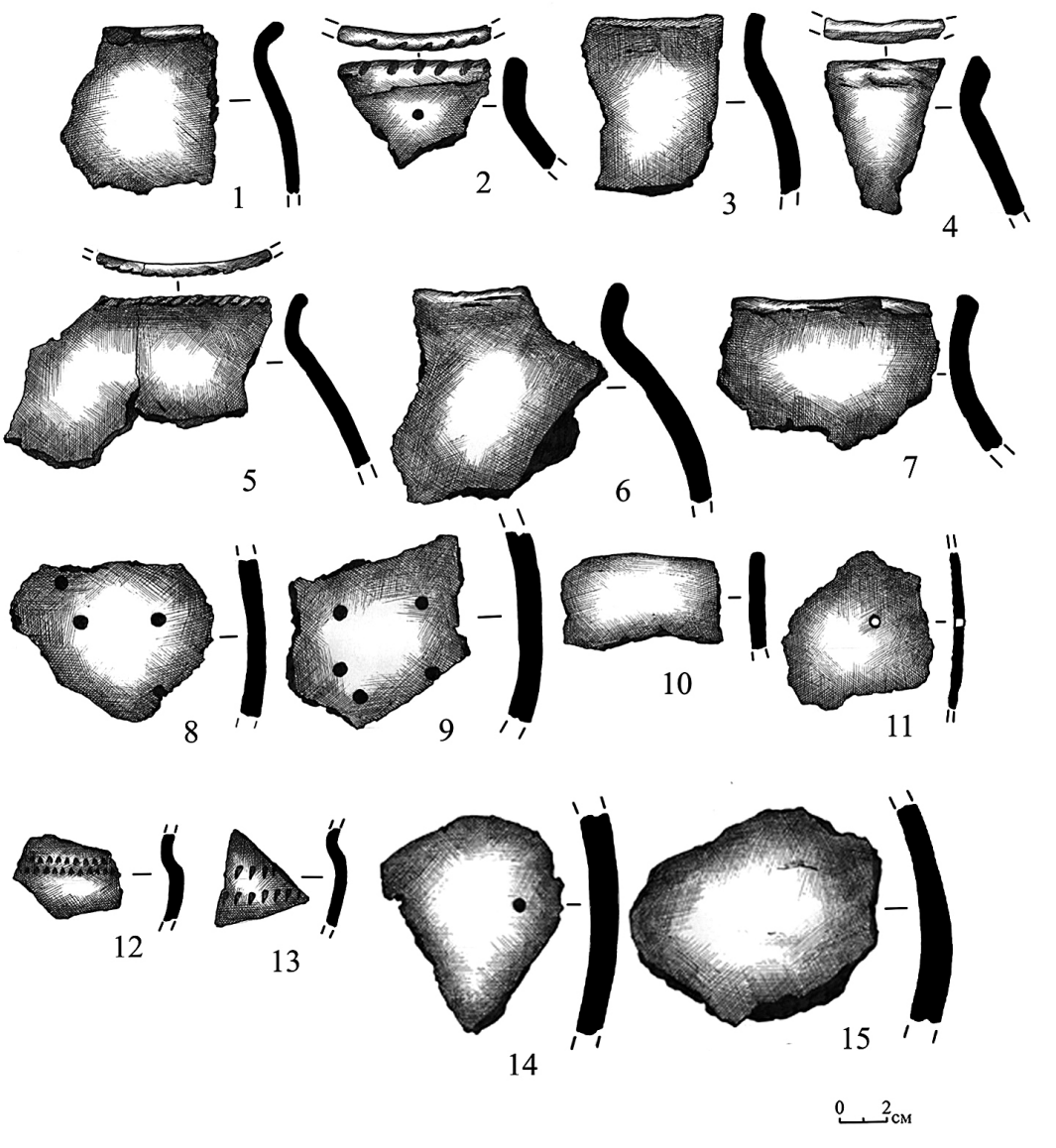

Рис. 120. Керамика, выявленная на уровне пласта 10 (продолжение).
Квадрат А1: 2 — инв. №9236, 6 — инв. №8306, 8 — инв. №9190, 9 — инв. №9198; **Квадрат А2:** 14 — инв. №8331; **Квадрат В1:** 3 — инв. №7219, 4 — инв. №7494, 5 — инв. №8021, 12– инв. №7239, 15 — инв. №7923; **Квадрат В2:** 1 — инв. №8391, 10 — инв. №8359, 11 — инв. №8330; **Квадрат С1:** 7 — инв. №7471, 13 — инв. №7489

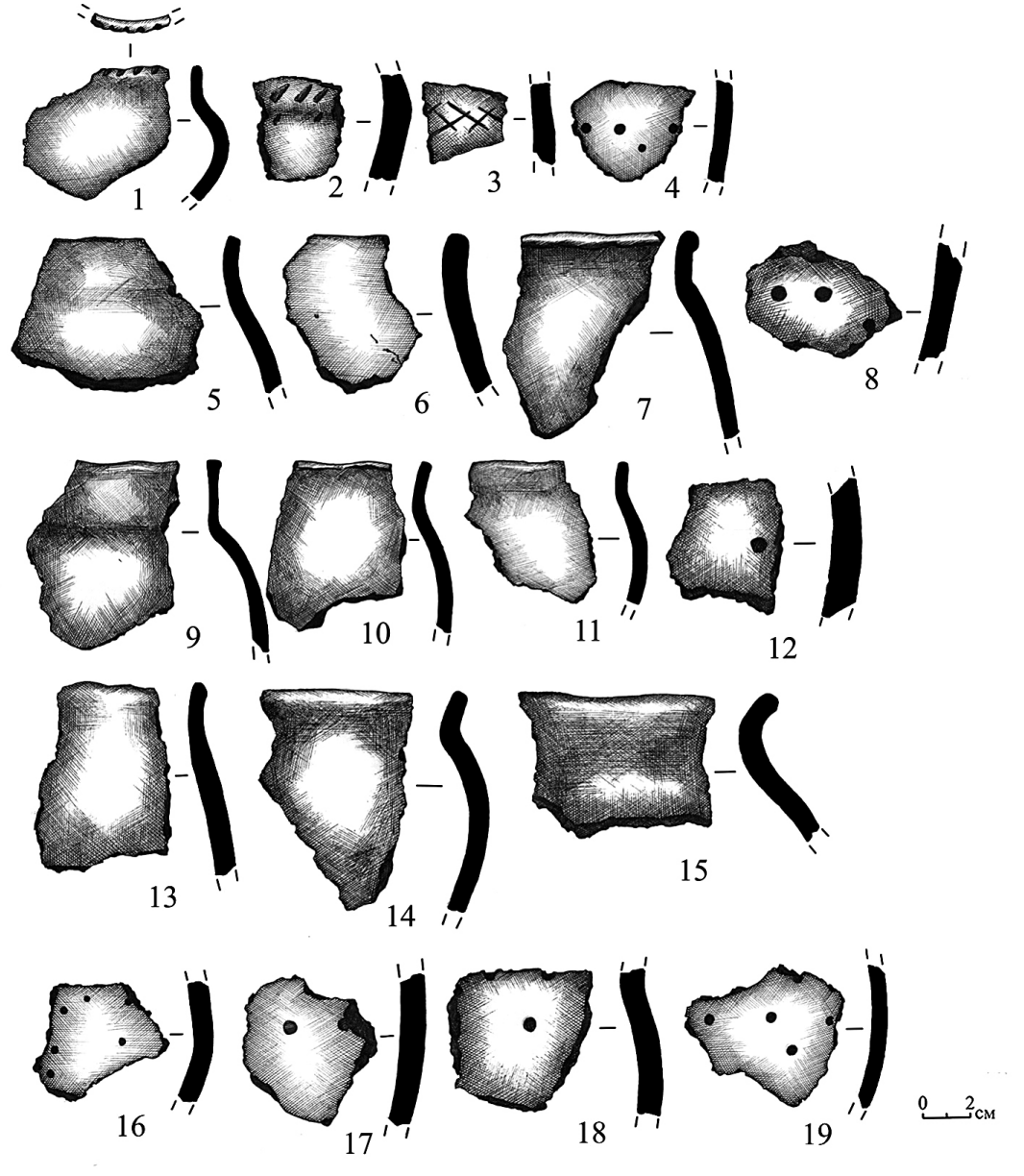

Рис. 121. Керамика, выявленная на уровне пласта 10 (продолжение).
Квадрат А1: 1 — инв. №9241, 2 — инв. №7670, 4 — инв. №7668, 8 — инв. №7666, 9– инв. №9213, 15 — инв. №9216, 19 — инв. №9193; **Квадрат А2:** 5 — инв. №8305, 11 — инв. №8314, 13 — инв. №8301; **Квадрат В1:** 3 — инв. №7239, 6 — инв. №7222, 12– инв. №7237, 14– инв. №7223; **Квадрат В2:** 7 — инв. №8370, 10 — инв. №8371, 16 — инв. №8329; **Квадрат С1:** 17 — инв. №7487, 18 — инв. №7484

Рис. 122. Пласт 11. Линия квадратов А2-В2. Вид с юга

Рис. 123. Пласт 11. Линия квадратов А1-С1. Вид с юга

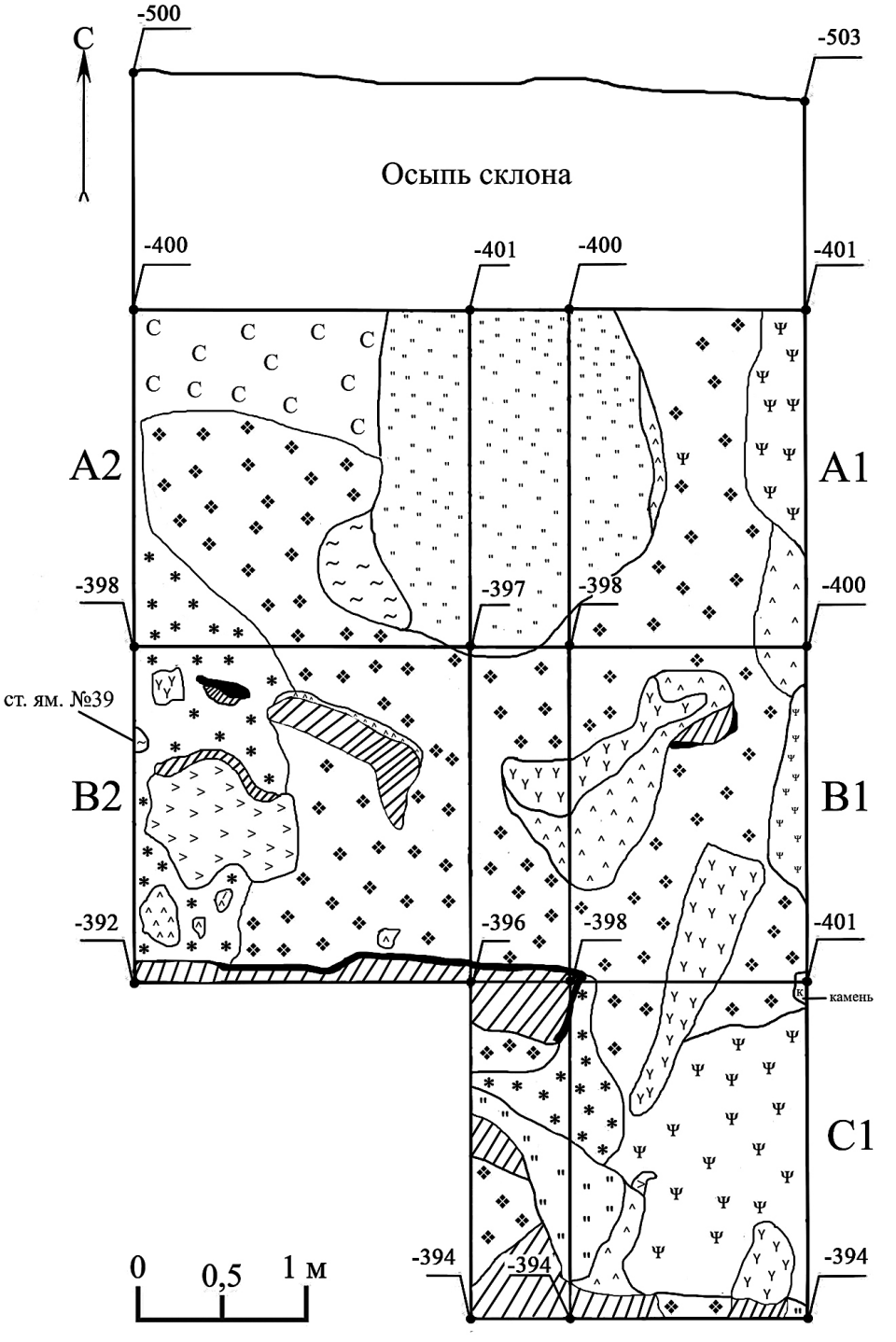

Рис. 124. Планиграфическая ситуация на уровне 11 пласта. Условные знаки на рис. 176

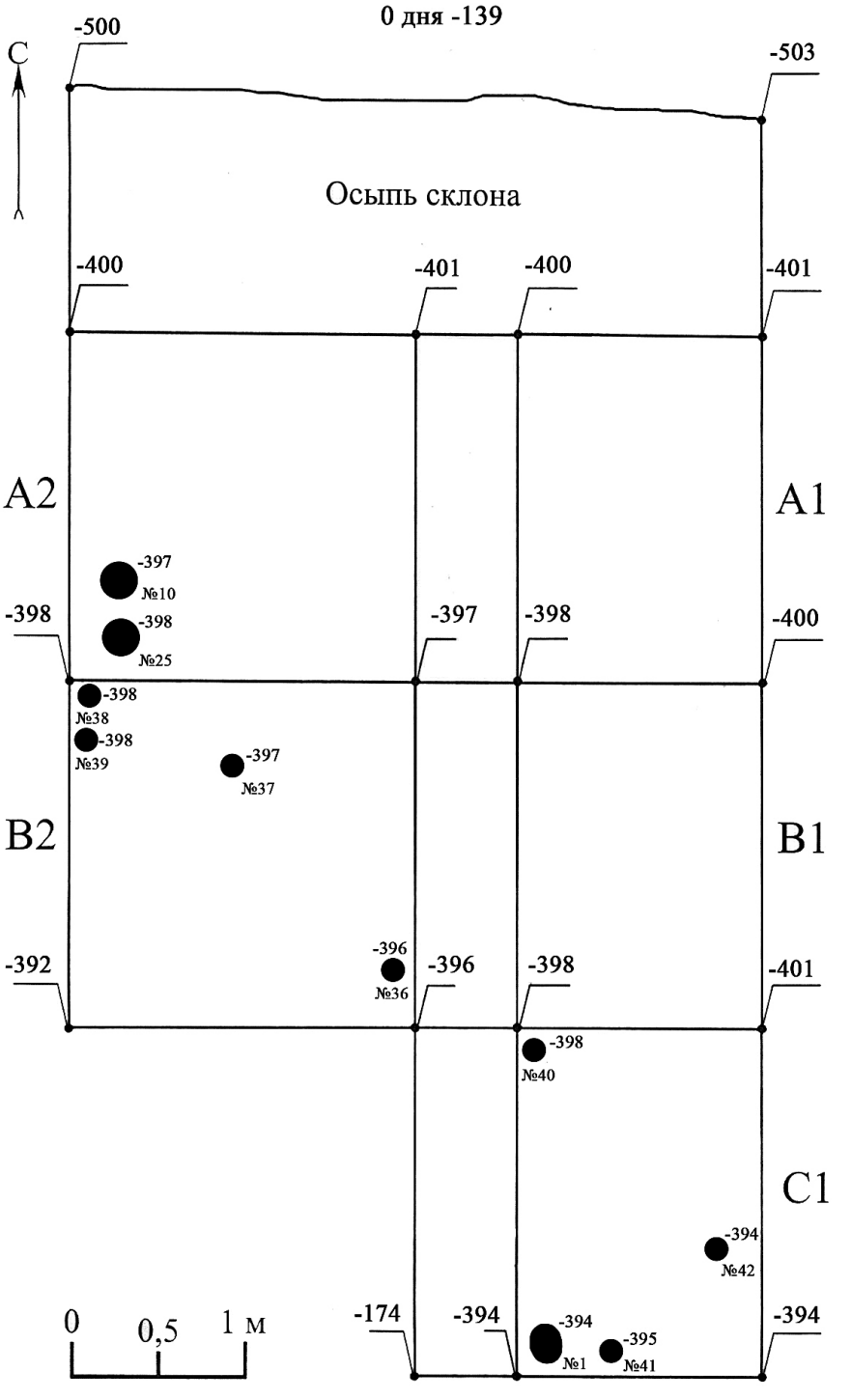

Рис. 125. Планиграфия столбовых ям выявленных на уровне 11 пласта

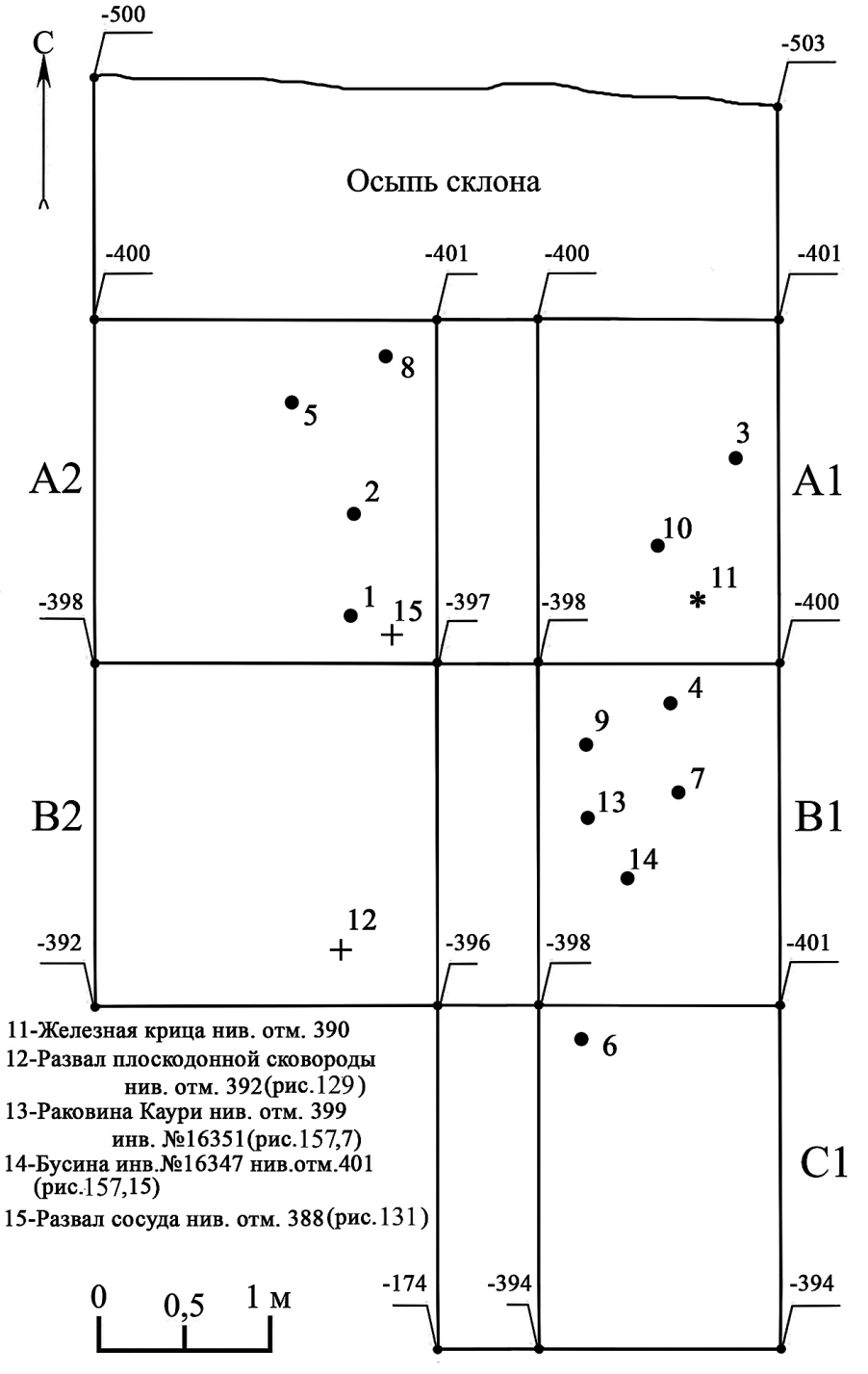

Рис. 126. Планиграфия индивидуальных находок 11 пласта. Нумерация соответствует рис. 127–128

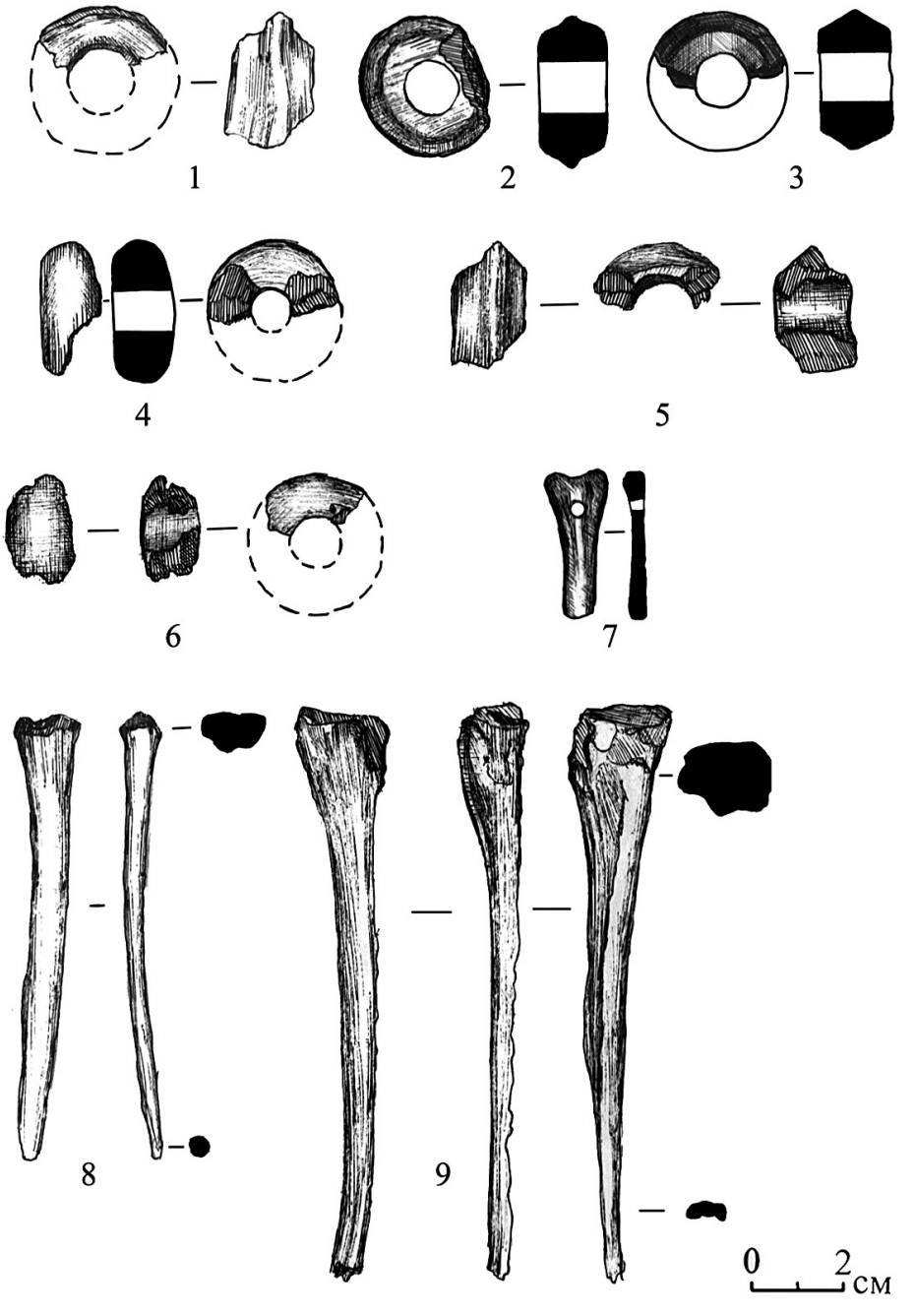

Рис. 127. Индивидуальные находки, выявленные на уровне пласт 11.
1–6 — прясла; 7 — подвеска-амулет; 8,9 — проколки. Материал: 1–6 — глина; 7–9 — кость. **Квадрат А1:** 3 — инв. №16302, нив. отм.415; **Квадрат А2:** 1 — инв. №16291, нив. отм.400, 2 — инв. №16257, нив. отм.391, 5 — инв. №16291, нив. отм.400, 8 — инв. №16284; **Квадрат В1:** 4 — инв. №16290, нив. отм. 387, 7 — инв. №16258, 9 — инв. №16266, нив. отм.392; **Квадрат С1:** 6 — инв. №16289, нив. отм. 390

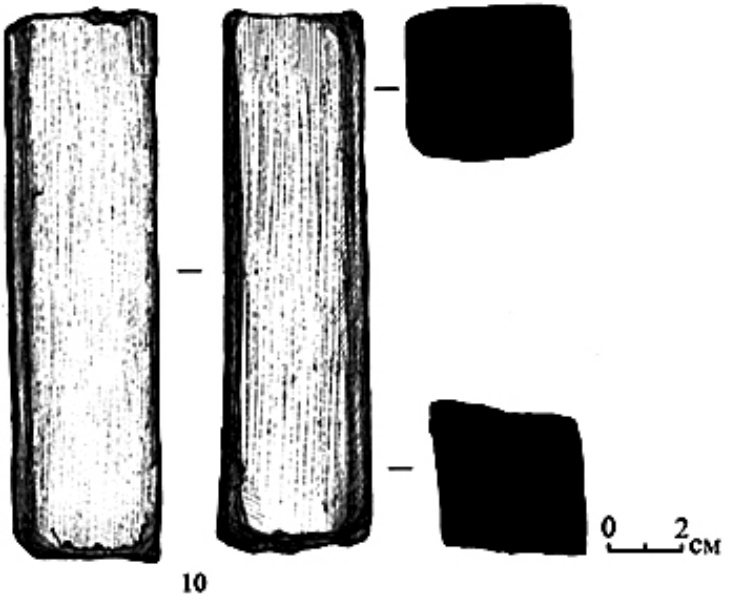

Рис. 128. Индивидуальные находки, выявленные на уровне пласт 11 (продолжение рис. 127).
10 — оселок. **Квадрат А1:** инв. №16255, нив. отм.390

Рис. 129. Реконструкция сковородки, выявленной в развале на уровне пласта 11.
Квадрат В2: инв. №16409–16416, нив. отм.392

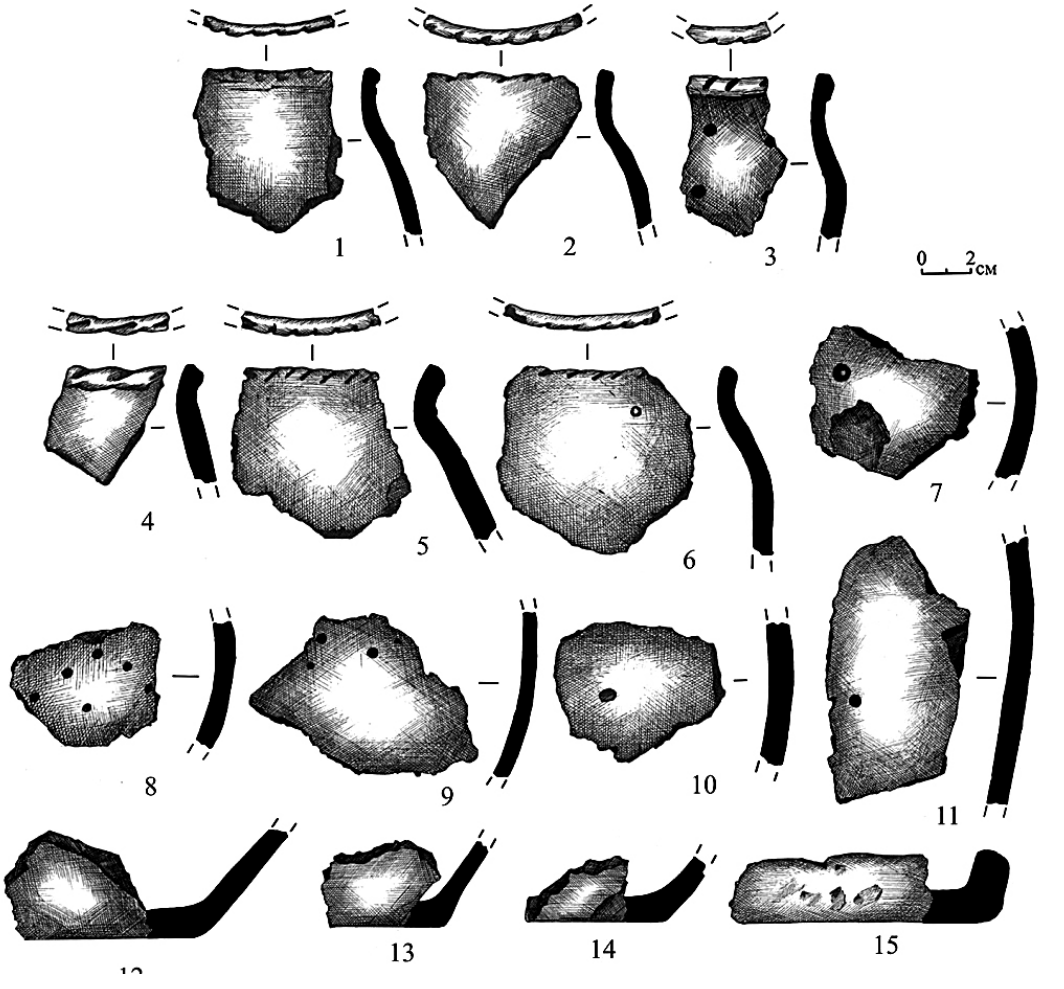

Рис. 130. Керамика, выявленная на уровне пласта 11.
Квадрат А1: 1 — инв. №9511, 4 — инв. №9503, 5 — инв. №9525, 6 — инв. №9509; **Квадрат В2:** 15 — инв. №8901; **Квадрат С1:** 2 — инв. №10063, 10 — инв. №10049; Бровка: 3 — инв. №13227, 7 — инв. №13219, 8 — инв. №13233, 9 — инв. №13226, 11 — инв. №13236, 12 — инв. №13206, 13 — инв. №13199, 14 — инв. №13200

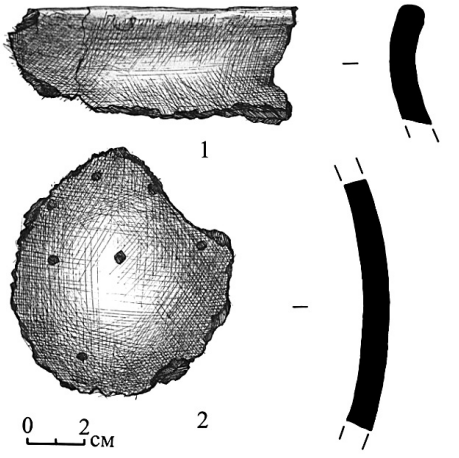

Рис. 131. Развал сосуда, выявленный в квадрате А2 на уровне пласта 11 (нив. отм. 388).
1 — инв. №16321, 2 — инв. №16325

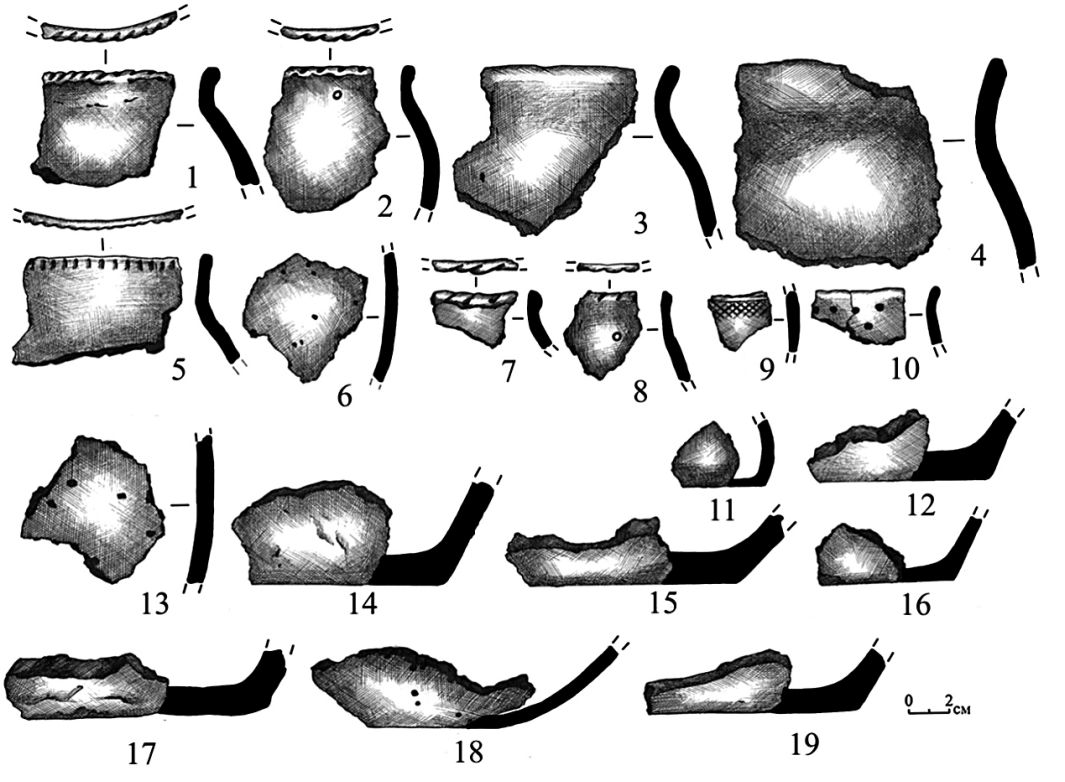

Рис. 132. Керамика, выявленная на уровне пласта 11 (продолжение).
Квадрат А1: 1 — инв. №8884, 2 — инв. №9610, 3 — инв. №8873, 4 — инв. №9520, 5 — инв. №9616 6 — инв. №9913, 7 — инв. №8885, 9 — инв. №8882, 10 — инв. №9507, 15 — инв. №9530, 18 — инв. №9432; **Квадрат А2:** 12 — инв. №9528, 17 — инв. №9929, 19 — инв. №9531; **Квадрат В1:** 14 — инв. №10329; **Квадрат В2:** 11 — инв. №8894, 13 — инв. №8926; **Квадрат С1:** 8 — инв. №7497; Бровка: 16 — инв. №13203

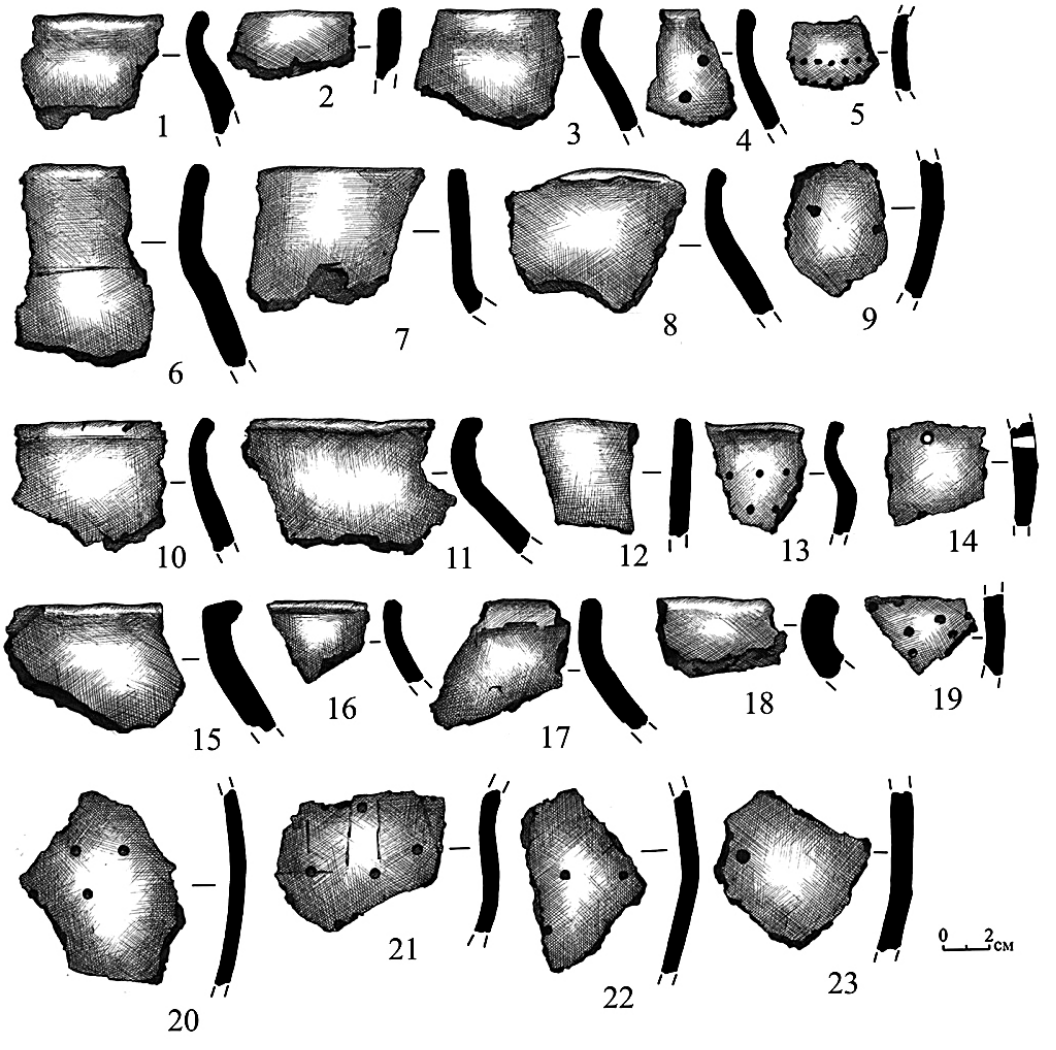

Рис. 133. Керамика, выявленная на уровне пласта 11 (продолжение).
Квадрат А1: 3 — инв. №8866, 5 — инв. №9411, 6 — инв. №9502, 7 — инв. №9467, 8 — инв. №9461, 10 — инв. №9477, 14 — инв. №8878, 15 — инв. №9468; **Квадрат В1:** 4 — инв. №10239, 17 — инв. №10335, 18 — инв. №10331, 19 — инв. №10325; **Квадрат В2:** 1 — инв. №8888, 9 — инв. №10324, 11 — инв. №8913, 13 — инв. №8891, 21 — инв. №8955; **Квадрат С1:** 12 — инв. №10038, 20 — инв. №10044; Бровка: 2 — инв. №10208, 16 — инв. №13209, 22– инв. №13223, 23 — инв. №13221

Рис. 134. Пласт 12. Линия квадратов С1-А1. Вид с юга

Рис. 135. Пласт 12. Линия квадратов А2-В2 после выборки столбовых ямок. Вид с юга

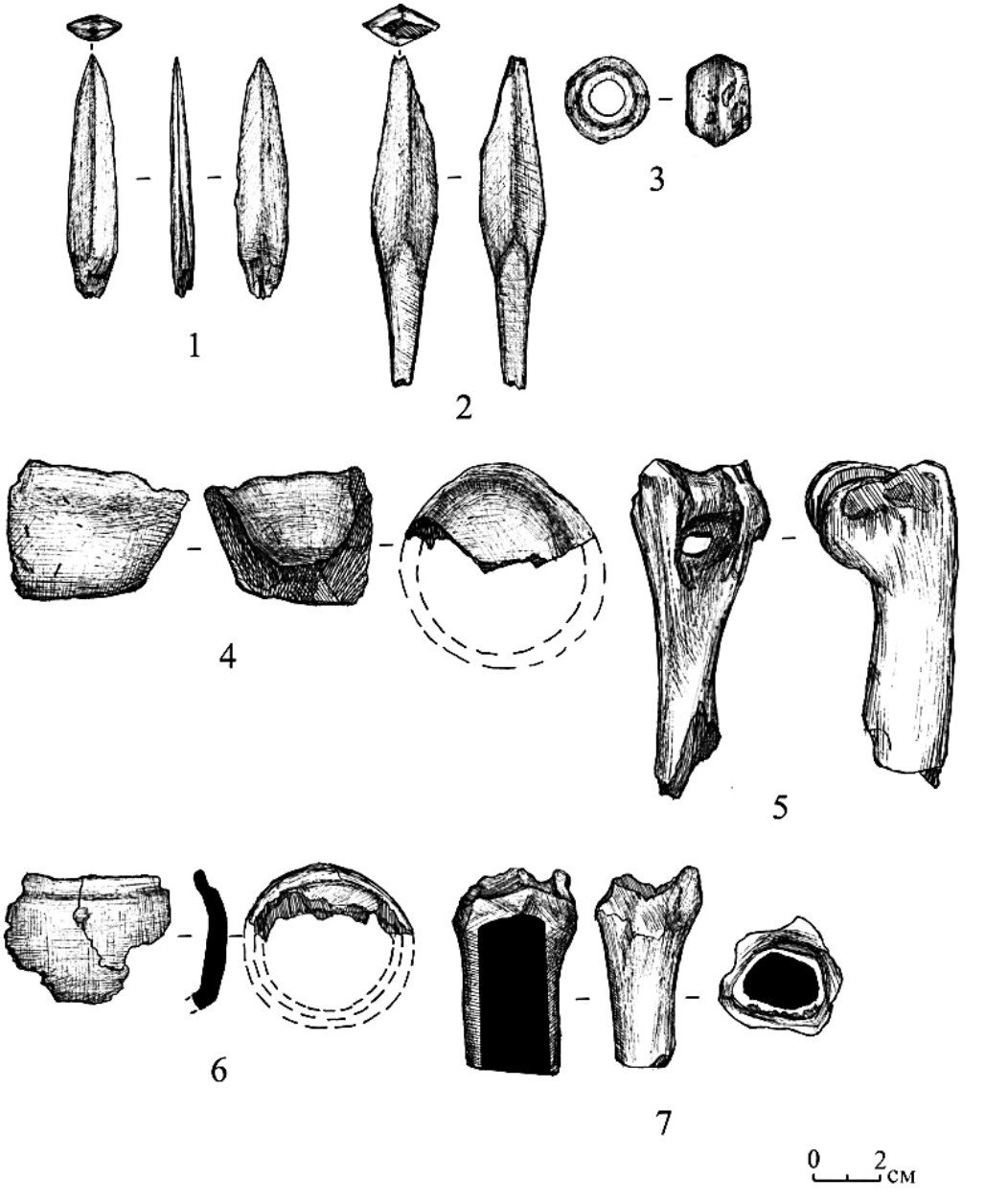

Рис. 136. Индивидуальные находки, выявленные на уровне пласт 12.
1,2 — наконечники стрел; 3 — прясло; 4,6 — миниатюрный сосудик; 5 — кость с отверстием; 7 — вероятно, рукоять. Материал: 1,2,5,7 — кость; 3,4,6 — глина. **Квадрат А1:** 6 — инв. №16278, нив. отм.414, 7 — инв. №16256, нив. отм.414; **Квадрат А2:** 1 — инв. №16268, нив. отм.413, 4 — инв. №16269, нив. отм.410, 5 — инв. №16283, нив. отм.409; **Квадрат В1:** 3 — инв. №16272, нив. отм.416; **Квадрат С1:** 2 — инв. №16261, нив. отм.416

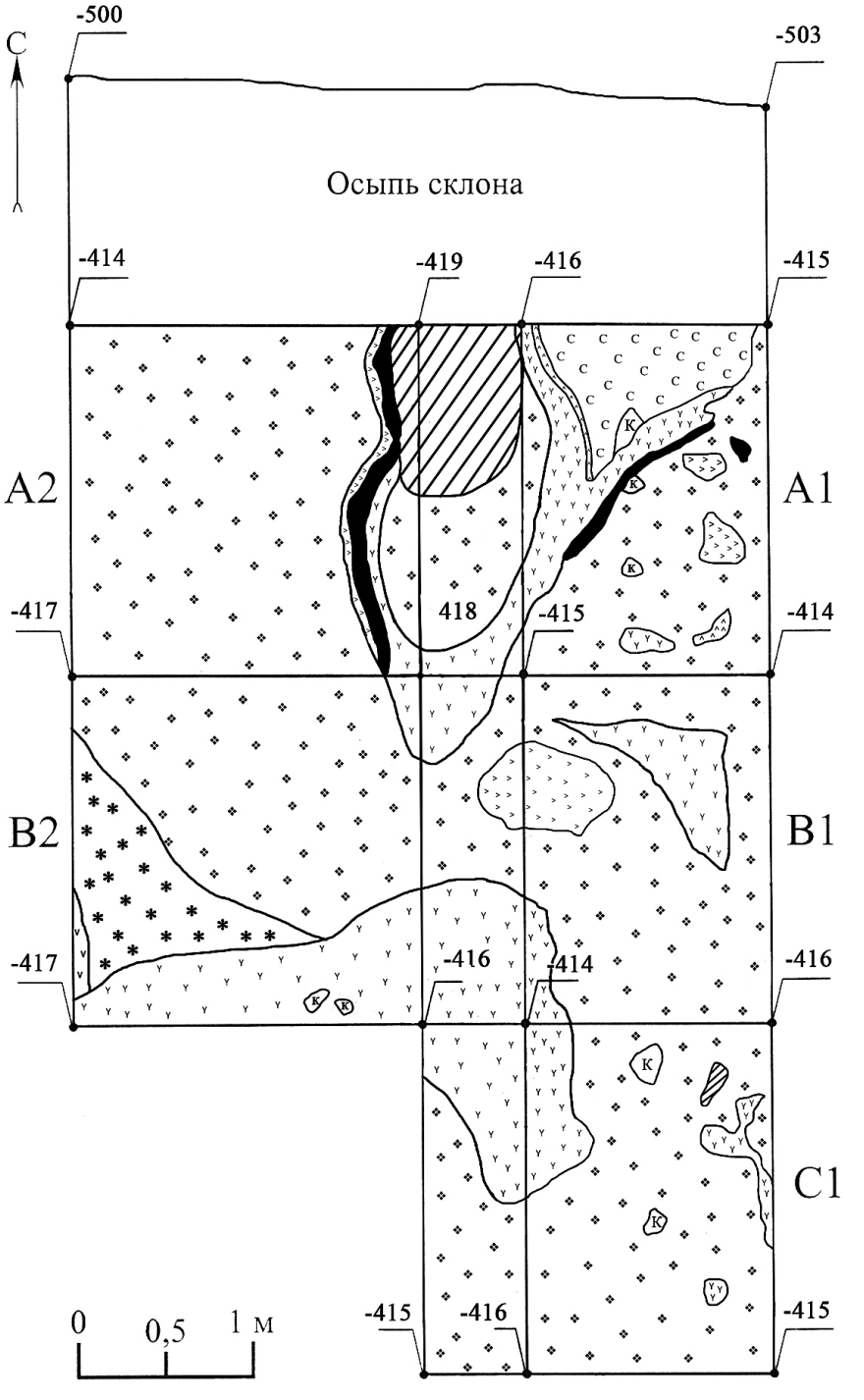

Рис. 137. Планиграфическая ситуация на уровне 12 пласта. Условные знаки на рис. 176

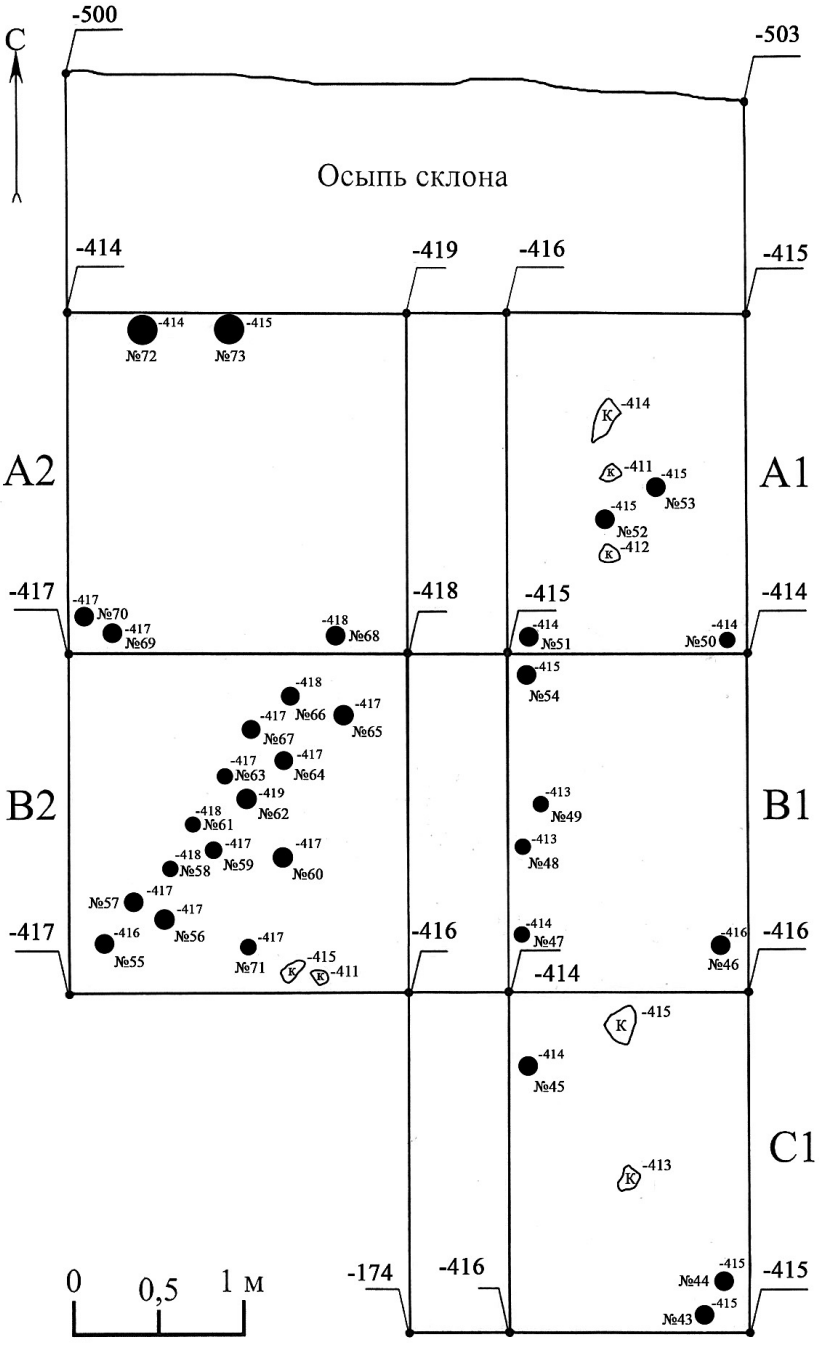

Рис. 138. Планиграфия столбовых ям и камней, выявленных на уровне 12 пласта

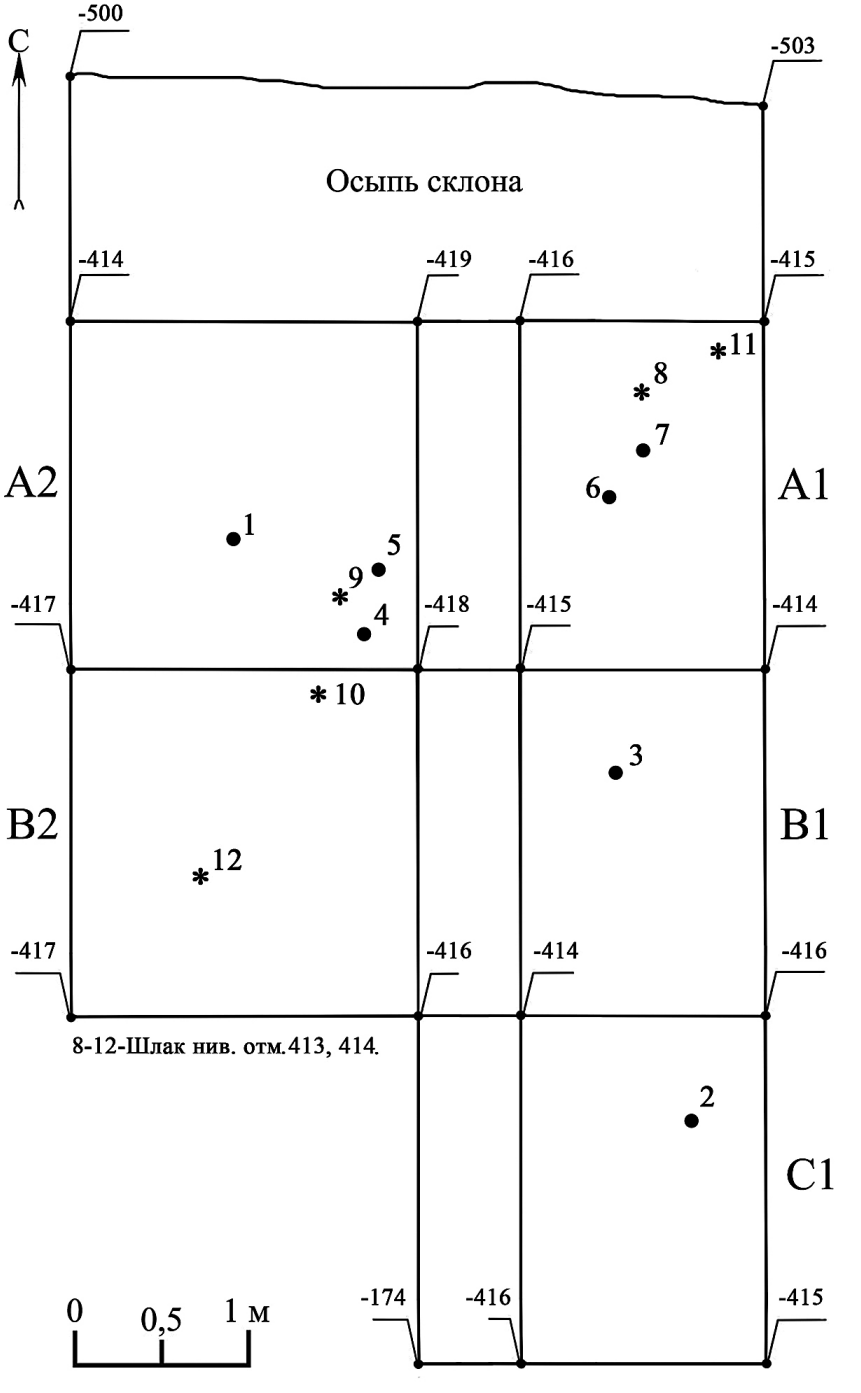

Рис. 139. Планиграфия индивидуальных находок 12 пласта.
Нумерация соответствует рис. 136

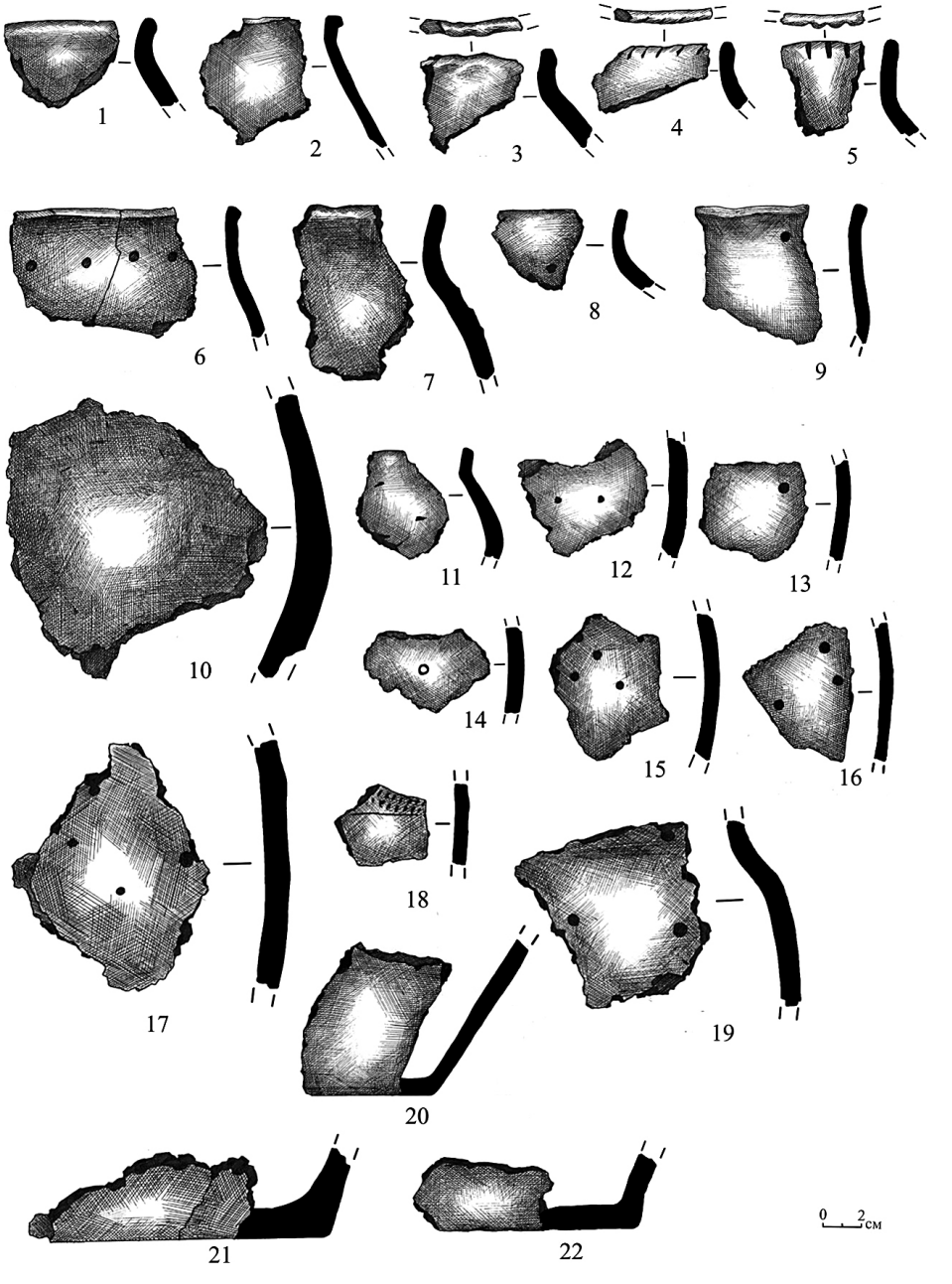

Рис. 140. Керамика, выявленная на уровне пласта 12.
Квадрат А1: 3 — инв. №10701, 4 — инв. №10678, 13 — инв. №10692, 14 — инв. №10680; **Квадрат В1:** 8 — инв. №11329, 15 — инв. №11334, 22 — инв. №11331; **Квадрат В2:** 6 — инв. №10826 (развал), 7 — инв. №10840, 10 — инв. №10918; **Квадрат С1:** 1 — инв. №10731, 2 — инв. №10730, 5– инв. №10705, 11 — инв. №10702, 12 — инв. №10725, 17 — инв. №10729, 18 — инв. №10715, 19 — инв. №10728, 21 — инв. №10742; Бровка: 9 — инв. №14355, 16 — инв. №14343, 20– инв. №14359

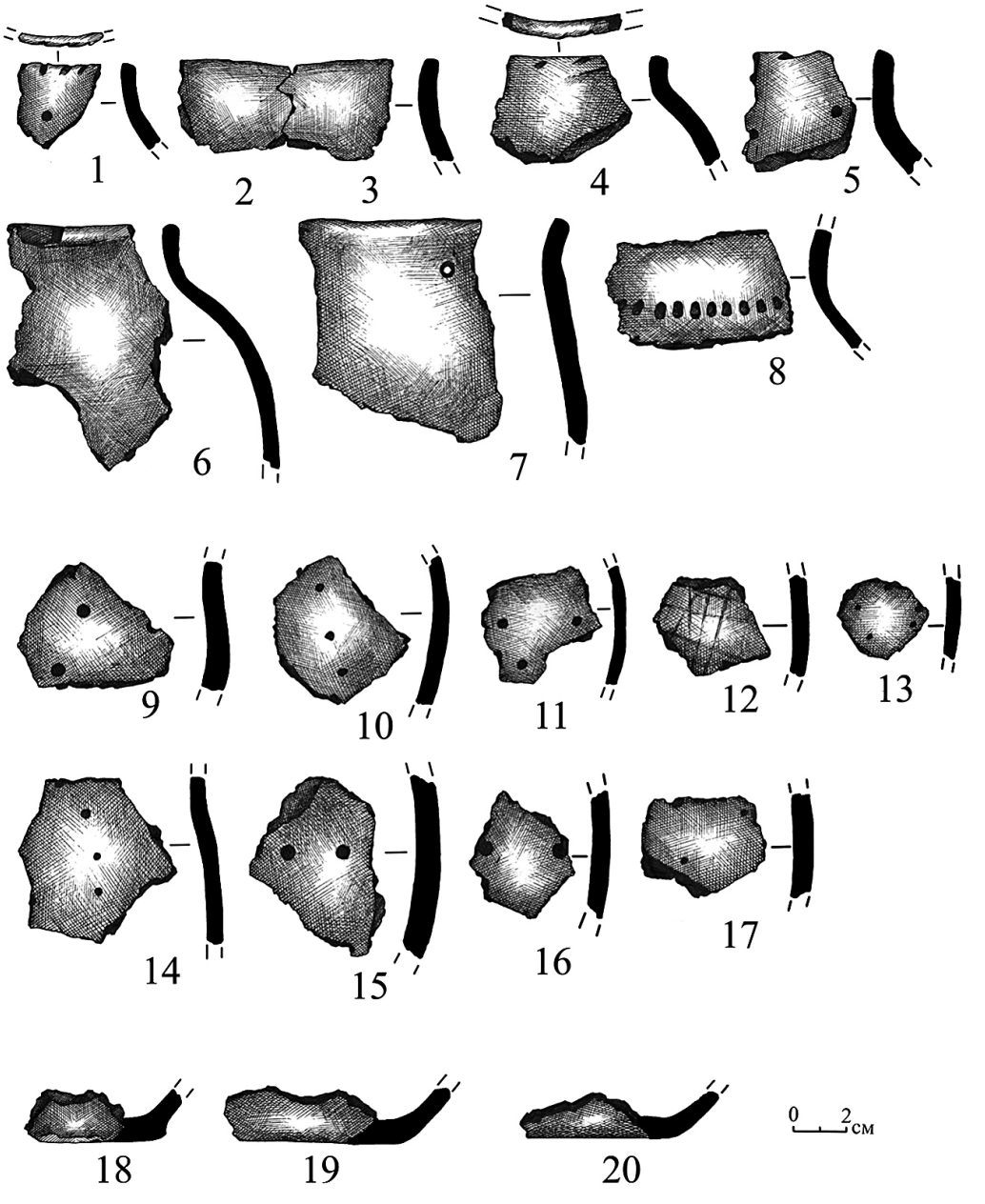

Рис. 141. Керамика, выявленная на уровне пласта 12 (продолжение).
Квадрат А2: 1 — инв. №11209, 2 — инв. №11257, 3 — инв. №11246, 4 — инв. №11249, 9 — инв. №11230, 14 — инв. №11235, 15 — инв. №11228, 18 — инв. №11243, 19 — инв. №11245, 20 — инв. №11241; **Квадрат В1:** 8 — инв. №11338; **Квадрат В2:** 6 — инв. №10841, 10 — инв. №10861, 11 — инв. №10878, 12 — инв. №8353; Бровка: 5 — инв. №14348, 7 — инв. №14355, 13– инв. №14338 (мазунинская культура), 16 — инв. №14335, 17 — инв. №14336

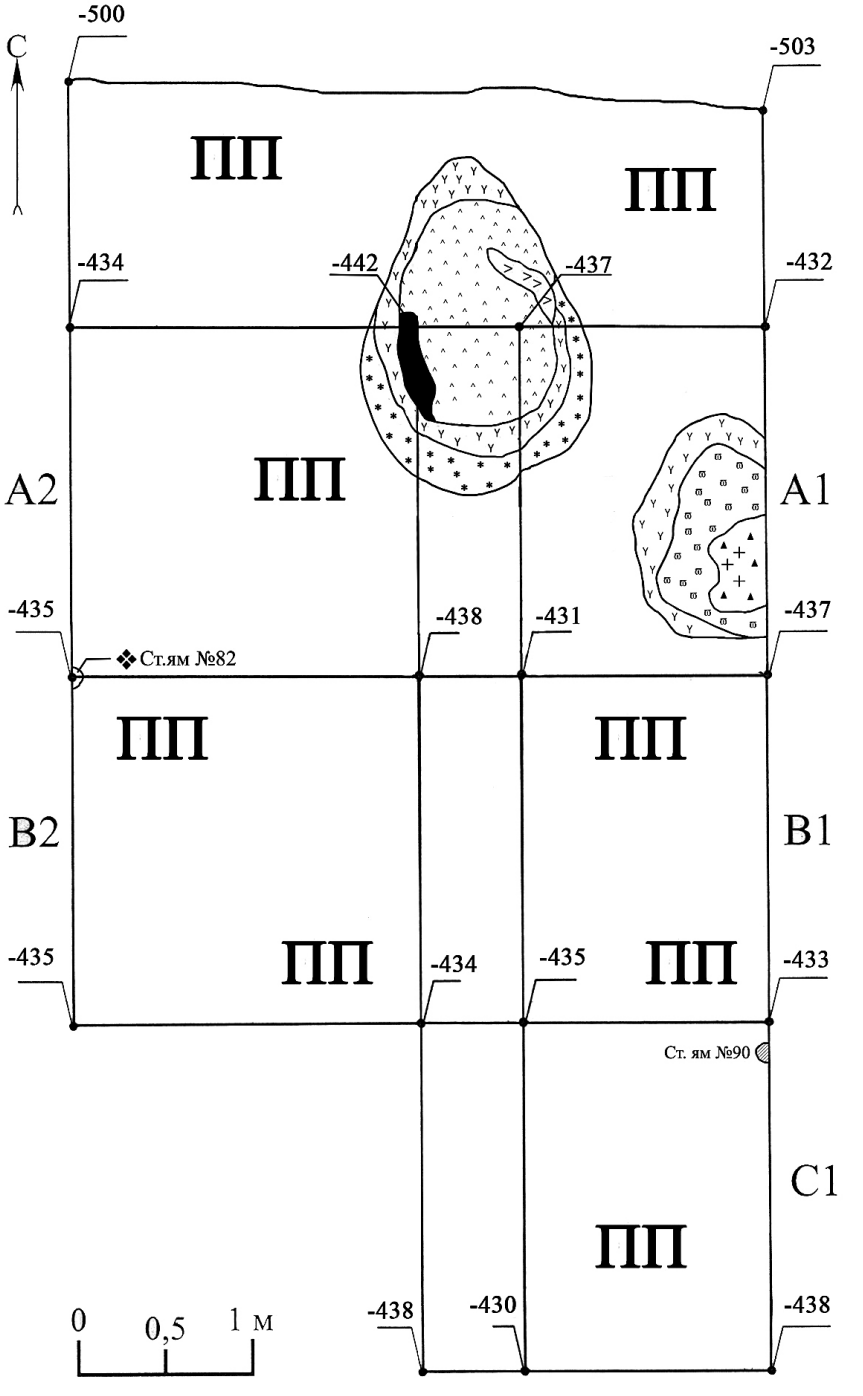

Рис. 142. Планиграфическая ситуация на уровне 13 пласта. Условные знаки на рис. 176

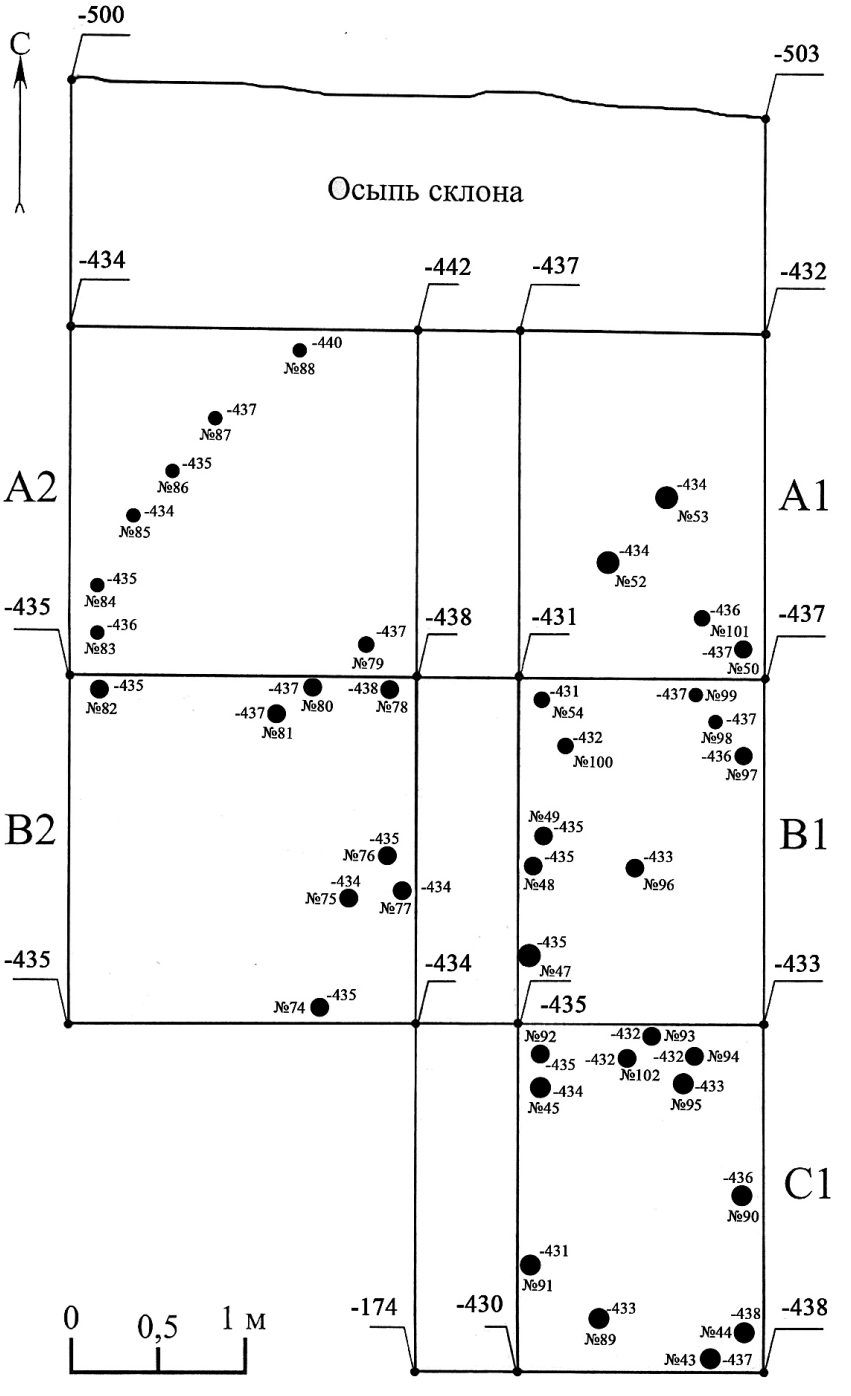

Рис. 143. Планиграфия столбовых ям выявленных на уровне пласта 13

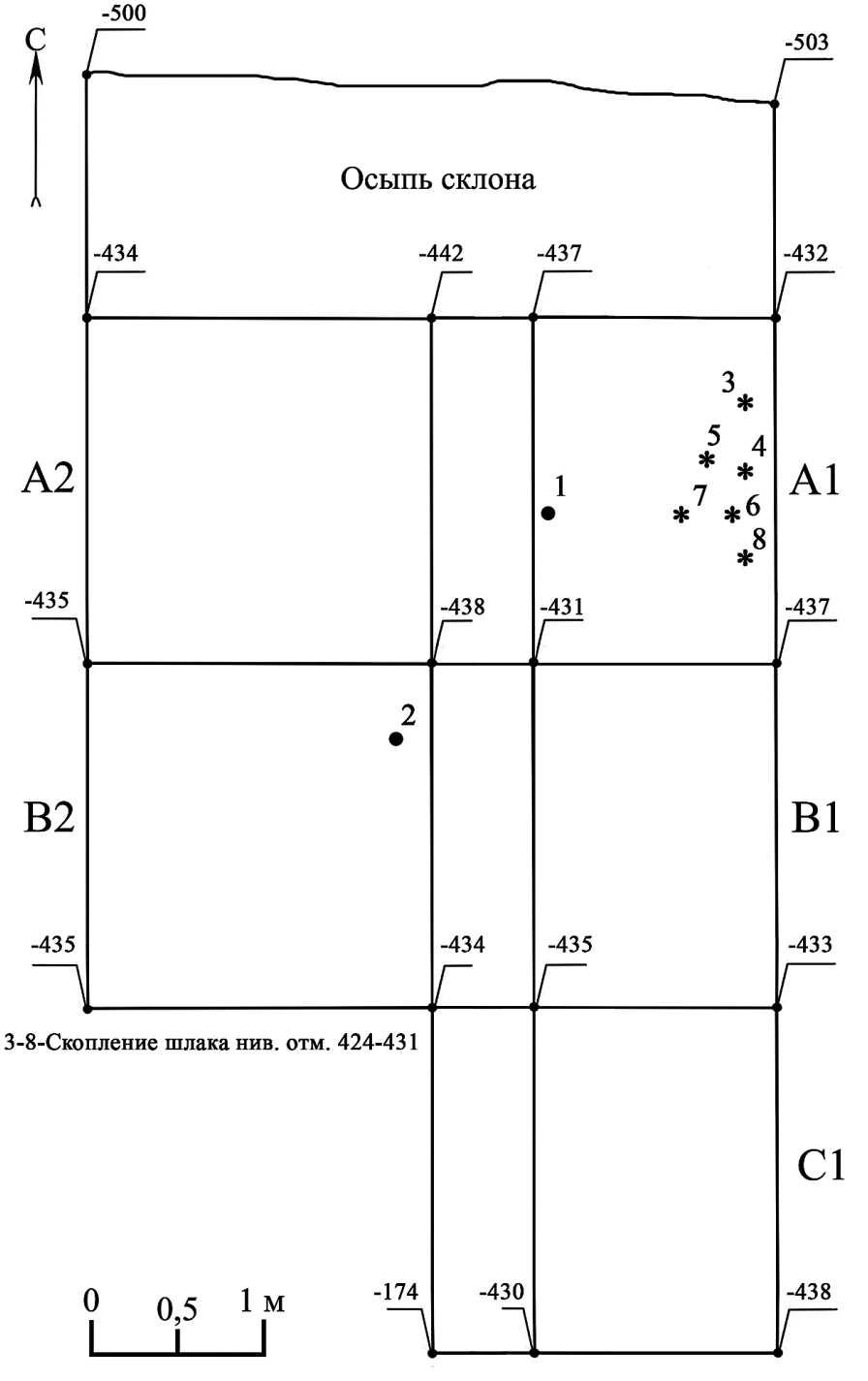

Рис. 144. Планиграфия индивидуальных находок 13 пласта

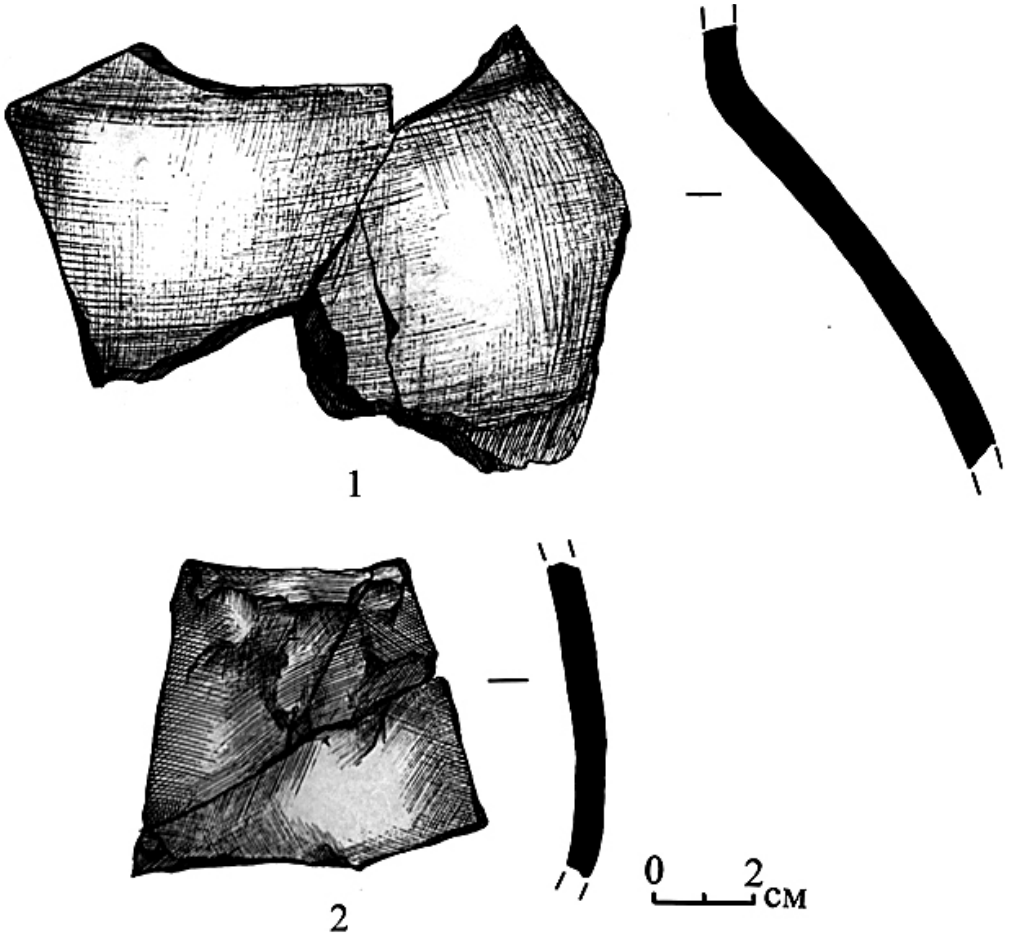

Рис. 145. Фрагменты кругового сосуда, выявленные на уровне пласта 13.
Квадрат А1: 1 — инв. №16161–16163, **Квадрат В2:** 2 — инв. №16180

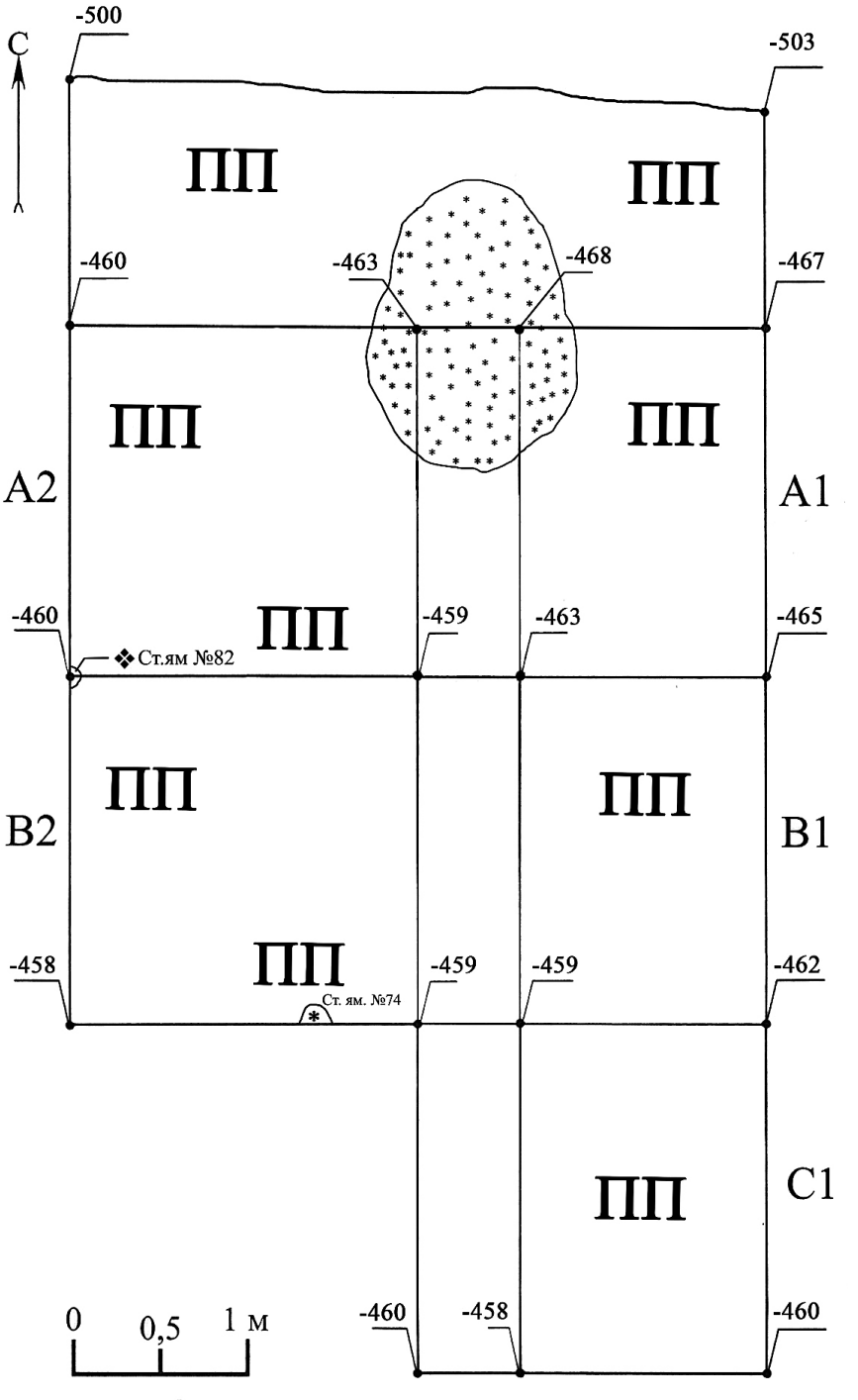

Рис. 146. Планиграфическая ситуация на уровне 14 пласта. Условные знаки на рис. 176

Рис. 147. Пласт 15. Квадрат А2. Хозяйственная яма №1 после выборки 30 см. Вид с юга

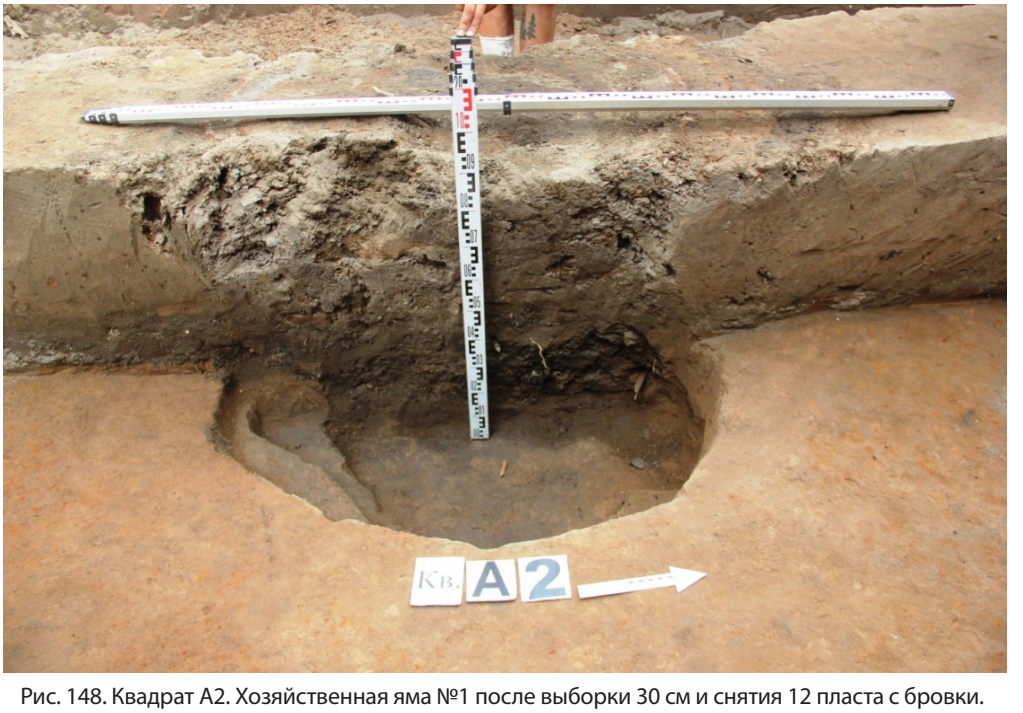

Рис. 148. Квадрат А2. Хозяйственная яма №1 после выборки 30 см и снятия 12 пласта с бровки. Вид с востока

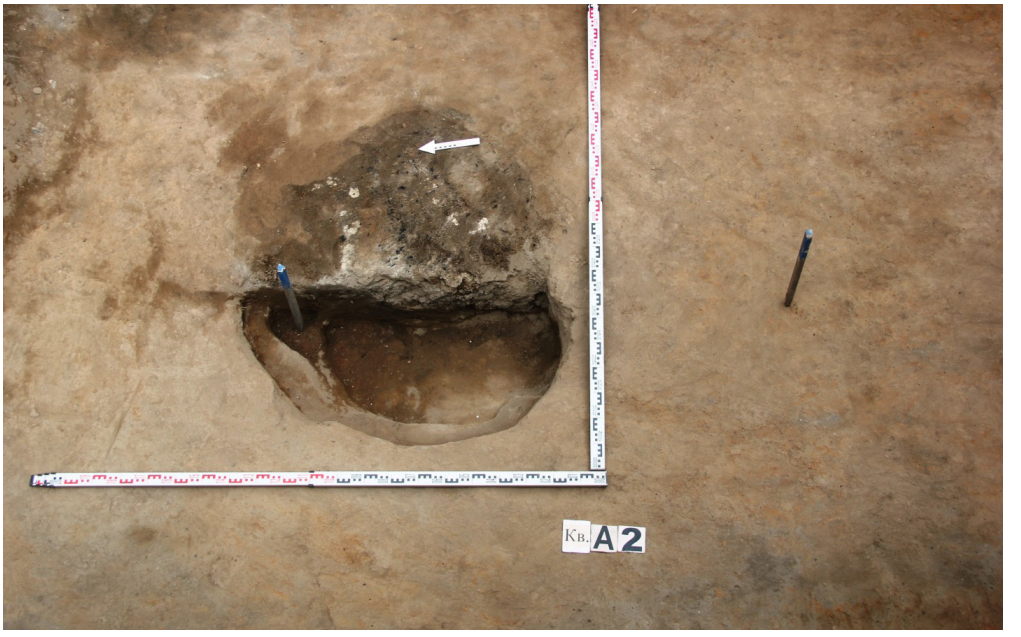

Рис. 149. Квадрат А2. Хозяйственная яма №1 после выборки 30 см и снятия 15 пласта с бровки. Вид с запада

Рис. 150. Квадрат А2. Хозяйственная яма №1. после выборки 30 см и снятия 1 пласта под бровкой. Вид с запада

Рис. 151. Квадрат А2. Хозяйственная яма №1. Процесс разборки заполнения. Вид с юга

Рис. 152. Квадрат А2. Хозяйственная яма №1. Процесс разборки заполнения. Вид с запада

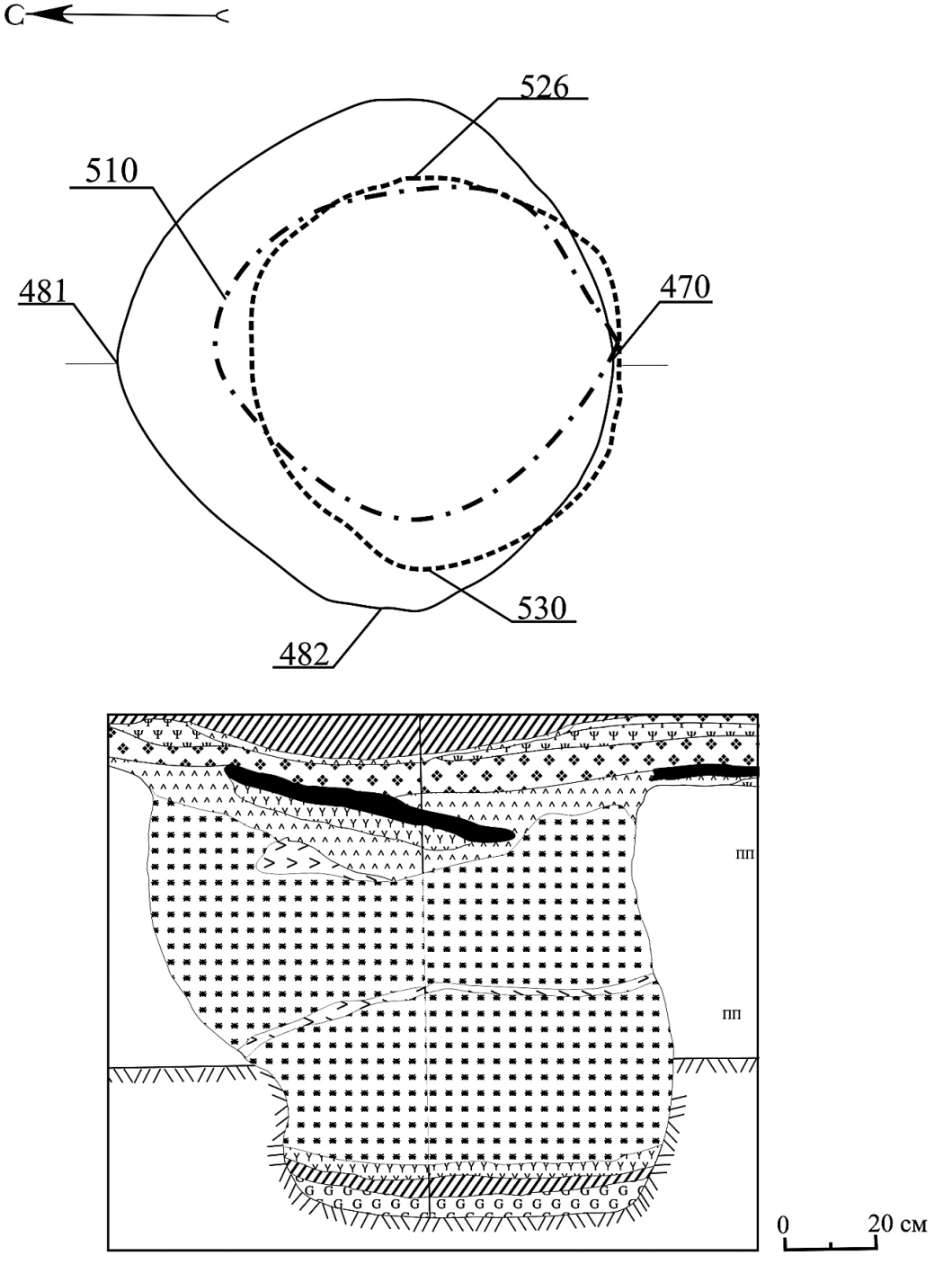

Рис. 153. План и профиль хозяйственной ямы №1

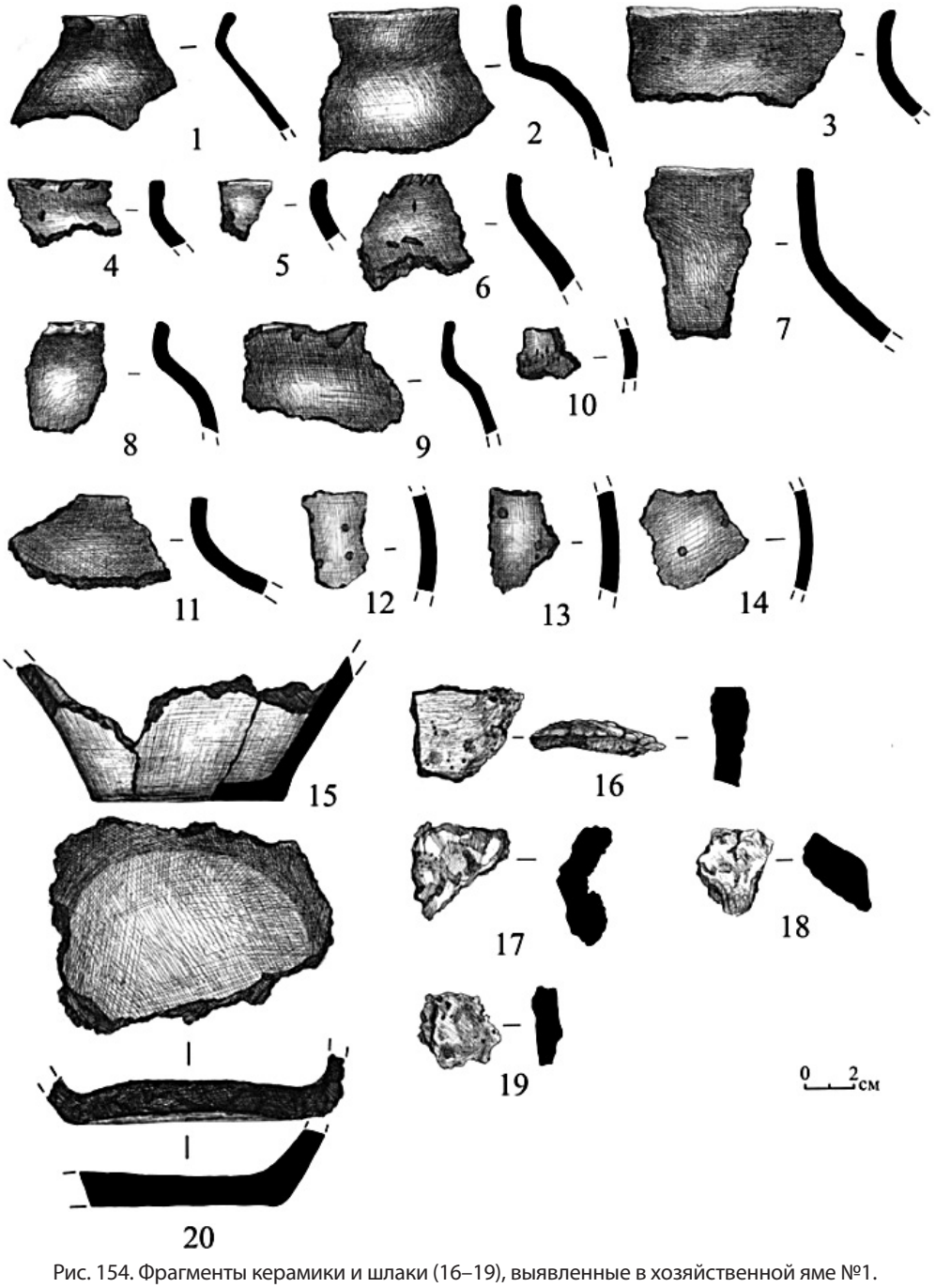

Рис. 154. Фрагменты керамики и шлаки (16–19), выявленные в хозяйственной яме №1.
1 — инв. №16144, 2 — инв. №16145, 3 — инв. №16722, 4 — инв. №16715, 5 — инв. №16714, 6 — инв. №16716, 7 — инв. №16725, 8 — инв. №16717, 9 — инв. №16723, 10 — инв. №16149, 11 — инв. №16124, 12 — инв. №16721, 13 — инв. №16719, 14 — инв. №16718, 15 — инв. №16152, 16 — инв. №16729 (шлак), 17 — инв. №16727 (шлак), 18 — инв. №16728, 19 — инв. №16726, 20 — инв. №16159

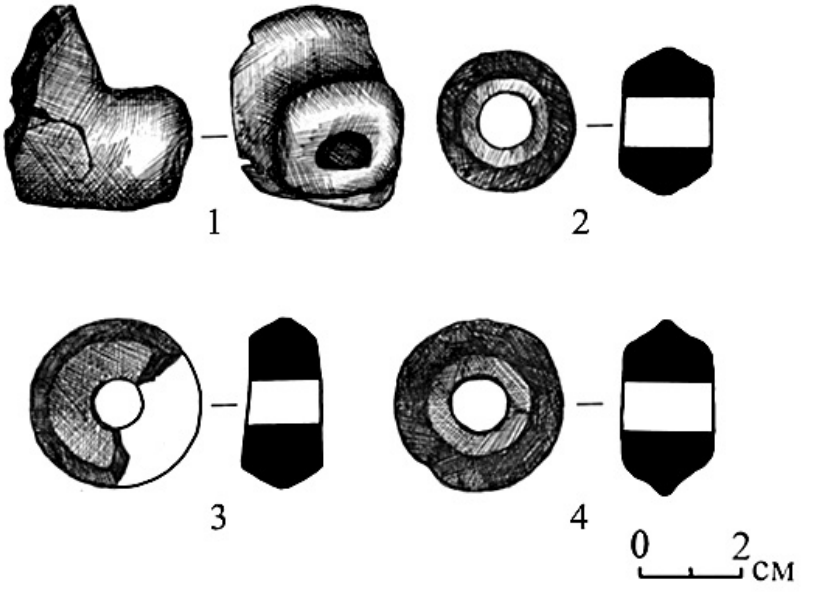

Рис. 155. Индивидуальные находки, выявленные на уровне пласта 15.
1 — сопло№ 2–4 — прясла. Материал: глина. **Квадрат А1:** 1 — инв. №16191, нив. отм.460; **Хоз. яма №1:** 2 — инв. №16298 (квадрат А2), нив. отм.502, 3 — инв. №16306 (квадрат А1), нив. отм.460, 4 — инв. №16300 (квадрат А1) нив. отм.524

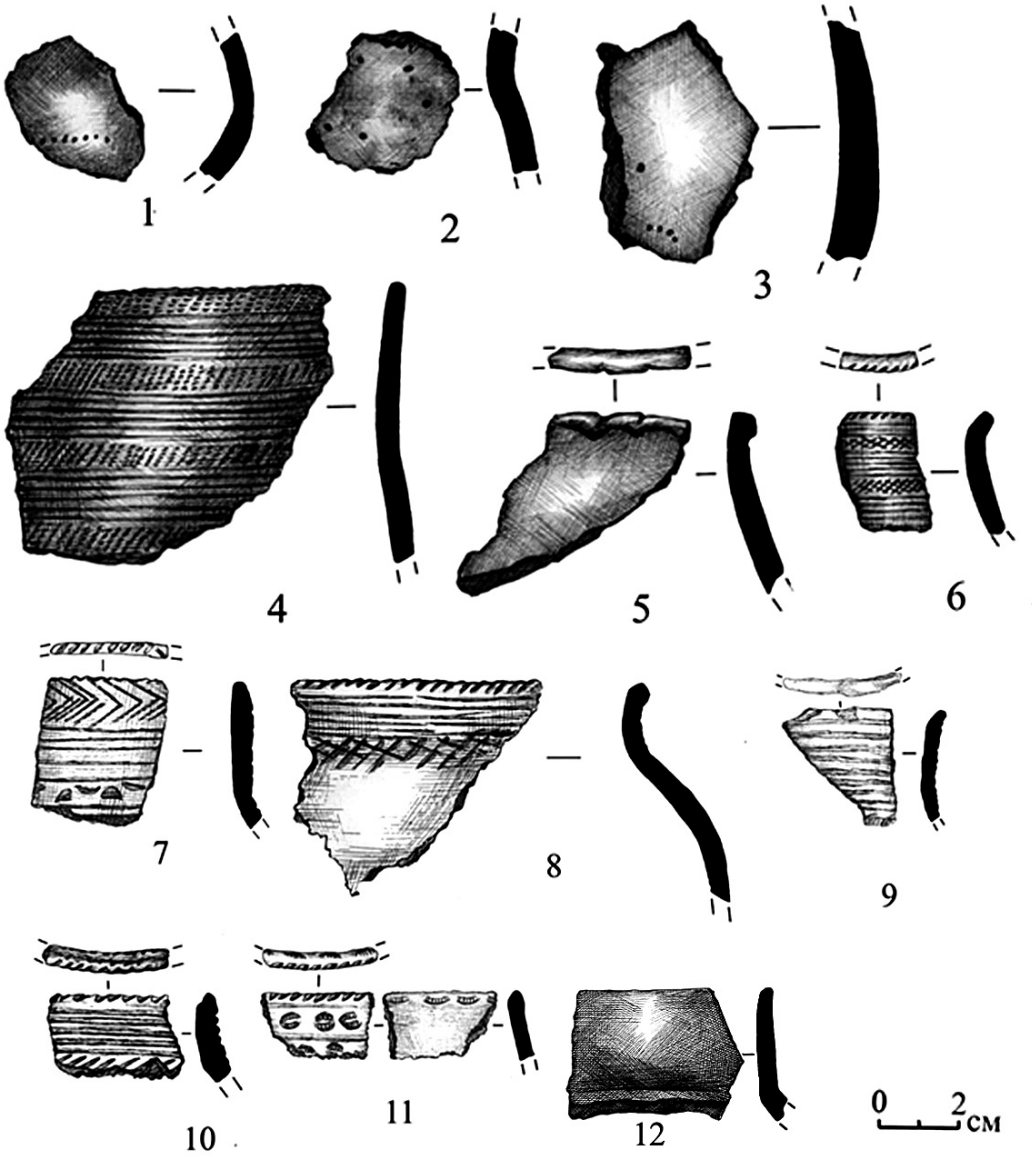

Рис. 156. Основные керамические комплексы:

мазунинской культуры: Квадрат В1: 1 — инв. №7 (пласт 1), 3 — инв. №2918 (пласт 5); **Квадрат В2:** 2 — инв. №2485 (пласт 5);

кушнаренковской культуры: Квадрат А1: 11 — инв. №16378 (пласт 8); **Квадрат В1:** 4– инв. №16548 (пласт 4), нив. отм.249, 7 — инв. №16189 (пласт 9), 9 — инв. №16225 (пласт 8), **Квадрат В2:** 6 — инв. №16585 (пласт 5);

караякуповской культуры: Квадрат А2: 8 — инв. №16279 (пласт 7), нив. отм.329; **Квадрат В1:** 10 — инв. №16279 (пласт 8), нив. отм.242;

турбаслинской культуры: Квадрат В1: 12 — инв. №4154 (пласт 7)

романовско-именьковская культура: Бровка: 5 — инв. №16547 (пласт 11)

Рис. 157. Бусы и подвески (1, 6–8).
Материал: 1 — халцедон; 2–5,9-16 — стекло; 6–8 — раковина Каури (Cypraeidae). **Квадрат В2:** 1 — инв. №16345, пласт 10; 2 — инв. №16353, пласт 5; **Квадрат С1:** 3 — инв. № 16346, пласт 7; 16 — инв. № 16348, пласт 5; **Квадрат А1:** 4– инв. № 16709, пласт 10; 6– инв. №12347, пласт 9; **Квадрат В1:** 5 — инв. № 16215, пласт 9; 7 — инв. №16351, пласт 11; 9 — инв. № 16205, пласт 9; 15 — инв. №16347, пласт 11; **Квадрат А2:** 8 — инв. № 16352, пласт 10; 10–14 — инв. № 16201, 16341–44, пласт 10

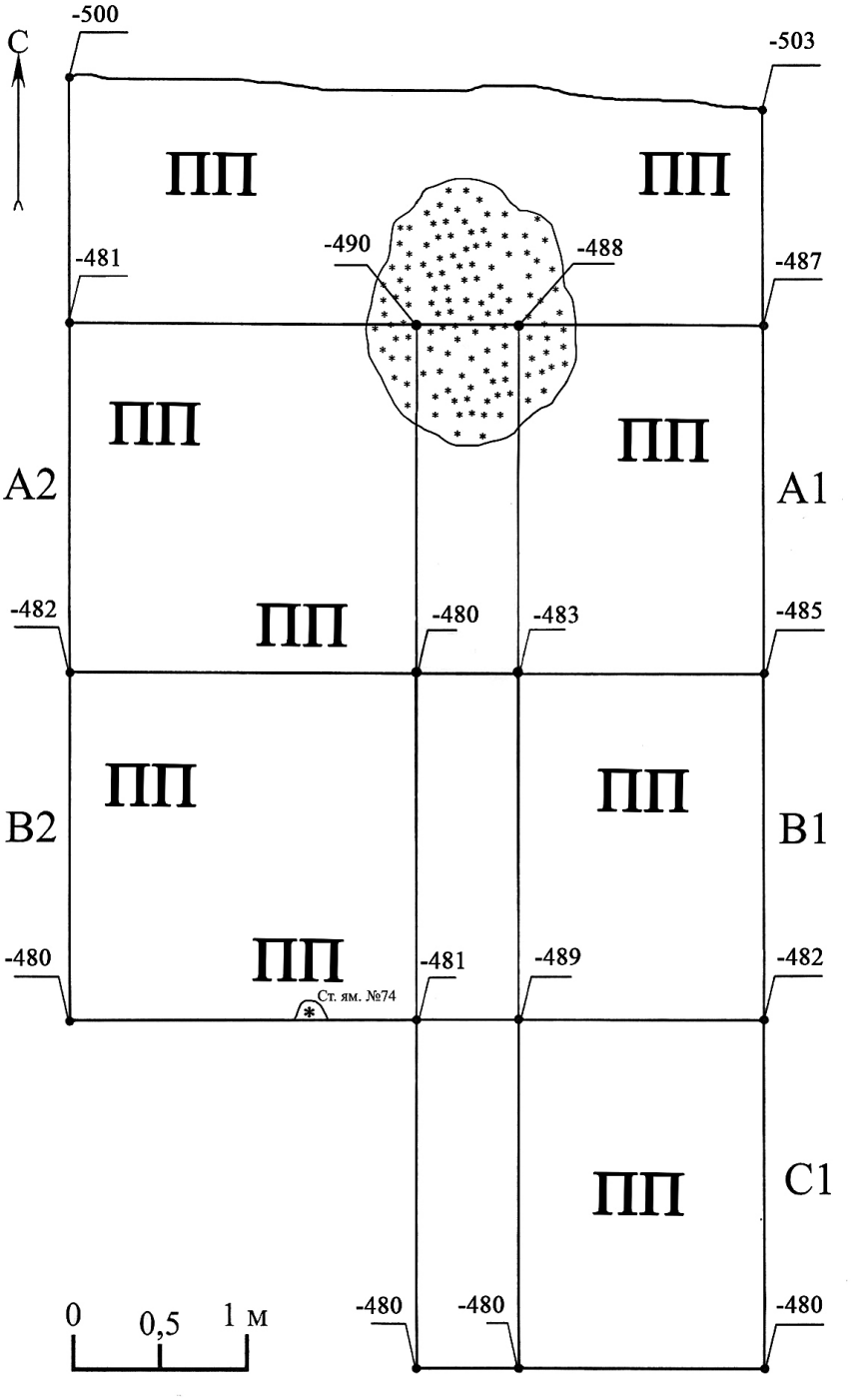

Рис. 158. Планиграфическая ситуация на уровне 15 пласта. Условные знаки на рис. 176

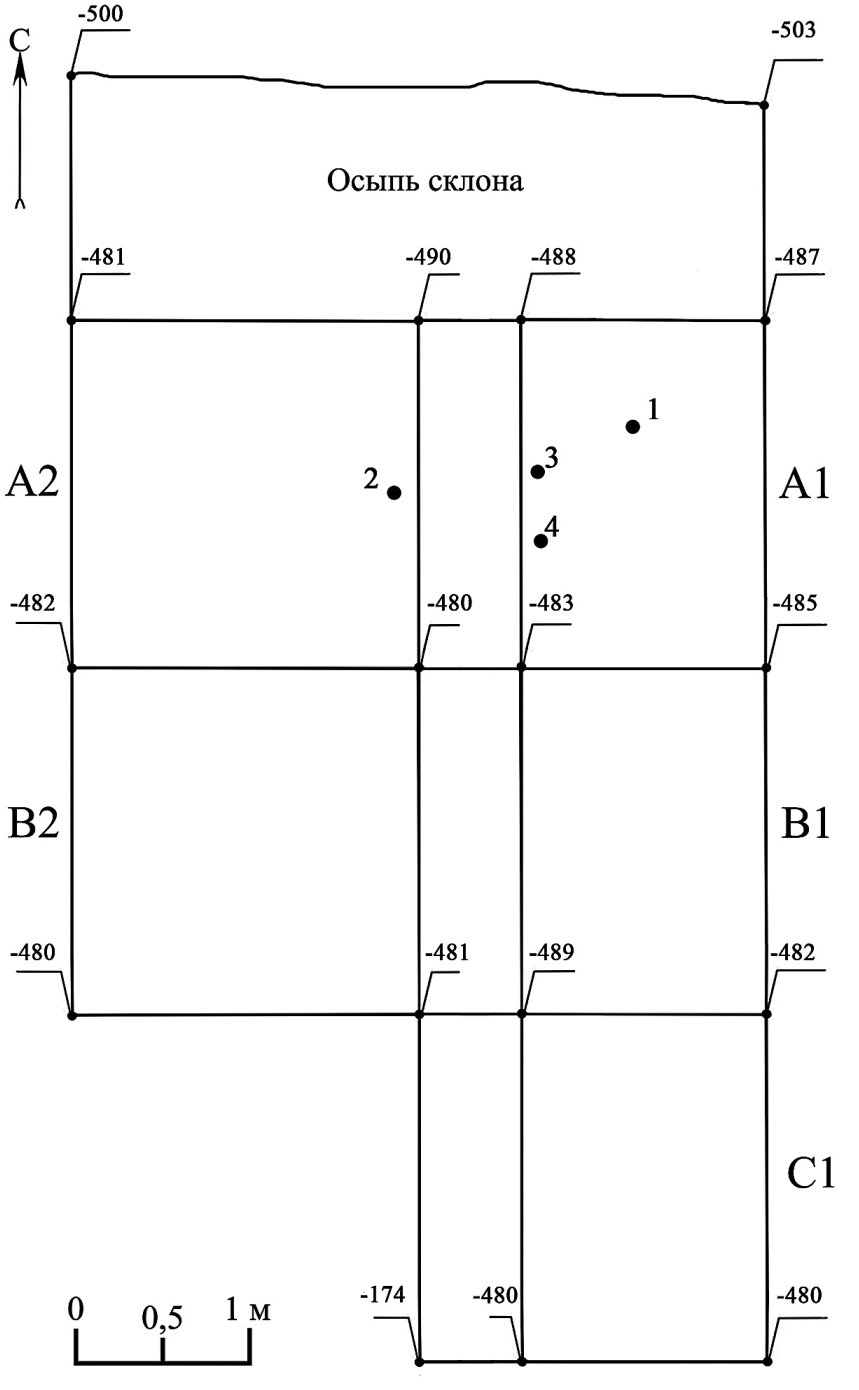

Рис. 159. Планиграфия индивидуальных находок 15 пласта.
Нумерация соответствует рис. 155

Рис. 160. Общий вид раскопа после контрольной прокопки. Вид с севера

Рис. 161. Квадрат А2. Хозяйственная яма №1 после снятия контрольного пласта. Вид с севера

Рис. 162. Профиль южной стенки квадрата В2. Вид с севера

Рис. 163. Профиль западной стенки квадрата В2. Вид с востока

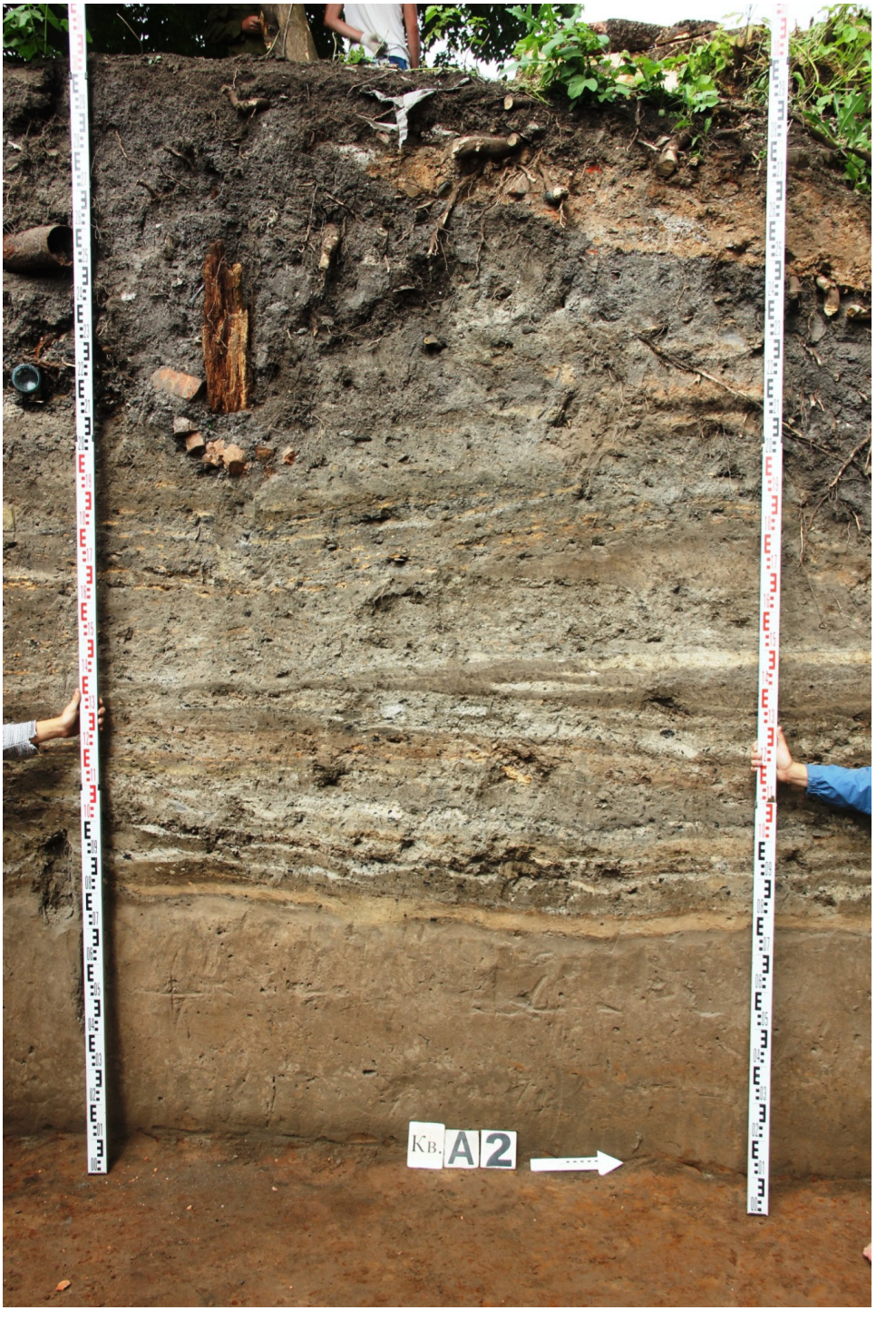

Рис. 164. Профиль западной стенки квадрата А2. Вид с востока

Рис. 165. Профиль западной стенки квадрата А2. Стрелкой указана граница сохранившегося культурного слоя. Вид с востока

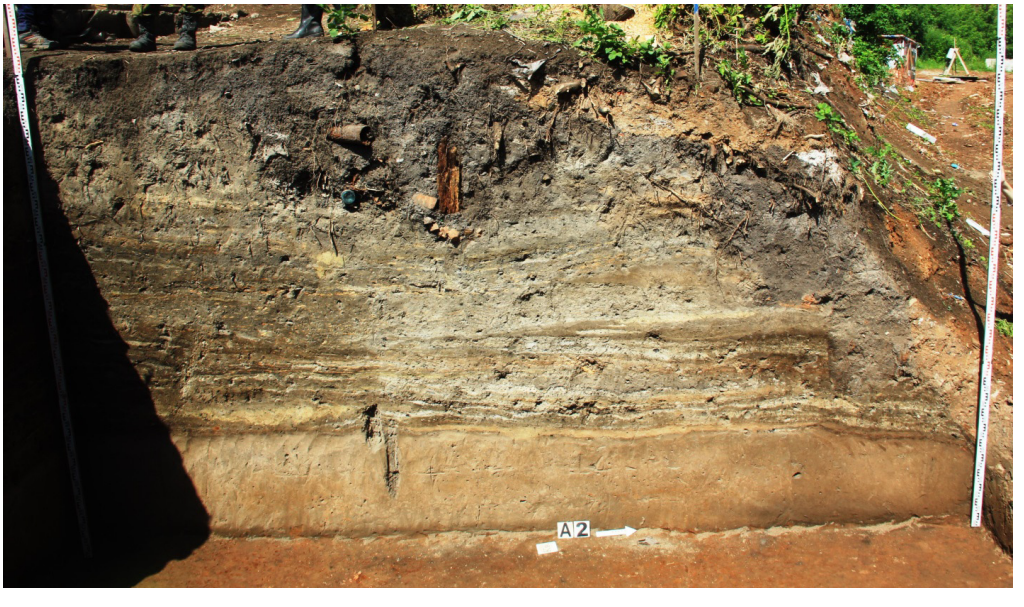

Рис. 166. Профиль западной стенки по линии А2-В2. Вид с востока

Рис. 167. Профиль южной стенки квадрата С1. Вид с севера

Рис. 168. Профиль восточной стенки квадратов B1-C1. Вид с запада

Рис. 169. Профиль восточной стенки квадрата А1. Стрелкой отмечена граница сохранившегося культурного слоя. Вид с запада

Рис. 170. Профиль восточной стенки квадрата В1. Вид с запада.

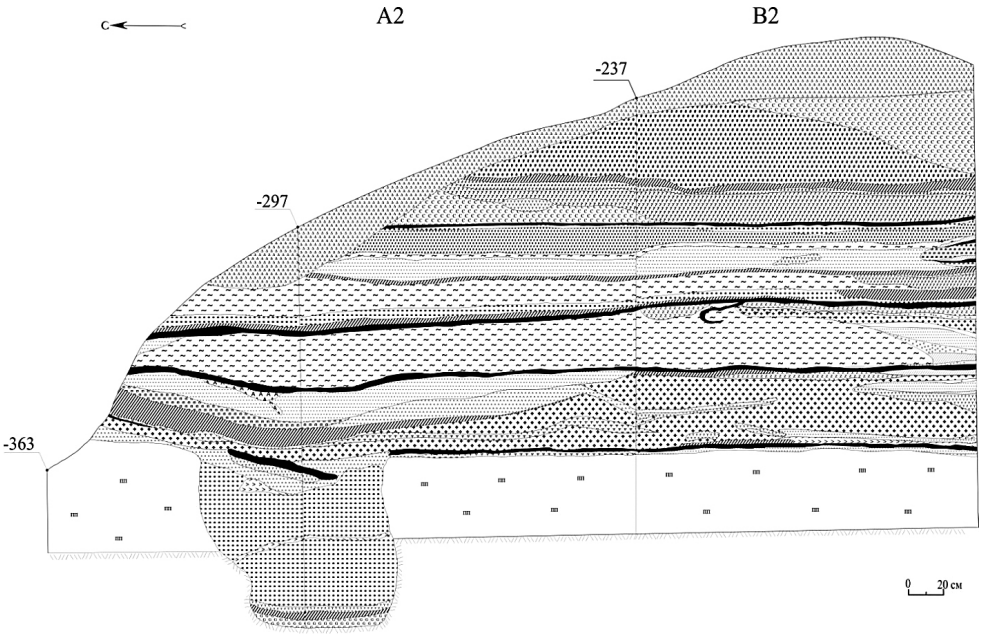

Рис. 171. Профиль стенки по линии А2-В2 вид с запада (бровка). Условные знаки на рис. 176

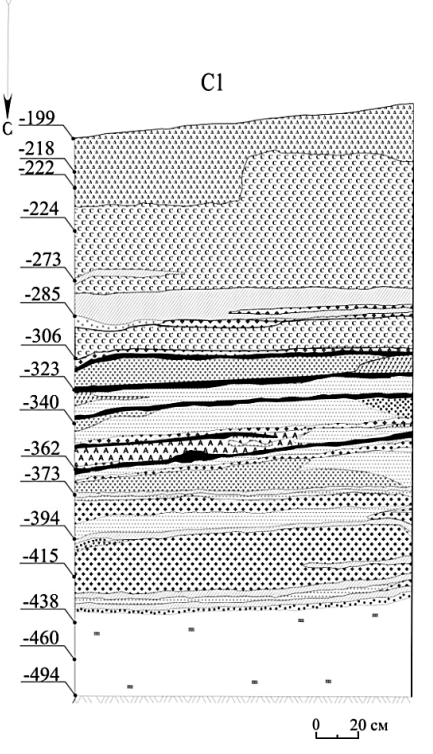

Рис. 172. Профиль южной стенки квадрата С1 вид с севера. Условные знаки на рис. 176

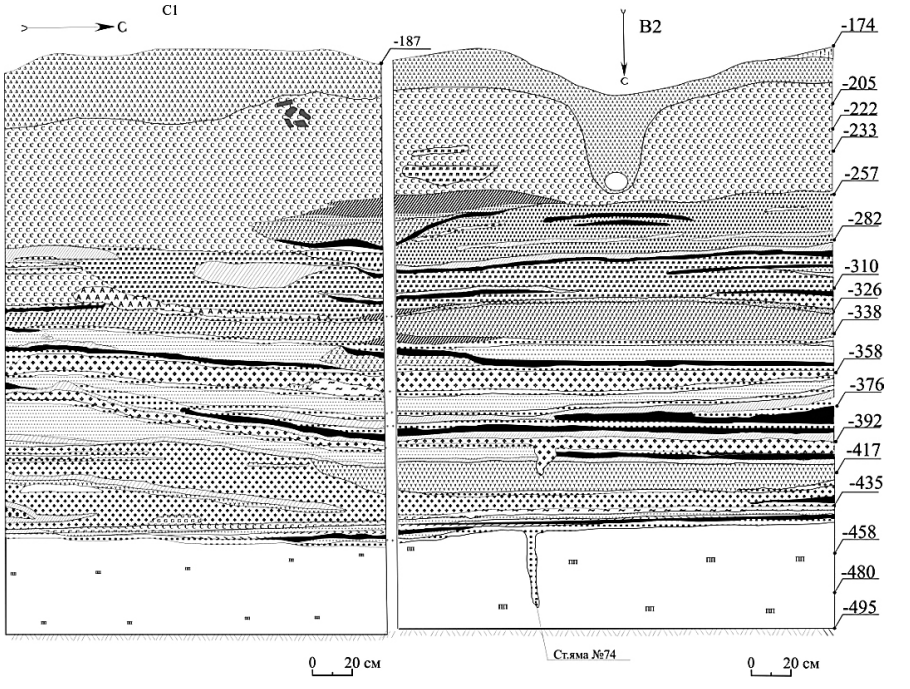

Рис. 173. Профиль западной стенки квадрата С1 вид с востока и южной стенки квадрата В2 вид с севера. Общая развёртка. Условные знаки на рис. 176

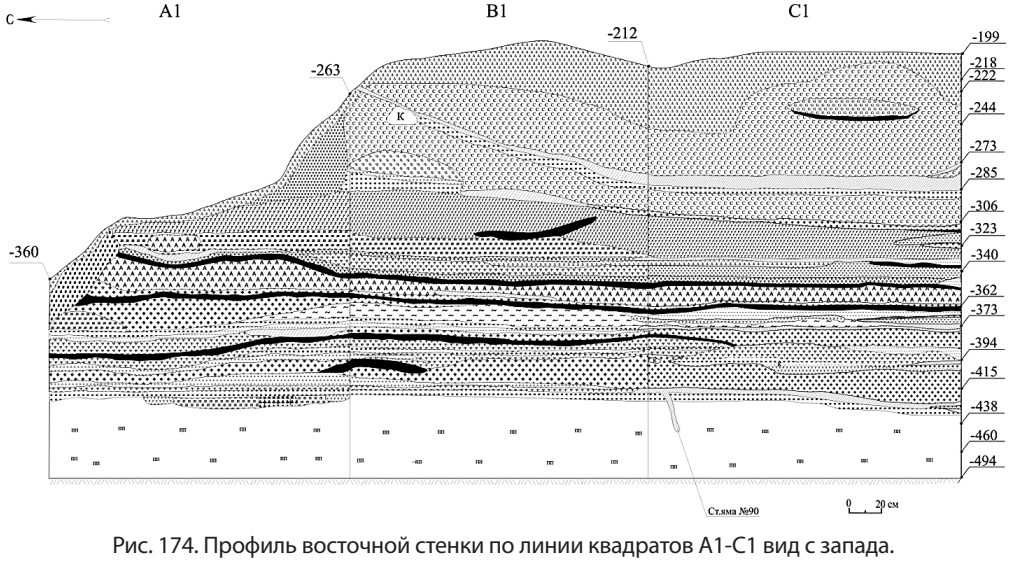

Рис. 174. Профиль восточной стенки по линии квадратов А1-С1 вид с запада. Условные знаки на рис. 176

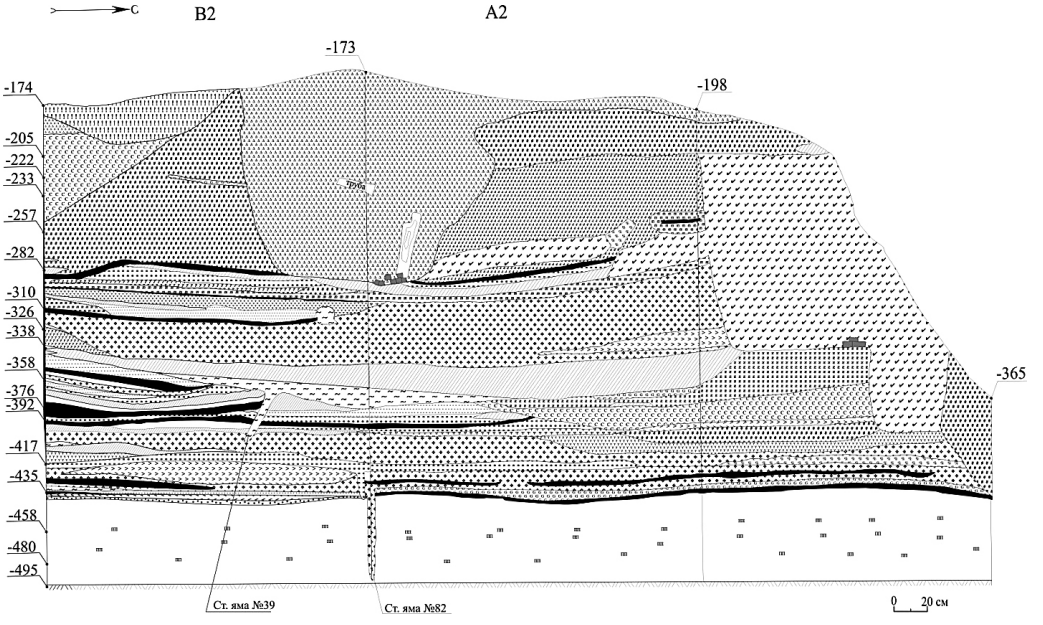

Рис. 175. Профиль западной стенки по линии квадратов А2-В2. Вид с востока.
Условные знаки на рис. 176

Темный плотный гумус

Рыхлый серо-бежевый гумус

Прослойка угля

Рыхлый темный гумус с примесью битого кирпича и строительного мусора

Темная рыхлая супесь

Зольник

Светло-коричневый суглинок с примесью битого кирпича

Темно-коричневый суглинок

Светло-желтая супесь

Тёмный плотный гумус с примесью бытового мусора и кирпичной крошки

Рыхлый темный гумус

Перемес битого кирпича и бытового мусора

Уголь

Плотный светло-коричневый гумус с неболыни включением золы и угля

Тёмно-коричневый плотный гумус с включением угля, золы и органики светло-коричневого цвета

Светло-коричневый рыхлый суглинок

Археологизированный остатки дерева

Прокал

Зольник со сзначительным содержанием угля

Плотный серый гумус

Рыхлый светло-серый гумус с включением угля, золы и органики коричневого цвета

Рыхлая слоистая органика с включением золы и угля

Плотный светло-зеленый суглинок

Шлак

Светло-серый гумус с включением золы, угля и органики коричневого цвета

Тёмно-серый плотный гумус с включением угля, золы и органики

Плотная тёмно-коричневая органика

Плотный серый гумус (заливка)

Слой погребенной почвы (плотный аллювий)

Рис. 176. Условные обозначения

Научное издание

Русланов Евгений Владимирович
Шамсутдинов Марсель Расилевич
Романов Алексей Александрович

Раннесредневековые древности Уфимского полуострова.
Городище Уфа-II.
Материалы археологических раскопок 2015 года

Под общей редакцией Г. Т. Батталовой
Редакторы: Ф. Н. Арсланов, Л. Д. Халисова
Художники: Р. Ш. Тагирова, Р. И. Латыпова

На обложке:
коньковидная подвеска, фотографы: У. М. Гатауллин, В. А. Семенов, И. Ф. Насипов

Сдано в набор 26.12.2016. Подписано в печать 20.01.2017.
Формат 70×100 1/16. Бумага офсетная. Гарнитура «Times New Roman».
Печать офсетная. Усл. печ. л. 21,62. Уч.-изд. л. 22,25.
Тираж 100 экз. Заказ 431

Техническое редактирование, верстка выполнены
в издательстве «АльфаРеклама»
450077, г. Уфа, ул. К. Маркса, 37, кор. 3, оф. 205; тел. (347) 291-13-60;

Отпечатано в ООО «АльфаРеклама».